



CNPq
Centro Nacional de Pesquisa
em Energia e Materiais

Relatório Anual
Parte 03

Este relatório foi aprovado pelo Conselho de Administração
em Reunião Ordinária realizada em 22 / 02 / 2017

Sumário

ANEXO 1 – Indicadores de Desempenho	2
ANEXO 2 – Indicadores Específicos de Projetos: Sirius e SisNano.....	46
ANEXO 3 – Lista de Bolsistas e Pós-doutores	58
ANEXO 4 – Referências de Publicações Científicas, Teses e Dissertações e Memorandos Técnicos.....	70
ANEXO 5 – Recomendações da Comissão de Avaliação do Contrato de Gestão	164
ANEXO 6 – Recomendações de Órgãos de Controle	166
ANEXO 7 – Informações Complementares.....	169
ANEXO 8 – Relatório dos Auditores Independentes	174

ANEXO 1 – Indicadores de Desempenho

Indicador		Eixos de Atuação	Unidade	Tipo	Peso	Qualificação	Meta pactuada	Meta realizada
Nº	Título							
01	Taxa geral de ocupação das instalações	Todos os eixos	%	Uso	01	Eficácia	70%	73%
02	Taxa de ocupação das instalações por usuários externos	Eixo 1	%	Uso	01	Eficácia	40%	42%
03	Artigos publicados por pesquisadores externos	Eixo 1	Razão	Uso	04	Efetividade	0,75	0,80
04	Beneficiários externos das instalações abertas	Eixo 1	Número absoluto	Uso	01	Eficácia	1800	2122
05	Índice de satisfação dos usuários externos	Eixo 1	%	D/Uso	02	Efetividade	85%	92%
06	Confiabilidade da fonte de luz síncrotron	Todos	%	D	04	Eficácia	95%	98%
07	Propostas realizadas por usuários externos nas instalações abertas	Eixo 1	Número absoluto	Uso	03	Eficácia	900	1069
08	Artigos publicados por pesquisadores internos	Eixo 2	Razão	Uso	04	Efetividade	2,5	2,2
09	Parcerias em projetos de P&D com instituições de ensino e pesquisa	Eixo 2	Número absoluto	D	02	Eficiência	20	34
10	Memorandos técnicos	Eixos 2 e 4	Número absoluto	D	02	Efetividade	14	21
11	Taxa de supervisão de pós-doutores	Eixos 2 e 4	Razão	D	03	Eficiência	1,0	0,96
12	Tecnologias protegidas	Eixos 2 e 3	Número absoluto	D	01	Efetividade	8	5
13	Recursos adicionais ao Contrato de Gestão	Eixos 2 e 3	%	D	02	Eficiência	30%	26%
14	Parcerias em projetos de PD&I com AIS	Eixo 3	Número absoluto	D	02	Eficiência	35	45
15	Recursos associados à inovação	Eixo 3	%	D	02	Eficiência	8%	13%
16	Capacitação de pesquisadores externos	Eixo 4	Número absoluto	Uso	02	Eficácia	10.000	13.816
17	Eventos científicos	Eixo 4	Número absoluto	Uso	02	Eficácia	4	8
18	Participantes de eventos científicos	Eixo 4	Número absoluto	Uso	01	Eficácia	250	706

Indicador 1:																																					
Taxa geral de ocupação das instalações																																					
Macroprocesso: Operar o Laboratório Nacional																																					
Objetivo Estratégico do Contrato de Gestão: Prover e manter infraestrutura nacional de classe mundial para pesquisa, desenvolvimento e inovação nas suas áreas de atuação disponibilizada à comunidade de pesquisa acadêmica e industrial.																																					
Finalidade: Medir a taxa de ocupação global das instalações dos Laboratórios Nacionais do CNPEM, no ano de referência, disponibilizada a usuários externos, e em P&D <i>in-house</i> , interação com empresas e atividades de treinamento, educação e difusão.																																					
Descrição: Razão entre o número total de horas efetivamente utilizadas nas atividades mencionadas acima e o número total de horas planejadas para utilização, excluindo horas de manutenção e paradas programadas nas instalações. Consideram-se para o cálculo todos os usuários (internos e externos) em atividades relacionadas aos quatro eixos de atuação.																																					
Fórmula de cálculo: $\text{Indicador 1} = \frac{\text{Número de horas efetivamente utilizadas no período}}{\text{Horas disponibilizadas para uso das instalações no período}}$																																					
Tipo: Uso	Peso: 1	Unidade: Percentual	Qualificação: Eficácia																																		
		Meta 2016: 70%	Realizado: 73%																																		
Histórico indicador:																																					
<table border="1"> <thead> <tr> <th rowspan="2">LN</th> <th colspan="4">Taxa de Ocupação</th> </tr> <tr> <th>2013</th> <th>2014</th> <th>2015</th> <th>2016</th> </tr> </thead> <tbody> <tr> <td>LNLS</td> <td>74%</td> <td>90%</td> <td>66%</td> <td>78%</td> </tr> <tr> <td>LN BIO</td> <td>71%</td> <td>75%</td> <td>85%</td> <td>72%</td> </tr> <tr> <td>LNNANO</td> <td>57%</td> <td>73%</td> <td>74%</td> <td>78%</td> </tr> <tr> <td>CTBE</td> <td>-</td> <td>93%</td> <td>89%</td> <td>54%</td> </tr> <tr> <td>CNPEM</td> <td>68%</td> <td>81%</td> <td>73%</td> <td>73%</td> </tr> </tbody> </table>				LN	Taxa de Ocupação				2013	2014	2015	2016	LNLS	74%	90%	66%	78%	LN BIO	71%	75%	85%	72%	LNNANO	57%	73%	74%	78%	CTBE	-	93%	89%	54%	CNPEM	68%	81%	73%	73%
LN	Taxa de Ocupação																																				
	2013	2014	2015	2016																																	
LNLS	74%	90%	66%	78%																																	
LN BIO	71%	75%	85%	72%																																	
LNNANO	57%	73%	74%	78%																																	
CTBE	-	93%	89%	54%																																	
CNPEM	68%	81%	73%	73%																																	
Comentário: O número de horas disponíveis para uso das instalações é estimado no início do ano e considera as agendas de todas as instalações abertas no Portal de Usuários do CNPEM. As horas disponibilizadas para uso das instalações abertas, denominador do indicador, é o produto dos dias úteis pelo número de horas dos turnos diários da instalação, menos a previsão de horas de manutenção e paradas programadas. As horas efetivamente utilizadas são aquelas associadas às propostas de pesquisa externas e internas agendadas e realizadas e dos registros do tempo utilizado na realização de projetos em parceria com empresas, prestações de serviços, treinamento, entre outros eventos especiais. Em 2016, o indicador alcançou 104% da meta pactuada para o ano. O total de horas contabilizadas para utilização do conjunto das atividades mencionadas apresenta a seguinte distribuição por Laboratório Nacional: 46% - LNLS; 28% - LNNano; 15% - LNBio; e 11% - CTBE.																																					

A Tabela a seguir registra o número de horas efetivamente utilizadas por Laboratório Nacional e por Eixos de Atuação.

	Eixo 1	Eixo 2	Eixo 3	Eixo 4	Horas Utilizadas	Horas Disponíveis	Taxa de Ocupação de 2016
LNLS	33205	12729	69	0	46003	59267	78%
LN BIO	8915	5805	315	153	15188	21093	72%
LNNANO	12107	10205	3819	1499	27630	35289	78%
CTBE	3519	4583	2932	35	11069	20636	54%
CNPEM	57746	33322	7135	1687	99890	136285	73%

Indicador 2:																																					
Taxa de ocupação das instalações por usuários externos																																					
Macroprocesso: Operar o Laboratório Nacional																																					
Objetivo Estratégico do Contrato de Gestão: Prover e manter infraestrutura nacional de classe mundial para pesquisa, desenvolvimento e inovação nas suas áreas de atuação disponibilizada à comunidade de pesquisa acadêmica e industrial.																																					
Finalidade: Medir a ocupação dos Laboratórios Nacionais do CNPEM por usuários externos no período de referência																																					
Descrição: Razão entre o número de horas efetivamente utilizadas por usuários externos e o número de horas totais disponibilizadas para todos os eixos de atuação																																					
Fórmula de cálculo:																																					
$\text{Indicador 2} = \frac{\text{Número de horas efetivamente utilizadas por usuários externos no período}}{\text{Horas previstas de disponibilidade para uso das instalações no período}}$																																					
Tipo: Uso	Peso: 1	Unidade: Percentual	Qualificação: Eficácia																																		
Meta 2016: 40%		Realizado: 42%																																			
Histórico indicador:																																					
<table border="1"> <thead> <tr> <th rowspan="2">LN</th> <th colspan="4">Taxa de Ocupação do Eixo 1</th> </tr> <tr> <th>2013</th> <th>2014</th> <th>2015</th> <th>2016</th> </tr> </thead> <tbody> <tr> <td>LNLS</td> <td>63%</td> <td>75%</td> <td>52%</td> <td>56%</td> </tr> <tr> <td>LN BIO</td> <td>37%</td> <td>39%</td> <td>48%</td> <td>42%</td> </tr> <tr> <td>LNNANO</td> <td>31%</td> <td>30%</td> <td>35%</td> <td>34%</td> </tr> <tr> <td>CTBE</td> <td></td> <td>4%</td> <td>29%</td> <td>17%</td> </tr> <tr> <td>CNPEM</td> <td>48%</td> <td>47%</td> <td>45%</td> <td>42%</td> </tr> </tbody> </table>				LN	Taxa de Ocupação do Eixo 1				2013	2014	2015	2016	LNLS	63%	75%	52%	56%	LN BIO	37%	39%	48%	42%	LNNANO	31%	30%	35%	34%	CTBE		4%	29%	17%	CNPEM	48%	47%	45%	42%
LN	Taxa de Ocupação do Eixo 1																																				
	2013	2014	2015	2016																																	
LNLS	63%	75%	52%	56%																																	
LN BIO	37%	39%	48%	42%																																	
LNNANO	31%	30%	35%	34%																																	
CTBE		4%	29%	17%																																	
CNPEM	48%	47%	45%	42%																																	
<p>Comentário: As horas disponibilizadas para uso das instalações no período, denominador do indicador, é o produto dos dias úteis pelo número de horas dos turnos diários da instalação, menos a previsão de horas de manutenção e de paradas programadas. O número de horas de uso das instalações para atendimento de propostas externas de pesquisa é medido por meio das horas agendadas com essa finalidade no Portal de Usuários do CNPEM. No cálculo do indicador são consideradas apenas as propostas realizadas. A distribuição dessas horas de uso entre os Laboratórios nacionais não é uniforme entre os Laboratórios Nacionais, refletindo as diferenças de seus objetivos estratégicos e a singularidade de suas instalações. Em 2016, o resultado apurado para o indicador superou a meta estabelecida em 5%. O número de horas dedicadas ao atendimento de propostas externas por Laboratório Nacional apresenta a seguinte distribuição: 58% - LNLS; 21% - LNNano; 15% - LNBio; e 6% - CTBE.</p>																																					

	Eixo 1	Horas Disponíveis	Taxa de Ocupação de 2016
LNLS	33205	59267	56%
LNBIO	8915	21093	42%
LNNANO	12107	35289	34%
CTBE	3519	20636	17%
CNPEM	57746	136285	42%

Indicador 3: Artigos publicados por pesquisadores externos

Macroprocesso:
Operar o Laboratório Nacional

Objetivo Estratégico do Contrato de Gestão:
Prover e manter infraestrutura nacional de classe mundial para pesquisa, desenvolvimento e inovação nas suas áreas de atuação disponibilizada à comunidade de pesquisa acadêmica e industrial.

Finalidade:
Aferir resultados das atividades de pesquisa realizadas por pesquisadores externos, decorrentes do uso das instalações abertas do CNPEM, no ano de referência.

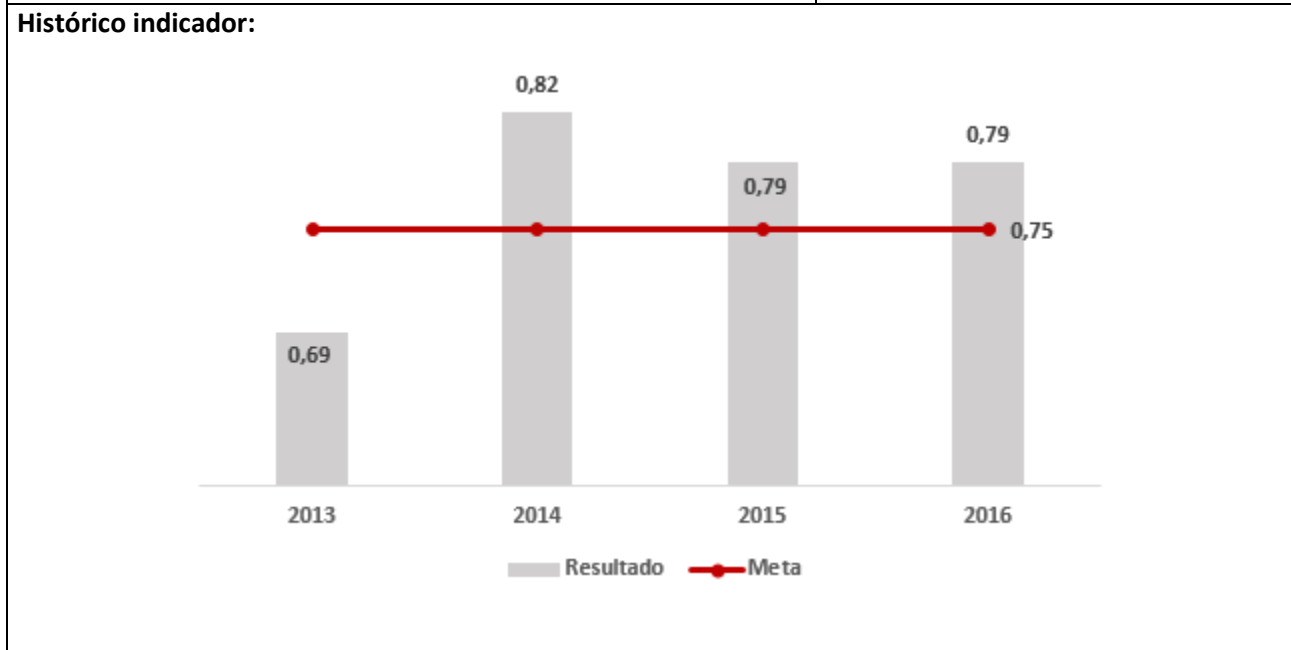
Descrição:
Razão entre o número de artigos de pesquisadores externos ao CNPEM que decorreu do uso das instalações no ano X, indexados na base *Web of Science* nos anos x, x+1, x+2, e o número de propostas realizadas no ano X.

Fórmula de cálculo:

$$\text{Indicador 3} = \frac{\text{número de artigos de pesq. externos na base WoS nos anos } x, x + 1, x + 2}{\text{número de propostas realizadas no ano } X}$$

Tipo: Uso	Peso: 4	Unidade: Razão	Qualificação: Efetividade
---------------------	-------------------	--------------------------	-------------------------------------

Meta 2016: 0,75	Realizado: 0,79
---------------------------	---------------------------



Comentário: Para o ano de 2016, o indicador mede a produtividade científica dos beneficiários das propostas externas realizadas no CNPEM em 2014. Foram consideradas todos os artigos publicados em 2014, 2015 e 2016 por pesquisadores envolvidos nas propostas de pesquisa externa a partir do uso das instalações do CNPEM em 2014. Na contabilização das publicações são incluídas apenas aquelas que fazem citação ao uso de instalações dos Laboratórios Nacionais. Vale observar que ao contrário de outras instituições de pesquisa que medem exclusivamente a produção científica de seus próprios funcionários, o Laboratório Nacional aberto deve aferir também os resultados

Booleanos: AND, OR, NOT, SAME, NEAR

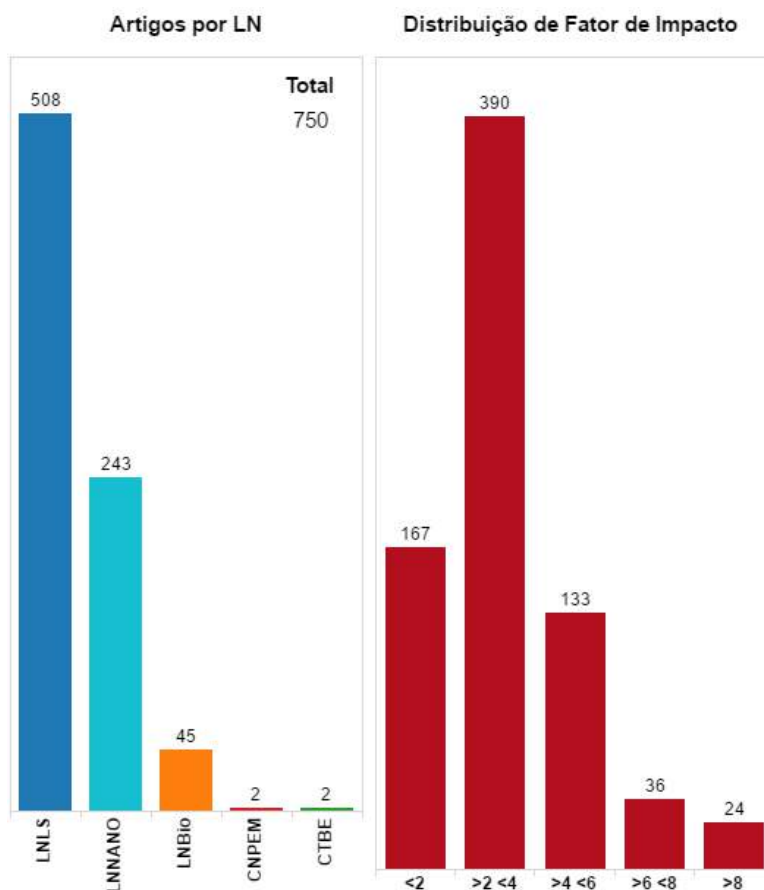
Rótulos do campo:

TS= Tópico	SG= Suborganização
TI= Título	SA= Endereço da Rua
AU= Autor [Índice]	CI= Cidade
AI= Identificadores de autor	PS= Província/Estado
GP= Autor grupo [Índice]	CU= País
ED= Editor	ZP= CEP/Código postal
SO= Nome da publicação [Índice]	FO= Agência financiadora
DO= DOI	FG= Número do subsídio
PY= Ano de publicação	FT= Texto sobre financiamento
CF= Conferência	SU= Área de pesquisa
AD= Endereço	WC= Categoria Web of Science
OG= Organização - Consolidada [Índice]	IS= ISSN/ISBN
OO= Organização	UT= Número de acesso

obtidos por seus usuários externos. Isso implica desafios à metodologia de busca. Devem ser identificadas, inicialmente, todas as possíveis formas de registro dos nomes de cerca de 2000 beneficiários. Num segundo momento, levantam-se todas as possibilidades de citação ao CNPEM, aos Laboratórios Nacionais e a instalações específicas. Até este momento foram identificadas 121 formas distintas de citação institucional. A base *Web of Science* disponibiliza ferramenta de busca avançada com possibilidade de inserção de conjuntos *booleanos*.

Atualmente o CNPEM recebe diretamente de seus beneficiários a relação de artigos publicados a partir do uso das instalações, via Portal de Usuários e/ou diretamente pela biblioteca. Contudo, como o número de beneficiários que reporta suas publicações não é totalmente satisfatório, essas informações são utilizadas para checagem no processo de busca. É possível ainda que o número total de artigos publicados seja subestimado por casos de beneficiários que não fazem citações diretas ao CNPEM, impossibilitando a contabilização de seus artigos.

O número total de artigos computados entre 2014 e 2016 é 750 e o número de propostas realizadas em 2014, 949. Portanto o resultado apurado para o indicador é 0,79, que representa 105% da meta pactuada.



Indicador 4: Beneficiários externos das instalações abertas

Macroprocesso:
Operar o Laboratório Nacional

Objetivo Estratégico do Contrato de Gestão:
Prover e manter infraestrutura nacional de classe mundial para pesquisa, desenvolvimento e inovação nas suas áreas de atuação disponibilizada à comunidade de pesquisa acadêmica e industrial.

Finalidade:
Medir o universo de pesquisadores externos beneficiados pelo uso das instalações abertas do CNPEM, no ano de referência.

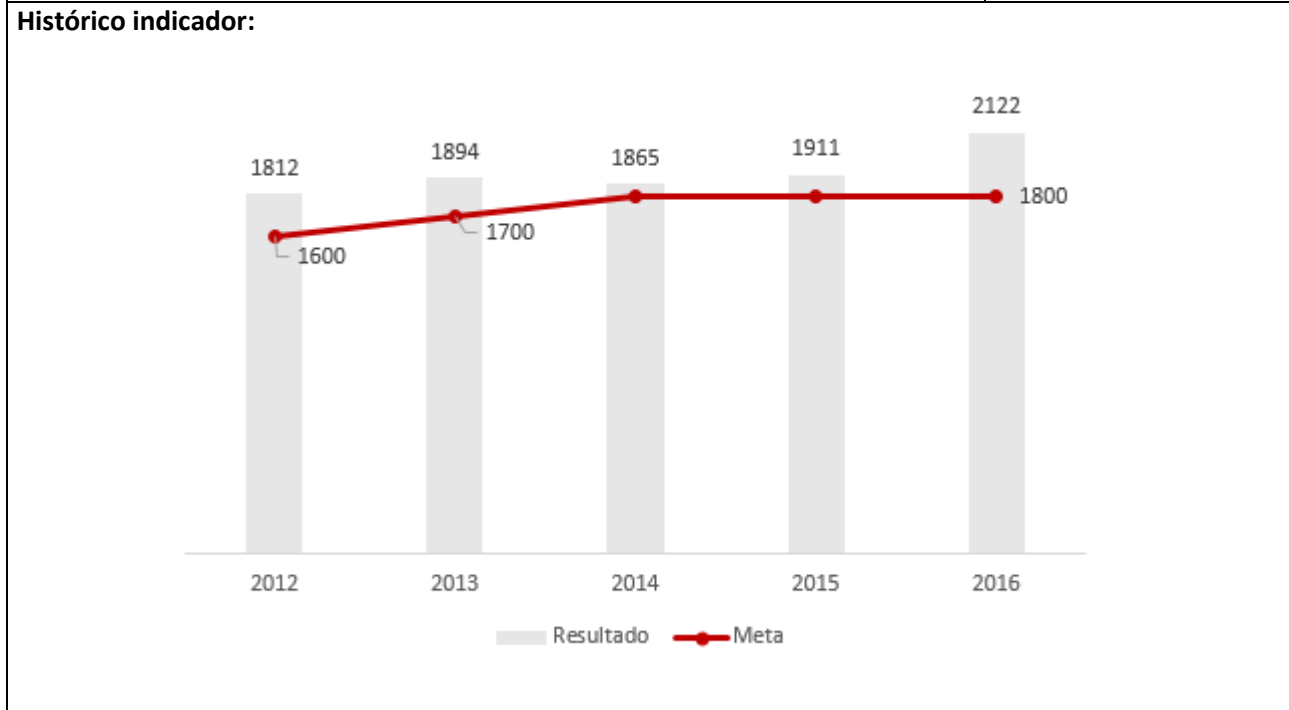
Descrição:
Número de beneficiários externos identificados nas propostas de pesquisa realizadas nas instalações abertas do CNPEM no período de referência. Para esse cálculo, são considerados os pesquisadores que utilizaram diretamente as instalações e/ou integraram o grupo de pesquisa que realizou a proposta.

Fórmula de cálculo:

Indicador 4 = número total de beneficiários das instalações abertas do CNPEM no período

Tipo: Uso	Peso: 1	Unidade: Número Absoluto	Qualificação: Eficácia
---------------------	-------------------	------------------------------------	----------------------------------

Meta 2016: 1800	Realizado: 2122
---------------------------	---------------------------

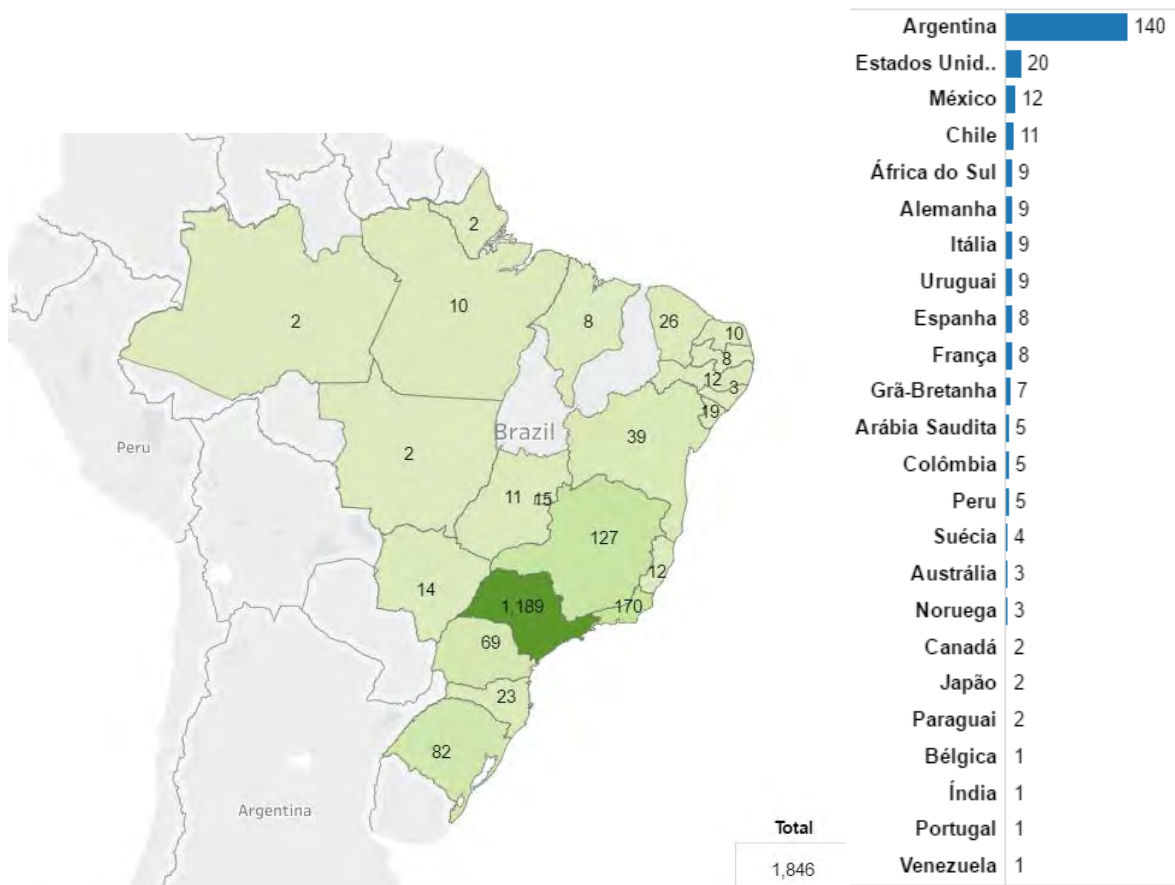


Comentário: Em 2016, o indicador alcançou 118% da meta pactuada. Sua metodologia de cálculo prevê a contabilização do número de pesquisadores externos beneficiados com a realização das propostas de pesquisa no CNPEM. O indicador considera cada pesquisador uma única vez, ainda que ele tenha utilizado mais de uma instalação ou que esteja envolvido em mais de uma proposta de pesquisa. Assim, a somatória dos beneficiários por instalação é superior ao número total de pesquisadores beneficiados contabilizado no indicador.

Do total de beneficiários, 87% são brasileiros e 13% de outros países, provenientes de 210 diferentes instituições (Universidades, Institutos de Pesquisa e Desenvolvimento, Fundações e Empresas).

Nac. & Internacional (%)	
Nacional	Internacional
86.95%	13.05%

Regiões Brasileiras (%)				
Sul	Sudeste	Norte	Nordeste	Centro-Oeste
9.40%	80.82%	0.76%	6.75%	2.27%



Beneficiários Externos (sem duplicatas)		2122
Laboratório Nacional de Luz Síncrotron		1304
MX2		126
PGM		50
SAXS1		252
DXAS		82
SGM		9
TGM		45
XAFS1		51
XAFS2		16
XDS		106
XPD		141
XRD1		70
XRD2		118
XRF		114
IMX		80
XTMS		35
SXS		125
IR		62
Laboratório Nacional de Biociências		273
MAS		130
LEC		69
ROBOLAB		35
RMN		57
Laboratório Nacional de Nanotecnologia		605
LCS		89
DSF		10
CPM		60
LME		253
LMF		80
LMN		235
Laboratório Nacional de Ciência e Tecnologia do Bioetanol		86
LDB		6
PPDP		8
LAM		15
LDP		10
BVC		19
MET		15
NGS		20

Instituições Brasileiras

Centro Brasileiro de Pesquisas Físicas
Centro de Ciências Exatas e da Natureza
Centro de Desenvolvimento Tecnologia Nuclear
Centro de Energia Nuclear na Agricultura
Centro de Tecnologia da Informação Renato Archer
Centro de Tecnologia Mineral
Centro Estadual de Educação Tecnológica Paula Souza
Centro Federal de Educação Tecnológica Celso Suckow da Fonseca
Centro Infantil de Investigações Hematológicas Dr. Domingos
Centro Universitário das Faculdades Associadas de Ensino
Centro Universitário Herminio Ometto de Araras
Comissão Nacional de Energia Nuclear
DSM Biotecnologia
Duratex
Embrapa
EPL EMPREENDIMENTOS E AGROASSISTÊNCIA LTDA
Escola Estadual Professora Irene Branco da Silva
Faculdade de Ciências e Tecnologias de Campos Gerais
Faculdade de Medicina de São José do Rio Preto
Faculdade de Tecnologia de São Paulo
Faculdade Ingá
Fundação Hemocentro de Ribeirão Preto
Fundação Instituto Oswaldo Cruz
Fundação Universidade do Amazonas
GranBio
Insituto Carlos Chagas
Instituto Agrônômico de Campinas
Instituto Butantan
Instituto de Pesquisas Energéticas e Nucleares
INSTITUTO DE TECNOLOGIA DE ALIMENTOS
Instituto Federal de Educação Ciência e Tecnologia do Norte
Instituto Federal de Educação, Ciência e Tecnologia de Pernambuco
Instituto Federal de Educação, Ciência e Tecnologia do Espírito Santo
Instituto Federal de Educação, Ciência e Tecnologia do Rio de Janeiro
Instituto Federal de Santa Catarina
Instituto Federal de São Paulo
Instituto Federal do Paraná
Instituto Militar de Engenharia
Instituto Nacional de Metrologia, Qualidade e Tecnologia
Instituto Nacional de Pesquisas Espaciais
Instituto Nacional de Tecnologia
Instituto Nacional de Traumatologia e Ortopedia Jamil Haddad
Instituto Senai de Inovação - Biomassa
Instituto Tecnológico de Aeronáutica
Instituto Tecnológico Vale
Intituto de Pesquisas Energéticas e Nucleares
Ministério da Ciência e Tecnologia Inovação
PETROLEO BRASILEIRO S.A.
PUC-São Paulo

PUC - Minas Gerais
PUC - Rio Grande do Sul
PUC- Rio de Janeiro
São Leopoldo Mandic
Sociedade Brasileira de Métodos Alternativos à Experimentação
Universidade de Brasília
Universidade de Caxias do Sul
Universidade de Franca
Universidade de São Paulo
UNIVERSIDADE DE SOROCABA
Universidade do Estado de Santa Catarina
Universidade do Estado do Pará
Universidade do Estado do Rio de Janeiro
Universidade do Extremo Sul Catarinense
Universidade do Vale do Rio dos Sinos
Universidade Estadual de Campinas
Universidade Estadual de Goiás
Universidade Estadual de Londrina
Universidade Estadual de Maringá
Universidade Estadual de Mato Grosso do Sul
Universidade Estadual de Montes Claros
Universidade Estadual de Ponta Grossa
Universidade Estadual de Santa Cruz
Universidade Estadual do Ceará
Universidade Estadual Norte Fluminense
Universidade Estadual Paulista
Universidade Federal da Bahia
Universidade Federal da Grande Dourados
Universidade Federal da Integração Latino-Americana
Universidade Federal da Paraíba
Universidade Federal de Alagoas
Universidade Federal de Alfenas
Universidade Federal de Campina Grande
Universidade Federal de Goiás
Universidade Federal de Itajubá
Universidade Federal de Mato Grosso
Universidade Federal de Minas Gerais
Universidade Federal de Ouro Preto
Universidade Federal de Pernambuco
Universidade Federal de Santa Catarina
Universidade Federal de Santa Maria
Universidade Federal de São Carlos
Universidade Federal de São João Del-Rei
Universidade Federal de São Paulo
Universidade Federal de Sergipe
Universidade Federal de Uberlândia
Universidade Federal de Viçosa
Universidade Federal do ABC
Universidade Federal do Amapá
Universidade Federal do Amazonas

Universidade Federal do Ceará
Universidade Federal do Espírito Santo
Universidade Federal do Estado do Rio de Janeiro
Universidade Federal do Maranhão
Universidade Federal do Mato Grosso do Sul
Universidade Federal do Oeste da Bahia
Universidade Federal do Oeste do Pará
Universidade Federal do Pará
Universidade Federal do Paraná
Universidade Federal do Recôncavo da Bahia
Universidade Federal do Rio de Janeiro
Universidade Federal do Rio Grande do Norte
Universidade Federal do Rio Grande do Sul
Universidade Federal do Sul e Sudeste do Pará
Universidade Federal do Triângulo Mineiro
Universidade Federal dos Vales do Jequitinhonha e Mucuri
Universidade Federal Fluminense
Universidade Federal Rural do Semi-árido
Universidade Presbiteriana Mackenzie
Universidade Tecnológica Federal do Paraná
Universidade Tiradentes

Instituições de outros países

Bangor University
Carleton University
Centre National de la Recherche Scientifique
Centro Atómico Constituyentes
Centro Atômico de Bariloche
Centro de Excelencia de Productos y Procesos de Córdoba
Centro de Investigacion y Estudios Avanzados
Comisión Nacional de Energia Atómica
Consejo Nacional de Investigaciones Científicas y Técnicas
Consejo Superior de Investigaciones Científicas
Consiglio Nazionale delle Ricerche
Deakin University
Deutsches Elektronen
Diagnostic Biochips
Facultad de Ingeniería Universidad de Buenos Aires
Indian Institute of Technology Bombay
Institut de Biologie Structurale J.P. Ebel
Institut de Ciència de Materials de Barcelona
Institut des Sciences Chimiques de Rennes e UMR
Instituto de Física Rosario
Instituto de Investigaciones Fisicoquímicas Teóricas y Aplicadas
Instituto de Microelectrónica de Madrid
Instituto de Tecnologia de Karlsruhe
Instituto de Tecnologia Química e Biológica

Instituto Nacional en Ciencia y Tecnología de Materiales
Instituto Superior de Investigaciones Biológicas
Instituto Tecnológico de Celaya
Italian Institute of Technology
Karlsruhe Institute of Technology
King Abdullah Science and Technology
Laboratorio de Investigaciones Bioquímicas, Químicas y de Medio Ambiente
Ludwig Maximilians Universität München
Massachusetts Institute of Technology
MAX IV Laboratory
Max Planck Institute for Chemical Physics of Solids
North Carolina State University
Norwegian University of Science and Technology
Ohio State University
Osaka prefecture university
Pontificia Universidad Católica de Valparaiso
Royal Institute of Technology
Universidad Autónoma de San Luis Potosí
Universidad Autónoma Metropolitana
Universidad de Antioquia
Universidad de Buenos Aires
Universidad de Chile
Universidad de la República Uruguay
Universidad de Los Andes Venezuela
Universidad de Tarapacá
Universidad del Valle
Universidad Juárez Autónoma de Tabasco
Universidad Nacional de Asunción
Universidad Nacional de Colombia
Universidad Nacional de Córdoba
Universidad Nacional de General San Martín
Universidad Nacional de La Plata
Universidad Nacional de Mar del Plata
Universidad Nacional de Tucumán
Universidad Nacional del Sur
Universidad Nacional Mayor de San Marcos
Universidade de Santiago de Compostela
Università degli Studi di Palermo
Università Politecnica delle Marche
Université d'Angers
University College London
University of Bath
University of Cape Town
University of Delaware
University of Leuven

University of Michigan
University of Sheffield
University of the Free State
University of the Witwatersrand
University of Wisconsin
Victoria University
Virginia Commonwealth University

Indicador 5: Índice de satisfação dos usuários externos

Macroprocesso:

Operar o Laboratório Nacional

Objetivo Estratégico do Contrato de Gestão:

Prover e manter infraestrutura nacional de classe mundial para pesquisa, desenvolvimento e inovação nas suas áreas de atuação disponibilizada à comunidade de pesquisa acadêmica e industrial.

Finalidade:

Medir a satisfação dos usuários das instalações abertas de modo sistemático e periódico.

Descrição:

O indicador mede o índice de satisfação dos usuários externos com a utilização das instalações abertas do CNPEM, no ano de referência, com base em questão específica do formulário aplicado na realização da proposta de pesquisa.

Fórmula de cálculo:

$$\text{Indicador 5} = \frac{\text{Número de respostas "muito satisfeito" e "satisfeito" no período}}{\text{número total de respostas no período}}$$

Tipo:

Desempenho e Uso

Peso:

2

Unidade:

Percentual

Qualificação:

Efetividade

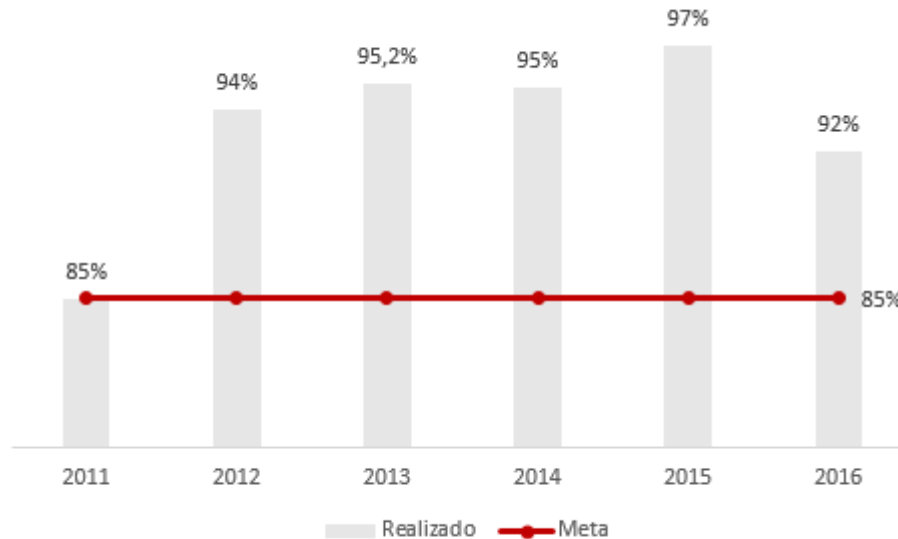
Meta 2016:

85%

Realizado:

92%

Histórico indicador:



Comentário: Este indicador tem, sistematicamente, superado com folga a meta pactuada. Permanece, contudo, o desafio de aumentar o número de questionários respondidos pelos beneficiários. Observa-se que os esforços dos Laboratórios direção teve resultado muito positivo em 2016. Enquanto em 2015 apenas 15% das propostas externas realizadas no Campus preencheram o formulário de satisfação, em 2016 o número subiu para 30%, totalizando 317 propostas.

Indicador 6: Confiabilidade de fonte de luz síncrotron

Macroprocesso:

Operar o Laboratório Nacional

Objetivo Estratégico do Contrato de Gestão:

Prover e manter infraestrutura nacional de classe mundial para pesquisa, desenvolvimento e inovação nas suas áreas de atuação disponibilizada à comunidade de pesquisa acadêmica e industrial.

Finalidade:

Aferir a capacidade do atendimento técnico da fonte de luz síncrotron aos usuários externos, dentro dos prazos e períodos programados nos agendamentos de realização dos experimentos, estabelecendo padrão de comparação internacional.

Descrição:

Razão entre as horas de luz síncrotron entregues aos usuários no tempo programado e as horas previstas na programação de operação da fonte de luz síncrotron.

Fórmula de cálculo:

$$\text{Indicador 6} = \frac{\text{Horas entregues no período}}{\text{Horas previstas no período}}$$

Tipo:

Desempenho

Peso:

4

Unidade:

Percentual

Qualificação:

Eficácia

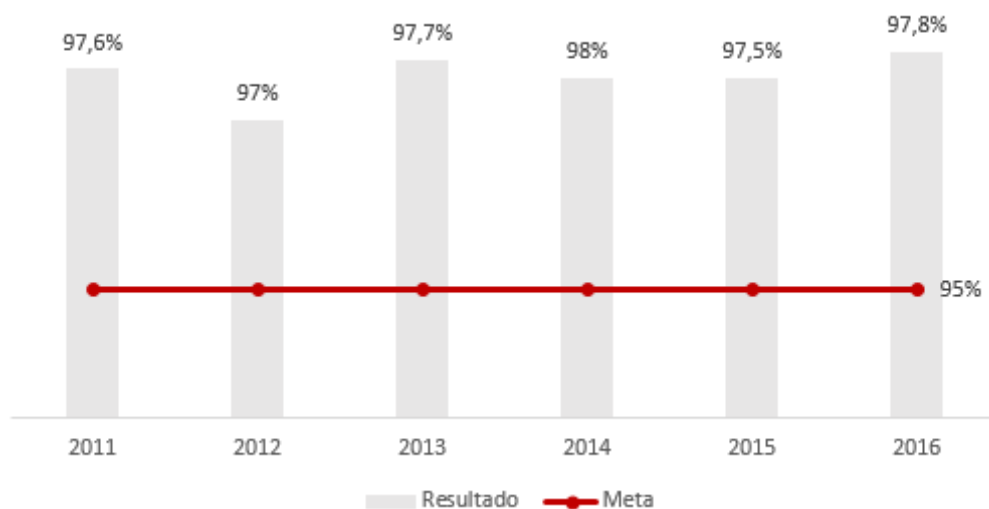
Meta 2016:

95%

Realizado:

97,8%

Histórico indicador:



Comentário:

Foram programadas 3.838 horas de operação para usuários, das quais 3741 foram disponibilizadas dentro do período programado, o que resultou em uma confiabilidade de 97,8% em 2016. A confiabilidade ficou acima do pactuado durante todo o período de operação da fonte, exceto durante o curto período de operação *single bunch (Set SB)*, em que o anel de armazenamento é operado com um único pacote de elétrons. Dois fatores contribuem para a queda de confiabilidade: queda do feixe durante os turnos para usuários (70% do tempo total de falha) e atrasos na entrega do feixe nos períodos de injeção (30% do tempo total de falha). As principais causas de quedas de feixe foram falhas no fornecimento de energia elétrica (50% dos eventos e 45% do tempo de falha), em fontes de corrente (20% dos eventos) e problemas ligados

ao sistema de intertravamento do anel de armazenamento (15% do tempo de falha). Ao longo do ano ocorreram 46 eventos de queda do feixe, com uma redução de 13% com relação a 2015. As principais causas de atrasos na entrega do feixe foram problemas diversos com o injetor (40% do tempo de falha) e eventos ligados às linhas de luz (20% dos eventos).

	Jan	Fev	Mar	Abr	Mai	Jun	Jul	Ago	Set	Set SB	Out	Nov	Dez	2016	
Corrente Inicial Média	245,8	249,0	252,9	252,8	252,4	252,6	252,1	253,3	252,7	7,7	253,3	253,3	253,5	252,3	mA
Corrente Média	168,1	169,3	175,4	177,1	183,7	180,8	181,8	185,7	180,3	4,9	183,7	179,3	180,2	179,4	mA
Tempo de Vida Médio	13,9	13,8	13,8	14,8	15,9	16,3	17,1	16,6	17,4	13,2	16,9	16,5	16,2	15,8	h
Corrente Integrada	27,2	53,3	64,5	58,2	57,5	79,6	44,6	63,3	63,2	0,3	72,8	62,8	41,4	688,9	A.h
Tempo de Feixe Programado	161,0	322,0	360,0	330,0	314,0	437,0	238,0	324,5	345,0	66,0	376,0	337,0	215,0	3825,5	h
Tempo de Feixe no Horário Programado	159,9	312,1	347,1	324,6	307,3	427,9	235,6	316,0	344,7	60,6	362,3	331,6	212,0	3741,7	h
Tempo Total de Feixe	161,9	314,7	367,5	328,8	312,9	440,2	245,3	340,8	350,6	60,8	396,1	350,2	229,5	3899,5	h
Confiabilidade	99,3	96,9	96,4	98,4	97,9	97,9	99,0	97,4	99,9	91,8	96,4	98,4	98,6	97,8	%
Desempenho	105,5	106,3	108,9	110,5	113,9	113,4	114,6	115,5	114,4		115,1	113,2	113,2	112,4	%

Indicador 7:**Propostas realizadas por usuários externos nas instalações abertas****Macroprocesso:**

Operar o Laboratório Nacional

Objetivo Estratégico do Contrato de Gestão:

Prover e manter infraestrutura nacional de classe mundial para pesquisa, desenvolvimento e inovação nas suas áreas de atuação disponibilizada à comunidade de pesquisa acadêmica e industrial.

Finalidade:

Medir o número de propostas realizadas nas instalações abertas do CNPEM.

Descrição:

Propostas realizadas por usuários externos nas instalações abertas do CNPEM, no ano de referência.

Fórmula de cálculo:*Indicador 7 = número total de propostas realizadas no período***Tipo:**

Uso

Peso:

3

Unidade:

Número Absoluto

Qualificação:

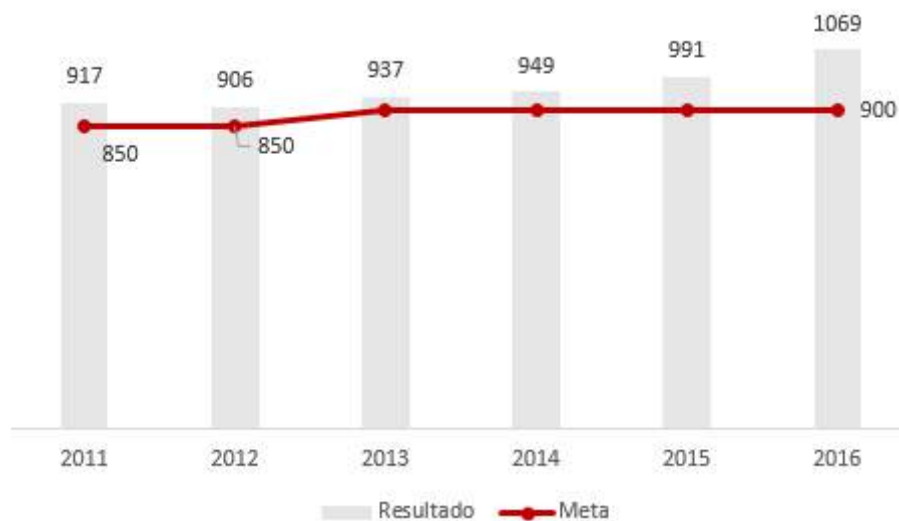
Eficácia

Meta 2016:

900

Realizado:

1069

Histórico indicador:

Comentário: Este indicador alcançou 119% da meta pactuada. As propostas de pesquisa externas realizadas nas instalações abertas do CNPEM distribuíram-se da seguinte forma: 43% - LNLS; 35% - LNNANO; 17% - LNBIO e 5% CTBE.

Propostas Realizadas

Propostas de Pesquisa Externas		1069
Laboratório Nacional de Luz Síncrotron		460
MX2		49
PGM		19
SAXS1		66
DXAS		22
SGM		2
SXS		33
TGM		8
XAFS1		10
XAFS2		43
XDS		29
XPD		35
XRD1		21
XRD2		36
XRF		31
IMX		22
XTMS		12
IR		22
Laboratório Nacional de Biociências		177
MAS		63
LEC		38
ROBOLAB		49
RMN		27
Laboratório Nacional de Nanotecnologia		376
LCS		48
CPM		32
DSF		4
LME		150
LMF		40
LMN		102
Laboratório Nacional de Ciência e Tecnologia do Bioetanol		56
LDB		3
PPDP		7
BVC		10
LDP		5
LAM		6
MET		13
NGS		12

Indicador 8: Artigos publicados por pesquisadores internos

Macroprocesso:

Realizar e difundir pesquisa própria

Objetivo Estratégico do Contrato de Gestão:

Realizar e difundir pesquisa própria, desenvolvimento e inovação em nível dos melhores laboratórios similares no mundo, em áreas previstas na Política Nacional de Ciência, Tecnologia e Inovação.

Finalidade:

Aferir resultados das atividades de pesquisa interna realizadas por pesquisadores e especialistas do CNPEM envolvidos com essas atividades.

Descrição:

Razão entre o número de artigos publicados por pesquisadores e especialistas do CNPEM em periódicos indexados na base *Web of Science*, no ano de referência, e o número de pesquisadores e especialistas considerados.

Fórmula de cálculo:

$$\text{Indicador 8} = \frac{\text{Número de artigos de pesq. e especialistas internos na base WoS no período}}{\text{Número de pesquisadores e especialistas internos no período}}$$

Tipo:

Uso

Peso:

4

Unidade:

Razão

Qualificação:

Efetividade

Meta 2016:

2,5

Realizado:

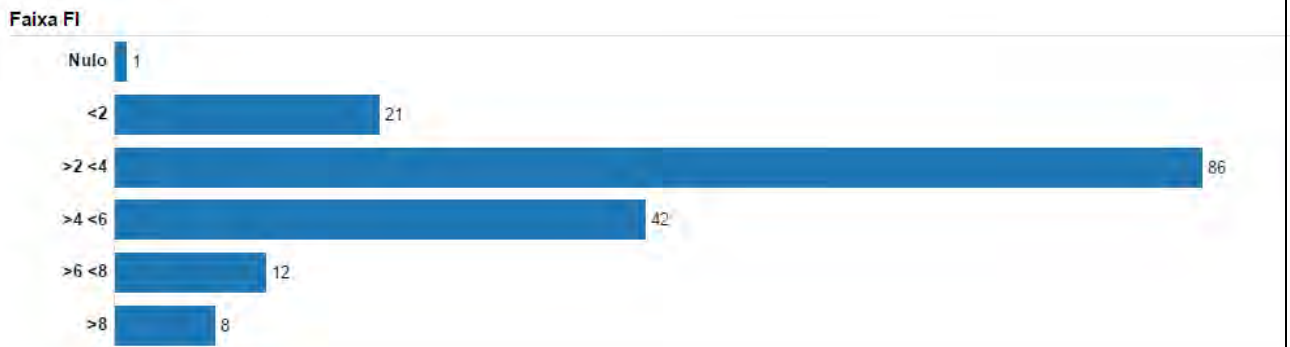
2,2

Histórico indicador:



Comentário: Atualmente o CNPEM conta com 86 pesquisadores na carreira científica, parte deles dedicada a projetos de desenvolvimento tecnológico de grande porte. Por outro lado, há um conjunto de especialistas que coordenam as instalações e também mantêm atividades de pesquisa e desenvolvimento que resultam em artigos científicos. Dessa forma, para efeito de apuração do indicador, considera-se uma lista de 79 pesquisadores internos. Eles foram responsáveis pela publicação de 170 artigos científicos indexados na base

Web of Science, no ano de 2016, o que correspondeu a uma taxa de 2,2 artigos por pesquisador interno, realizando 88% da meta pactuada para o ano.



Indicador 9:**Parcerias em projetos de P&D com instituições de ensino e pesquisa****Macroprocesso:**

Realizar e difundir pesquisa própria

Objetivo Estratégico do Contrato de Gestão:

Implantar e gerir a infraestrutura do CNPEM, visando ganhos de eficiência e eficácia mediante mecanismos de gestão, informação e difusão.

Finalidade:

Medir o esforço de cooperação dos Laboratórios Nacionais com instituições de ensino e pesquisa, voltado ao fortalecimento da capacidade mútua de solução de problemas científicos e tecnológicos.

Descrição:

Para a apuração deste indicador são contabilizados acordos de cooperação e contratos formalizados com instituições de ensino e pesquisa, vigentes no ano de referência.

Fórmula de cálculo:

$$\text{Indicador 9} = \text{número total de acordos e contratos com instituições de ensino e pesquisas vigentes no ano}$$
Tipo:

Desempenho

Peso:

2

Unidade:Número
Absoluto**Qualificação:**

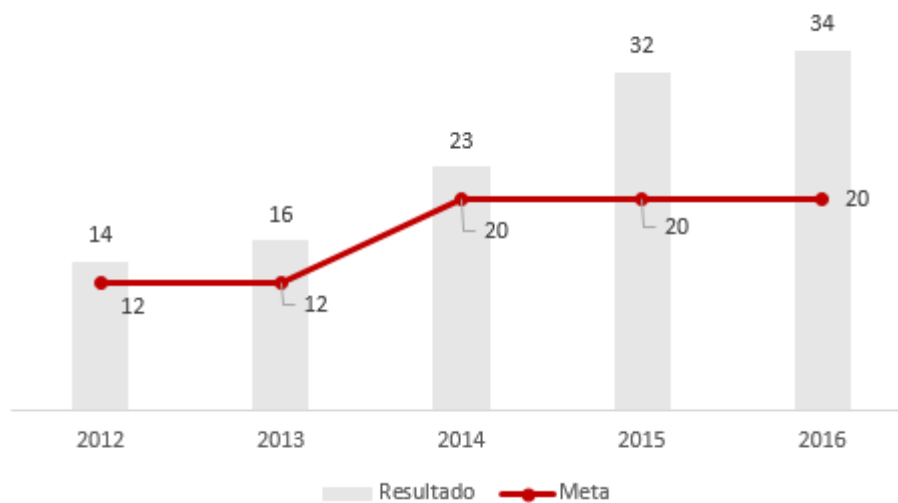
Eficiência

Meta 2016:

20

Realizado:

34

Histórico indicador:

Comentário: O indicador alcançou 170% da meta pactuada. Em 2016, o manteve 34 acordos com instituições de ensino e pesquisa, no Brasil e no exterior.

LN	Instituição Parceira	Início da Vigência	Fim da Vigência
CNPEM	Laboratório Nacional de Energia e Geologia, I.P., Portugal	05/12/2016	05/12/2020
CNPEM	Universidade Estadual de Campinas - UNICAMP	16/06/2011	15/06/2016
CNPEM	Universidade Estadual de Campinas - UNICAMP	17/09/2015	17/09/2016
CNPEM	Universidade Federal do Rio de Janeiro	20/12/2013	19/12/2019
CTBE	Forschungszentrum Jülich GmbH - JülichLeibniz-Zentrum für Agrarlandschaftsforschung e.V. - ZalfFeder	11/05/2015	31/12/2017
CTBE	Fundação Universidade de Caxias do Sul - FUCS	11/12/2009	10/06/2017
CTBE	Max-Planck Institute	17/06/2014	16/06/2017
CTBE	União da Agroindústria Canavieira do Estado de São Paulo - ÚNICA	12/04/2016	12/04/2020
CTBE	Universidade Estadual de Campinas - UNICAMP	01/10/2015	28/02/2017
CTBE	Universidade Federal de Pernambuco	27/06/2016	27/01/2017
CTBE	Universidade Federal de Pernambuco	27/06/2016	27/11/2016
CTBE	University of British Columbia	29/02/2016	29/02/2019
LN BIO	Centro Infantil de Investigação Hematológicas Dr. Domingos A. BoldrinieRheabiotech Desenvolvement	21/12/2011	20/12/2023
LN BIO	Centro Nacional de La Recherche ScientifiqueCommissariat a L'Energie Atomique Et Aux energies Alte	12/07/2013	11/07/2017
LN BIO	DNDi - Drugs for Neglected Diseases Initiative	01/01/2016	31/12/2016
LN BIO	Fundação Antonio Prudente (Hospital A.C. Camargo)	04/11/2012	03/11/2017
LN BIO	Fundação Centros de Referência em Tecnologias Inovadoras	19/08/2011	18/08/2021
LN BIO	Instituto D'or de Pesquisa e Ensino	28/03/2016	28/03/2017
LN BIO	Instituto Nacional de Metrologia, Qualidade e Tecnologia - INMETROFundação Oswaldo Vieira - FIOCR	04/08/2015	04/09/2020
LN BIO	The Rector and Visitors of the University of Virginia	16/09/2016	16/09/2021
LN BIO	UNIMORE - Universita Degli Studi Di Modena E Reggio Emilia	01/02/2014	31/01/2017
LN BIO	Univerisidade de São Paulo (USP), através do Instituto de Química de São Carlos (IQSC)	17/03/2015	16/03/2020
LNLS	Brookhaven Science Associates	16/12/2011	15/12/2016
LNLS	Censejo Nacional de Investigaciones Científicas y Técnicas	08/10/2012	07/10/2017
LNLS	Deutsches Elektronen-Synchrotron DESYEuropean XFEL GmbH	05/05/2011	04/05/2016
LNLS	European Organization for Nuclear Research	16/01/2013	15/01/2017
LNLS	European Organization for Nuclear Research	14/01/2013	Indeterminado
LNNANO	Associação Pro Ensino em Santa Cruz do Sul - UNISC	13/11/2015	13/11/2016
LNNano	Fraunhofer-Gesellschaft zur Förderung der angewandten Forschung e.V.	01/09/2014	31/08/2017
LNNano	Fraunhofer-Gesellschaft zur Förderung der angewandten Forschung e.V.	01/04/2015	31/03/2018
LNNANO	Fundação de Desenvolvimento de Pesquisa - FUNDEP e Instituto de Biologia Molecular do Paraná - IB	24/08/2016	24/08/2018
LNNano	Instituto de Biologia Molecular o Paraná - IBMP	02/06/2015	01/06/2020
LNNano	Ministério da Ciência, Tecnologia e Inovação	12/08/2014	11/08/2016
LNNANO	The National Center for Nanoscience and Nanotechnology (NERCN)	05/09/2012	27/09/2017

Indicador 10: Memorando técnicos																								
Macroprocesso: Realizar e difundir pesquisa própria																								
Objetivo Estratégico do Contrato de Gestão: Realizar e difundir pesquisa própria, desenvolvimento e inovação em nível dos melhores laboratórios similares no mundo, em áreas previstas na Política Nacional de Ciência, Tecnologia e Inovação.																								
Finalidade: Medir o desenvolvimento de instrumentação científica e de métodos de forma periódica e sistemática																								
Descrição: Para a apuração do indicador, é contabilizado o número de memorandos técnicos produzidos e publicados no <i>site</i> do CNPEM na internet, no ano de referência.																								
Fórmula de cálculo: <i>Indicador 10 = Número de memorandos técnicos disponibilizados na página eletrônica do CNPEM no ano</i>																								
Tipo: Desempenho	Peso: 2	Unidade: Número Absoluto	Qualificação: Efetividade																					
		Meta 2016: 14	Realizado: 21																					
Histórico indicador:																								
<table border="1"> <thead> <tr> <th>Ano</th> <th>Resultado</th> <th>Meta</th> </tr> </thead> <tbody> <tr> <td>2011</td> <td>10</td> <td>10</td> </tr> <tr> <td>2012</td> <td>10</td> <td>10</td> </tr> <tr> <td>2013</td> <td>14</td> <td>10</td> </tr> <tr> <td>2014</td> <td>11</td> <td>11</td> </tr> <tr> <td>2015</td> <td>22</td> <td>11</td> </tr> <tr> <td>2016</td> <td>21</td> <td>14</td> </tr> </tbody> </table>				Ano	Resultado	Meta	2011	10	10	2012	10	10	2013	14	10	2014	11	11	2015	22	11	2016	21	14
Ano	Resultado	Meta																						
2011	10	10																						
2012	10	10																						
2013	14	10																						
2014	11	11																						
2015	22	11																						
2016	21	14																						
Comentário: Em 2016, vinte e um novos Memorandos Técnicos foram cadastrados na biblioteca e publicados no <i>site</i> dos Laboratórios Nacionais. Esses resultados representam 150% da meta pactuada.																								

Processos de fermentação alcoólica com reciclo de células	YAMAKAWA, C. K.; LEAL, J. S. M.; NOLASCO JR., J.; ROSSEL, C. E. V.	CTBE
Uso da técnica de cicloísmo circular para avaliação de proteínas com aplicações biotecnológicas	ZANPHORLIN, L. M.; RULLER, R.	CTBE
Components databank for the industrial simulations in the virtual sugarcane biorefinery (VSB)	SAMPAIO, I.; MORAIS, ED. R. DE; JUNQUEIRA, T. L.; GOUVEIA, V. L. R. DE; BONOMI, A. M. F. L. J.	CTBE
Surveying the complex polyploid sugarcane genome sequence using synthetic long reads	RIAÑO-PACHÓN, D. M.; MATTIELLO, L.; CRUZ, L. P.	CTBE
Laboratory and data analysis procedures for determination of biomass nanoscale porosity employing calorimetric thermoporometry	MENDES, F. M.; LING, L. Y.; DRIEMEIER, C. E.	CTBE
Description of scenarios for first generation surgarcane facilities evaluated using the Virtual Sugarcane Biorefinery (VSB)	JUNQUEIRA, T. L.; JESUS, C. D. F.; SAMPAIO, I. L. DE.; BONOMI, A. M. F. L. J.	CTBE
Beamline controls - Beamlines Common Systems	ALMEIDA, H. D.; BARBOSA, M.; BENIZ, D. B.; DONADIO, M. P.; MURARI, J.; PITON, J. R.	LNLS
Lighting - Beamlines Common Systems	ARRUDA, V. C.; CANOVA, H. F.; CARDOSO, F. H.	LNLS
Personnel Protection System (PPS) - Beamlines Common Systems	CANOVA, H. F.; CARDOSO, F. H.; SANFELICI, L.	LNLS
Uninterruptible Power System (UPS) - Beamlines Common Systems	CANOVA, H. F.; CARDOSO, F. H.; SANFELICI, L.	LNLS
Cabling - Beamlines Common Systems	PORTO, C. H. R.; CANOVA, H. F.; CARDOSO, F. H.; SANFELICI, L.	LNLS
HVAC (Heating, Ventilating and Air Conditioning) - Sistemas Comuns para Linhas de Luz	SILVA, L. G. DA; CARDOSO, F. H.; SILVA, O. H. V.; ROSA, A. C.; FONSECA, P. T.; SANFELICI, L.	LNLS
Radiological Protection Specifications for Front Ends and Beamlines - Beamlines Common Systems and IVU Front-ends	SANTO, M. L. R.; MADACKI, R.	LNLS
Equipment Protection System (EPS) - Beamlines Common Systems	CANOVA, H. F.; CARDOSO, F. H.; SANFELICI, L.	LNLS
Vacuum Instrumentation - Beamlines Common Systems	RODRIGUES, G. L. M. P.	LNLS
Injection dynamics for Sirius using a nonlinear kicker	LIN, L.; SÁ, F. H.; RESENDE, X. R.; RODRIGUES, A. R. D.	LNLS
Optimization of nonlinear dynamics for Sirius	SÁ, F. H.; LIN, L.; RESENDE, X. R.	LNLS
A new optics for Sirius	LIN, L.; SÁ, F. H.; RESENDE, X. R.	LNLS
Sirius status report	RODRIGUES, A. R. D.; ARROYO, F. C.; BAGNATO, O. R.; CITADINI, J. F.; FARIAS, R. H. A.; FRANCO, J. G. R. S.; LIN, L.; NEUENSCHWANDER, R. T.; MARQUES, S. R.; RODRIGUES, C.; RODRIGUES, FL.; SERAPHIM, R. M.; SILVA, O. H. V.	LNLS
Design of a CDA grating monochromator for the THz spectral range	BARROS, A. DE; SCORZATO, C.; CASTRO, A. R. B.	LNLS
Attractive and repulsive forces regime in scanning probe micros-copy: effects on resonance frequency, amplitude and phase signal in the tip / surface interaction	COSTA, C. A. R.; LANZONI, E. M.; GARCIA JR., A. J.; DENEKE, C.	LNNANO

Indicador 11: Taxa de supervisão de pós-doutores																								
Macroprocesso: Gerir a infraestrutura, formar recursos humanos e promover a inovação.																								
Objetivo Estratégico do Contrato de Gestão: Realizar e difundir pesquisa própria, desenvolvimento e inovação em nível dos melhores laboratórios similares no mundo, em áreas previstas na Política Nacional de Ciência, Tecnologia e Inovação.																								
Finalidade: Medir a capacidades de atração pelo CNPEM de jovens pesquisadores, contribuindo para sua formação acadêmica e fortalecendo a base interna de pesquisa.																								
Descrição: Pós- doutores supervisionados por pesquisadores do CNPEM																								
Fórmula de cálculo: $\text{Indicador 11} = \frac{\text{número total de pós – doutores supervisionados no período}}{\text{número de pesquisadores internos no período}}$																								
Tipo: Desempenho	Peso: 3	Unidade: Razão	Qualificação: Eficiência																					
Meta 2016: 1,0			Realizado: 0,96																					
Histórico indicador:																								
<table border="1"> <caption>Histórico do Indicador 11</caption> <thead> <tr> <th>Ano</th> <th>Resultado</th> <th>Meta</th> </tr> </thead> <tbody> <tr> <td>2011</td> <td>0,63</td> <td>1,0</td> </tr> <tr> <td>2012</td> <td>0,69</td> <td>1,0</td> </tr> <tr> <td>2013</td> <td>1,1</td> <td>1,0</td> </tr> <tr> <td>2014</td> <td>1,26</td> <td>1,0</td> </tr> <tr> <td>2015</td> <td>0,97</td> <td>1,0</td> </tr> <tr> <td>2016</td> <td>0,96</td> <td>1,0</td> </tr> </tbody> </table>				Ano	Resultado	Meta	2011	0,63	1,0	2012	0,69	1,0	2013	1,1	1,0	2014	1,26	1,0	2015	0,97	1,0	2016	0,96	1,0
Ano	Resultado	Meta																						
2011	0,63	1,0																						
2012	0,69	1,0																						
2013	1,1	1,0																						
2014	1,26	1,0																						
2015	0,97	1,0																						
2016	0,96	1,0																						
Comentário: Um total de 76 doutores desenvolveram projetos de pós-doutoramento supervisionados por pesquisadores internos do CNPEM ao longo do ano de 2016. Considerando um total de 79 pesquisadores internos (ver Indicador 8), o resultado do indicador alcançou 96% da meta pactuada.																								

Indicador 12:
Tecnologias protegidas

Macroprocesso:

Gerir a infraestrutura, formar recursos humanos e promover a inovação

Objetivo Estratégico do Contrato de Gestão:

Realizar e difundir pesquisa própria, desenvolvimento e inovação em nível dos melhores laboratórios similares no mundo, em áreas previstas na Política Nacional de Ciência, Tecnologia e Inovação.

Finalidade:

Aferir resultados das atividades de pesquisa e desenvolvimento próprias dos Laboratórios Nacionais do CNPEM.

Descrição:

Para a apuração deste indicador são contabilizados pedidos de patentes, registros de *software* e modelos de utilidade depositados no Instituto Nacional de Propriedade industrial ou em outros escritórios de patentes, no ano de referência.

Fórmula de cálculo:

Indicador 12 = número total de pedidos de propriedade intelectual depositados no ano

Tipo:

Desempenho

Peso:

1

Unidade:

Número
Absoluto

Qualificação:

Efetividade

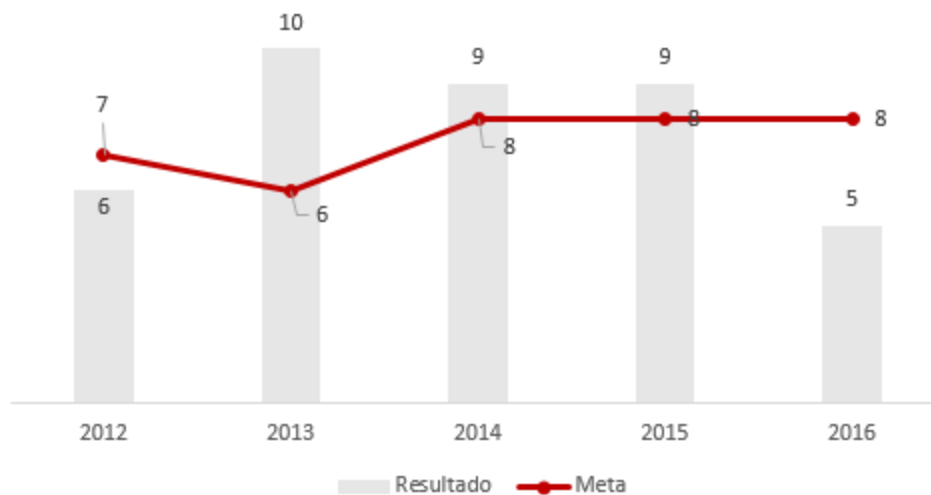
Meta 2016:

8

Realizado:

5

Histórico indicador:



Comentário: Em 2016, o CNPEM depositou cinco novos pedidos de propriedade intelectual, número inferior à meta estabelecida para o ano.

	Modalidade	Processo	Título	Data de solicitação de registro	LN
1	Patente	BR 10 2016 006587 9	Microrganismo Recombinante e Método para a Produção de Butanol - BUTANOL	24/03/2016	CTBE
2	Patente	BR 10 2016 014426-4	Processo de solda por fricção e mistura mecânica para união de tubos bimetálicos	20/06/2016	LNNano
3	Patente	BR 10 2016 016719 1	Método de tratamento de extrato orgânico compreendendo um produto alvo obtida a partir do processamento de biomassa "Esmeralda"	19/07/2016	CTBE
4	Patente	BR 10 2016 020900 5	MÉTODO DE CONTROLE DE GRAU DE LIBERDADE EM SISTEMAS MECATRÔNICOS E NOCROMADOR DE DUPLO RISTAL	09/09/2016	LNLS
5	Patente	BR 10 2016 030134 3	Processo de obtenção de nanocompósito à base de óxido de grafeno e nanopartículas de sílica, nanocompósito assim obtido e seus usos	21/12/2016	LNNANO

Áreas de Atuação da PI

Biociência 1	PESQUISA E DESENVOLVIMENTO EXPERIMENTAL EM CIÊNCIAS FÍSICAS E NATURAIS 1	Produção de componentes para extração e refino de petróleo e gás, soldas avançadas para produção de peças e componentes mecânicos, automotivos e aeroespaciais 1
Produção de medicamentos oncológicos para saúde humana e animal de aplicação hospitalar e para venda direta ao consumidor. Aplicação em nanomateriais destinados para tratamento de efluentes da indústria têxtil, química e de petróleo, e para remediação ambiental de diversas naturezas 1	Química 1	

Indicador 13: Recursos adicionais ao Contrato de Gestão																		
Macroprocesso: Gerir a infraestrutura, formar recursos humanos e promover a inovação																		
Objetivo Estratégico do Contrato de Gestão: Implantar e gerir a infraestrutura do CNPEM, visando ganhos de eficiência e eficácia mediante mecanismos de gestão, informação e difusão.																		
Finalidade: Medir o volume de recursos adicionais ao Contrato de Gestão, empregado no financiamento da operação do CNPEM.																		
Descrição: Razão entre o volume de recursos recebidos de contratos e convênios com empresas, instituições de fomento (auxílios individuais e instituições), rendimentos financeiros e aluguéis e o volume de recursos do Contrato de Gestão efetivamente repassados, no ano de referência. Inclui Restos a Pagar dos anos anteriores e exclui recursos aportados a projetos.																		
Fórmula de cálculo: $\text{Indicador 13} = \frac{\text{Recursos de outras fontes no período}}{\text{Recursos do Contrato de Gestão no período}}$																		
Tipo: Desempenho	Peso: 2	Unidade: Percentual	Qualificação: Eficiência															
		Meta 2016: 30%	Realizado: 26%															
Histórico indicador:																		
<table border="1"> <caption>Histórico do Indicador 13</caption> <thead> <tr> <th>Ano</th> <th>Resultado (%)</th> <th>Meta (%)</th> </tr> </thead> <tbody> <tr> <td>2013</td> <td>30%</td> <td>30%</td> </tr> <tr> <td>2014</td> <td>49%</td> <td>30%</td> </tr> <tr> <td>2015</td> <td>65%</td> <td>30%</td> </tr> <tr> <td>2016</td> <td>26%</td> <td>30%</td> </tr> </tbody> </table>				Ano	Resultado (%)	Meta (%)	2013	30%	30%	2014	49%	30%	2015	65%	30%	2016	26%	30%
Ano	Resultado (%)	Meta (%)																
2013	30%	30%																
2014	49%	30%																
2015	65%	30%																
2016	26%	30%																
Comentário: Este indicador mede a razão entre o volume de recursos recebidos de outras fontes pelo CNPEM e o montante de recursos do Contrato de Gestão efetivamente repassados no período. Em 2016, o CNPEM recebeu um R\$ 35,9 milhões de outras fontes. Nesse ano, foi recebido por meio do Contrato de Gestão (exceto Projetos) o valor de R\$ 139,9 milhões, sendo R\$ 65,5 milhões provenientes de restos a pagar de 2015 e R\$ 74,4 milhões referentes aos dois Termos Aditivos assinados no ano de 2016. O resultado apurado para o indicador foi 26%, ou 14% inferior à meta pactuada.																		

Recursos de Outras Fontes	35.886
Convênios e Projetos	22.105
Devolução de Convênios e Projetos	-17
Prestação de Serviço	2.513
Rendimento Financeiro	5.793
Outras Receitas	803
Auxílios Individuais (Recursos executados)	4.689
Recursos do Contrato de Gestão no período	139.861
Contrato de Gestão - 2016	83.961
Restos a pagar 2015 - Operação	55.900

Nota: o valor negativo de R\$ 17 mil corresponde a devolução de saldo financeiro de convênios com a Petrobras encerrados em 2016.

**Indicador 14:
Parcerias em projetos PD&I com AIS**

Macroprocesso:

Gerir a infraestrutura, formar recursos humanos e promover a inovação.

Objetivo Estratégico do Contrato de Gestão:

Implantar e gerir a infraestrutura do CNPEM, visando ganhos de eficiência e eficácia mediante mecanismos de gestão, informação e difusão.

Finalidade:

Medir o esforço de cooperação dos Laboratórios Nacionais com empresas para o fortalecimento da capacidade de inovação no País.

Descrição:

Para a apuração deste indicador são contabilizados acordos de cooperação formalizados com empresas, vigentes no ano de referência.

Fórmula de cálculo:

Indicador 14 = número total de acordos com empresas produtivas vigentes no período

Tipo:

Desempenho

Peso:

2

Unidade:

Número
Absoluto

Qualificação:

Eficiência

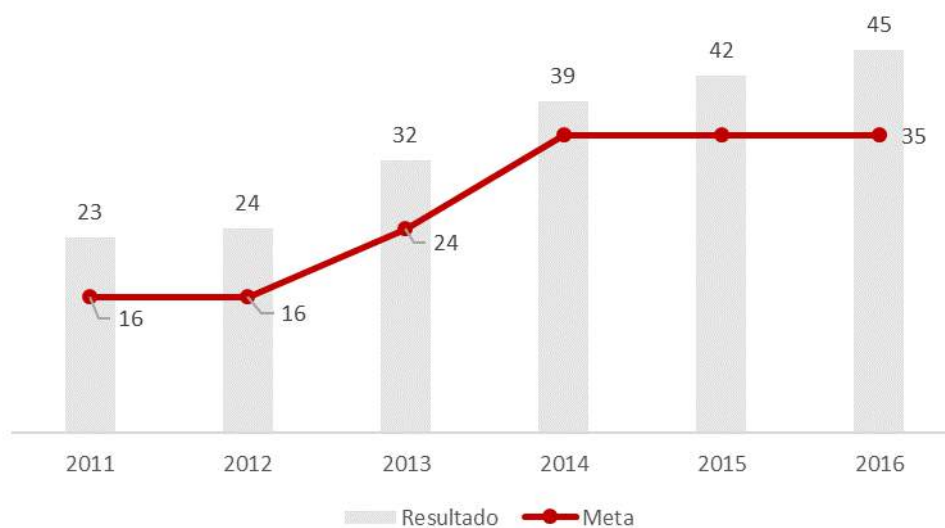
Meta 2016:

35

Realizado:

45

Histórico indicador:



Comentário: Em 2016 o CNPEM registrava 45 projetos em parceria com empresas de diversos portes e setores de aplicação. O resultado foi bastante superior à meta estipulada.

LN	Empresa Parceira	Setor de Aplicação	Início da Vigência	Fim da Vigência
CTBE	BP Energy do Brasil Ltda	Biocombustíveis	22/11/2012	31/12/2016
CTBE	BP Corporation North America INC.	Sustentabilidade	01/07/2013	31/03/2016
CTBE	DOW Brasil Sudeste Industrial Ltda e DSM South America Ltda	Biocombustíveis	14/03/2014	21/07/2017
CTBE	Dedini S/A Indústria de Base	Biocombustíveis	12/07/2011	11/07/2016
CTBE	Máquinas Agrícolas Jacto S.A	Agrícola	03/05/2011	31/12/2016
CTBE	Rhodia Poliamida e Especialidades Ltda - RHODIA	Química Verde	23/02/2012	30/06/2016
CTBE	Raízen Energia S/A	Agrícola	20/03/2013	19/03/2018
CTBE	ETH Bioenergia S.A.	Biocombustíveis	28/10/2011	27/10/2016
CTBE	Eli Lilly do Brasil Ltda	Biocombustíveis	02/09/2013	02/09/2016
CTBE	Braskem S/A	Química Verde	12/06/2013	11/06/2020
CTBE	Empresa Brasileira de Pesquisa Agropecuária - EMBRAPA	Biocombustíveis	24/03/2014	23/03/2017
CTBE	Empresa Brasileira de Pesquisa Agropecuária - EMBRAPA e Universidade de São Paulo - USP	Química Verde	18/03/2015	17/03/2018
CTBE	Açucareira Quatá S/A Companhia Agrícola Quatá	Agrícola	26/08/2015	26/08/2016
CTBE	São Martinho S.A	Agrícola	28/09/2015	28/09/2016
CTBE	Petróleo Brasileiro S/A PETROBRAS e Universidade Federal de São	Biocombustíveis	01/12/2015	02/09/2016
CTBE	Açucareira Quatá S/A e Companhia Agrícola Quatá	Sustentabilidade	09/11/2015	09/05/2019
CTBE	Pedra Agroindustrial S/A	Sustentabilidade	05/09/2016	05/09/2021
CTBE	Mahle Metal Leve S/A	Biocombustíveis	19/09/2016	19/09/2018
CTBE	Usina Santa Isabel - Unidade de Mendonça S/A	Sustentabilidade	20/09/2016	20/09/2021
CTBE	Brasil Kirin Indústria de Bebidas S/A	Alimentício	03/10/2016	03/03/2017
CTBE	PNUD Usinas	Sustentabilidade	20/04/2015	31/12/2019
LNBIO	Natura Inovação e Tecnologia de Produtos Ltda	Fármacos	18/10/2010	18/04/2016
LNBIO	Recepta Biophama	Fármacos	25/02/2014	24/05/2017
LNBIO	ChromaDex Inc	Fármacos	03/04/2014	02/04/2019
LNBIO	ColOff Industrial Ltda EPP	Fármacos	26/02/2014	26/02/2017
LNBIO	Brasil Kirin Indústria de Bebidas S/A	Alimentício	19/12/2014	18/12/2017
LNBIO	Phytobios Pesquisa, Desenvolvimento e Inovação Ltda	Fármacos	05/08/2014	24/01/2018
LNBIO	Cencoderma Instituição de Pesquisa e Desenvolvimento de Cosméticos	Cosméticos	27/11/2015	27/11/2016
LNLS	ADEST Técnicas para soldagem de Metais Ltda	Petrolífero	15/06/2007	14/06/2027
LNLS	WEG Equipamentos Elétricos S/A	Engenharia	14/02/2014	13/02/2016
LNNANO	Petróleo Brasileiro S/A - PETROBRAS	Petrolífero	12/12/2012	31/03/2016
LNNANO	Tecnodrill Industria de Máquinas Ltda	Automação	10/07/2013	09/07/2018
LNNANO	Petróleo Brasileiro S/A PETROBRAS	Petrolífero	10/09/2013	09/09/2016
LNNANO	Mahle Metal Leve S/A	Automobilístico	24/04/2013	23/12/2016
LNNANO	FMC Technologies do Brasil Ltda	Petrolífero	17/07/2014	30/03/2017
LNNANO	Petróleo Brasileiro S/A PETROBRAS	Petrolífero	23/12/2014	22/12/2017
LNNANO	Petróleo Brasileiro S/A PETROBRAS	Petrolífero	09/12/2014	08/12/2016
LNNANO	Nova Analítica Importação e Exportação Ltda	Instrumentação	30/04/2015	29/04/2017
LNNANO	Votorantim Metais e Embraer S.A.	Aeronáutica	28/09/2015	28/08/2020
LNNANO	Petróleo Brasileiro S/A PETROBRAS	Microeletrônica e microfabricação	29/01/2016	27/01/2018
LNNANO	Omnis Biotecnologia S.A	Nanomateriais	11/08/2016	10/08/2018
LNNANO	Petróleo Brasileiro S/A PETROBRAS	Sensores e dispositivos	16/08/2016	15/08/2019
LNNANO	Ticon Indústria, Comércio, Importação e Exportação de Tintas Cond	Nanomateriais	06/09/2016	05/09/2018
LNNANO	Comp Line Informática Ltda	Sensores e dispositivos	23/10/2016	22/10/2018
SIRIUS	BRPHOTONICS Produtos Optoeletrônicos Ltda	Instrumentação	18/05/2016	18/04/2018

Indicador 15: Recursos associados à inovação																		
Macroprocesso: Gerir a infraestrutura, formar recursos humanos e promover a inovação.																		
Objetivo Estratégico do Contrato de Gestão: Implantar e gerir a infraestrutura do CNPEM, visando ganhos de eficiência e eficácia mediante mecanismos de gestão, informação e difusão.																		
Finalidade: Aferir o volume de recursos associados a projetos de parceria e contratos de prestação de serviços envolvendo empresas dos setores de agricultura, indústria e serviços.																		
Descrição: Razão entre o volume de recursos associados a projetos de parceria e contratos de prestação de serviços diretamente relacionados à inovação e o volume total de recursos recebidos, no ano de referência.																		
Fórmula de cálculo: $\text{Indicador 15} = \frac{\text{Recursos de projetos e contratos com empresas recebidos no período}}{\text{Recursos totais recebidos no período}}$																		
Tipo: Desempenho	Peso: 2	Unidade: Percentual	Qualificação: Eficiência															
Meta 2016: 8%			Realizado: 13%															
Histórico indicador:																		
<table border="1"> <thead> <tr> <th>Ano</th> <th>Resultado (%)</th> <th>Meta (%)</th> </tr> </thead> <tbody> <tr> <td>2013</td> <td>12%</td> <td>8%</td> </tr> <tr> <td>2014</td> <td>16%</td> <td>8%</td> </tr> <tr> <td>2015</td> <td>25%</td> <td>8%</td> </tr> <tr> <td>2016</td> <td>13%</td> <td>8%</td> </tr> </tbody> </table>				Ano	Resultado (%)	Meta (%)	2013	12%	8%	2014	16%	8%	2015	25%	8%	2016	13%	8%
Ano	Resultado (%)	Meta (%)																
2013	12%	8%																
2014	16%	8%																
2015	25%	8%																
2016	13%	8%																
Comentário: Em 2016, foram recebidos R\$ 23,5 milhões provenientes de projetos de parceria com empresas e contratos de prestação de serviços voltados à inovação. No mesmo ano, o CNPEM recebeu um volume de R\$ 175,7 milhões de todas as fontes, incluindo o Contrato de Gestão. Portanto, o resultado apurado para o indicador foi 13%, mais de 60% superior à meta do ano.																		

Recursos de Projetos e Contratos com empresas	23.472
Convênios com Inovação	20.980
Devolução de Convênios e Projetos	-17
Prestação de Serviços	2.508
Recursos Totais Recebidos	175.747
Contrato de Gestão - 2016	83.961
Restos a pagar 2015 - Operação	55.900
Convênios e Projetos	22.105
Devolução de Convênios e Projetos	-17
Prestação de Serviço	2.513
Rendimento Financeiro	5.793
Outras Receitas	803
Auxílios Individuais (Recursos executados)	4.689

Nota: o valor negativo de R\$ 17 mil corresponde a devolução de saldo financeiro de convênios com a Petrobras encerrados em 2016.

Indicador 16: Capacitação de pesquisadores externos

Macroprocesso:

Gerir a infraestrutura, formar recursos humanos e promover a inovação.

Objetivo Estratégico do Contrato de Gestão:

Implantar e gerir a infraestrutura do CNPEM, visando ganhos de eficiência e eficácia mediante mecanismos de gestão, informação e difusão.

Finalidade:

Medir o esforço dos Laboratórios Nacionais na capacitação de pesquisadores da comunidade científica e tecnológica brasileira.

Descrição:

O indicador é obtido a partir do somatório do fator C para cada curso de capacitação (presencial) no ano de referência. Este fator C é obtido pela multiplicação das horas de capacitação do curso pelo seu número de participantes.

Fórmula de cálculo:

Indicador 16 =

$$\sum_{x=0,n} (\text{Número de horas de capacitação do curso } x * \text{Número de participantes no curso } x)$$

Tipo:

Uso

Peso:

2

Unidade:

Número Absoluto

Qualificação:

Eficácia

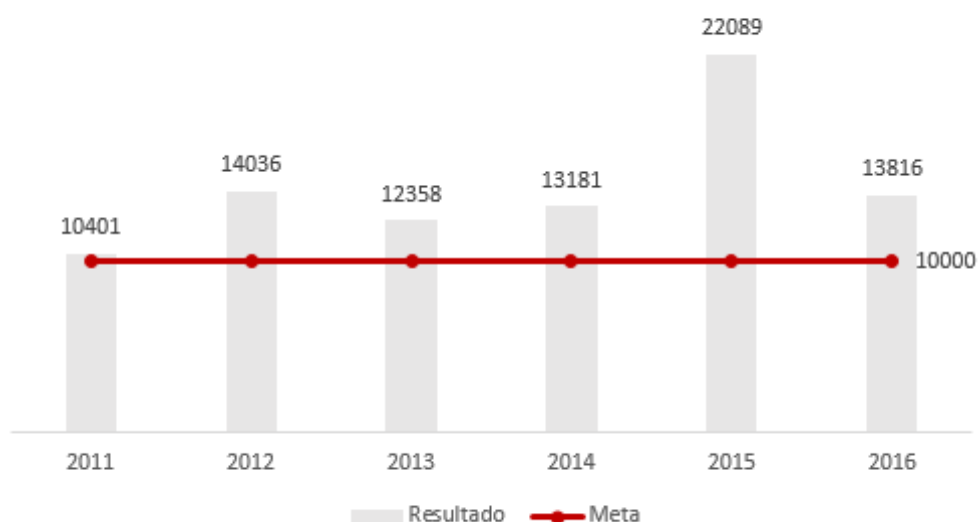
Meta 2016:

10.000

Realizado:

13.816

Histórico indicador:



Comentário: O CNPEM promoveu 12 eventos de capacitação no ano de 2016, que totalizaram 338 horas de curso e contaram com 443 participantes externos. O resultado apurado (13.816) foi muito superior à meta do ano (10.000).

Título do Curso de Capacitação	LN	Data do evento	nº de horas	Fator C	Nº total externos do evento
VI TEM Summer School	LNNano	11/jan	7,00	525,00	76
VI TEM Summer School	LNNano	12/jan	7,00	525,00	76
VI TEM Summer School	LNNano	13/jan	7,00	532,00	76
VI TEM Summer School	LNNano	14/jan	7,00	525,00	76
VI TEM Summer School	LNNano	15/jan	7,00	518,00	76
VI TEM Summer School	LNNano	18/jan	7,00	518,00	76
VI TEM Summer School	LNNano	19/jan	7,00	525,00	76
VI TEM Summer School	LNNano	20/jan	7,00	532,00	76
VI TEM Summer School	LNNano	21/jan	7,00	511,00	76
VI TEM Summer School	LNNano	22/jan	7,00	525,00	76
VI TEM Summer School	LNNano	25/jan	7,00	126,00	18
VI TEM Summer School	LNNano	26/jan	7,00	126,00	18
VI TEM Summer School	LNNano	27/jan	7,00	126,00	18
VI TEM Summer School	LNNano	28/jan	7,00	126,00	18
VI TEM Summer School	LNNano	29/jan	7,00	126,00	18
Short Course on X-ray Nanoprobe and Coherence at Synchrotron Light Sources	LNLS	22/mar	5,50	38,50	7
Short Course on X-ray Nanoprobe and Coherence at Synchrotron Light Sources	LNLS	23/mar	5,50	38,50	7
5th School of Small Angle X-ray Scattering Data Analysis	LNLS	02/mai	6,00	138,00	23
5th School of Small Angle X-ray Scattering Data Analysis	LNLS	03/mai	7,00	161,00	23
5th School of Small Angle X-ray Scattering Data Analysis	LNLS	04/mai	7,00	161,00	23
5th School of Small Angle X-ray Scattering Data Analysis	LNLS	05/mai	8,00	184,00	23
5th School of Small Angle X-ray Scattering Data Analysis	LNLS	06/mai	4,00	92,00	23
Workshop em Calorimetria de Proteínas e Técnicas Ortogonais para Caracterização de Biomoléculas	LNBio	22/jun	6,00	390,00	65
Minicurso: Fluidodinâmica de Sistemas de Microfluidica Monofásico	LNNano	22/jul	4,00	132,00	33
Curso de Introdução – Nanotecnologia & Nanotoxicologia	LNNano	03/ago	8,00	704,00	88
Curso de Introdução – Nanotecnologia & Nanotoxicologia	LNNano	04/ago	7,50	622,50	88
The 7th Brazil School for Single Particle Cryo-EM	LNNano	11/ago	6,00	210,00	35
The 7th Brazil School for Single Particle Cryo-EM	LNNano	12/ago	10,00	350,00	35
The 7th Brazil School for Single Particle Cryo-EM	LNNano	13/ago	10,00	350,00	35
The 7th Brazil School for Single Particle Cryo-EM	LNNano	15/ago	10,00	350,00	35
The 7th Brazil School for Single Particle Cryo-EM	LNNano	16/ago	10,00	350,00	35
The 7th Brazil School for Single Particle Cryo-EM	LNNano	17/ago	10,00	350,00	35
The 7th Brazil School for Single Particle Cryo-EM	LNNano	18/ago	10,00	350,00	35
The 7th Brazil School for Single Particle Cryo-EM	LNNano	19/ago	10,00	350,00	35
The 7th Brazil School for Single Particle Cryo-EM	LNNano	21/ago	10,00	340,00	35
The 7th Brazil School for Single Particle Cryo-EM	LNNano	22/ago	10,00	340,00	35
The 7th Brazil School for Single Particle Cryo-EM	LNNano	23/ago	3,00	102,00	35
5th School on X-Ray Spectroscopy Methods	LNLS	22/ago	10,00	340,00	34
5th School on X-Ray Spectroscopy Methods	LNLS	23/ago	8,00	272,00	34
Workshop on Metabolomics (User Training)	CTBE	30/ago	7,00	161,00	23
Workshop on Metabolomics (User Training)	CTBE	01/set	7,00	161,00	23
Workshop on Metabolomics (User Training)	CTBE	02/set	7,00	154,00	22
Workshop de caracterização de macromoléculas com foco em estabilidade estrutural e afinidade de interações, com uso de nanoDSF e termoforese em microescala	LNBio	21/set	3,50	21,00	6
11th International Workshop Personal Computers and Particle Accelerator Controls 2016 (PCaPAC)	LNLS	25/out	7,50	337,50	45
Integrated analysis of shotgun proteomic data with PatternLab for proteomics 4.0	LNBio	10/nov	8,00	216,00	27
Integrated analysis of shotgun proteomic data with PatternLab for proteomics 4.0	LNBio	11/nov	8,00	184,00	27

Indicador 17: Eventos científicos

Macroprocesso:

Gerir a infraestrutura, formar recursos humanos e promover a inovação

Objetivo Estratégico do Contrato de Gestão:

Implantar e gerir a infraestrutura do CNPEM, visando ganhos de eficiência e eficácia mediante mecanismos de gestão, informação e difusão

Finalidade:

Medir o número de eventos científicos promovidos pelo CNPEM direcionados à comunidade científica e tecnológica brasileira.

Descrição:

Para a apuração deste indicador é contabilizado o número de eventos de grande porte (acima de 50 participantes), de caráter científico, realizados pelo CNPEM no ano de referência, envolvendo participantes externos. O indicador não inclui cursos de capacitação.

Fórmula de cálculo:

$$\text{Indicador 17} = \text{número de eventos científicos do período}$$

Tipo:

Uso

Peso:

2

Unidade:

Número Absoluto

Qualificação:

Eficácia

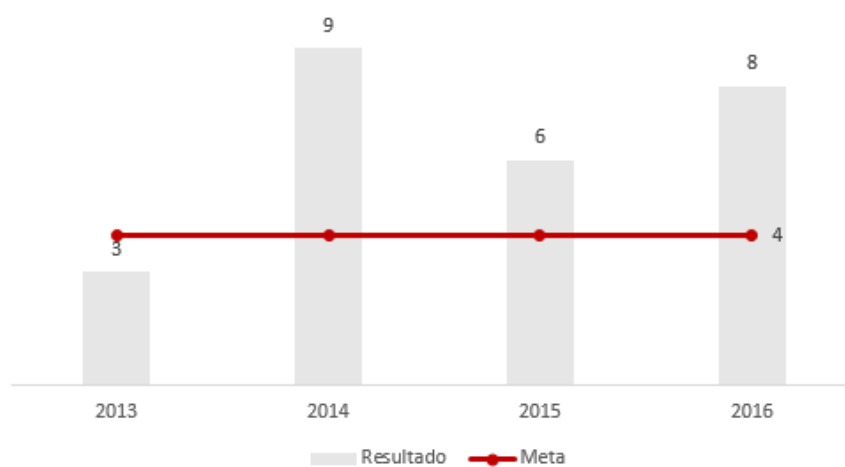
Meta 2016:

4

Realizado:

8

Histórico indicador:



Comentário: Em 2016, o CNPEM realizou 8 eventos científicos, 3 – LNLS; 3 – LNBIO; 1 – LNNANO e 1 – CTBE, totalizando 706 participantes externos.

Ano Base	Título do Evento	LN	Data do evento	nº de participantes externos
2016	Desafios Analíticos Atuais Na Indústria Farmacêutica: Carac	LNBio	12, 13 e 14 de abril	173
2016	VI Workshop em Microfluidica	LNNano	20 a 22 de julho	135
2016	26 th Annual Users' Meeting (RAU)	LNLS	24 e 25 de agosto	79
2016	Workshop de caracterização de macromoléculas com foco em estabilidade estrutural e afinidade de interações, com	LNBio	21 de setembro	54
2016	VI Encontro da Escola Brasileira de Química Verde	CTBE	26 e 27 de setembro	63
2016	11th International Workshop on Personal Computers and Particle Accelerator Controls (PCaPAC)	LNLS	26 a 28 de outubro	52
2016	Workshop on Second Generation Bioethanol 2016	LNLS	30 de Novembro e 01 de dezembro	77
2016	VII Proteomics Workshop	LNBio	08 e 09 de novembro	73
Indicador 17 (número de eventos científicos do período)			8	
Indicador 18 (número de participantes eventos científicos do período)			706	

Indicador 18:
Participantes de eventos científicos

Macroprocesso:

Gerir a infraestrutura, formar recursos humanos e promover a inovação

Objetivo Estratégico do Contrato de Gestão:

Implantar e gerir a infraestrutura do CNPEM, visando ganhos de eficiência e eficácia mediante mecanismos de gestão, informação e difusão.

Finalidade:

Medir o número de participantes de eventos científicos promovidos pelo CNPEM.

Descrição:

Número de participantes de eventos científicos promovidos pelo CNPEM no ano de referência, exceto cursos de capacitação.

Fórmula de cálculo:

Indicador 18 = Número de participantes de eventos científicos no ano

Tipo:

Uso

Peso:

1

Unidade:

Número Absoluto

Qualificação:

Eficácia

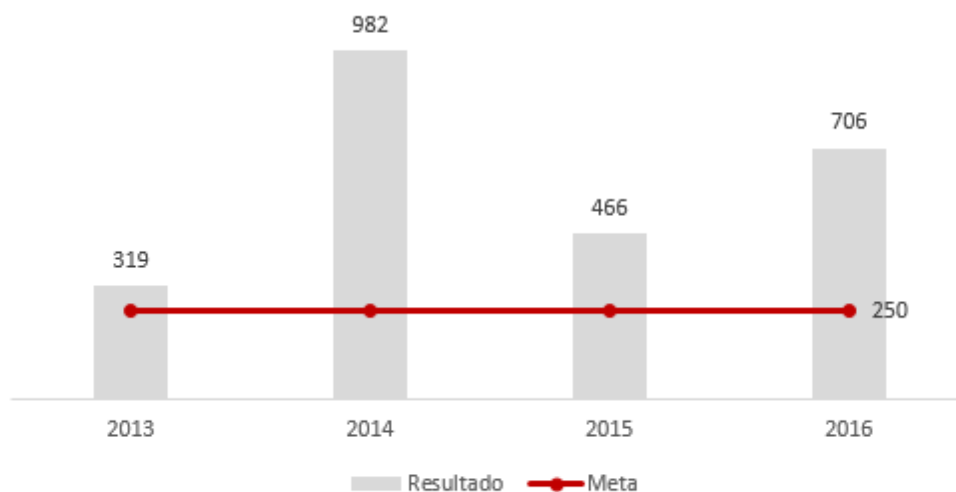
Meta 2016:

250

Realizado:

706

Histórico indicador:



Comentário: Em 2016, o CNPEM realizou 8 eventos científicos, que contaram com a participação de 706 pesquisadores externos. Foi a seguinte a distribuição desses eventos entre os Laboratórios Nacionais: LNL (3); LNBio (3); LNNANO (1); e CTBE (1). O resultado apurado ultrapassou largamente a meta pactuada para o ano.

Economicidade da Produção Científica do CNPEM

Macroprocesso:

Operar o Laboratório Nacional

Eixos de Atuação:

Eixo 1 - Instalações Abertas a Usuários Externos

Eixo 2 - P&D *in-house*

Objetivos Estratégicos:

Induzir atividades de produção de conhecimento e criação de novos produtos, instrumentações e processos nas áreas de energia, materiais e biociências.

Finalidade:

Medir a economicidade da produção científica do CNPEM em relação a universidades e institutos de pesquisa brasileiros selecionados.

Descrição:

Comparação da razão entre número de artigos indexados na base *Web of Science* (WoS) e o volume de recursos de origem pública executado pelo CNPEM e por um conjunto selecionado de universidades e institutos de pesquisa, para os últimos três anos. Na contagem dos artigos do CNPEM foram consideradas todas as publicações indexadas na base *Web of Science* decorrentes do uso das instalações dos Laboratórios Nacionais do CNPEM.

Fórmula: $((\text{Total de publicações indexadas na WoS})/(\text{Total de Recursos de origem pública destinados às atividades de PDI}))/(\text{Mediana } ((\text{Total de publicações indexadas na WoS})/(\text{Total de Recursos de origem pública destinados às atividades de PDI}))^{**})$

* *CNPEM*

** *USP, Unicamp, UFSCar, UFMG, Embrapa, Fiocruz e INPE*

Tipo: Economicidade

Peso: 1

Unidade: número absoluto

Meta 2016: > 1,5

Realizado 2016: 2,91

Comentários:

No ano de 2016, o CNPEM apresentou resultado superior aos apurados para as instituições selecionadas na base de comparação. Considerando as seis instituições em conjunto, o resultado da comparação entre o índice proposto para o CNPEM e para esse conjunto correspondeu a 2,91. Tal resultado ficou muito acima da meta pactuada.

A Tabela apresentada a seguir detalha os dados utilizados no cálculo do indicador e apresenta as respectivas fontes de informação.

Observações:

(i) o número total de publicações é obtido na base *Web of Science*;

(ii) para as universidades exclui-se do orçamento total os gastos realizados com Hospital Universitário, pagamento de inativos e ensino de graduação;

(iii) para *EMBRAPA* e *FIOCRUZ* consideram-se apenas os recursos destinados a Desenvolvimento Tecnológico e Engenharia, Difusão do Conhecimento Científico e Tecnológico e P&D;

(iv) para o CNPEM são considerados todos os recursos recebidos por meio do Contrato de Gestão exceto Projeto Sirius (Ação 13 CL)

	UFMG	UFSCAR	UNICAMP	USP	Embrapa	Fiocruz	INPE	CNPEM
Orcamento 2014	1.093.592.765	398.302.411	1.507.729.030	3.124.627.986	2.783.860.907	2.952.604.001	114.691.546	75.231.000
Orcamento 2015	1.149.379.716	423.790.276	1.519.129.021	3.188.248.523	3.014.489.640	2.303.235.033	99.800.000	76.096.898
Orcamento 2016	1.660.872.016	442.878.719	1.623.185.279	3.141.873.437	3.177.985.355	2.205.969.428		72.792.102
Artigos 2014	2.578	1.090	3.467	11.105	1.238	1.458	367	513
Artigos 2015	2.689	1.056	3.424	11.006	1.068	1.484	284	475
Artigos 2016	2.168	1.129	2.896	9.040	1.457	1.403	314	495
Artigos/ Orç 2014	2,36	2,74	2,30	3,55	0,44	0,49	3,20	6,82
Artigos/ Orç 2015	2,34	2,49	2,25	3,45	0,35	0,64	2,85	6,24
Artigos/ Orç 2016	1,31	2,55	1,78	2,88	0,46	0,64		6,80
Mediana	2,34	2,55	2,25	3,45	0,44	0,64	3,02	6,80

Mediana Geral	2,34
CNPEM	6,80
CNPEM/Med. Geral	2,91

Fontes de Informações:

- 1) Universidade Federais, Embrapa e Fiocruz - SIOP/Execução Orçamentária por Unidade
- 2) USP - Dados orçamentários extraídos dos relatório do site <http://www.transparencia.sp.gov.br/> e elaboração de proxys a partir dos relatórios do Anuario USP (<https://uspdigital.usp.br/anoario>), tabela 7.02 para exclusão dos inativos, museus e hospitais. As informações disponíveis referem-se apenas ao ano de 2013, para os demais anos foram excluídos os valores proporcionais (30% do
- 3) UNICAMP - Dados orçamentários extraídos dos relatório do site <http://www.transparencia.sp.gov.br/> e elaboração de proxys para exclusão da área da saúde a partir dos relatórios do Anuario USP (<https://uspdigital.usp.br/anoario>), para 2013 pags 167 e 178 e para 2014 pags 175 e 184. Para 2015, foi utilizado um fator de correção de 7% no valor da proxy de 2014 devido a indisponibilidade de informações atualizadas.
- 4) INPE - Dados orçamentários extraídos do portal http://www.inpe.br/acessoainformacao/execucao_orcamentaria_2015
- 5) ARTIGOS- busca por organização consolidada na base Web of Knowledge

Metodologia para cômputo do orçamento:

Excu-se do orçamento total das universidades valores referentes aos Hospitais Universitários, Inativos, Museus e Programa de Graduação.

Economicidade das Linhas de Luz do LNLS

Macroprocesso:

Operar o Laboratório Nacional

Eixos de Atuação:

Eixo 1 - Instalações Abertas a Usuários Externos

Eixo 2 - P&D *in-house*

Eixo 3 - Apoio à geração de inovação

Objetivos Estratégicos:

Manter, atualizar e integrar infraestrutura e competências e desenvolver instrumentação científica de alto nível, com vistas a garantir a competitividade das instalações nas áreas de energia, materiais e biociências;

Atuar como centro facilitador do desenvolvimento científico e tecnológico, oferecendo condições adequadas de atendimento, capacitação e apoio técnico-científico aos usuários externos.

Finalidade:

Aferir a economicidade das horas de linhas de luz disponibilizadas pelo Laboratório Nacional de Luz Síncrotron em relação a Laboratórios Síncrotrons de outros países

Descrição:

Comparação da razão entre número de horas de linhas de luz disponibilizadas anualmente e o valor do orçamento do Contrato de Gestão destinado à Operação do LNLS com a mesma razão para um conjunto selecionados de laboratórios Síncrotron de outros países

Fórmula: $((\text{Total de horas de linhas de luz disponíveis para uso})/(\text{Total de Recursos de origem pública destinado ao Laboratório Nacional de Luz Síncrotron}^*)) / (\text{Mediana } ((\text{Total de horas de linhas de luz disponíveis para uso})/(\text{Total de Recursos destinados à Laboratórios Síncrotrons de outros países}))^{**})$

* Exceto Sirius

** ALBA, Canadian Light Source, Diamond Light Source, ESRF, Soleil, Australian Synchrotron, Argonne (APS) e Advanced Light Source.

Tipo: Economicidade

Unidade: número absoluto

Meta 2016: < 0,65

Realizado 2016: 0,12

Comentários:

Para essa comparação foram selecionados oito Laboratórios de Luz Síncrotron. Uma vez que as informações referentes a esses Laboratórios não se encontravam atualizadas em seus respectivos relatórios e *sites*, considerou-se idealmente que as possíveis variações da razão hora/US\$ para um período de 2 – 3 anos não seriam expressivas.

Para o LNLS foram considerados os dados médios para 2014 - 2015, resultando em índice de 111,5 US\$/hora, o que representa 12% do índice médio dos oito Laboratórios Síncrotron utilizados como base de comparação.

Laboratórios	Ano de Referência	Linhas de Luz	Horas Possíveis Operação	Orçamento (M U\$)	Custo/hora (US\$)
ALBA	2015	7	29.414	79	\$2.686
Canadian Light Source	2015	13	71.500	32	\$448
Diamond Light Source (Inglaterra)	2013	24	122.112	78	\$639
ESRF	2015	46	248.446	361	\$1.453
Soleil	2013	27	132.624	72	\$543
Australian Synchrotron	2014	10	50.000	27	\$534
APS - Argonne	2015	71	351.024	145	\$413
Advanced Light Source (Berkeley)	2015	39	202.176	60	\$297
	2014	17	65.782	8,4	\$128
LNLS	2015	17	67.764	6,2	\$91
	2016	17	66.292	7,0	\$106
Média Internacional	\$876,48				
<p><i>* Horas possíveis de operação para o LNLS é composto pelo número de horas de máquina multiplicado pelo número de linhas, número maior do que o número de horas disponibilizadas para uso, pois para os laboratório internacionais o conceito utilizado é de número de horas de máquina.</i></p>					
Média Internacional	\$876,48		Média LNLS	\$108,41	
Indicador =	12%				
<p>Dólar = 2,68 Reais (média 2014) Dólar = 3,45 Reais (média 2015) Dólar = 3,13 Reais (média 2016) (*) Diferem-se dos valores apontados para os indicadores, pois são todos os turnos possíveis para utilização das linhas.</p>					

ANEXO 2 – Indicadores Específicos de Projetos: Sirius e SisNano

Projeto Sirius

ATIVIDADE	META	INDICADOR	PRAZO DE EXECUÇÃO (em meses)	VALOR (em R\$)	STATUS (em dez/2016)	% EXECUÇÃO (em dez/2016)
TOTAL				108.583.000		
Fonte de Luz				83.827.000		
Imãs do anel	Iniciar a produção dos imãs do anel	Produção Parcial dos imãs do anel	16	24.326.000	Atividade reprogramada com a contratação da produção para início de 2017	15%
Linac 100Mev	Fabricação do LINAC concluída	Pagamento da parcela referente a conclusão da fabricação do LINAC e pedido das <i>Klystrons</i>	36	6.268.000	Foi realizado o pagamento da parcela referente à conclusão do LINAC e enviado o pedido de compras das <i>Klystrons</i>	100%
Fabricação das câmaras de vácuo do anel	Produção das câmaras de vácuo do Anel	Entrega das Câmaras de vácuo do anel	16	3.460.000	As câmaras de vácuo do anel estão em processo de fabricação	10%
Compra de componentes de vácuo	Colocar pedido de compras para componentes de vácuo	Pedido de compra para componentes de vácuo	16	9.819.000	Atividade reprogramada para 2017	0%

Fabricação das câmaras de vácuo do <i>Booster</i>	Produção das câmaras de vácuo do <i>Booster</i>	Entrega das Câmaras de vácuo do <i>Booster</i>	12	1.598.000	A fabricação das câmaras de vácuo do <i>Booster</i> em andamento	30%
Sistema de diagnóstico	Iniciar a produção do Sistema de Diagnóstico do Sirius	Produção do Sistema de Diagnóstico do Sirius iniciada	16	4.685.000	A eletrônica de BPM já foi desenvolvida e testada. A aquisição foi reprogramada para 2017	0%
Magnetos pulsados	Concluir a construção de protótipos de magnetos pulsados	Todos os protótipos de magnetos pulsados testados	19	1.398.000	Protótipos dos <i>Kickers</i> do <i>Booster</i> testados e aprovados. Estão em desenvolvimento o <i>kicker</i> não-linear, o <i>kicker on axis</i> e o <i>Septum</i>	75%
Fontes	Concluir protótipos de fontes e iniciar produção das Fontes	Concluir protótipos de fontes e iniciar produção das Fontes	12	12.631.000	Protótipo construído para todas as fontes do Sirius	35%
Berços	Concluir prototipagem de berços do Anel e <i>Booster</i> e encomendar berços do anel	Concluir prototipagem de berços do Anel e <i>Booster</i> e encomendar berços do anel	16	10.528.000	A fase de prototipagem dos berços de multipolo do anel foi concluída. A produção dos modelos de berços está em fase de contratação	40%

Sistema de RF	Iniciar a fabricação dos componentes do sistema do Sistema de RF	Construir o <i>Low Level</i> e uma torre amplificadora para o <i>Booster</i> e para o anel	18	3.410.000	A torre amplificadora para o <i>Booster</i> foi construída. A torre amplificadora do anel e o <i>Low Level</i> foram reprogramados para 2017.	35%
Planta de recuperação de He	Encomendar a planta de recuperação de He	Assinatura de contrato para fornecimento da planta de recuperação de He	7	3.988.000	Reprogramada a contratação da planta criogênica para 2017	0%
Sistema de controle	Concluir a prototipagem do sistema de controle do Sirius	Protótipo final do sistema de controle testado e aprovado	12	1.001.000	Prototipagem do sistema de controle concluído	100%
Construção do Cruzeiro do Sul	Instalar todos os subsistemas do anel e <i>booster</i> no trecho protótipo	Melhorias devido a compatibilização	12	565.000	Foi realizada uma simulação da montagem do túnel do anel, a qual serviu para melhorias do projeto	100%
Sistema de proteção radiológica	Prototipagem do Sistema de proteção radiológica	Prototipagem do Sistema de proteção radiológica	16	150.000	Foram adquiridos monitores de área de nêutrons e gamas para testes no UVX	100%
Infraestrutura Engenharia				8.460.000		
Metrologia mecânica	Conclusão da sala de metrologia mecânica (tridimensionais)	Sala de metrologia mecânica concluída	16	66.000	Sala de metrologia transferida para o prédio Imas I	100%

Infraestrutura da engenharia	Manutenção dos Grupos de Engenharia para realização das atividades do Sirius.	Manutenção dos Grupos d/e Engenharia para realização das atividades do Sirius.	16	8.394.000	Realizadas algumas adequações de espaço físico para os grupos de engenharia	100%
Divisão Científica				16.296.000		
Projeto e prototipagem das Linhas de Luz	Projeto e prototipagem das Linhas de Luz	Projeto das linhas de luz em desenvolvimento	16	15.736.000	Vários protótipos e projetos foram realizados. O detalhamento de cada protótipo encontra-se na Parte II desse Relatório	75%
Metrologia Ótica	Comprar equipamentos para sala de metrologia ótica	Concluir a instalação da Sala de Metrologia Ótica	24	560.000	Equipamentos instalados e em funcionamento	100%

ATIVIDADE	META	INDICADOR	PRAZO DE EXECUÇÃO	VALOR (em R\$)	STATUS (em dez/2016)	% EXECUÇÃO (em dez/2016)
TOTAL				181.862.978		
OBRAS E INSTALAÇÕES				123.933.740		
Prédio Principal				109.700.430		
Fundações - eixos sobre túnel, tanques de retardo e termoacumulação	Execução das fundações dos eixos sobre túnel de acesso, tanques de retardo e termoacumulação. Percentual no período = 8,6%. Percentual acumulado = 97,3%	Percentual de execução	jun/16	1.084.233	As atividades de fundação planejadas para o período foram concluídas	100%
Estruturas concreto Edificações	Dar continuidade às estruturas de concreto do prédio principal. Percentual no período 38,6%. Percentual acumulado — 97,1%	Percentual de execução	set/16	11.888.133	A estrutura de concreto do prédio principal foi concluída.	100%
Estrutura metálica Cobertura	Conclusão da fabricação e instalação da estrutura metálica da cobertura do prédio principal. Percentual no período = 57,5%. Percentual acumulado = 100%	Percentual de execução	set/16	35.494.984	Falta completar a área de engenharia devido a replanejamento de execução e atraso na execução das linhas longas em função da necessidade de compatibilidade de projeto	93%
Cobertura	Conclusão da fabricação e instalação da cobertura do prédio principal. Percentual no período = 25,9%. Percentual acumulado = 100%	Percentual de execução	dez/16	7.505.481	A instalação da cobertura atrasou devido à mobilização tardia da contratada e demora na definição das condições adequadas de segurança pessoal	60%
Impermeabilização	Conclusão dos trabalhos de impermeabilização. Percentual no período = 84,4%. Percentual acumulado = 100%	Percentual de execução	dez/16	2.779.150	A impermeabilização foi reprojeta e reprogramada	29%

Revestimentos internos	Iniciar execução dos revestimentos internos. Percentual no período e acumulado = 33,1 %	Percentual de execução	dez/16	2.513.676	Atividades reprogramadas para adequação do cronograma físico/financeiro da obra em função da disponibilidade financeira do projeto	8%
Pintura	Execução dos trabalhos de pintura. Percentual no período e acumulado = 36,8%	Percentual de execução	dez/16	1.733.000	Atividades reprogramadas para adequação do cronograma físico/financeiro da obra em função da disponibilidade financeira do projeto	0%
Instalações elétricas	Execução das instalações elétricas. Percentual no período = 20%. Percentual acumulado = 25,7%	Percentual de execução	dez/16	25.292.972	As ações de infraestrutura elétrica foram executadas e as demais atividades, reprogramadas	25%
Instalações hidráulicas	Execução das instalações hidráulicas. Percentual no período = 43,4%. Percentual acumulado = 50,9%	Percentual de execução	dez/16	12.048.706	Atividades reprogramadas para adequação do cronograma físico/financeiro da obra em função da disponibilidade financeira do projeto	50%
Área externa	Continuidade dos trabalhos nas áreas externas. Percentual no período = 42,4%. Percentual acumulado = 54,3%	Percentual de execução	dez/16	4.423.726	Atividades reprogramadas para adequação do cronograma físico/financeiro da obra em função da disponibilidade financeira do projeto	0%
Serviços complementares (serralheria/ponte rolante)	Continuidade dos trabalhos de serviços complementares. Percentual no período = 57%. Percentual acumulado = 83,3%	Percentual de execução	dez/16	2.624.203	Atrasos na instalação da ponte rolante devido a problemas de qualidade nos aparelhos de apoio e definições sobre o isolamento de vibração	1%
Fechamento do prédio	Conclusão do fechamento do prédio. Percentual no período e acumulado = 100%	Percentual de execução	set/16	2.312.166	A conclusão do fechamento do prédio foi reprogramada para setembro de 2017	65%
Subestação de Alta Tensão				2.400.000		

Contratação (adiantamento 20%)	Contratação da obra	Contrato fechado	ago/16	2.400.000	Foi realizado o processo de seleção e finalizado a escolha do fornecedor da subestação. O contrato será assinado em fevereiro de 2017	0%
Chillers				7.500.000		
Contratação (adiantamento 40%)	Realizar a encomenda dos chillers	Contrato fechado	out/16	7.500.000	A encomenda dos Chillers foi reprogramada para 2017	0%
Planta Criogênica				4.253.310		
Contratação (adiantamento 10%)	Contratação da planta criogênica	Contrato fechado	jul/16	1.417.770	A contratação da Planta Criogênica foi reprogramada para 2017 em função da disponibilidade financeira e do adiamento da aquisição das cavidades supercondutoras	0%
PDR (20%)	Recebimento e avaliação do projeto detalhado.	Aprovação do PDR	out/16	2.835.540		
Linhas de Nitrogênio Líquido				80.000		
Contratação de protótipo	Contratação do protótipo das linhas de transporte de nitrogênio líquido.	Recebimento do protótipo	out/16	80.000	Atividade suspensa aguardando definição técnica	0%
FORTE DE LUZ				13.369.238		
Rede Magnética dos Aceleradores				13.369.238		
Fabricação dos sextupolos do booster (43 unidades)	Fabricação e caracterização dos 43 sextupolos	Número de unidades fabricadas e aprovadas	jul/16	683.000	Foram entregues todos sextupolos do booster	100%

Fabricação dos dipolos do booster	Fabricação e caracterização do lote piloto dos dipolos. Execução de 65%	Lote piloto fabricado e aprovado	dez/16	281.000	Lote piloto dos dipolos do Booster foram fabricados e aprovados	100%
Fabricação dos dipolos BC do anel	Prototipagem de 2 BCs e início da produção de 20 unidades. Execução de 60%	Protótipos caracterizados e compra dos materiais para a produção de 20 BCs	dez/16	2.975.000	Um protótipo do dipolo BC do anel foi produzido e caracterizado. Processo de compra dos materiais para os 20 dipolos BC em andamento	50%
Fabricação dos quadrupolos do anel	Prototipagem dos quadrupolos tipo Q14, Q20 e Q30	Prototipagem contratada	dez/16	274.000	Construído um protótipo para cada quadrupolo (Q14, Q20 e Q30) que não atendeu as especificações técnicas. Serão recebidas duas novas unidades de cada tipo de quadrupolo no início de 2017	100%
Fabricação dos sextupolos do anel	Fabricação e caracterização do lote piloto dos sextupolos e contratação da produção	Lote piloto fabricado e aprovado	dez/16	6.782.000	Um protótipo do sextupolo do anel entregue que não foi aprovado após a caracterização. Serão recebidos duas novas unidades do sextupolo no início de 2017. Se aprovado os testes sera liberado a produção	50%
Fabricação dos dipolos do anel	Prototipagem dos dipolos tipo B80 e B 120	Protótipos caracterizados e aprovados	dez/16	2.046.000	Atividades reprogramadas para 2017	0%
Dipolos da linha de transporte booster-anel	Fabricação dos 3 dipolos necessários	Dipolos caracterizados e aprovados	out/16	328.238	Dipolos caracterizados e aprovados	100%
GESTÃO DO PROJETO				25.560.000		
Recursos humanos	Manutenção parcial dos colaboradores contratados para o projeto	Manutenção parcial dos colaboradores destinados ao projeto	dez/16	19.560.000	Mantivemos os colaboradores destinados ao projeto	100%

Gestão	Cursos, treinamentos, workshops, viagens técnicas, gerenciamento do projeto, comunicação	Execução de cursos, treinamentos, workshops e viagens técnicas. Garantir as atividades de gerenciamento e divulgação do projeto	dez/16	6.000.000	Atividades realizadas conforme planejado	100%
LINHAS DE LUZ E ESTAÇÕES EXPERIMENTAIS				19.000.000		
Protótipo do espectrômetro de foto-emissão ressonante para raios-X	Desenvolvimento de um protótipo funcional para o espectrômetro que irá na linha EMA	Concluir protótipo	out/16	400.000	Foi construído um protótipo	30%
Sistemas de nanofocalização da linha EMA	Este será um elemento funcional final para a linha de luz desenvolvido com parceiros externos. Neste protótipo pretende-se testar, na linha XDS do U VX, a parte mecânica de alta precisão para o nano-foco, mas com espelhos de polimento compatível com esta fonte	Concluir protótipo	dez/16	800.000	Foram comprados os espelhos e a parte mecânica do sistema. A montagem e a caracterização serão realizadas em 2017	30%
Espectrômetro de espalhamento inelástico de raios-X moles	Este projeto prevê a construção parcial do espectrômetro de RIXS da linha IPÊ. Ao contrário do espectrômetro final, nesta fase será usada apenas uma grade ao invés de duas e o manipulador de amostras não será instalado.	Encomenda do detector e grade. Fabricação do suporte da grade e braço do detector. Execução de 40% do projeto total	dez/16	1.700.000	Concluído o projeto do espectrômetro e grade encomendada	38%
Detector de raios-X	Projeto em parceria com a BrPhotonics para construção de um módulo de 6x8 (3.14 M pixels) de detecção de raios-X baseado no chip Medipix 3RX	Construção e simulação do enlace ótico até o backend. Montagem da cabeça do detector	dez/16	2.000.000	Os projetos conceitual e preliminar foram concluídos e alguns itens fabricados	50%

<p>Detectores de 1 a 12 módulos baseados no Medipix 3RX para serem utilizados nas linhas do UVX</p>	<p>Construir 1 detector 3x1 e 3 detectores 6x2</p>	<p>Construção dos detectores</p>	<p>dez/16</p>	<p>1.000.000</p>	<p>Foram construídos 3 detectores de 1 módulo. A construção do detector 6x2 está em 75%</p>	<p>88%</p>
<p>Protótipo do microscópio de varredura de raios-X tender da linha CARNAÚBA</p>	<p>Construção de um protótipo que será instalado para teste e comissionamento na linha SXS, ainda com resolução micrométrica</p>	<p>Construção do protótipo</p>	<p>dez/16</p>	<p>1.500.000</p>	<p>Montagem do protótipo (sistema de posicionamento e câmaras de vácuo construídos) em fase final</p>	<p>50%</p>
<p>Protótipo de ondulator de raios-X para o Sirius</p>	<p>Protótipo de ondulator de raios-X do tipo delta para testes no UVX</p>	<p>Desenvolvimento e construção do protótipo</p>	<p>dez/16</p>	<p>1.000.000</p>	<p>Construído protótipo em menor escala para teste conceitual do ondulator. Atividade reprogramada para 2017</p>	<p>10%</p>
<p>Desenvolvimento e protótipo de monocromador de duplo cristal</p>	<p>As necessidades de desempenho dos monocromadores de duplo cristal para o Sirius estão além do estado da arte do desenvolvimento mundial. Iremos fazer uma parceria com a empresa MI Partners, referência mundial em mecatrónica, para desenvolver um novo conceito de monocromador</p>	<p>Projeto preliminar detalhado e construção de protótipo para testes do “Crystal Cage” do monocromador</p>	<p>dez/16</p>	<p>1.100.000</p>	<p>Concluído projeto preliminar detalhado. O protótipo está em construção</p>	<p>50%</p>

Protótipo de monocromador de 4 cristais para aplicações de raios-X coerentes	Desenvolvimento e protótipo de monocromador que será utilizado em aplicações de raios-X coerentes	Construção de protótipo	nov/16	1.000.000	Os desenhos preliminares estão concluídos e alguns itens encomendados	15%
Protótipo de cabana ótica de raios-X	Desenvolvimento e protótipo de cabana ótica de raios-X em parceria com a empresa BioTec	Construção de protótipo	out/16	1.500.000	O protótipo da cabana ótica está em fase de fabricação	60%
Laboratório de Metrologia de ótica de raios-X	Entrega de laboratório para metrologia ótica e mecânica de alta precisão	Construção da parte civil, instalação dos primeiros equipamentos de medição e comissionamento. Funcionamento com dois instrumentos de medição, NOM e Fizeau	dez/16	5.000.000	A obra foi concluída e os equipamentos foram instalados	100%
<i>Front-end</i> das linhas de raios-X baseadas em onduladores	Construção do <i>front end</i>	Montagem de um <i>front end</i> inteiro na maquete Cruzeiro do Sul, com componentes reais	dez/16	1.000.000	A montagem do <i>front end</i> atingiu 80% de execução	80%
Desenvolvimento dos projetos detalhados das linhas de luz e estações experimentais do Sirius	Detalhamento e construção de vários protótipos de componentes das linhas de luz e estações experimentais. Desenvolvimento de softwares	Entregas de projetos e protótipos	dez/16	1.000.000	Projetos e protótipos realizados	100%

Projeto SisNano

INSTALAÇÃO	META	INDICADOR	PRAZO DE EXECUÇÃO	VALOR (em R\$)	STATUS em dez/2016	% de EXECUÇÃO em dez/2016
Laboratório de Microscopia Eletrônica	Aquisição de equipamento para criomicroscopia eletrônica com aplicação em bionano-tecnologia estrutural (<i>single-particle imaging</i>)	Equipamento adquirido	Dez/2016	5.884.970	Microscópios FEI Talos e JEOL JEM 1400 PLUS adquiridos. Esses equipamentos terão aplicação em ensaios de bionanotecnologia estrutural, na obtenção de imagens de partícula única e em outras técnicas de microscopia eletrônica. Reforma das salas, instalação das utilidades necessárias para operação dos microscópios e seu comissionamento. O conjunto de microscópios, incluindo o Titan, foi comissionado e encontra-se em operação e disponível à comunidade científica	100%
Laboratório de Ciência de Superfícies	Aquisição de Microscópio de Força Atômica com módulos para experimentos de absorção de infravermelho (AFM-IR) e s-SNOM	Equipamento adquirido	Dez/2016	1.765.490	Aquisição, instalação e comissionamento de microscópio termo-óptico (microscópio de força atômica com módulos para experimentos de absorção de infra-vermelho)	100%

ANEXO 3 – Lista de Bolsistas e Pós-doutores

Bolsista	Modalidade	LN	Ag. Fomento	Programa Pós-graduação	Instituto	Universidade
ADALBERTO MIGUEL DE ARAUJO JR	DOUTORADO	LNBIO	CNPQ	MICROBIOLOGIA E IMONOLOGIA	BIOLOGIA	USP
ANA MARIA ZETTY ARENAS	DOUTORADO	CTBE	CNPQ	BIOENERGIA	IB - INSTITUTO DE BIOLOGIA	UNICAMP
BEATRIZ STANGHERLIN SANTUCCI	DOUTORADO	CTBE	CNPQ	QUIMICA ORGANICA	QUIMICA	USP
BIANCA CONSORTI BUSSAMRA	DOUTORADO	CTBE	CNPQ	ENGENHARIA QUIMICA	FEQ - FACULDADE DE ENGENHARIA QUIMICA	UNICAMP
AMANDA SILVA DE SOUSA	DOUTORADO	CTBE	CAPES	BIOCIENCIAS	IB - INSTITUTO DE BIOLOGIA	UNICAMP
AMERICO TAVARES RANZANI	DOUTORADO	LNBIO	FAPESP	BIOCIENCIAS	IB - INSTITUTO DE BIOLOGIA	UNICAMP
ANA AMELIA SANCHEZ IACIA	DOUTORADO	LNBIO	CAPES	GENETICA E BIOLOGIA MOLECULAR	IB - INSTITUTO DE BIOLOGIA	UNICAMP
ANA CAROLINA PASCHOALINI MAFRA	DOUTORADO	LNBIO	FAPESP	GENETICA E BIOLOGIA MOLECULAR	IB - INSTITUTO DE BIOLOGIA	UNICAMP
CAIO HADDAD FRANCO	DOUTORADO	LNBIO	CNPQ	MICROBIOLOGIA E IMUNOLOGIA	MEDICINA	UNIFESP
ANA FLAVIA SUZANA	DOUTORADO	LNLS	CAPES	QUIMICA	QUIMICA	UNESP
EDUARDO CRUZ MORAES	DOUTORADO	CTBE	CNPQ	BIOLOGIA FUNCIONAL E MOLECULAR	IB - INSTITUTO DE BIOLOGIA	UNICAMP
ANA PAOLA KIM SARAVIA	DOUTORADO	LNNANO	CAPES	ENGENHARIA QUIMICA	FEQ - FACULDADE DE ENGENHARIA QUIMICA	UNICAMP
ANA PAULA GUIMARAES SANTOS	DOUTORADO	CTBE	FAPESP	FERTILIDADE. FISICA E SOLO	FEAGRI - FACULDADE DE ENGENHARIA AGRICOLA	UNICAMP
ANDREA JOHANNA MANRIQUE RINCON	DOUTORADO	LNBIO	FAPESP	BIOLOGIA FUNCIONAL E MOLECULAR	IB - INSTITUTO DE BIOLOGIA	UNICAMP
ANGEL EDUARDO LOBO ROJAS	DOUTORADO	LNBIO	UNU BIOLAC	QUIMICA	QUIMICA	UNU - BIOLAC
ANGELA MARIA FALA	DOUTORADO	LNBIO	FAPESP	BIOCIENCIAS E TECNOLOGIAS DE PRODUTOS BIOATIVOS	IB - INSTITUTO DE BIOLOGIA	UNICAMP
GLAUCO FERRO LEAL	DOUTORADO	CTBE	CNPQ	QUIMICA	QUIMICA	USP
GUILHERME ADALBERTO FERREIRA CASTIONI	DOUTORADO	CTBE	CNPQ	ENGENHARIA DE AGUA E SOLO	FEAGRI - FACULDADE DE ENGENHARIA AGRICOLA	UNICAMP
LAURA MARIA ALCANTARA	DOUTORADO	LNBIO	CNPQ	GENETICA E BIOLOGIA MOLECULAR	IB - INSTITUTO DE BIOLOGIA	UNICAMP
LIA BERALDO DA SILVEIRA BALESTRIN	DOUTORADO	LNNANO	CNPQ	QUIMICA	IQ - QUIMICA	UNICAMP
BRUNA CRISTINA GALLO	DOUTORADO	CTBE	CAPES	BIOENERGIA	FEA - ENGENHARIA DE ALIMENTOS	UNICAMP
LUCAS GELAIN	DOUTORADO	CTBE	CNPQ	ENGENHARIA	FEQ - FACULDADE DE ENGENHARIA QUIMICA	UNICAMP
LUIS GUILHERME FURLAN ABREU	DOUTORADO	CTBE	CNPQ	GENETICA E BIOLOGIA MOLECULAR	IB - INSTITUTO DE BIOLOGIA	UNICAMP

BRUNO AQUINO	DOUTORADO	LNBIO	FAPESP	BIOLOGIA FUNCIONAL E MOLECULAR	IB - INSTITUTO DE BIOLOGIA	UNICAMP
Bolsista	Modalidade	LN	Ag. Fomento	Programa Pós-graduação	Instituto	Universidade
CAIO CESAR DE LIMA SILVA	DOUTORADO	LNBIO	FAPESP	GENETICA E BIOLOGIA MOLECULAR	IB - INSTITUTO DE BIOLOGIA	UNICAMP
MANOELLA DA SILVA CAVALCANTE	DOUTORADO	LNNANO	CNPQ	GEOLOGIA E GEOQUIMICA	GEOCIENCIAS	UFPA
MARCELO JOSE DA SILVA	DOUTORADO	CTBE	CNPQ	ENGENHARIA AGRICOLA	FEAGRI - FACULDADE DE ENGENHARIA AGRICOLA	UNICAMP
CAMILA CRISTINA PASCOAL	DOUTORADO	LNBIO	FAPESP	BIOQUIMICA	IQ - QUIMICA	UNICAMP
MARIO RAMOS DE OLIVEIRA BARSOTTINI	DOUTORADO	LNBIO	CNPQ	GENETICA E BIOLOGIA MOLECULAR	IB - INSTITUTO DE BIOLOGIA	UNICAMP
NADIA RASHEED	DOUTORADO	LNBIO	CNPQ	GENETICA E BIOLOGIA MOLECULAR	IB - INSTITUTO DE BIOLOGIA	UNICAMP
CARLA CRISTINA POLO	DOUTORADO	LNBIO	FAPESP	BIOFISICA	IB - INSTITUTO DE BIOLOGIA	UNICAMP
CARLOS ALBERTO SEPULVEDA LANZIANO	DOUTORADO	LNLS	CAPES	ENGENHARIA QUIMICA	FEQ - FACULDADE DE ENGENHARIA QUIMICA	UNICAMP
CARLOS CAVALCANTE LIMA	DOUTORADO	LNNANO	CAPES	QUIMICA	IQ - QUIMICA	UNICAMP
CAROLINA CASSANO MONTE BELLO	DOUTORADO	CTBE	FAPESP	GENETICA E BIOLOGIA MOLECULAR	IB - INSTITUTO DE BIOLOGIA	UNICAMP
CAROLINA MORETTO CARNIELLI	DOUTORADO	LNBIO	FAPESP	BIOCIENCIAS E TECNOLOGIAS DE PRODUTOS BIOATIVOS	IB - INSTITUTO DE BIOLOGIA	UNICAMP
PEDRO YORITOMO SOUZA NAKASU	DOUTORADO	CTBE	CNPQ	ENGENHARIA QUIMICA	FEQ - FACULDADE DE ENGENHARIA QUIMICA	UNICAMP
CAROLINE LYDIE MOULS	DOUTORADO	LNLS	FAPESP	FISICA	IF - INSTITUTO DE FISICA	UNICAMP
CAROLINE FERNANDA RODRIGUES ASCENCAO	DOUTORADO	LNBIO	FAPESP	GENETICA E BIOLOGIA MOLECULAR	IB - INSTITUTO DE BIOLOGIA	UNICAMP
CESAR ANDRES RIVERA MARTINEZ	DOUTORADO	LNBIO	CAPES	FACULDADE DE ODONTOLOGIA - ESTOMATOPALOGIA	ODONTOLOGIA	UNICAMP
CIDNEI MARSCHALK	DOUTORADO	LNBIO	CAPES	BIOLOGIA FUNCIONAL E MOLECULAR	IB - INSTITUTO DE BIOLOGIA	UNICAMP
CLEILTON SANTOS LIMA	DOUTORADO	CTBE	CAPES	BIOTECNOLOGIA INDUSTRIAL	ENGENHARIA	USP
CLEITON MARCIO PINTO BRAGA	DOUTORADO	CTBE	CAPES	BIOTECNOLOGIA	PPG - BIOTEC	UFSCAR
DANIELI CRISTINA GONCALVES	DOUTORADO	LNBIO	CAPES	BIOLOGIA FUNCIONAL E MOLECULAR	IB - INSTITUTO DE BIOLOGIA	UNICAMP
DENISE REGINA BAIROS DE PILGER	DOUTORADO	LNBIO	CAPES	MICROBIOLOGIA E IMUNOLOGIA	MICROBIOLOGIA, IMUNOLOGIA E PARASITOLOGIA	UNIFESP
DIEGO ANDRES RUEDA ORDONEZ	DOUTORADO	CTBE	CAPES	BIOENERGIA	IB - INSTITUTO DE BIOLOGIA	UNICAMP
DOUGLAS ADAMOSKI MEIRA	DOUTORADO	LNBIO	FAPESP	GENETICA E BIOLOGIA MOLECULAR	IB - INSTITUTO DE BIOLOGIA	UNICAMP
RAISSA DE PAULA MORO	DOUTORADO	LNBIO	CNPQ	GENETICA E BIOLOGIA MOLECULAR	IB - INSTITUTO DE BIOLOGIA	UNICAMP

RICARDO RODRIGUES DE MELO	DOUTORADO	CTBE	CNPQ	CIENCIAS ALIMENTOS	FEA - ENGENHARIA DE ALIMENTOS	UNICAMP
SURANNY JIMENEZ CHACON	DOUTORADO	CTBE	CNPQ	ENGENHARIA QUIMICA	FEQ - FACULDADE DE ENGENHARIA QUIMICA	UNICAMP
Bolsista	Modalidade	LN	Ag. Fomento	Programa Pós-graduação	Instituto	Universidade
EDWAN ANDERSON ARIZA ECHEVERRI	DOUTORADO	LNNANO	CAPES	ENGENHARIA METALURGICA	ENGENHARIA METALURGICA	USP
ELISA MAGALHAES DE MEDEIROS	DOUTORADO	CTBE	TU DELFT	ENGENHARIA QUIMICA	FEQ - FACULDADE DE ENGENHARIA QUIMICA	UNICAMP
FABIO NEVES DO AMARAL	DOUTORADO	LNBIO	FAPESP	BIOLOGIA CELULAR E TECIDAL	INSTITUTO DE BIOCÊNCIAS	USP
FABRICIA FARIAS DE MENEZES	DOUTORADO	CTBE	FAPEAM	BIOENERGIA	IB - INSTITUTO DE BIOLOGIA	UNICAMP
THALITA CAMELO DA SILVA FERREIRA	DOUTORADO	LNBIO	CNPQ	GENETICA E BIOLOGIA MOLECULAR	IB - INSTITUTO DE BIOLOGIA	UNICAMP
THIAGO AUGUSTO GONCALVES	DOUTORADO	CTBE	CNPQ	FISICA	IF - INSTITUTO DE FISICA	UNICAMP
FERNANDA RODRIGUES DA COSTA	DOUTORADO	LNBIO	FAPESP	GENETICA E BIOLOGIA MOLECULAR	IB - INSTITUTO DE BIOLOGIA	UNICAMP
FILIPE VARGAS FERREIRA	DOUTORADO	LNNANO	FAPESP	FACULDADE DE ENGENHARIA QUIMICA	FACULDADE DE ENGENHARIA QUIMICA	UNICAMP
FLAVIA DA SILVA ZANDONADI	DOUTORADO	LNBIO	FAPESP	BIOLOGIA FUNCIONAL E MOLECULAR	IB - INSTITUTO DE BIOLOGIA	UNICAMP
VITOR HUGO BALASCO SERRAO	DOUTORADO	LNNANO	CNPQ	FISICA	IF - INSTITUTO DE FISICA	USP
FRANCINE RAMOS SCHEFFER	DOUTORADO	LNNANO	CAPES	QUIMICA	QUIMICA	UNICAMP
GABRIELA BORBA MONDO	DOUTORADO	LNNANO	FAPESP	QUIMICA	QUIMICA	UNICAMP
GABRIELA HELENA DA SILVA	DOUTORADO	LNNANO	CAPES	CIENCIAS	BIOLOGIA	USP
GIOVANA APARECIDA DE SOUZA CINTRA	DOUTORADO	LNBIO	FAPESP	MICROBIOLOGIA E IMUNOLOGIA	DEPARTAMENTO MICROBIOLOGIA, IMUNOLOGIA E PARASITOLOGIA	UNIFESP
GUSTAVO PAGOTTO BORIN	DOUTORADO	CTBE	FAPESP	GENETICA E BIOLOGIA MOLECULAR	IB - INSTITUTO DE BIOLOGIA	UNICAMP
HELDER VERAS RIBEIRO FILHO	DOUTORADO	LNBIO	CAPES	BIOCÊNCIAS E TECNOLOGIAS DE PRODUTOS BIOATIVOS	IB - INSTITUTO DE BIOLOGIA	UNICAMP
JESSICA CHRISTINA LOIS DE OLIVEIRA CAMPOS	DOUTORADO	LNBIO	FAPESP	BIOQUIMICA	IB - INSTITUTO DE BIOLOGIA	UNICAMP
JESSICA FERNANDA AFFONSO DE OLIVEIRA	DOUTORADO	LNNANO	FAPESP	QUIMICA	IQ - QUIMICA	UNICAMP
JOAO ROSSI NETO	DOUTORADO	CTBE	CAPES	BIOENERGIA	FEA - ENGENHARIA DE ALIMENTOS	UNICAMP
JOSE EDWIN NECIOSUP QUESNAY	DOUTORADO	LNBIO	FAPESP	BIOCÊNCIAS E TECNOLOGIAS DE PRODUTOS BIOATIVOS	IB - INSTITUTO DE BIOLOGIA	UNICAMP
JOSE RICARDO SERATTI ROSSI	DOUTORADO	LNBIO	CAPES	AGRICULTURA TROPICAL E SUBTROPICAL	AGRONOMIA	IAC CAMPINAS
JOSIANE ANIELE SCARPASSA	DOUTORADO	CTBE	CAPES	MICROBIOLOGIA	BIOCÊNCIAS	UNESP

JULIAN DAVID ESCOBAR ATEHORTUA	DOUTORADO	LNNANO	FAPESP	ENGENHARIA MECANICA	FEM - FACULDADE DE ENGENHARIA MECANICA	UNICAMP
JULYANE VIEIRA FONTENELLI	DOUTORADO	CTBE	CAPES	ENGENHARIA AGRICOLA	FREAGRI - ENGENHARIA AGRICOLA	UNICAMP
KRISHINA RATNA SOUSA DE OLIVEI	DOUTORADO	LNBIO	FAPESP	GENETICA E BIOLOGIA MOLECULAR	IB - INSTITUTO DE BIOLOGIA	UNICAMP
Bolsista	Modalidade	LN	Ag. Fomento	Programa Pós-graduação	Instituto	Universidade
LARISSA MENEZES DOS REIS	DOUTORADO	LNBIO	FAPESP	GENETICA E BIOLOGIA MOLECULAR	IB - INSTITUTO DE BIOLOGIA	UNICAMP
LEANDRO CARNEIRO BARBOSA	DOUTORADO	CTBE	CAPES	ENGENHARIA AGRICOLA	FEAGRI - FACULDADE DE ENGENHARIA AGRICOLA	UNICAMP
LEANDRO DAS MERCES SILVA	DOUTORADO	LNNANO	CAPES	FISICA	IF - INSTITUTO DE FISICA	UNICAMP
LEANDRO DE SA BORTOLOZZO	DOUTORADO	LNNANO	CAPES	TECNOLOGIA	FT - TECNOLOGIA	UNICAMP
LEANDRO HENRIQUE DE PAULA ASSIS	DOUTORADO	LNBIO	FAPESP	BIOLOGIA FUNCIONAL E MOLECULAR	IB - INSTITUTO DE BIOLOGIA	UNICAMP
LIDIANE SILVA FRANQUI	DOUTORADO	LNNANO	CAPES	TECNOLOGIA CIENCIAS DOS MATERIAIS	FT - FACULDADE DE TECNOLOGIA	UNICAMP
LIVIA BEATRIZ BRENELLI DE PAIVA	DOUTORADO	CTBE	FAPESP	BIOLOGIA FUNCIONAL E MOLECULAR	IB - INSTITUTO DE BIOLOGIA	UNICAMP
LUANA NUNES SANTOS	DOUTORADO	LNBIO	FAPESP	BIOLOGIA CELULAR E DO DESENVOLVIMENTO	CIENCIAS BIOMEDICAS	USP
LUCAS MAYRINK ASSIS	DOUTORADO	LNBIO	FAPESP	GENETICA	IB - INSTITUTO DE BIOLOGIA	UNICAMP
LUCAS SOUZA LOPES	DOUTORADO	CTBE	FAPESP	BIOENERGIA	BIOLOGIA	ESALQ
LUCAS TADEU FUESS	DOUTORADO	CTBE	FAPESP	ENGENHARIA HIDRAULICA E SANEAMENTO	ENGENHARIA	USP
LUCIANA DO CARMO ZOTELLI	DOUTORADO	CTBE	CAPES	INT. PLAN. SIST. ENERGETICOS	FEM - FACULDADE DE ENGENHARIA MECANICA	UNICAMP
LUCIANO GRACIENI DOLCE	DOUTORADO	LNBIO	fapesp	BIOLOGIA FUNCIONAL E MOLECULAR	IB - INSTITUTO DE BIOLOGIA	UNICAMP
LUIZA SANTOS NAVES	DOUTORADO	LNBIO	CAPES	GENETICA E BIOLOGIA MOLECULAR	IB - INSTITUTO DE BIOLOGIA	UNICAMP
MARCELO MIRANDA DE OLIVEIRA	DOUTORADO	CTBE	CAPES	CIENCIA E ENGENHARIA DE MATERIAIS	EESC - ESCOLA DE ENGENHARIA DE SÃO CARLOS	USP
MARIA LETICIA BONATELLI	DOUTORADO	CTBE	FAPESP	GENETICA E MELHORAMENTO DE PLANTAS	ESA - ENGENHARIA SANITÁRIA AMBIENTAL	USP
MARIA LUIZA CALDAS NOGUEIRA	DOUTORADO	LNBIO	FAPESP	BIOLOGIA FUNCIONAL E MOLECULAR	IB - INSTITUTO DE BIOLOGIA	UNICAMP
MARIANA ABRAHAO BUENO DE MORAIS	DOUTORADO	LNBIO	FAPESP	BIOLOGIA FUNCIONAL E MOLECULAR	IB - INSTITUTO DE BIOLOGIA	UNICAMP
MARIANE PAUDETTI ZUBIETA	DOUTORADO	CTBE	FAPESP	BIOLOGIA FUNCIONAL E MOLECULAR	IB - INSTITUTO DE BIOLOGIA	UNICAMP
MAYARA MAYELE MIYACHIRO	DOUTORADO	LNBIO	FAPESP	GENETICA E BIOLOGIA MOLECULAR	IB - INSTITUTO DE BIOLOGIA	UNICAMP
MELISSA QUINTERO ESCOBAR	DOUTORADO	LNBIO	FAPESP	BIOCIENCIAS E TECNOLOGIA	IB - INSTITUTO DE BIOLOGIA	UNICAMP

MONIQUE ROSELEM CHINELATTO	DOUTORADO	LNNANO	CAPES	ENGENHARIA QUIMICA	FEQ - FACULDADE DE ENGENHARIA QUIMICA	UNICAMP
NATALIA BERNARDI VIDEIRA	DOUTORADO	LNBIO	FAPESP	BIOCIENCIAS E TECNOLOGIAS DE PRODUTOS BIOATIVOS	IB - INSTITUTO DE BIOLOGIA	UNICAMP
NAYARA PATRICIA VIEIRA DE LIRA	DOUTORADO	LNBIO	FAPESP	BIOLOGIA FUNCIONAL E MOLECULAR	IB - INSTITUTO DE BIOLOGIA	UNICAMP
PATRICIA BALLONE	DOUTORADO	LNBIO	CAPES	BIOCIENCIAS E TECNOLOGIAS DE PRODUTOS BIOATIVOS	IB - INSTITUTO DE BIOLOGIA	UNICAMP
Bolsista	Modalidade	LN	Ag. Fomento	Programa Pós-graduação	Instituto	Universidade
PATRICIA DOS SANTOS COSTA	DOUTORADO	CTBE	FAPESP	ENGENHARIA QUIMICA	FEQ - FACULDADE DE ENGENHARIA QUIMICA	UNICAMP
PAULO RICARDO CASAGRANDE LAZZARINI	DOUTORADO	CTBE	CAPES	BIOENERGIA	FEA - ENGENHARIA DE ALIMENTOS	UNICAMP
PAULO VINICIUS DA MATA MADEIRA	DOUTORADO	LNBIO	CAPES	GENETICA E BIOLOGIA MOLECULAR	IB - INSTITUTO DE BIOLOGIA	UNICAMP
PEDRO AVELLAR CABRAL RODRIGUES DA COSTA	DOUTORADO	LNBIO	CAPES	BIOLOGIA FUNCIONAL E MOLECULAR	IB - INSTITUTO DE BIOLOGIA	UNICAMP
PLINIO SALMAZO VIEIRA	DOUTORADO	LNBIO	FAPESP	BIOLOGIA FUNCIONAL E MOLECULAR	IB - INSTITUTO DE BIOLOGIA	UNICAMP
RAFAEL DA GAMA FERREIRA	DOUTORADO	CTBE	FAPESP	ENGENHARIA QUIMICA	ENGENHARIA QUIMICA	USP
RAFAEL FERRAZ ALVES	DOUTORADO	CTBE	CAPES	PROGRAMA BIOENERGIA	FEA - ENGENHARIA DE ALIMENTOS	UNICAMP
RAFAEL FERREIRA DA COSTA VESCOVI	DOUTORADO	LNLS	CAPES	FISICA	IF - INSTITUTO DE FISICA	UNICAMP
RAFAEL RENATINO CANEVAROLO	DOUTORADO	LNBIO	FAPESP	MEDICINA	FCM - MEDICINA	UNICAMP
RAFAELA MILAN BONOTTO	DOUTORADO	LNBIO	CAPES	GENETICA E BIOLOGIA MOLECULAR	IB - INSTITUTO DE BIOLOGIA	UNICAMP
RAMIRO JOSE CHAMORRO CONEO	DOUTORADO	LNNANO	COLCIENCIA	ENGENHARIA MECANICA	ENGENHARIA MECANICA	UNICAMP
REGIANE ALVES DE OLIVEIRA	DOUTORADO	CTBE	FAPESP	BIOENERGIA	FEQ - FACULDADE DE ENGENHARIA QUIMICA	UNICAMP
RENATO CRUZ NEVES	DOUTORADO	CTBE	CAPES	BIOENERGIA	FEA - ENGENHARIA DE ALIMENTOS	UNICAMP
RENNA KAROLINE ELOI COSTA	DOUTORADO	LNBIO	FAPESP	GENETICA E BIOLOGIA MOLECULAR	IB - INSTITUTO DE BIOLOGIA	UNICAMP
RICARDO JUSTINO DA SILVA	DOUTORADO	CTBE	CAPES	ENGENHARIA QUIMICA	FEQ - FACULDADE DE ENGENHARIA QUIMICA	UNICAMP
ROBSON TRAMONTINA	DOUTORADO	CTBE	FAPESP	BIOCIENCIAS E TECNOLOGIAS DE PRODUTOS BIOATIVOS	IB - INSTITUTO DE BIOLOGIA	UNICAMP
ROSA LORIZOLLA CORDEIRO	DOUTORADO	LNBIO	FAPESP	BIOLOGIA FUNCIONAL E MOLECULAR	IB - INSTITUTO DE BIOLOGIA	UNICAMP
SABRINA GONDIM RIBEIRO MOTA	DOUTORADO	LNBIO	FAPESP	BIOCIENCIAS E TECNOLOGIAS DE PRODUTOS BIOATIVOS	IB - INSTITUTO DE BIOLOGIA	UNICAMP
SAIMON FILIPE COVRE DA SILVA	DOUTORADO	LNNANO	CAPES	FISICA	IF - INSTITUTO DE FISICA	UFV
SIDNEI EMILIO BORDIGNON JUNIOR	DOUTORADO	CTBE	CAPES	ENGENHARIA E CIENCIAS DE ALIMENTOS	INSTITUTO DE BIOCIENCIAS, LETRAS E CIENCIAS EXATAS	UNESP

SIMONE COELHO NAKANISHI	DOUTORADO	CTBE	FAPESP	ENGENHARIA QUIMICA	ENGENHARIA QUIMICA	USP
SOLEDAD PALAMETA	DOUTORADO	LNBIO	CAPES	BIOCIENCIAS E TECNOLOGIAS DE PRODUTOS BIOATIVOS	IB - INSTITUTO DE BIOLOGIA	UNICAMP
TABATA RENEE DORATIOTO	DOUTORADO	LNBIO	FAPESP	BIOCIENCIAS E TECNOLOGIAS DE PRODUTOS BIOATIVOS	IB - INSTITUTO DE BIOLOGIA	UNICAMP
TANES IMAMURA DE LIMA	DOUTORADO	LNBIO	CAPES	BIOQUIMICA	MEDICINA	USP

Bolsista	Modalidade	LN	Ag. Fomento	Programa Pós-graduação	Instituto	Universidade
TATIANE DE ROSSI	DOUTORADO	LNBIO	FAPESP	BIOLOGIA FUNCIONAL E MOLECULAR	IB - INSTITUTO DE BIOLOGIA	UNICAMP
VALERIA YUKARI ABE	DOUTORADO	LNBIO	FAPESP	GENETICA E BIOLOGIA MOLECULAR	IB - INSTITUTO DE BIOLOGIA	UNICAMP
VANESSA BOMFIM CARDOSO	DOUTORADO	LNBIO	FAPESP	CIENCIAS BIOLOGICAS	IB - INSTITUTO DE BIOLOGIA	UNICAMP
VANESSA ISABEL TARDILLO SUAREZ	DOUTORADO	LNLS	CAPES	FISICA APLICADA	IF - INSTITUTO DE FISICA	UFV
VICTOR COELHO GERALDO	DOUTORADO	CTBE	CAPES	BIOENERGIA	FEA - ENGENHARIA DE ALIMENTOS	UNICAMP
WILLIAM EDUARDO HERRERA	DOUTORADO	CTBE	FAPESP	ENGENHARIA QUIMICA	FEQ - FACULDADE DE ENGENHARIA QUIMICA	UNICAMP
WILLIAN TAKEMITSU SHIGEYOSI	DOUTORADO	LNNANO	CAPES	FISICA	IF - INSTITUTO DE FISICA	UFSCAR
ALFREDO JOSE FLOREZ ARIZA	MESTRADO	LNNANO	CAPES	FISICA APLICADA	FISICA	USP
ANA CAROLINA PIVA DE OLIVEIRA	MESTRADO	CTBE	CAPES	BIOLOGIA FUNCIONAL E MOLECULAR	IB - INSTITUTO DE BIOLOGIA	UNICAMP
ANTONIO ADALBERTO KAUPERT NETO	MESTRADO	CTBE	CAPES	GENETICA MOLECULAR	IB - INSTITUTO DE BIOLOGIA	UNICAMP
ARTHUR ZANETTI NUNES FERNANDES	MESTRADO	LNBIO	CAPES	BIOCIENCIAS E TECNOLOGIAS DE PRODUTOS BIOATIVOS	IB - INSTITUTO DE BIOLOGIA	UNICAMP
CAMILA FERREIRA NETTO	MESTRADO	CTBE	CAPES	ENGENHARIA AGRICOLA	FEAGRI - FACULDADE DE ENGENHARIA AGRICOLA	UNICAMP
CAMILA LUNA DE CAMARGO	MESTRADO	LNNANO	CAPES	ENGENHARIA MECANICA	ENGENHARIA MECANICA	UNICAMP
CINDY JOHANNA SARMIENTO ARDILA	MESTRADO	CTBE	CAPES	ENGENHARIA AGRICOLA	FEAGRI - FACULDADE DE ENGENHARIA AGRICOLA	UNICAMP
DEBORAH CEZAR MENDONCA	MESTRADO	LNNANO	CAPES	FISICA APLICADA	FISICA	USP
ELIAS FEITOSA ARAUJO	MESTRADO	CTBE	FAPEMIG	FISIOLOGIA VEGETAL	CIENCIAS BIOLOGICAS	UFV
ELIJAH ANERTEY ABBEY	MESTRADO	LNLS	CAPES	FISICA	FISICA	UFCG
FABIO MALTA DE SA PATRONI	MESTRADO	LNBIO	FAPESP	GENETICA E BIOLOGIA MOLECULAR	IB - INSTITUTO DE BIOLOGIA	UNICAMP
FELIPE CALZADO	MESTRADO	CTBE	FAPESP	BIOLOGIA FUNCIONAL E MOLECULAR	IB - INSTITUTO DE BIOLOGIA	UNICAMP

FELIPE CARDOSO RAMOS	MESTRADO	CTBE	CAPES	MICROBIOLOGIA	BIOLOGIA	UNESP
FELIPE FERRAZ MORGADO DE OLIVEIRA	MESTRADO	LNLS	FAPESP	FACULDADE DE FÍSICA	FISICA	USP
FRANCINE COA	MESTRADO	LNNANO	CAPES	AGRICULTURA E PESCA	INSTITUTO DE PESCA – IP	APTA - SP
GABRIEL GUARANY DE ARAUJO	MESTRADO	LNLS	CAPES	BIOTECNOLOGIA	BIOTECNOLOGIA	USP
GABRIEL LORENCINI FIORIN	MESTRADO	LNBIO	FAPESP	GENETICA MOLECULAR E MICROORGANISMOS	IB - INSTITUTO DE BIOLOGIA	UNICAMP
GABRIEL PEREIRA FREITAS	MESTRADO	LNLS	CAPES	FISICA	IF - INSTITUTO DE FISICA	UNICAMP
Bolsista	Modalidade	LN	Ag. Fomento	Programa Pós-graduação	Instituto	Universidade
GRAZIELE IZALINA VASCONCELOS BENRO	MESTRADO	LNBIO	CAPES	BIOCIENCIAS E TECNOLOGIAS DE PRODUTOS BIOATIVOS	IB - INSTITUTO DE BIOLOGIA	UNICAMP
HEITOR MODENESI FRAGA	MESTRADO	LNBIO	CAPES	BIOINFORMATICA	BIOINFORMATICA	USP
IRENE LAYANE DE SOUSA	MESTRADO	LNBIO	CAPES	FISIOPATOLOGIA	IB - INSTITUTO DE BIOLOGIA	UNICAMP
ISADORA FERRAZ SEMIONATTO	MESTRADO	LNBIO	FAPESP	BIOCIENCIAS E TECNOLOGIAS DE PRODUTOS BIOATIVOS	IB - INSTITUTO DE BIOLOGIA	UNICAMP
LAIS LUZ RODRIGUES NETO	MESTRADO	LNNANO	CAPES	TECNOLOGIA	FT - FACULDADE DE TECNOLOGIA	UNICAMP
LARA MALDANIS CERQUEIRA PERES	MESTRADO	LNLS	CAPES	FISICA APLICADA	FISICA	USP
LEANDRO CAROLINO GONZAGA	MESTRADO	CTBE	CAPES	IAC CAMPINAS	IAC CAMPINAS	IAC CAMPINAS
LETICIA DE MELO COSTA	MESTRADO	LNLS	FHR STFITU	BIOFISICA/ FISICA DA MATERIA CONDENSADA	IF - INSTITUTO DE FISICA	UNICAMP
LUANA NAYARA PIRES VILELA	MESTRADO	LNLS	CAPES	FISICA	IF - INSTITUTO DE FISICA	UNICAMP
LUCIANA DE SOUSA PARADELA	MESTRADO	LNBIO	CAPES	GENETICA E BIOLOGIA	IB - INSTITUTO DE BIOLOGIA	UNICAMP
LUIZ EDUARDO BIAZI	MESTRADO	CTBE	CAPES	ENGENHARIA QUIMICA	FEQ - FACULDADE DE ENGENHARIA QUIMICA	UNICAMP
MARIA FERNANDA CERINI	MESTRADO	LNLS	CAPES	FISICA APLICADA	FISICA	USP
MARJORIE MENDES GUARENCHI	MESTRADO	CTBE	CAPES	ENGENHARIA MECANICA	FEM - FACULDADE DE ENGENHARIA MECANICA	UNICAMP
MAYARA MARIA BELTANI AURICCHIO	MESTRADO	LNLS	CAPES	FACULDADE DE MECANICA	FEM - FACULDADE DE ENGENHARIA MECANICA	UNICAMP
MICAEL FELIPE DE SOUZA	MESTRADO	CTBE	CAPES	ENGENHARIA AGRICOLA	ENGENHARIA AGRICOLA	UNICAMP
NATHALIA DE CARVALHO INDOLFO	MESTRADO	LNBIO	CAPES	BIOCIENCIAS E TECNOLOGIAS DE PRODUTOS BIOATIVOS	IB - INSTITUTO DE BIOLOGIA	UNICAMP
PAULA ANDREIA PETRINI	MESTRADO	LNNANO	CAPES	CIENCIAS E TECNOLOGIA DE MATERIAIS	CIENCIAS	UNESP
AGNES CRISTINA PIMENTEL	MESTRADO	CTBE	CNPQ	BIOLOGIA FUNCIONAL E MOLECULAR	IB - INSTITUTO DE BIOLOGIA	UNICAMP

FLAVIA ELISA GALDINO	MESTRADO	LNNANO	CNPQ	QUIMICA	QUIMICA	UNICAMP
GUILHERME KEPPE ZANINI	MESTRADO	CTBE	CNPQ	GENETICA E BIOLOGIA MOLECULAR	IB - INSTITUTO DE BIOLOGIA	UNICAMP
LUCIANE FENDER COERINI	MESTRADO	CTBE	CNPQ	CIENCIAS	BIOLOGIA	USP
RAQUEL ORTEGA FERREIRA	MESTRADO	LNBIO	CAPES	BIOCIENCIAS E TECNOLOGIAS DE PRODUTOS BIOATIVOS	IB - INSTITUTO DE BIOLOGIA	UNICAMP
RENATO AUGUSTO CORREA DOS SANTOS	MESTRADO	CTBE	FAPESP	GENETICA E BIOLOGIA MOLECULAR	IB - INSTITUTO DE BIOLOGIA	UNICAMP
RHUBIA SILVEIRA MARTINS	MESTRADO	LNBIO	CAPES	BIOCIENCIAS E TECNOLOGIAS DE PRODUTOS BIOATIVOS	IB - INSTITUTO DE BIOLOGIA	UNICAMP
Bolsista	Modalidade	LN	Ag. Fomento	Programa Pós-graduação	Instituto	Universidade
MARINA ALVES FONTOURA	MESTRADO	LNBIO	CNPQ	BIOLOGIA CELULAR E ESTRUTURAL	IB - INSTITUTO DE BIOLOGIA	UNICAMP
ROBERTA MARIA MENEGALDO TAVARES SOARES DAL'MAS	MESTRADO	CTBE	CAPES	GENETICA E BIOLOGIA MOLECULAR	IB - INSTITUTO DE BIOLOGIA	UNICAMP
MIRTA NATALIA COUTOUNE	MESTRADO	CTBE	CNPQ	GENETICA E BIOLOGIA MOLECULAR	IB - INSTITUTO DE BIOLOGIA	UNICAMP
THAYNARA CORADINI PIN	MESTRADO	CTBE	CNPQ	ENGENHARIA QUIMICA	FEQ - FACULDADE DE ENGENHARIA QUIMICA	UNICAMP
TATIANA PARRA VELLO	MESTRADO	LNNANO	CAPES	QUIMICA	IQ - QUIMICA	UNICAMP
THAIS HELENA TITTANEGRO	MESTRADO	LNBIO	FAPESP	BIOCIENCIAS E TECNOLOGIAS DE PRODUTOS BIOATIVOS	IB - INSTITUTO DE BIOLOGIA	UNICAMP
THIAGO ALTAIR FERREIRA	MESTRADO	LNLS	CAPES	FISICA BIOMOLECULAR	IF - INSTITUTO DE FISICA	USP
VITOR HUGO DE OLIVEIRA AMANCIO	MESTRADO	LNBIO	CAPES	GENETICA E BIOLOGIA MOLECULAR	IB - INSTITUTO DE BIOLOGIA	UNICAMP
WILLIAM SANTOS MAGALHAES	MESTRADO	LNNANO	CAPES	ENGENHARIA MECANICA	FEM - FACULDADE DE ENGENHARIA MECANICA	UNICAMP

	DOUTORADO	MESTRADO	TOTAL
APTA - SP		1	1
AGRICULTURA E PESCA		1	1
ESALQ	1		1
BIOENERGIA	1		1
IAC CAMPINAS	1	1	2
AGRICULTURA TROPICAL E SUBTROPICAL	1		1
IAC CAMPINAS		1	1
UFCG		1	1
FISICA		1	1
UFPA	1		1

GEOLOGIA E GEOQUIMICA	1		1
UFSCAR	2		2
BIOTECNOLOGIA	1		1
FISICA	1		1
UFV	2	1	3
FISICA	1		1
FISICA APLICADA	1		1
FISIOLOGIA VEGETAL		1	1

	DOUTORADO	MESTRADO	TOTAL
UNESP	3	2	5
CIENCIAS E TECNOLOGIA DE MATERIAIS		1	1
ENGENHARIA E CIENCIAS DE ALIMENTOS	1		1
MICROBIOLOGIA	1	1	2
QUIMICA	1		1
UNICAMP	101	36	137
BIOCIENCIAS	2		2
BIOCIENCIAS E TECNOLOGIA	1		1
BIOCIENCIAS E TECNOLOGIAS DE PRODUTOS BIOATIVOS	10	7	17
BIOENERGIA	9		9
BIOFISICA	1		1
BIOFISICA/ FISICA DA MATERIA CONDENSADA		1	1
BIOLOGIA CELULAR E ESTRUTURAL		1	1
BIOLOGIA FUNCIONAL E MOLECULAR	17	3	20
BIOQUIMICA	2		2
CIENCIAS ALIMENTOS	1		1
CIENCIAS BIOLÓGICAS	1		1
ENGENHARIA	1		1
ENGENHARIA AGRICOLA	3	3	6
ENGENHARIA DE AGUA E SOLO	1		1
ENGENHARIA MECANICA	2	3	5
ENGENHARIA QUIMICA	10	2	12
FACULDADE DE ENGENHARIA QUIMICA	1		1
FACULDADE DE MECANICA		1	1
FACULDADE DE ODONTOLOGIA - ESTOMATOPALOGIA	1		1
FERTILIDADE. FISICA E SOLO	1		1
FISICA	4	2	6
FISIOPATOLOGIA		1	1
GENETICA	1		1

GENETICA E BIOLOGIA		1	1
GENETICA E BIOLOGIA MOLECULAR	22	6	28
GENETICA MOLECULAR		1	1
GENETICA MOLECULAR E MICROORGANISMOS		1	1
INT. PLAN. SIST. ENERGETICOS	1		1
MEDICINA	1		1
PROGRAMA BIOENERGIA	1		1
QUIMICA	5	2	7
TECNOLOGIA	1	1	2
TECNOLOGIA CIENCIAS DOS MATERIAIS	1		1
	DOUTORADO	MESTRADO	TOTAL
UNIFESP	3		3
MICROBIOLOGIA E IMUNOLOGIA	3		3
UNU - BIOLAC	1		1
QUIMICA	1		1
USP	15	9	24
BIOINFORMATICA		1	1
BIOLOGIA CELULAR E DO DESENVOLVIMENTO	1		1
BIOLOGIA CELULAR E TECIDAL	1		1
BIOQUIMICA	1		1
BIOTECNOLOGIA		1	1
BIOTECNOLOGIA INDUSTRIAL	1		1
CIENCIA E ENGENHARIA DE MATERIAIS	1		1
CIENCIAS	1	1	2
ENGENHARIA HIDRAULICA E SANEAMENTO	1		1
ENGENHARIA METALURGICA	1		1
ENGENHARIA QUIMICA	2		2
FACULDADE DE FÍSICA		1	1
FISICA	1		1
FISICA APLICADA		4	4
FISICA BIOMOLECULAR		1	1
GENETICA E MELHORAMENTO DE PLANTAS	1		1
MICROBIOLOGIA E IMONOLOGIA	1		1
QUIMICA	1		1
QUIMICA ORGANICA	1		1
Total Geral	130	51	181

PÓS DOUTORES					
NOME	LN	NOME	LN	NOME	LN
ALEJANDRO RICO CAMPOS	CTBE	BRUNA MEDEIA DE CAMPOS	LNBIO	AGUSTIN SILVIO PICCO	LNNANO
ALEXANDRE MONTEIRO SOUZA	CTBE	BRUNO DOS SANTOS PASCOALINO	LNBIO	ALEX MATOS DA SILVA COSTA	LNNANO
ALYSSON WAGNER FERNANDES DUART	CTBE	DANIELA CAMPOS GRANATO	LNBIO	ANTONIO CARLOS BORGES	LNNANO
ANDRE RICARDO DE LIMA DAMASIO	CTBE	DIEGO MARIO RUIZ	LNBIO	FABRICIO DE SOUZA DELITE	LNNANO
ANTONIO DJALMA NUNES FERRAZ JU	CTBE	FABRICIO FREDO NACIUK	LNBIO	HEIDE HELOISE BERNARDI	LNNANO
PÓS DOUTORES					
NOME	LN	NOME	LN	NOME	LN
BERNARDO MELO MONTES NOGUEIRA BORGES	CTBE	FLAVIO HENRIQUE MOREIRA DE SOUZA	LNBIO	JOHN JAIRO HOYOS QUINTERO	LNNANO
BRUNA DE SOUZA MORAES	CTBE	GUSTAVO FERNANDO MERCALDI	LNBIO	JULIAN ARNALDO AVILA DIAZ	LNNANO
BRUNA SOARES FERNANDES	CTBE	HUGO MASSAYOSHI SHIMO	LNBIO	KARIM BOUCHMELLA	LNNANO
CARLA ANDREIA FREIXO PORTELA	CTBE	JOICE HELENA PAIVA	LNBIO	MARCELO ALEXANDRE DE FARIAS	LNNANO
CARLA BOTELHO MACHADO	CTBE	LUCIANE ALESSANDRA CHIMETTO TO	LNBIO	OSVALDO MITSUYUKI CINTHO	LNNANO
CLOVIS DANIEL BORGES	CTBE	MARIANA MASCHIETTO	LNBIO	PAMELA SIERRA GARCIA	LNNANO
FABIANO JARES CONTESINI	CTBE	MARILIA MEIRA DIAS	LNBIO	RAFAEL FURLAN DE OLIVEIRA	LNNANO
GEIZECLER TOMAZETTO	CTBE	MURILO DE CARVALHO	LNBIO	SUELY PATRICIA COSTA GONCALVES	LNNANO
JOAO PAULO LOURENCO FRANCO CAIRO	CTBE	NAGAMPALLI RAGHAYEHDRA S. K.NAGAMPALLI	LNBIO	ZAIRA CLEMENTE	LNNANO
JOSE FERNANDO CUADROS BOHORQUE	CTBE	NICOLLI BELLOTTI DE SOUZA	LNBIO		
LUCAS GONCALVES PEREIRA	CTBE	PAULA RODRIGUES OBLESSUC	LNBIO		
LUISA FERNANDA RIOS PINTO	CTBE	RAFAEL DE FELICIO	LNBIO		
MARCELO VIZONA LIBERATO	CTBE	REBECA LEITE DE ALMEIDA	LNBIO		
MARCOS DJUN BARBOSA WATANABE	CTBE	RUTE ALVES PEREIRA E COSTA	LNBIO		
RAFAEL MAFRA DE PAULA DIAS	CTBE	SAMIRA ZOUHIR	LNBIO		
RICARDO DE OLIVEIRA BORDONAL	CTBE	TATIANI BRENELLI DE LIMA	LNBIO		
SAMANTHA CHRISTINE SANTOS	CTBE	VALERIA ROSANA TUROWSKI	LNBIO		
SIMONE TONI RUIZ CORREA	CTBE	VALERIA SCORZATO	LNBIO		

VALERIA MAFRA	CTBE	ZEY AUL ISLAM	LNBIO
VIVIANE CRISTINA HEINZEN DA SILVA	CTBE	CARLOS AUGUSTO ESCANHOELA JUNIOR	LNLS
ADRIANA SANTOS SOPRANO	LNBIO	EMILIA ANNESE	LNLS
ANA KARINA DE OLIVEIRA	LNBIO	FABIO MACHADO ARDITO	LNLS
ANGELA SAITO	LNBIO	NICOLAU MOLINA BOM	LNLS
ANTONIO CARLOS BORGES	LNBIO	NIKOLAY KOSHEV	LNLS
ARIANE FIDELIS BUSSO LOPES	LNBIO	PEDRO SCHIO DE NORONHA MUNIZ	LNLS
ARINA MARINA PEREZ	LNBIO	SILVIA FERNANDA MOYA	LNLS

ANEXO 4 – Referências de Publicações Científicas, Teses e Dissertações e Memorandos Técnicos

2016

Artigo em Periódico Indexado

Interna

1. SCARPARE, F. V.; HERNANDES, T. A. D.; CORRÊA, S. T. R.; KOLLN, O. T.; GAVA, G. J. DE C.; DOS SANTOS, L. N. S.; VICTORIA, R. L. Sugarcane water footprint under different management practices in Brazil: Tiete/Jacare watershed assessment. **Journal of Cleaner Production**, v. 112, n. 5, p. 4576-4584, 2016. (6738) - Fator de Impacto em 2015: 4,959
2. BARBOSA, V. M. P.; BARBOSA, A. F.; BETTINI, J.; LUCCAS, P. O.; FIGUEIREDO, E. C. Direct extraction of lead (II) from untreated human blood serum using restricted access carbon nanotubes and its determination by atomic absorption spectrometry. **Talanta**, v. 147, p. 478-484, 2016. (6742) - Fator de Impacto em 2015: 4,035
3. CRESPIM, E.; ZANPHORLIN, L. M.; SOUZA, F. H. M.; DIOGO, J. A.; GAZOLLA, A. C.; MACHADO, C. B.; FIGUEIREDO, F.; SOUSA, A. S.; NÓBREGA, F.; PELLIZARI, V. H.; MURAKAMI, M. T.; RULLER, R. A novel cold-adapted and glucose-tolerant GH1 beta-glucosidase from *Exiguobacterium antarcticum* B7. **International Journal of Biological Macromolecules**, v. 82, p. 375-380, 2016. (6746) - Fator de Impacto em 2015: 3,138
4. POLLARD, B.; MAIA, F. C. B.; RASCHKE, M.; FREITAS, R. O. Infrared Vibrational Nanospectroscopy by Self-Referenced Interferometry. **Nano Letters**, v. 16, n. 1, p. 55-61, 2016. (6766) - Fator de Impacto em 2015: 13,779
5. BROLLO, M. E. F.; OROZCO-HENAO, J. M.; LÓPEZ-RUIZ, R.; MURACA, D.; DIAS, C. S. B.; PIROTA, K. R.; KNOBEL, M. Magnetic hyperthermia in brick-like Ag@Fe₃O₄ core-shell nanoparticles. **Journal of Magnetism and Magnetic Materials**, v. 397, p. 20-27, 2016. (6774) - Fator de Impacto em 2015: 2,357
6. KÖLLN, O. T.; FRANCO, H. C. J.; FERREIRA, DA. A.; VARGAS, V. P.; CASTRO, S. A. Q.; CANTARELLA, H.; CALDANA, C.; TRIVELIN, P. C. O. Root extracts of *Bracchiaria humidicola* and *Saccharum spontaneum* to increase N use by sugarcane. **Scientia Agricola**, v. 73, n. 1, p. 34-42, 2016. (6791) - Fator de Impacto em 2015: 0,954
7. QUINES, L. K. M.; IENCZAK, J. L.; SCHMIDT, M.; ZANFONATO, K.; PRADELLA, J. G. C.; SCHMIDELL, W.; ARAGÃO, G. M. F. Poly(3-Hydroxybutyrate) Production in Repeated fed-Batch with Cell Recycle Using a Medium with low Carbon Source Concentration. **Applied Biochemistry and Biotechnology**, v. 178, n. 2, p. 408-417, 2016. (6792) - Fator de Impacto em 2015: 1,606
8. RINKEL, J.; MAGALHÃES, D. P.; WAGNER, F.; MENEAU, F.; VICENTINI, FE. C. Detective quantum efficiency for photon-counting hybrid pixel detectors in the tender X-ray domain: application to Medipix3RX. **Journal of Synchrotron Radiation**, v. 23, n. 1, p. 206-213, 2016. (6801) - Fator de Impacto em 2015: 1,877
9. KAWAHARA, R.; BOLLINGER, J. G.; RIVERA, C.; RIBEIRO, A. C. P.; BRANDÃO, T. B.; PAES LEME, A. F.; MACCOSS, M. J. A targeted proteomic strategy for the measurement of

- oral cancer candidate biomarkers in human saliva. **Proteomics**, v. 16, n. 1, p. 159-173-2016. (6807) - Fator de Impacto em 2015: 4,079
10. WINCK, F. V.; PÁEZ MELO, D. O.; RIAÑO-PACHÓN, D. M.; MARTINS, M. C. M.; CALDANA, C.; GONZÁLEZ BARRIOS, A. F. Analysis of Sensitive CO₂ Pathways and Genes Related to Carbon Uptake and Accumulation in *Chlamydomonas reinhardtii* through Genomic Scale Modeling and Experimental Validation. **Frontiers in Plant Science**, v. 7, p. 43, 2016. (6822) - Fator de Impacto em 2015: 4,495
 11. COUTO, R. C.; GUARISE, M.; NICOLAOU, A.; JAOUEN, N.; CHIUZBAIAN, G. S.; LÜNING, J.; EKHOLOM, V.; RUBENSSON, J.-E.; SATHE, C.; HENNIES, F.; KIMBERG, V.; GUIMARÃES, F. F.; AGREN, H.; GEL'MUKHANOV, F. K.; JOURNEL, L.; SIMON, M. Anomalous strong two-electron one-photon X-ray decay transitions in CO caused by avoided crossing. **Scientific Reports**, v. 6, p. 20947, 2016. (6823) - Fator de Impacto em 2015: 5,228
 12. CHAGAS, M. F.; BORDONAL, R. O.; CAVALETTI, O.; CARVALHO, J. L. N.; BONOMI, A.M.F.L.J.; LA SCALA JR., N. Environmental and economic impacts of different sugarcane production systems in the ethanol biorefinery. **Biofuels Bioproducts & Biorefining-Biofpr**, v. 10, n. 1, p. 89-106, 2016. (6824) - Fator de Impacto em 2015: 4,416
 13. DRIEMEIER, C. E.; OLIVEIRA, MA. M.; CURVELO, A. A. S. Lignin contributions to the nanoscale porosity of raw and treated lignocelluloses as observed by calorimetric thermoporometry. **Industrial Crops and Products**, v. 82, p. 114-117, 2016. (6826) - Fator de Impacto em 2015: 3,449
 14. DA SILVA, A. G. M.; KISUKURI, C. M.; RODRIGUES, T. S.; CANDIDO, E. G.; DE FREITAS, I. C.; SILVA, A. H. M. DA; ASSAF, J. M.; OLIVEIRA, D. C.; ANDRADE, L. H.; CAMARGO, P. H. C. MnO₂ nanowires decorated with Au ultrasmall nanoparticles for the green oxidation of silanes and hydrogen production under ultralow loadings. **Applied Catalysis B**, v. 184, p. 35-43, 2016. (6835) - Fator de Impacto em 2015: 8,327
 15. MARASCHIN, M.; SOMENSI-ZEGGIO, A.; OLIVEIRA, S. K.; KUHNEN, S.; TOMAZZOLI, M.; RAGUZZONI, J. C.; ZERI, A. C. DE M.; CARREIRA, R.; CORREIA, S.; COSTA, C.; ROCHA, M. Metabolic Profiling and Classification of Propolis Samples from Southern Brazil: An NMR-Based Platform Coupled with Machine Learning. **Journal of Natural Products**, v. 79, n. 1, p.13-23, 2016. (6836) - Fator de Impacto em 2015: 3,662
 16. GONÇALVES, V. N.; CANTRELL, C. L.; WEDGE, D.; FERREIRA, M. C.; SOARES, M. A.; JACOB, M. R.; OLIVEIRA, F. S.; GALANTE, D.; RODRIGUES, F.; ALVES, T. M. A.; ZANI, C. L.; JUNIOR, P. A. S.; ROMANHA, A. J.; BARBOSA, E. C.; KROON, E. G.; OLIVEIRA, J. G.; GOMEZ-SILVA, B.; GALETOVIC, A.; ROSA, C. A.; ROSA, L. H. Fungi associated with rocks of the Atacama Desert: taxonomy, distribution, diversity, ecology and bioprospection for bioactive compounds. **Environmental Microbiology**, v. 18, n. 1, p. 232-245, 2016. (6845) - Fator de Impacto em 2015: 5,932
 17. BARROS, H. R.; CARDOSO, M. B.; OLIVEIRA, C. C.; FRANCO, C. R. C.; VIDOTTI, M.; RIEGEL-VIDOTTI, I. C. Stability of gum arabic-gold nanoparticles in physiological simulated pHs and their selective effect on cell lines. **RSC Advances**, v. 6, n. 12, p. 9411-9420, 2016. (6849) - Fator de Impacto em 2015: 3,289
 18. EMWAS, A.-H.; ROY, R.; MCKAY, R. T.; RYAN, D.; BRENNAN, L.; TENORI, L.; LUCHINAT, C.; GAO, X.; ZERI, A. C. DE M.; GOWDA, G. A. N.; RAFTERY, D.; STEINBECK, C.; SALEK, R. M.; WISHART, D. S. Recommendations and Standardization of Biomarker Quantification Using NMR-Based Metabolomics with Particular Focus on Urinary

- Analysis. **Journal of Proteome Research**, v. 15, n. 2, p. 360-373, 2016. (6852) - Fator de Impacto em 2015: 4,173
19. PELOSO, E. F.; DIAS, L.; QUEIROZ, R. M. L.; PAES LEME, A. F.; PEREIRA, C. N.; CARNIELLI, C. M.; WERNECK, C. C.; SOUSA, M. V.; RICART, C.A.O; GADELHA, F. R. Trypanosoma cruzi mitochondrial trypanredoxin peroxidase is located throughout the cell and its pull down provides one step towards the understanding of its mechanism of action. **Biochimica et Biophysica Acta. Proteins and Proteomics**, v. 1864, n. 1, p. 1-10, 2016. (6860) - Fator de Impacto em 2015: 3,016
 20. DE OLIVEIRA, R. F.; MERCES, L.; VELLO, T. P.; BUFON, C. C. B. Water-gated phthalocyanine transistors: Operation and transduction of the peptide-enzyme interaction. **Organic Electronics**, v. 31, p. 217-226, 2016. (6863) - Fator de Impacto em 2015: 3,471
 21. CARVALHO, A. M. G.; MEJÍA, C. S.; PONTE, C. A.; SILVA, L. E. L.; KASTIL, J.; KAMARÁD, J.; GOMES, A. M. Adiabatic temperature change from non-adiabatic measurements. **Applied Physics A**, v. 122, p. 246-250, 2016. (6872) - Fator de Impacto em 2015: 1,444
 22. BRENELLI, L. B. B.; MANDELLI, F.; MERCADANRTE, A. Z.; ROCHA, G. J. M.; ROCCO, S. A.; CRAIEVICH, A.; GONÇALVES, A. R.; CENTENO, D. C.; OLIVEIRA NETO, M.; SQUINA, F. M. Acidification treatment of lignin from sugarcane bagasse results in fractions of reduced polydispersity and high free-radical scavenging capacity. **Industrial Crops and Products**, v. 83, p. 94-103, 2016. (6874) - Fator de Impacto em 2015: 3,449
 23. ROCHA, M. A.; PETERSEN, P. A. D.; TEIXEIRA-NETO, E.; PETRILLI, H. M.; LEROUX, F.; TAVIOT-GUEHO, C.; CONSTANTINO, V. R. L. Layered double hydroxide and sulindac coiled and scrolled nanoassemblies for storage and drug release. **RSC Advances**, v. 6, n. 20, p. 16419-16436, 2016. (6876) - Fator de Impacto em 2015: 3,289
 24. ROCCO, D. L.; CAMPOS, A.; CARVALHO, A. M. G.; SANTOS, A. O.; SILVA, L. M.; GAMA, S.; LUZ, M. S. DA; VON RANKE, P. J.; OLIVEIRA, N. A.; COELHO, A. A.; CARDOSO, L. P.; SOUZA, J. A. Influence of chemical doping and hydrostatic pressure on the magnetic properties of Mn_{1-x}Fe_xAs magnetocaloric compounds. **Physical Review B**, v. 93, n. 5, p. 054431, 2016. (6887) - Fator de Impacto em 2015: 3,718
 25. LONGO, E.; AVANSI JR., W.; BETTINI, J.; ANDRÉS, J.; GRACIA, L. In situ Transmission Electron Microscopy observation of Ag nanocrystal evolution by surfactant free electron-driven synthesis. **Scientific Reports**, v. 6, p. 21498, 2016. (6890) - Fator de Impacto em 2015: 5,228
 26. PASSOS, S. G. B.; FREITAS, D. V.; DIAS, J. M. M.; TEIXEIRA-NETO, E.; NAVARRO, M. One-pot electrochemical synthesis of CdTe quantum dots in cavity cell. **Electrochimica Acta**, v. 190, p. 689-694, 2016. (6892) - Fator de Impacto em 2015: 4,803
 27. PENA, D. A.; ANDRADE, V. P.; SILVA, G. A, F.; NEVES, J. I.; OLIVEIRA, P. S. L.; ALVES, M. J. M.; DEVI, L. A.; SCHECHTMAN, D. Rational design and validation of an anti-protein kinase C active-state specific antibody based on conformational changes. **Scientific Reports**, v. 6, p. 22114, 2016. (6898) - Fator de Impacto em 2015: 5,228
 28. SANTOS, C. A.; ZANPHORLIN, L. M.; CRUCELLO, A.; TONOLI, C. C. C.; RULLER, R.; HORTA, M. A. C.; MURAKAMI, M. T.; SOUZA, A. P. Crystal structure and biochemical characterization of the recombinant ThBgl, a GH1 beta-glucosidase overexpressed in *Trichoderma harzianum* under biomass degradation conditions. **Biotechnology for Biofuels**, v. 9, p. 71, 2016. (6904) - Fator de Impacto em 2015: 6,444

29. SCHNEIDER, W. D. H.; GONÇALVES, T. A.; UCHIMA, C. A.; COUGER, M. B.; PRADE, R.; SQUINA, F. M.; DILLON, A. J. P.; CAMASSOLA, M. Penicillium echinulatum secretome analysis reveals the fungi potential for degradation of lignocellulosic biomass. **Biotechnology for Biofuels**, v. 9, p. 66, 2016. (6906) - Fator de Impacto em 2015: 6,444
30. COUTO, R. C.; GUARISE, M.; NICOLAOU, A.; JAOUEN, N.; CHIUZBAIAN, G. S.; LÜNING, J.; EKHOLM, V.; RUBENSSON, J.-E.; SATHE, C.; HENNIES, F.; GUIMARÃES, F. F.; AGREN, H.; GEL'MUKHANOV, F. K.; JOURNAL, L.; SIMON, M.; KIMBERG, V. Coupled electron-nuclear dynamics in resonant $1\sigma \rightarrow 2\pi$ X-ray Raman scattering of CO molecules. **Physical Review A**, v. 93, n. 3, p. 03510, 2016. (6908) - Fator de Impacto em 2015: 2,765
31. FIGUEIREDO, G. K. D. A.; BRUNSELL, N. A.; ROCHA, J. V.; LAMPARELLI, R. C.; PICOLI, M. C. A. Using temporal stability to estimate soya bean yield: a case study in Parana state, Brazil. **International Journal of Remote Sensing**, v. 37, n. 5, p. 1223-1242, 2016. (6910) - Fator de Impacto em 2015: 1,64
32. REDIS, R. S.; AMBROSIO, A. L. B.; DIAS, S. M. G. Allele-Specific Reprogramming of Cancer Metabolism by the Long Non-coding RNA CCAT2. **Molecular Cell**, v. 61, n. 4, p. 520-534, 2016. (6912) - Fator de Impacto em 2015: 13,958
33. REZENDE, K. M. P. C.; BÖNECKER, M.; PÉREZ, C. A.; MANTESSO, A. Synchrotron radiation X-ray micro-fluorescence: Protocol to study mesenchymal stem cells. **Microscopy Research and Technique**, v. 79, n. 3, p. 149-154, 2016. (6914) - Fator de Impacto em 2015: 1,13
34. COLETTA, R. D.; PAES LEME, A. F. B7-H3 overexpression in oral cancer. **Oral Diseases**, v. 22, n. 3, p. 163-166, 2016. (6924) - Fator de Impacto em 2015: 2
35. MACHADO, C. E.; TARTUCI, L. G.; GORGULHO, H. DE F.; DE OLIVEIRA, L. F. C.; BETTINI, J.; DOS SANTOS, DA. P.; FERRARI, J. L.; SCHIAVON, M. A. Influence of Inert and Oxidizing Atmospheres on the Physical and Optical Properties of Luminescent Carbon Dots Prepared through Pyrolysis of a Model Molecule. **Chemistry - A European Journal**, v. 22, n. 13, p. 4556-4563, 2016. (6925) - Fator de Impacto em 2015: 5,771
36. KAUPERT NETO, A. A.; BORIN, G. P.; GOLDMAN, G. H.; DAMÁSIO, A. R. DE L.; OLIVEIRA, J. V. DE C. Insights into the plant polysaccharide degradation potential of the xylanolytic yeast *Pseudozyma brasiliensis*. **FEMS Yeast Research**, v. 16, n. 2, p. f0v117, 2016. (6926) - Fator de Impacto em 2015: 2,479
37. ZANPHORLIN, L. M.; GIUSEPPE, P. O.; HONORATO, R. V.; TONOLI, C. C. C.; FATTORI, J.; CRESPI, E.; OLIVEIRA, P. S. L.; RULLER, R.; MURAKAMI, M. T. Oligomerization as a strategy for cold adaptation: Structure and dynamics of the GH1 beta-glucosidase from *Exiguobacterium antarcticum* B7. **Scientific Reports**, v. 6, p. 23776, 2016. (6927) - Fator de Impacto em 2015: 5,228
38. DE OLIVEIRA, P. S. L.; FERRAZ, F. A. N.; PENA, D. A.; PRAMIO, D. T.; MORAIS, F. A.; SCHECHTMAN, D. Revisiting protein kinase-substrate interactions: Toward therapeutic development. **Science Signaling**, v. 9, n. 420, p. re3, 2016. (6929) - Fator de Impacto em 2015: 7,359
39. FERRAZ, C. P.; GARCIA, M. A. S.; TEIXEIRA-NETO, E.; ROSSI, L. M. Oxidation of benzyl alcohol catalyzed by gold nanoparticles under alkaline conditions: weak vs. strong bases. **RSC Advances**, v. 6, p. 30, p. 25279-25285, 2016. (6932) - Fator de Impacto em 2015: 3,289

40. ANIZELLI, P. R.; BAÚ, J. P. T.; VALEZI, D. F.; CANTON, L. C.; CARNEIRO, C. E. A.; DI MAURO, E.; DA COSTA, A. C. S.; GALANTE, D.; BRAGA, A. H.; RODRIGUES, F.; CORONAS, J.; CASADO-COTERILLO, C.; ZAIA, C. T. B. V.; ZAIA, D. A. M. Adenine interaction with and adsorption on Fe-ZSM-5 zeolites: A prebiotic chemistry study using different techniques. **Microporous and Mesoporous Materials**, v. 226, p. 493-504, 2016. (6935) - Fator de Impacto em 2015: 3,349
41. MORENO, Y. P.; CARDOSO, M. B.; FERRÃO, M. F.; MONCADA, E.; DOS SANTOS, J. H. Z. Effect of SiCl₄ on the preparation of functionalized mixed-structure silica from monodisperse sol-gel silica nanoparticles. **Chemical Engineering Journal**, v. 292, p. 233-245, 2016. (6936) - Fator de Impacto em 2015: 5,31
42. PITTHAN, E.; GOBBI, A. L.; STEDILE, F. C. Investigation of phosphorous in thin films using the P-31(alpha, p)S-34 nuclear reaction. **Nuclear Instr and Meth in Physics Research B**, v. 371, p. 220-223, 2016. (6937) - Fator de Impacto em 2015: 1,389
43. SINK, R.; KOTNIK, M.; ZEGA, A.; BARRETEAU, H.; GOBEC, S.; BLANOT, D.; DESSEN, A.; CONTRERAS-MARTEL, C. Crystallographic Study of Peptidoglycan Biosynthesis Enzyme MurD: Domain Movement Revisited. **PloS One**, v. 11, n. 3, p. e0152075, 2016. (6942) - Fator de Impacto em 2015: 3,057
44. BENDOVA, M.; BUFON, C. C. B.; FOMIN, V. M.; GORANTLA, S.; RÜMMELI, M. H.; SCHMIDT, O. G. Electrical Properties of Hybrid Nanomembrane/Nanoparticle Heterojunctions: The Role of Inhomogeneous Arrays. **Journal of Physical Chemistry C**, v. 120, n. 12, p. 6891-6899, 2016. (6943) - Fator de Impacto em 2015: 4,509
45. DE OLIVEIRA, L. F.; BOUCHMELLA, K.; GONÇALVES, K. DE A.; BETTINI, J.; KOBARG, J.; CARDOSO, M. B. Functionalized Silica Nanoparticles As an Alternative Platform for Targeted Drug-Delivery of Water Insoluble Drugs. **Langmuir**, v. 32, n. 13, p. 3217-3225, 2016. (6945) - Fator de Impacto em 2015: 3,993
46. ZHU, J.-X.; JANOSCHEK, M.; CHAVES, D. S.; CEZAR, J. C.; DURAKIEWICZ, T.; SASSA, Y.; MANSSON, M.; SCOTT, B. L.; WAKEHAM, N.; BAUER, E. D.; THOMPSON, J. D. Electronic correlation and magnetism in the ferromagnetic metal Fe₃GeTe₂. **Physical Review B**, v. 93, n. 14, p. 144406, 2016. (6946) - Fator de Impacto em 2015: 3,718
47. COMIN, V. M.; LOPES, L. Q. S.; QUATRIN, P. M.; SOUZA, M. E. DE; BONEZ, P. C.; PINTOS, F. G.; RAFFIN, R. P.; VAUCHER, R. DE A.; MARTINEZ, D. S. T.; SANTOS, R. C. V. Influence of Melaleuca alternifolia oil nanoparticles on aspects of Pseudomonas aeruginosa biofilm. **Microbial Pathogenesis**, v. 93, p. 120-125, 2016. (6947) - Fator de Impacto em 2015: 1,888
48. MORAES, C. B.; FRANCO, C. H. Novel drug discovery for Chagas disease. **Expert Opinion on Drug Discovery**, v. 11, n. 5, p. 447-455, 2016. (6950) - Fator de Impacto em 2015: 3,467
49. CRUZ, C.; CARBALLO VIVAS, R. J.; PEDRO, S. S.; TEDESCO, J. C. G.; COELHO, A. A.; CARVALHO, A. M. G.; ROCCO, D. L.; REIS, M. S. Experimental evidences of enhanced magnetocaloric properties at room temperature and half-metallicity on Fe₂MnSi-based Heusler alloys. **Materials Chemistry and Physics**, v. 174, p. 23-27, 2016. (6962) - Fator de Impacto em 2015: 2,101
50. MEIORIN, C.; MOSCOSO- LONDOÑO, O.; MURACA, D.; SOCOLOVSKY, L.M.; PIROTA, K. R.; ARANGUREN, M. I.; KNOBEL, M.; MOSIEWICKI, M. A. Magnetism and structure of nanocomposites made from magnetite and vegetable oil based polymeric

matrices. **Materials Chemistry and Physics**, v. 175, p. 81-91, 2016. (7063) - Fator de Impacto em 2015: 2,101

51. BARE, S. R.; KNOP-GERICKE, A.; TESCHNER, D.; HÄVACKER, M.; BLUME, R.; ROCHA, T. C. R.; SCHLÖGL, P. S.; CHAN, A. S. Y.; BLACKWELL, N.; CHAROCHAK, M. E.; TER VEEN, R.; BRONGERSMA, H. H. Surface analysis of zeolites: An XPS, variable kinetic energy XPS, and low energy ion scattering study. **Surface Science**, v. 648, p. 376-382, 2016. (7064) - Fator de Impacto em 2015: 1,931
52. DELABONA, P. S.; LIMA, D. J. S.; ROBL, D.; FARINAS, C. S.; RABELO, S. C.; PRADELLA, J. G. C. Enhanced cellulase production by *Trichoderma harzianum* by cultivation on glycerol followed by induction on cellulosic substrates. **Journal of Industrial Microbiology & Biotechnology**, v. 43, n. 5, p. 617-626, 2016. (7071) - Fator de Impacto em 2015: 2,745
53. COSTA, P. DOS S.; BÜCHLI, F.; ROBL, D.; DELABONA, P. S.; RABELO, S. C.; PRADELLA, J. G. C. Enhancement of *Penicillium echinulatum* glycoside hydrolase enzyme complex. **Journal of Industrial Microbiology & Biotechnology**, v. 43, n. 5, p. 627-639, 2016. (7073) - Fator de Impacto em 2015: 2,745
54. MALDANIS, L.; CARVALHO, M.; ALMEIDA, M. R.; FREITAS, F. I.; ANDRADE, J. A. F. G. DE; NUNES, R. S.; ROCHITTE, C. E.; POPPI, R. J.; FREITAS, R. O.; RODRIGUES, F.; SILJESTRÖM, S.; LIMA, F. A.; GALANTE, D.; CARVALHO, I. S.; PÉREZ, C. A.; CARVALHO, M. R. DE; BETTINI, J.; FERNANDEZ, V.; XAVIER NETO, J. Heart fossilization is possible and informs the evolution of cardiac outflow tract in vertebrates. **eLife**, v. 5, p.14698, 2016. (7087) - Fator de Impacto em 2015: 8,282
55. GIOVANI, P. A.; SALMON, C. R.; MARTINS, L.; PAES LEME, A. F.; REBOUÇAS, P.; RONTANI, R. M. P.; MOFATTO, L. S.; SALLUM, E. A.; NOCITI JR., F. H.; KANTOVITZ, K. R. Secretome Profiling of Periodontal Ligament from Deciduous and Permanent Teeth Reveals a Distinct Expression Pattern of Laminin Chains. **PLoS One**, v. 11, n. 5, p. e0154957, 2016. (7172) - Fator de Impacto em 2015: 3,057
56. SHIROMA, L. S.; PIAZZETTA, M. H. O.; DUARTE JR., G. F.; COLTRO, W. K. T.; CARRILHO, E.; GOBBI, A. L.; LIMA, R. S. Self-regenerating and hybrid irreversible/reversible PDMS microfluidic devices. **Scientific Reports**, v. 6, p. 26032, 2016. (7173) - Fator de Impacto em 2015: 5,228
57. SANTHIAGO, M.; BETTINI, J.; ARAÚJO, S. R.; BUFON, C. C. B. Three-Dimensional Organic Conductive Networks Embedded in Paper for Flexible and Foldable Devices. **ACS Applied Materials & Interfaces**, v. 8, n. 17, p. 10661-10664, 2016. (7175) - Fator de Impacto em 2015: 7,145
58. ROBL, D.; COSTA, P. DOS S.; RABELO, S. C.; DELABONA, P. S.; LIMA, D. J. S.; PADILLA, G.; PRADELLA, J. G. C. Use of Ascomycete Extracts in Enzymatic Cocktail Formulations Increases Sugar Cane Bagasse Hydrolysis. **BioEnergy Research**, v. 9, n. 2, p. 559-565, 2016. (7177) - Fator de Impacto em 2015: 3,309
59. SILVA, V. F. N.; NAKANISHI, S. C.; DIONISIO, S. R.; ROSSEL, C. E. V.; IENCZAK, J. L.; GONÇALVES, A. R.; ROCHA, G. J. M. Using cell recycling batch fermentations to validate a setup for cellulosic ethanol production. **Journal of Chemical Technology and Biotechnology**, v. 91, n. 6, p. 1853-1859, 2016. (7178) - Fator de Impacto em 2015: 2,738

60. SILVA, V. M.; SOUZA, A. S. DE; NEGRÃO, D. R.; POLIKARPOV, I.; SQUINA, F. M.; OLIVEIRA NETO, M.; MUNIZ, J. R. C.; GARCIA, W. Non-productive adsorption of bacterial beta-glucosidases on lignins is electrostatically modulated and depends on the presence of fibronectin type III-like domain. **Enzyme and Microbial Technology**, v. 87-88, p. 1-8, 2016. (7218) - Fator de Impacto em 2015: 2,624
61. GIUSEPPE, P. O.; SANTOS, M. L.; SOUSA, S. M.; KOCH, K. E.; YUNES, J. A.; APARICIO, R.; MURAKAMI, M. T. A comparative structural analysis reveals distinctive features of co-factor binding and substrate specificity in plant aldo-keto reductases. **Biochemical and Biophysical Research Communications**, v. 474, n. 4, p. 696-701, 2016. (7219) - Fator de Impacto em 2015: 2,371
62. VENARUSSO, L. B.; BETTINI, J.; MAIA, G. Catalysts for oxygen reduction reaction based on nanocrystals of a Pt or Pt-Pd alloy shell supported on a Au core. **Journal of Solid State Electrochemistry**, v. 20, n. 6, p. 1753-1764, 2016. (7223) - Fator de Impacto em 2015: 2,327
63. FLORES, I. L.; KAWAHARA, R.; MIGUEL, M. C. C.; GRANATO, D. C.; DOMINGUES, R. R.; MACEDO, C. C. S.; CARNIELLI, C. M.; YOKOO, S.; RODRIGUES, P. C.; MONTEIRO, B. V. B.; OLIVEIRA, C. E.; SALMON, C. R.; NOCITI JR., F. H.; LOPES, M. A.; SANTOS-SILVA, A. R.; WINCK, F. V.; COLETTA, R. D.; PAES LEME, A. F. EEF1D modulates proliferation and epithelial-mesenchymal transition in oral squamous cell carcinoma. **Clinical Science**, v. 130, n. 10, p. 785-799, 2016. (7227) - Fator de Impacto em 2015: 5,016
64. VALADARES, F.; GONÇALVES, T. A.; GONÇALVES, D. S. P. O.; SEGATO, F.; ROMANEL, E.; MILAGRES, A. M. F.; SQUINA, F. M.; FERRAZ, A. Exploring glycoside hydrolases and accessory proteins from wood decay fungi to enhance sugarcane bagasse saccharification. **Biotechnology for Biofuels**, v. 9, p. 110, 2016. (7229) - Fator de Impacto em 2015: 6,444
65. PADULA, L.; BALESTRIN, L. B. S.; ROCHA, N. DE O.; CARVALHO, C. H. M. DE; WESTFAHL JR., H.; CARDOSO, M. B.; SABADINI, E.; LOH, W. Role of Asphaltenes and Additives on the Viscosity and Microscopic Structure of Heavy Crude Oils. **Energy & Fuels**, v. 30, n. 5, p. 3644-3651, 2016. (7231) - Fator de Impacto em 2015: 2,835
66. MADEIRA, P. V. M.; ZOUHIR, S.; BASSO, P.; NEVES, D.; LAUBIER, A.; SALACHA, R.; BLEVES, S.; FAUDRY, E.; CONTRERAS-MARTEL, C.; DESSEN, A. Structural Basis of Lipid Targeting and Destruction by the Type V Secretion System of *Pseudomonas aeruginosa*. **Journal of Molecular Biology**, v. 428, n. 9, p. 1790-1803, part A, 2016. (7232) - Fator de Impacto em 2015: 4,517
67. LEAL, C. V.; MARTINEZ, D. S. T.; MÁS, B. A.; ALVES, O. L.; DUEK, E. A. R. Influence of purified multiwalled carbon nanotubes on the mechanical and morphological behavior in poly (L-lactic acid) matrix. **Journal of the Mechanical Behavior of Biomedical Materials**, v. 59, p. 547-560, 2016. (7236) - Fator de Impacto em 2015: 2,876
68. DOBRENEL, T.; CALDANA, C.; HANSON, J.; ROBAGLIA, C.; VINCENTZ, M.; VEIT, B.; MEYER, C. TOR Signaling and Nutrient Sensing. **Annual Review of Plant Biology**, v. 67, p. 261-285, 2016. (7237) - Fator de Impacto em 2015: 22,131
69. HOFFMAM, Z. B.; ZANPHORLIN, L. M.; COTA, J.; DIOGO, J. A.; ALMEIDA, G. B.; DAMÁSIO, A. R. DE L.; SQUINA, F. M.; MURAKAMI, M. T.; RULLER, R. Xylan-specific carbohydrate-binding module belonging to family 6 enhances the catalytic performance

of a GH11 endo-xylanase. **New Biotechnology**, v. 33, n. 4, p. 467-472, 2016. (7238) - Fator de Impacto em 2015: 3,199

70. SALMON, C. R.; GIORGETTI, A. P. O.; PAES LEME, A. F.; DOMINGUES, R. R.; SALLUM, E. A.; ALVES, M. C.; KOLLI, T. N.; FOSTER, B. L.; NOCITI JR., F. H. Global proteome profiling of dental cementum under experimentally-induced apposition. **Journal of Proteomics**, v. 141, p. 12-23, 2016. (7247) - Fator de Impacto em 2015: 3,867
71. MALAGRINO, P. A.; VENTURINI, G.; YOGI, P. S.; DARIOLLI, R.; PADILHA, K.; KIERS, B.; GOIS, T. C.; MOTTA-LEAL-FILHO, J. M. DA; TAKIMURA, C. K.; GIRARDI, A. C. C.; CARNEVALE, F. C.; CANEVAROLO, R. R.; MALHEIROS, D. M. A. C.; ZERI, A. C. DE M.; KRIEGER, J. E.; PEREIRA, A. C. Metabolomic characterization of renal ischemia and reperfusion in a swine model. **Life Sciences**, v. 156, p. 57-67, 2016. (7251) - Fator de Impacto em 2015: 2,685
72. VON RANKE, P. J.; RIBEIRO, P. O.; CARVALHO, A. M. G.; ALHO, B. P.; ALVARENGA, T. S. T.; NÓBREGA, E. P.; CALDAS, A.; SOUSA, V. S. R.; OLIVEIRA, N. A. Theoretical investigation on the magnetic and electric properties in TbSb compound through an anisotropic microscopic model. **Journal of Applied Physics**, v. 119, n. 18, p. 183903, 2016. (7273) - Fator de Impacto em 2015: 2,101
73. SCHMIDT, M.; IENCZAK, J. L.; QUINES, L. K.; ZANFONATO, K.; SCHMIDELL, W.; ARAGÃO, G. M. F. Poly(3-hydroxybutyrate-co-3-hydroxyvalerate) production in a system with external cell recycle and limited nitrogen feeding during the production phase. **Biochemical Engineering Journal**, v. 112, p. 130-135, 2016. (7278) - Fator de Impacto em 2015: 2,463
74. SUNDQUIST, E.; RENKO, O.; SALO, S.; MAGGA, J.; CERVIGNE, N. K.; NYBERG, P.; RISTELI, J.; SORMUNEN, R.; VUOLTEENAHO, O.; ZANDONADI, F. S.; PAES LEME, A. F.; COLETTA, R. D.; RUSKOAHO, H.; SALO, T. Neoplastic extracellular matrix environment promotes cancer invasion in vitro. **Experimental Cell Research**, v. 334, n. 2, p. 229-240, 2016. (7280) - Fator de Impacto em 2015: 3,378
75. ZHANG, Y.; NIKOLOVSKI, N.; SORIEUL, M.; VELLOSILO, T.; MCFARLANE, H. E.; DUPREE, R.; KESTEN, C.; SCHNEIDER, R.; DRIEMEIER, C. E.; LATHE, R.; LAMPUGNANI, E.; XIAOLAN, Y.; IVAKOV, A.; DOBLIN, M. S.; MORTIMER, J.; BROWN, S. P.; PERSSON, S.; DUPREE, P. Golgi-localized STELLO proteins regulate the assembly and trafficking of cellulose synthase complexes in Arabidopsis. **Nature Communications**, v. 7, p. 11656, 2016. (7282) - Fator de Impacto em 2015: 11,329
76. BOSCH, D.; MOURAY, E.; COJEAN, S.; FRANCO, C. H.; LOISEAU, P. M.; FREITAS-JUNIOR, L. H.; MORAES, C. B.; GRELLIER, P.; DUBOIS, J. Highly improved antiparasitic activity after introduction of an N-benzylimidazole moiety on protein farnesyltransferase inhibitors. **European Journal of Medicinal Chemistry**, v. 109, p. 173-186, 2016. (7293) - Fator de Impacto em 2015: 3,902
77. HIGA, K. M.; VIEIRA, L. C. S.; CARVALHO, R. M.; POPPI, R. J.; BAPTISTÃO, M.; GOBBI, A. L.; LIMA, R. S.; HANTAO, L. W. Simple Solid-Phase Extraction Method for High Efficiency and Low Cost Crude Oil emulsification. **Energy & Fuels**, v. 30, n. 6, p. 4667-4675, 2016. (7336) - Fator de Impacto em 2015: 2,835
78. SLUITER, J. B.; CHUM, H. L.; GOMES, A. C.; TAVARES, R. P. A.; AZEVEDO, V.; PIMENTA, M. T. B.; RABELO, S. C.; MARABEZI, K.; CURVELO, A. A. S.; ALVES, A. R.; GARCIA, W. T.; CARVALHO, W. A.; ESTEVES, P. J.; MENDONÇA, S. I.; OLIVEIRA,

- P. A.; RIBEIRO, J. A. A.; MENDES, T. D.; VICENTIN, M. P.; DUARTE, C. L.; MORI, M. N. Evaluation of Brazilian Sugarcane Bagasse Characterization: An Interlaboratory Comparison Study. **Journal of AOC International**, v. 99, n.3, p. 579-585, 2016. (7345) - Fator de Impacto em 2015: 0,918
79. GONÇALVES, S. P. C.; STRAUSS, M.; DELITE, F. S.; CLEMENTE, Z.; CASTRO, V. L.; MARTINEZ, D. S. T. Activated carbon from pyrolysed sugarcane bagasse: Silver nanoparticle modification and ecotoxicity assessment. **Science of the Total Environment**, v. 565, p. 833-840, 2016. (7355) - Fator de Impacto em 2015: 3,976
80. REINERS, K. S.; HANSEN, H. P.; TRAD, A.; DAMS, M.; ZIGRINO, P.; MOSS, M.; TATOR, M.; SCHÖN, G.; GREZZI, P. C.; BACHURSKI, D.; AQUINO, B.; DÜRKOP, H.; VON BERGWELT-BAILDON, M.; HALLEK, M.; GRÖTZINGER, J.; ENGERT, A.; PAES LEME, A. F.; VON STRANDMANN, E. P. CD30 on extracellular vesicles from malignant Hodgkin cells supports damaging of CD30 ligand-expressing bystander cells with Brentuximab-Vedotin, in vitro. **Oncotarget**, v. 7, n. 21, p. 30523-30535, 2016. (7360) - Fator de Impacto em 2015: 5,008
81. OROZCO-HENAO, J. M.; CORAL, D. F.; MURACA, D.; MOSCOSO- LONDOÑO, O.; ZÉLIS, P. M.; FERNÁNDEZ DE RAPP, M. E.; SHARMA, S. K.; PIROTA, K. R.; KNOBEL, M. Effects of Nanostructure and Dipolar Interactions on Magnetohyperthermia in Iron Oxide Nanoparticles. **Journal of Physical Chemistry C**, v. 120, n. 23, p. 12796-12809, 2016. (7364) - Fator de Impacto em 2015: 4,509
82. RUIZ, D. M.; TUROWSKI, V. R.; MURAKAMI, M. T. Effects of the linker region on the structure and function of modular GH5 cellulases. **Scientific Reports**, v. 6, p. 28504, 2016. (7366) - Fator de Impacto em 2015: 5,228
83. KÖLLN, O. T.; GAVA, G. J. DE C.; CANTARELLA, H.; FRANCO, H. C. J.; URIBE, R. A. M.; PANNUTI, L. E. R.; TRIVELIN, P. C. O. Fertigated Sugarcane Yield and Carbon Isotope Discrimination (Delta C-13) Related to Nitrogen Nutrition. **Sugar Tech**, v. 18, n. 4, p. 391-400, 2016. (7369) - Fator de Impacto em 2015: 0,621
84. LIMA, E. A. DE; MACHADO, C. B.; ZANPHORLIN, L. M.; WARD, R. J.; SATO, H. H.; RULLER, R. GH53 Endo-Beta-1,4-Galactanase from a Newly Isolated *Bacillus licheniformis* CBMAI 1609 as an Enzymatic Cocktail Supplement for Biomass Saccharification. **Applied Biochemistry and Biotechnology**, v. 179, n. 3, p. 415-426, 2016. (7370) - Fator de Impacto em 2015: 1,606
85. MARIUTTI, R. B.; ULLAH, A.; ARAUJO, G. C.; MURAKAMI, M. T.; ARNI, R. K. Tyrosine binding and promiscuity in the arginine repressor from the pathogenic bacterium *Corynebacterium pseudotuberculosis*. **Biochemical and Biophysical Research Communications**, v. 475, n. 4, p. 350-355, 2016. (7373) - Fator de Impacto em 2015: 2,371
86. BROWN, N. A.; RIES, L. N. A.; REIS, T. F. DOS; RAJENDRAN, R.; SANTOS, R. A. C.; RAMAGE, G.; RIAÑO-PACHÓN, D. M.; GOLDMAN, G. H. RNAseq reveals hydrophobins that are involved in the adaptation of *Aspergillus nidulans* to lignocellulose. **Biotechnology for Biofuels**, v. 9, p. 145, 2016. (7388) - Fator de Impacto em 2015: 6,444
87. GUEDES, E. B.; ABBATE, M.; JARDIM, R. F.; ABUD, F.; VICENTIN, F. C.; MOSSANEK, R. J. O. Spectroscopy and electronic structure of Sr₂YRuO₆ and Sr₂YRu_{0.75}Ir_{0.25}O₆. **Physical Review B**, v. 94, n. 4, p. 045109, 2016. (7393) - Fator de Impacto em 2015: 3,718

88. LADDOMADA, F.; MIYACHIRO, M. M.; DESSEN, A. Structural Insights into Protein-Protein Interactions Involved in Bacterial Cell Wall Biogenesis. **Antibiotics-Basel**, v. 15, n. 2, p. 14, 2016. (7395) - Fator de Impacto em 2015: 0
89. VENARUSSO, L. B.; BETTINI, J.; MAIA, G. Superior Catalysts for Oxygen Reduction Reaction Based on Porous Nanostars of a Pt, Pd, or Pt-Pd Alloy Shell Supported on a Gold Core. **ChemElectroChem**, v. 3, n. 5, p. 749-756, 2016. (7400) - Fator de Impacto em 2015: 3,506
90. SILVA, J. M. S.; HANCHUK, T. D. M.; SANTOS, M. I.; KOBARG, J.; BAJGELMAN, M. C.; CARDOSO, M. B. Viral Inhibition Mechanism Mediated by Surface-Modified Silica Nanoparticles. **ACS Applied Materials & Interfaces**, v.8, n. 26, p.16564-16572, 2016. (7402) - Fator de Impacto em 2015: 7,145
91. JORGE, T. F.; RODRIGUES, J. A.; SCHMIDT, R.; CALDANA, C.; VAN DONGEN, J. T.; THOMAS-OATES, J.; ANTÓNIO, C. Mass spectrometry-based plant metabolomics: Metabolite responses to abiotic stress. **Mass Spectrometry Reviews**, v. 35, n. 5, p. 620-649, 2016. (7438) - Fator de Impacto em 2015: 9,346
92. WINCK, F. V.; RIAÑO-PACHÓN, D. M.; FRANCO, T. T. Editorial: Advances in Microalgae Biology and Sustainable Applications. **Frontiers in Plant Science**, v. 7, p. 1385, 2016. (7458) - Fator de Impacto em 2015: 4,495
93. GONÇALVES, D. C.; MARIN, T. M.; PEREIRA, M. B. M.; SANTOS, A. M.; PAES LEME, A. F.; FRANCHINI, K. G. alpha B-Crystallin interacts and attenuates the tyrosine phosphatase activity of Shp2 in cardiomyocytes under mechanical stress. **FEBS Letters**, v. 590, n. 14, p. 2232-2240, 2016. (7476) - Fator de Impacto em 2015: 3,519
94. FERREIRA, DA. A.; FRANCO, H. C. J.; OTTO, R.; VITTI, A. C.; FORTES, C.; FARONI, C. E.; GARSIDE, A. L.; TRIVELIN, P. C. O. Contribution of N from green harvest residues for sugarcane nutrition in Brazil. **Global Change Biology Bioenergy**, v. 8, n. 5, p. 859-866, 2016. (7481) - Fator de Impacto em 2015: 6,151
95. SCORSATO, V.; LIMA, T. B.; RIGHETTO, G. L.; ZANCHIN, N. I. T.; BRANDÃO NETO, J. R.; SANDY, J.; PEREIRA, H. D'M.; FERRARI, A. J. R.; GOZZO, F. C.; SMETANA, J. H. C.; APARICIO, R. Crystal structure of the human Tip41 orthologue, TIPRL, reveals a novel fold and a binding site for the PP2Ac C-terminus. **Scientific Reports**, v. 6, n. 30813, 2016. (7482) - Fator de Impacto em 2015: 5,228
96. NASCIMENTO, V. M.; NAKANISHI, S. C.; ROCHA, G. J. M.; RABELO, S. C.; PIMENTA, M. T. B.; ROSSEL, C. E. V. Effect of Anthraquinone on Alkaline Pretreatment and Enzymatic Kinetics of Sugarcane Bagasse Saccharification: Laboratory and Pilot Scale Approach. **ACS Sustainable Chemistry & Engineering**, v. 4, n. 7, p. 3609-3617, 2016. (7484) - Fator de Impacto em 2015: 5,267
97. RUBIO, M. V.; ZUBIETA, M. P.; CAIRO, J. P. L. F.; CALZADO, F.; PAES LEME, A. F.; SQUINA, F. M.; PRADE, R. A.; DAMÁSIO, A. R. DE L. Mapping N-linked glycosylation of carbohydrate-active enzymes in the secretome of *Aspergillus nidulans* grown on lignocellulose. **Biotechnology for Biofuels**, v.9, p. 168, 2016. (7487) - Fator de Impacto em 2015: 6,444
98. SCHMIDT, M.; IENCZAK, J. L.; QUINES, L. K.; ZANFONATO, K.; SCHMIDELL, W.; ARAGÃO, G. M. F. Poly(3-Hydroxybutyrate) Production by *Cupriavidus Necator* Supplemented with Miniemulsified Soybean Oil. **Brazilian Journal of Chemical Engineering**, v. 33, n. 1, p. 13-20, 2016. (7490) - Fator de Impacto em 2015: 1,061

99. AMARAL, C. L.; FREITAS, L. B.; TAMURA, R. E.; TAVARES, M. R.; PAVAN, I. C. B.; BAJGELMAN, M. C.; SIMABUCO, F. M. S6Ks isoforms contribute to viability, migration, docetaxel resistance and tumor formation of prostate cancer cells. **BMC Cancer**, v. 16, p. 602, 2016. (7491) - Fator de Impacto em 2015: 3,265
100. ARIZA, E. A.; NISHIKAWA, A. S.; GOLDENSTEIN, H.; TSCHIPTSCHIN, A. P. Characterization and methodology for calculating the mechanical properties of a TRIP-steel submitted to hot stamping and quenching and partitioning (Q&P). **Materials Science and Engineering A**, v. 671, p. 54-69, 2016. (7496) - Fator de Impacto em 2015: 2,647
101. DAMASCENO, J. P. V.; MARONEZE, C. M.; STRAUSS, M.; SIGOLI, F. A.; MAZALI, I. O. Preparation of supported AuPd nanoalloys mediated by ionic liquid-like functionalized SBA-15: structural correlations concerning its catalytic activity. **New Journal of Chemistry**, v. 40, n. 8, p. 6636-6642, 2016. (7502) - Fator de Impacto em 2015: 3,277
102. CECATTI, J. G.; SOUZA, R. T.; SULEK, K.; COSTA, M. L.; KENNY, L. C.; MCCOWAN, L. M.; PACGNELLA, R. C.; VILLAS-BOAS, S. G.; MAYRINK, J.; PASSINI JR., R.; FRANCHINI, K. G.; BAKER, P. N.; PRETERM SAMBA; SCOPE STUDY GROUPS Use of metabolomics for the identification and validation of clinical biomarkers for preterm birth: Preterm SAMBA. **BMC Pregnancy and Childbirth**, v. 16, n. 12, 2016. (7506) - Fator de Impacto em 2015: 2,18
103. LOPES, J. H.; MAGALHÃES, J. A.; GOUVEIA, R. F.; BERTRAN, C.A.; MOTISUKE, M.; CAMARGO, S. E. A.; TRICHÊS, D. M. Hierarchical structures of beta-TCP/45S5 bioglass hybrid scaffolds prepared by gelcasting. **J. Mechanical Behavior of Biomedical Materials**, v. 62, p. 10-23, 2016. (7512) - Fator de Impacto em 2015: 2,876
104. NAKASU, P. Y. S.; IENCZAK, J. L.; COSTA, A. C.; RABELO, S. C. Acid post-hydrolysis of xylooligosaccharides from hydrothermal pretreatment for pentose ethanol production. **Fuel**, v. 185, p. 73-84, 2016. (7532) - Fator de Impacto em 2015: 3,611
105. VUITIKA, L.; CHAVES-MOREIRA, D.; CARUSO, I. P.; LIMA, M. A.; MATSUBARA, F. H.; MURAKAMI, M. T.; TAKAHASHI, H. K.; TOLEDO, M. S.; CORONADO, M. A.; NADER, H. B.; SENFF-RIBEIRO, A.; CHAIM, O. M.; ARNI, R. K.; VEIGA, S. S. Active site mapping of Loxosceles phospholipases D: Biochemical and biological features. **Biochimica et Biophysica Acta-Molecular Cell Biology of Lipids**, v. 1861, p. 970-979, 2016. (7534) - Fator de Impacto em 2015: 4,779
106. CHERUBINI, F.; FUGLESTVEDT, J.; GASSER, T.; REISINGER, A.; CAVALETT, O.; HUIJBREGTS, M. A. J.; JOHANSSON, D. J. A.; JORGENSEN, S. V.; RAUGEI, M.; SCHIVLEY, G.; STROMMAN, A. H.; TANAKA, K.; LEVASSEUR, A. Bridging the gap between impact assessment methods and climate science. **Environmental Science & Policy**, v. 64, p. 129-140, 2016. (7538) - Fator de Impacto em 2015: 2,972
107. VIEIRA, J. P. F.; IENCZAK, J. L.; COSTA, P. DOS S.; ROSSEL, C. E. V.; FRANCO, T. T.; PRADELLA, J. G. C. Single cell oil production integrated to a sugarcane-mill: Conceptual design, process specifications and economic analysis using molasses as raw material. **Industrial Crops and Products**, v. 89, p. 478-485, 2016. (7540) - Fator de Impacto em 2015: 3,449
108. BAGORDAKIS, E.; SAWAZAKI- CALONE, I.; MACEDO, C. C. S.; CARNIELLI, C. M.; OLIVEIRA, C. E.; RODRIGUES, P. C.; RANGEL, A. L. C. A; SANTOS, J. N. DOS; RISTELI, J.; GRANER, E.; SALO, T.; PAES LEME, A. F.; COLETTA, R. D. Secretome profiling of oral squamous cell carcinoma-associated fibroblasts reveals organization

- and disassembly of extracellular matrix and collagen metabolic process signatures. **Tumor Biology**, v. 37, n. 7, p. 9045-9057, 2016. (7541) - Fator de Impacto em 2015: 2,926
109. SCARPARE, F. V.; HERNANDES, T. A. D.; CORRÊA, S. T. R.; PICOLI, M. C. A.; SCANLON, B. R.; CHAGAS, M. F.; DUFT, D. G.; CARDOSO, T. F. Sugarcane land use and water resources assessment in the expansion area in Brazil. **Journal of Cleaner Production**, v. 133, p. 1318-1327, 2016. (7542) - Fator de Impacto em 2015: 4,959
110. SARVEENA; MURACA, D.; MENDOZA ZÉLIS, P.; JAVED, Y.; AHMAD, N.; VARGAS, J. M.; MOSCOSO- LONDOÑO, O.; KNOBEL, M.; SINGH, M.; SHARMA, S. K. Surface and interface interplay on the oxidizing temperature of iron oxide and Au-iron oxide core-shell nanoparticles. **RSC Advances**, v. 6, n. 74, p. 70394-70404, 2016. (7543) - Fator de Impacto em 2015: 3,289
111. ALTUBE, M. J.; SELZER, S. M.; DE FARIAS, M. A.; PORTUGAL, R. V.; MORILLA, J. M.; ROMERO, E. L. Surviving nebulization-induced stress: dexamethasone in pH-sensitive archaeosomes. **Nanomedicine**, v. 11, n. 6, p. 2103-2117, 2016. (7544) - Fator de Impacto em 2015: 4,889
112. SOUZA NETO, N. M.; HASKEL, D.; DOS REIS, R. D.; GANDRA, F. C. G. Combining state-of-the-art experiment and ab initio calculations for a better understanding of the interplay between valence, magnetism and structure in Eu compounds at high pressure. **High Pressure Research**, v. 36, n. 3, p.360-370, 2016. (7547) - Fator de Impacto em 2015: 1,014
113. SANTUCCI, B. S.; BRAS, J.; BELGACEM, N.; CURVELO, A. A. S.; PIMENTA, M. T. B. Evaluation of the effects of chemical composition and refining treatments on the properties of nanofibrillated cellulose films from sugarcane bagasse. **Industrial Crops and Products**, v. 91, p. 238-248, 2016. (7548) - Fator de Impacto em 2015: 3,449
114. FONSECA, L. C.; PAULA, A. J. DE; MARTINEZ, D. S. T.; ALVES, O. L. How does the chain length of PEG functionalized at the outer surface of mesoporous silica nanoparticles alter the uptake of molecules? **New Journal of Chemistry**, v. 40, n. 9, p. 8060-8067, 2016. (7549) - Fator de Impacto em 2015: 3,277
115. CAMPOS, P. F.; ANDRADE- SILVA, A.; ZELANIS, A.; PAES LEME, A. F.; ROCHA, M. M. T.; MENEZES, M. C.; SERRANO, S. M. T.; JUNQUEIRA-DE-AZEVEDO, I. L. M. Trends in the Evolution of Snake Toxins Underscored by an Integrative Omics Approach to Profile the Venom of the Colubrid *Phalotris mertensi*. **Genome Biology and Evolution**, v. 8, n. 8, p. 2266-2287, 2016. (7553) - Fator de Impacto em 2015: 4,098
116. PADILLA- ORTEGA, E.; DARDER, M.; ARANDA, P.; GOUVEIA, R. F.; LEVYVA-RAMOS, R.; RUIZ- HITZKY, E. Ultrasound assisted preparation of chitosan-vermiculite bionanocomposite foams for cadmium uptake. **Applied Clay Science**, v. 130, part 1, p. 40-49, 2016. (7554) - Fator de Impacto em 2015: 2,586
117. SOARES, M. R. S.; GONÇALVES, R. H.; NOGUEIRA, I. C.; BETTINI, J.; CHIQUITO, A. J.; LEITE, E. R. Understanding the fundamental electrical and photoelectrochemical behavior of a hematite photoanode. **Physical Chemistry Chemical Physics (PCCP)**, v.18, n. 31, p. 21780-21788, 2016. (7555) - Fator de Impacto em 2015: 4,449
118. SALAZAR, M. M.; GRANDIS, A.; PATTATHIL, S.; LEPIKSON-NETO, J.; CAMARGO, E. L. O.; ALVES, A.; RODRIGUES, J. C.; SQUINA, F. M.; CAIRO, J. P. L. F.; BUCKERIDGE, M. S.; HAHN, M. G.; PEREIRA, G. A. G. Eucalyptus Cell Wall

Architecture: Clues for Lignocellulosic Biomass Deconstruction. **BioEnergy Research**, v. 9, n. 3, p. 969-979, 2016. (7559) - Fator de Impacto em 2015: 3,309

119. CARDOSO, A. C.; PEREIRA, A. H. M.; AMBROSIO, A. L. B.; CONSONNI, S. R.; OLIVEIRA, R. R.; BAJGELMAN, M. C.; DIAS, S. M. G.; FRANCHINI, K. G. FAK Forms a Complex with MEF2 to Couple Biomechanical Signaling to Transcription in Cardiomyocytes. **Structure**, v.24, n. 8, p. 1301-1310, 2016. (7562) - Fator de Impacto em 2015: 5,237
120. RUIZ, Y. P. M.; FERRÃO, M. F.; CARDOSO, M. B.; MONCADA, E.; SANTOS, J. H. Z. DOS Structural discrimination of nanosilica particles and mixed-structure silica by multivariate analysis applied to SAXS profiles in combination with FT-IR spectroscopy. **RSC Advances**, v. 6, n. 76, p. 72306-72316, 2016. (7575) - Fator de Impacto em 2015: 3,289
121. GOLDBECK, R.; GONÇALVES, T. A.; DAMÁSIO, A. R. DE L.; BRENELLI, L. B. B.; WOLF, L. D.; PAIXÃO, D. A. A.; ROCHA, G. J. M.; SQUINA, F. M. Effect of hemicellulolytic enzymes to improve sugarcane bagasse saccharification and xylooligosaccharides production. **Journal of Molecular Catalysis B**, v. 131, p. 36-46, 2016. (7579) - Fator de Impacto em 2015: 2,189
122. WATANABE, M. D. B.; CHAGAS, M. F.; CAVALETT, O.; GUILHOTO, J. J. M.; GRIFFIN, W. M.; CUNHA, M.P.; BONOMI, A.M.F.L.J. Hybrid Input-Output Life Cycle Assessment of First- and Second-Generation Ethanol Production Technologies in Brazil. **Journal of Industrial Ecology**, v. 20, n. 4, p. 764-774, 2016. (7581) - Fator de Impacto em 2015: 3,265
123. CAMARGO, C. L.; SHIROMA, L. S.; GIORDANO, G. F.; GOBBI, A. L.; VIEIRA, L. C. S.; LIMA, R. S. Turbulence in microfluidics: Cleanroom-free, fast, solventless, and bondless fabrication and application in high throughput liquid-liquid extraction. **Analytica Chimica Acta**, v. 940, p.73-83, 2016. (7584) - Fator de Impacto em 2015: 4,712
124. SILVA, F. T.; FRANCO, C. H.; FAVARO, D. C.; FREITAS-JUNIOR, L. H.; MORAES, C. B.; FERREIRA, E. I. Design, synthesis and antitrypanosomal activity of some nitrofurazone 1,2,4-triazolic bioisosteric analogues. **European Journal of Medicinal Chemistry**, v. 121, p. 553-560, 2016. (7595) - Fator de Impacto em 2015: 3,902
125. PRADO, R. A.; SANTOS, C. R.; KATO, D. I.; MURAKAMI, M. T.; VIVIANI, V.R. The dark and bright sides of an enzyme: a three dimensional structure of the N-terminal domain of Zophobas morio luciferase-like enzyme, inferences on the biological function and origin of oxygenase/luciferase activity. **Photochemical & Photobiological Sciences**, v. 15, n. 5, p. 654-665, 2016. (7596) - Fator de Impacto em 2015: 2,235
126. MERCALDI, G. F.; DAWSON, A.; HUNTER, W. N.; CORDEIRO, A. T. The structure of a Trypanosoma cruzi glucose-6-phosphate dehydrogenase reveals differences from the mammalian enzyme. **FEBS Letters**, v. 590, n. 16, p. 2776-2786, 2016. (7597) - Fator de Impacto em 2015: 3,519
127. ABE, V. Y.; BENEDETTI, C. E. Additive roles of PthAs in bacterial growth and pathogenicity associated with nucleotide polymorphisms in effector-binding elements of citrus canker susceptibility genes. **Molecular Plant Pathology**, v. 17, n. 8, p. 1223-1236, 2016. (7598) - Fator de Impacto em 2015: 4,335
128. INÁCIO, R. F.; ZANON, R. G.; CASTRO, M. V.; SOUZA, H. M.; BAJGELMAN, M. C.; VERINAUD, L.; OLIVEIRA, ALE. L. R. Astrogloma conditioned medium increases

synaptic elimination and correlates with major histocompatibility complex of class I (MHC I) upregulation in PC12Cells. **Neuroscience Letters**, v. 634, p. 160-167, 2016. (7600) - Fator de Impacto em 2015: 2,107

129. GODOY, A. S.; CAMILO, C. M.; KADOWAKI, M. A. S.; MUNIZ, H. DOS S.; ESPÍRITO-SANTO, M.; MURAKAMI, M. T.; NASCIMENTO, A. S.; POLIKARPOV, I. Crysta I structure of beta1-> 6-galactosidase from Bifidobacterium bifidum S17: trimeric architecture,molecular determinants of the enzymatic activity and itsinhibition by alfa-galactose. **FEBS Journal**, v. 283, n. 22, p. 4097-4112, 2016. (7602) - Fator de Impacto em 2015: 4,237
130. PAVAN, I. C. B.; YOKOO, S.; GRANATO, D. C.; MENEGUELLO, L.; CARNIELLI, C. M.; TAVARES, M. R.; AMARAL, C. L.; FREITAS, L. B.; PAES LEME, A. F.; LUCHESSI, A. D.; SIMABUCO, F. M. Different interactomes for p70-S6K1 and p54-S6K2 revealed by proteomic analysis. **Proteomics**, v. 16, p. 2650-2666, 2016. (7603) - Fator de Impacto em 2015: 4,079
131. GURGEL, L. V. A.; PIMENTA, M. T. B.; CURVELO, A. A. S. Ethanol-water organosolv delignification of liquid hot water (LHW) pretreated sugarcane bagasse enhanced by high-pressure carbon dioxide (HP-CO2). **Industrial Crops and Products**, v. 94, p. 942-950, 2016. (7607) - Fator de Impacto em 2015: 3,449
132. TEIXEIRA, V. C.; RODRIGUES, L. C. V.; GALANTE, D.; REZENDE, M. V. DOS S. Effect of lithium excess on the LiAl5O8:Eu luminescent properties under VUV excitation. **Optical Materials Express**, v. 6, n. 9, p. 2871-2878, 2016. (7609) - Fator de Impacto em 2015: 2,657
133. LANG, R.; CALLIGARIS, G. A.; BETTINI, J.; SANTOS, A. O. DOS; CARDOSO, L. P. Experimental evidence of transition between dynamical and kinematical diffraction regimes in ion-implanted Si observed through X-ray multiple-beam diffraction mappings. **Applied Physics Letters**, v. 109, n. 14, p. 141901, 2016. (7610) - Fator de Impacto em 2015: 3,142
134. BEPLER, J.; BEN MKADDEM, S.; MICHALOSKI, J.; HONORATO, R. V.; VELASCO, I. T.; OLIVEIRA, P. S. L.; GIORDANO, R. J.; MONTEIRO, R. C.; SILVA, F. PI. Negative regulation of bacterial killing and inflammation by two novel CD16 ligands. **European Journal of Immunology**, v. 46, p. 1926-1935, 2016. (7620) - Fator de Impacto em 2015: 4,179
135. SANTOS, C. M. D.; ALABI, L. P.; FRIAÇA, A. C. S.; GALANTE, D. On the parallels between cosmology and astrobiology: a transdisciplinary approach to the search for extraterrestrial life.**International Journal of Astrobiology**, v. 15, n. 4, p. 251-260, 2016. (7628) - Fator de Impacto em 2015: 1,184
136. REIS, T. F. DOS; LIMA, P. B. A. DE; PARACHIN, N. S.; MINGOSSI, F. B.; OLIVEIRA, J. V. DE C.; RIES, L. N. A.; GOLDMAN, G. H. Identification and characterization of putative xylose and cellobiose transporters in *Aspergillus nidulans*. **Biotechnology for Biofuels**, v. 9, p. 204, 2016. (7629) - Fator de Impacto em 2015: 6,444
137. DOMAGAL-GOLDMAN, S.; WRIGHT, K. E.; ADAMALA, K.; DE LA RUBIA, L. A.; BOND, J.; DARTNELL, L. R.; GOLDMAN, A. D.; LYNCH, K.; NAUD, M. E.; PAULINO-LIMA, I. G.; SINGER, K.; WALTER ANTONIO, M.; ABREVAYA, X. C.; ANDERSON, R.; ARNEY, G.; ATRI, D.; AZÚA-BUSTOS, A.; BOWMAN, J. S.; BRAZELTON, W. J.; BRENECKA, G. A.; CARNS, R.; CHOPRA, A.; COLANGELO -LILLIS, J.; CROCKETT, C. J.; DEMARINES, J.; FRANK, E. A.; FRANTZ, C.; DELA FUENTE, E.; GALANTE, D.;

- GLASS, J.; GLEESON, D.; GLEIN, C. R.; GOLDBLATT, C.; HORAK, R.; HORODYSKYJ, L.; KACAR, B.; KERESZTURI, A.; KNOWLES, E.; MAYEUR, P.; MCGLYNN, S.; MIGUEL, Y.; MONTGOMERY, J.; NEISH, C.; NOACK, L.; RUGHEIMER, S.; STUKEN, E. E.; TAMEZ-HIDALGO, P.; WALKER, S. I.; WONG, T. The Astrobiology Primer v2.0. **Astrobiology**, v. 16, n. 8, p. 561-653, 2016. (7636) - Fator de Impacto em 2015: 2,628
138. CAMPOS- GARCIA, J.; MARTINEZ, D. S. T.; REZENDE, K. F. O.; SILVA, J. R. M. C.; ALVES, O. L.; BARBIERI, E. Histopathological alterations in the gills of Nile tilapia exposed to carbofuran and multiwalled carbon nanotubes. **Ecotoxicology and Environmental Safety**, v. 133, p. 481-488, 2016. (7638) - Fator de Impacto em 2015: 3,13
139. SHIMIZU, F. M.; RAYMUNDO- PEREIRA, P. A.; COELHO, D.; PIAZZETTA, M. H. O.; GOBBI, A. L.; MACHADO, S. A. S.; OLIVEIRA JR., O. N. A Nanostructured Bifunctional platform for Sensing of Glucose Biomarker in Artificial Saliva: Synergy in hybrid Pt/Au surfaces. **Biosensors & Bioelectronics**, v. 86, p. 369-376, 2016. (7641) - Fator de Impacto em 2015: 7,476
140. SANTOS, S. C.; SOUSA, A. S.; DIONISIO, S. R.; TRAMONTINA, R.; RULLER, R.; SQUINA, F. M.; ROSSEL, C. E. V.; COSTA, A. C.; IENCZAK, J. L. Bioethanol production by recycled *Scheffersomyces stipitis* in sequential batch fermentations with high cell density using xylose and glucose mixture. **Bioresource Technology**, v. 219, p. 319-329, 2016. (7644) - Fator de Impacto em 2015: 4,917
141. TEDESCO, J. C. G.; PEDRO, S. S.; CARABALLO VIVAS, R. J.; CRUZ, C.; ANDRADE, V. M.; SANTOS, A. M.; CARVALHO, A. M. G.; COSTA, M.; VENEZUELA, P.; ROCCO, D. L.; REIS, M. S. Chemical disorder determines the deviation of the Slater-Pauling rule for Fe₂MnSi-based Heusler alloys: evidences from neutron diffraction and density functional theory. **Journal of Physics. Condensed Matter**, v. 28, p. 476002, 2016. (7676) - Fator de Impacto em 2015: 2,209
142. LEAL, G. F.; MOYA, S.F.; MEIRA, D. M.; BARRETT, D. H.; TEIXEIRA-NETO, E.; CURVELO, A. A. S.; SILVA, V. T.; RODELLA, C. B. Promotion effects of Pd on tungsten carbide catalysts: physiochemical properties and cellulose conversion performance. **RSC Advances**, v. 6, n. 90, p. 87756-87766, 2016. (7685) - Fator de Impacto em 2015: 3,289
143. BRAS, J.; OLIVEIRA, F. B.; PIMENTA, M. T. B.; CURVELO, A. A. S.; BELGACEM, N. Production of cellulose nanocrystals from sugarcane bagasse fibers and pith. **Industrial Crops and Products**, v. 93, p. 48-57, 2016. (7688) - Fator de Impacto em 2015: 3,449
144. PAULINO-LIMA, I. G.; FUJISHIMA, K.; NAVARRETE, J. U.; GALANTE, D.; RODRIGUES, F.; AZÚA-BUSTOS, A.; ROTHSCHILD, L. J. Extremely high UV-C radiation resistant microorganisms from desert environments with different manganese concentrations. **Journal of Photochemistry and Photobiology B**, v. 163, p. 327-336, 2016. (7695) - Fator de Impacto em 2015: 3,035
145. BARRETT, D. H.; SCURRELL, M. S.; RODELLA, C. B.; DIAZ, B.; BILLING, D. G.; FRANKLYN, P. J. Achieving nano-gold stability through rational design. **Chemical Science**, v. 7, n. 11, p. 6815-6823, 2016. (7709) - Fator de Impacto em 2015: 9,144
146. SALVADOR, C. A. F.; LOPES, E. S. N.; OSPINA RAMIREZ, C. A.; CARAM JR., R. Orthorhombic martensite formation upon aging in a Ti-30Nb-4Sn alloy. **Materials**

- Chemistry and Physics**, v. 183, p. 238-246, 2016. (7712) - Fator de Impacto em 2015: 2,101
147. CAPELETTI, L. B.; CARDOSO, M. B.; DOS SANTOS, J. H. Z.; HE, W. Hybrid Thin Film Organosilica Sol-Gel Coatings To Support Neuronal Growth and Limit Astrocyte Growth. **ACS Applied Materials & Interfaces**, v. 8, n. 41, p. 27553-27563, 2016. (7715) - Fator de Impacto em 2015: 7,145
148. LIMA, F. A.; SALETA, M. E.; PAGLIUCA, R. J. S.; ELEOTÉRIO, M. S.; FONSECA JR., J.; MEYER, B. C.; BITTAR, E. M.; SOUZA NETO, N. M.; GRANADO, E. XDS: a flexible beamline for X-ray diffraction and spectroscopy at the Brazilian synchrotron. **Journal of Synchrotron Radiation**, v. 23, n. 6, p. 1538-1549, 2016. (7721) - Fator de Impacto em 2015: 1,877
149. CARVALHO, A. M. G.; ARAÚJO, D. H. C.; CANOVA, H. F.; RODELLA, C. B.; BARRETT, D. H.; CUFFINI, S. L.; COSTA, R. N.; NUNES, R. S. X-ray powder diffraction at the XRD1 beamline at LNLS. **Journal of Synchrotron Radiation**, v. 23, n. 6, p. 1501-1506, 2016. (7722) - Fator de Impacto em 2015: 1,877
150. SOUSA, M. DE; MARTINEZ, D. S. T.; ALVES, O. L. Alternative mannosylation method for nanomaterials: application to oxidized debris-free. **Journal of Nanoparticle Research**, v. 18, n. 6, p. 143-155, 2016. (7740) - Fator de Impacto em 2015: 2,101
151. KOWALSKA, J. K.; LIMA, F. A.; POLLOCK, C. J.; REES, J. A.; DEBEER, S. A Practical Guide to High-resolution X-ray Spectroscopic Measurements and their Applications in Bioinorganic Chemistry. **Israel Journal of Chemistry**, v. 56, n. 9-10, p. 803-815, 2016. (7741) - Fator de Impacto em 2015: 2,425
152. NOGUEIRA, F. G. E.; ASENCIOS, Y. J. O.; RODELLA, C. B.; PORTO, A. L. M.; ASSAF, E. M. Alternative route for the synthesis of high surface-area eta-Al₂O₃/Nb₂O₅ catalyst from aluminum waste. **Materials Chemistry and Physics**, v. 184, p. 23-30, 2016. (7743) - Fator de Impacto em 2015: 2,101
153. ROCHET, A.; BAUBET, B.; MOIZAN, V.; PICHON, C.; BRIOIS, V. Co-K and Mo-K edges Quick-XAS study of the sulphidation properties of Mo/Al₂O₃ and CoMo/Al₂O₃ catalysts. **Comptes Rendus Chimie**, v. 19, p. 1337-1351, 2016. (7744) - Fator de Impacto em 2015: 1,798
154. MANDELLI, F.; GONÇALVES, T. A.; GANDIN, C. A.; OLIVEIRA, A. C. P.; OLIVEIRA NETO, M.; SQUINA, F. M. Characterization and Low-Resolution Structure of an Extremely Thermostable Esterase of Potential Biotechnological Interest from *Pyrococcus furiosus*. **Molecular Biotechnology**, v. 58, n. 11, p. 757-766, 2016. (7745) - Fator de Impacto em 2015: 1,752
155. SQUINA, F. M.; CALZADO, F.; PRATES, E. T.; GONÇALVES, T. A.; RUBIO, M. V.; ZUBIETA, M. P.; SKAF, M. S.; DAMÁSIO, A. R. DE L. Molecular basis of substrate recognition and specificity revealed in family 12 glycoside hydrolases. **Biotechnology and Bioengineering**, v. 113, n. 12, p. 2577-2586, 2016. (7748) - Fator de Impacto em 2015: 4,243
156. GIORDANO, G. F.; VICENTINI, M. B. R.; MURER, R. C.; AUGUSTO, F.; FERRÃO, M. F.; HELFER, A. F.; COSTA, A. B. DA; GOBBI, A. L.; HANTAO, L. W.; LIMA, R. S. Point-of-use electroanalytical platform based on homemade potentiostat and smartphone for multivariate data processing. **Electrochimica Acta**, v.219, p. 170-177, 2016. (7750) - Fator de Impacto em 2015: 4,803

157. TEIXEIRA, C. A.; GIORDANO, G. F.; BELTRAME, M. B.; VIEIRA, L. C. S.; GOBBI, A. L.; LIMA, R. S. Renewable solid electrodes in microfluidics: recovering the electrochemical activity without treating the surface. **Analytical Chemistry**, v. 88, n. 22, p. 11199-11206, 2016. (7755) - Fator de Impacto em 2015: 5,886
158. MENEZES, F. F.; FERNANDES, R. H. S. DA; ROCHA, G. J. M.; MACIEL FILHO, R. Physicochemical characterization of residue from the enzymatic hydrolysis of sugarcane bagasse in a cellulosic ethanol process at pilot scale. **Industrial Crops and Products**, v. 94, p. 463-470, 2016. (7757) - Fator de Impacto em 2015: 3,449
159. PINHEIRO, M. J.; FREITAS, S.; MIRANDA, E. A.; PESSÔA FILHO, P. A. Solubility of lysozyme in aqueous solution containing ethanol or acetone: Unexpected dependence on the initial protein concentration. **Fluid Phase Equilibria**, v. 429, p. 9-13, 2016. (7759) - Fator de Impacto em 2015: 1,846
160. BARCELOS, I. D.; MARÇAL, L. A. B.; DENEKE, C.; MOURA, L. G.; LACERDA, R. G.; MALACHIAS, A. Direct evaluation of CVD multilayer graphene elastic properties. **RSC Advances**, v. 6, n. 105, p. 103707-103713, 2016. (7767) - Fator de Impacto em 2015: 3,289
161. ANDRADE, M. F. C.; SOUZA, P. M. S.; CAVALETT, O.; MORALES, A. R. Life Cycle Assessment of Poly(Lactic Acid) (PLA): Comparison Between Chemical Recycling, Mechanical Recycling and Composting. **BioMed Research International**, v. 24, n. 4, p. 372-384, 2016. (7769) - Fator de Impacto em 2015: 2,134
162. CASTRO, P. A.; REIS, T. F. DOS; DOLAN, S.K.; MANFIOLLI, A. O.; BROWN, N. A.; JONES, G. W.; DOYLE, S.; RIAÑO-PACHÓN, D. M.; SQUINA, F. M.; CALDANA, C.; SINGH, A.; DEL POETA, M.; HAGIWARA, D.; SILVA-ROCHA, R.; GOLDMAN, G. H. The *Aspergillus fumigatus* SchA(SCH9) kinase modulates SakA(HOG1) MAP kinase activity and it is essential for virulence. **Molecular Microbiology**, v. 102, n. 4, p. 642-671, 2016. (7772) - Fator de Impacto em 2015: 3,761
163. CAMPOS, B. M.; LIBERATO, M. V.; ALVAREZ, T.M.; EMATSU, G. C.; ZANPHORLIN, L. M.; BARUD, H. S.; POLIKARPOV, I.; RULLER, R.; GILBERT, H. J.; ZERI, A. C. DE M.; SQUINA, F. M. A Novel Carbohydrate-binding Module from Sugar Cane Soil Metagenome Featuring Unique Structural and Carbohydrate Affinity Properties. **Journal of Biological Chemistry**, v. 291, n. 45, p. 23734-237. (7773) - Fator de Impacto em 2015: 4,258
164. GODOY, A. S.; CAMILO, C. M.; KADOWAKI, M. A. S.; MUNIZ, H. DOS S.; ESPÍRITO-SANTO, M.; MURAKAMI, M. T.; NASCIMENTO, A. S.; POLIKARPOV, I. Crystal structure of beta 1 -> 6-galactosidase from *Bifidobacterium bifidum* S17: trimeric architecture, molecular determinants of the enzymatic activity and its inhibition by alpha-galactose. **FEBS Journal**, v. 283, n. 22, p. 4097-4112, 2016. (7780) - Fator de Impacto em 2015: 4,237
165. SOUZA, A. R.; ARAUJO, G. C.; ZANPHORLIN, L. M.; RULLER, R.; FRANCO, F. C.; TORRES, F. A. G.; MERTENS, J. A.; BOWMAN, M. J.; GOMES, E.; SILVA, R. DA Engineering increased thermostability in the GH-10 endo-1,4-beta-xylanase from *Thermoascus aurantiacus* CBMAI 756. **International Journal of Biological Macromolecules**, v. 93, pt. A, p. 20-26, 2016. (7783) - Fator de Impacto em 2015: 3,138
166. LEVASSEUR, A.; CAVALETT, O.; FUGLESTVEDT, J.; GASSER, T.; JOHANSSON, D. J. A.; JORGENSEN, S. V.; RAUGEI, M.; REISINGER, A.; SCHIVLEY, G.; STROMMAN, A. H.; TANAKA, K.; CHERUBINI, F. Enhancing life cycle impact assessment from

climate science: Review of recent findings and recommendations for application to LCA. **Ecological Indicators**, v. 71, p. 163-174, 2016. (7784) - Fator de Impacto em 2015: 3,19

167. CAIRO, J. P. L. F.; CARAZZOLLE, M. F.; LEONARDO, F. C.; MOFATTO, L. S.; BRENELLI, L. B. B.; GONÇALVES, T. A.; UCHIMA, C. A.; DOMINGUES, R. R.; ALVAREZ, T.M.; TRAMONTINA, R.; VIDAL, R. O.; COSTA, F. F.; COSTA-LEONARDO, A. M.; PAES LEME, A. F.; PEREIRA, G. A. G.; SQUINA, F. M. Expanding the Knowledge on Lignocellulolytic and Redox Enzymes of Worker and Soldier Castes from the Lower Termite *Coptotermes gestroi*. **Frontiers Microbiology**, v. 7, p. 1518, 2016. (7787) - Fator de Impacto em 2015: 4,165
168. ANDRADE, C. J. DE; BARROS, F. F. C.; ANDRADE, L. M.; ROCCO, S. A.; SFORÇA, M. L.; PASTORE, G. M.; JAUREGI, P. Ultrafiltration based purification strategies for surfactin produced by *Bacillus subtilis* LB5A using cassava wastewater as substrate. **Journal of Chemical Technology and Biotechnology**, v. 91, n. 12, p. 3018-3027, 2016. (7790) - Fator de Impacto em 2015: 2,738
169. HADDAD, P. S.; SANTOS, M. C. DOS; CASSAGO, C. A. DE G.; BERNARDES, J. S.; JESUS, M. B.; SEABRA, A. B. Synthesis, characterization, and cytotoxicity of glutathione-PEG-iron oxide magnetic nanoparticles. **Journal of Nanoparticle Research**, v. 18, p. 369, 2016. (7791) - Fator de Impacto em 2015: 2,101
170. ÁVILA, J. A.; RODRIGUEZ, J.; MEI, P. R.; RAMIREZ, A. J. Microstructure and fracture toughness of multipass friction stir welded joints of API-5L-X80 steel plates. **Materials Science and Engineering A**, v. 673, p. 257-265, 2016. (7508) - Fator de Impacto em 2015: 2,647

2016

Artigo em Periódico Indexado

Externa

1. MACHADO, C. B.; REHMAN, F.; RAHIM, A.; AIROLDI, C.; GOLDBECK, R.; VOLPE, P. L. O.; DE LIMA, E. A.; FIGUEIREDO, F. L.; DA SILVA, T. M.; HOFFMAM, Z. B.; DE SOUSA, A. S.; POLIZELI, M. DE L. T. M. Preparation and characterization of glycidyl methacrylate organo bridges grafted mesoporous silica SBA-15 as ibuprofen and mesalamine carrier for controlled release. **Biotechnology Letters**, v. 59, p. 970-979, 2016. (6274) - Fator de Impacto em 2015: 1,639
2. BRINATTI, C.; HUANG, J.; BERRY, R. M.; TAM, K. C.; LOH, W. Structural and Energetic Studies on the Interaction of Cationic Surfactants and Cellulose Nanocrystals. **Langmuir**, v. 32, n. 3, p. 689-698, 2016. (6479) - Fator de Impacto em 2015: 3,993
3. RAMOS, M. L. P.; GONZÁLES, J. A.; ALBORNOZ, S. G.; PÉREZ, C. J.; VILLANUEVA, M. E.; GIORGIERI, S. A.; COPELLO, G. J. Chitin hydrogel reinforced with TiO₂ nanoparticles as an arsenic sorbent. **Chemical Engineering Journal**, v. 285, p. 581-587, 2016. (6521) - Fator de Impacto em 2015: 5,31
4. ALMEIDA, V. M. DE; MESQUITA, A.; ZEVALLOS, A. O.; MAMANI, N. C.; NEVES, P. P.; GRATENS, X.; CHITTA, V. A.; FERRAZ, W. B.; DORIGUETTO, A. C.; SABIONI, A. C. S.; CARVALHO, H.B. Room temperature ferromagnetism promoted by defects at zinc sites in Mn-doped ZnO. **Journal of Alloys and Compounds**, v. 655, p. 406-414, 2016. (6737) - Fator de Impacto em 2015: 3,014
5. SANTOS, P.; REZENDE, C. A.; MARTINEZ, J. Activity of immobilized lipase from *Candida antarctica* (Lipozyme 435) and its performance on the esterification of oleic acid in supercritical carbon dioxide. **The Journal of Supercritical Fluids**, v. 107, p. 170-178, 2016. (6743) - Fator de Impacto em 2015: 2,579
6. THIRUMALAIRAJAN, S.; MASTELARO, V. R. A novel organic pollutants gas sensing material p-type CuAlO₂ microsphere constituted of nanoparticles for environmental remediation. **Sensors and Actuators B**, v. 223, p. 138-148, 2016. (6748) - Fator de Impacto em 2015: 4,758
7. MARONEZE, C. M.; SANTOS, G. P.; MORAES, V. B.; COSTA, L. P. DA; KUBOTA, L.T. Multifunctional catalytic platform for peroxidase mimicking, enzyme immobilization and biosensing. **Biosensors & Bioelectronics**, v. 77, p. 746-751, 2016. (6750) - Fator de Impacto em 2015: 7,476
8. DANTAS, L. E. C.; SAAD, S. T. O.; RAMOS, C. H. I.; BÉNICHOU, S. Overexpression and Characterization of the C-Terminal Domain of Human SIVA1, A Proapoptotic Factor and Cytoskeleton Binding Protein. **Protein and Peptide Letters**, v. 23, n. 1, p. 43-50, 2016. (6751) - Fator de Impacto em 2015: 1,069
9. CASTEGNARO, M. V.; GORGESKI, A.; BALKE, B.; ALVES, M. C. M.; MORAIS, J. DE Charge transfer effects on the chemical reactivity of PdxCu_{1-x} nanoalloys. **Nanoscale**, v. 8, p. 641-947, 2016. (6753) - Fator de Impacto em 2015: 7,76
10. REZENDE, C. A.; LACHOS- PEREZ, D.; MARTINEZ- JIMENEZ, F.; TOMPSETT, G.; TIMKO, M.; FORSTER-CARNEIRO, T. Subcritical water hydrolysis of sugarcane

bagasse: An approach on solid residues characterization. **The Journal of Supercritical Fluids**, v. 108, p. 69-78, 2016. (6758) - Fator de Impacto em 2015: 2,579

11. BARBOSA, D. A. B.; LUFASO, M. W.; REICHLOVA, H.; MARTI, X.; REZENDE, M. V. DOS S.; MACIEL, A. P.; PASCHOAL, C. W. A. Ba-doping effects on structural, magnetic and vibrational properties of disordered La₂NiMnO₆. **Journal of Alloys and Compounds**, v. 663, p. 899-905, 2016. (6760) - Fator de Impacto em 2015: 3,014
12. CARVALHO, J. M.; LASTUSAARI, M.; RODRIGUES, L. C. V.; HÖLSÄ, J.; FELINTO, M. C. F. C.; BRITO, H. F. Valence control of Pr in ZrO₂ nanocrystals by aliovalent Gd³⁺ co-doping. **Journal of Luminescence**, v. 170, n. 2, p. 627-632, 2016. (6761) - Fator de Impacto em 2015: 2,693
13. GÓMEZ, A. M.; SACANELL, J. G.; LEYVA, A. G.; LAMAS, D. G. Performance of La_(0.6)Sr_(0.4)Co_(1-y)Fe_(y)O₃ (y=0.2, 0.5 and 0.8) nanostructured cathodes for intermediate-temperature solid-oxide fuel cells: Influence of microstructure and composition. **Ceramics International**, v. 42, n. 2, p. 3145-3153, 2016. (6764) - Fator de Impacto em 2015: 2,758
14. BARRETO, P.; OKURA, V.; PENA, I. A.; MAIA, R.; MAIA, I. G.; ARRUDA, P. Overexpression of mitochondrial uncoupling protein 1 (UCP1) induces a hypoxic response in *Nicotiana tabacum* leaves. **Journal of Experimental Botany**, v. 67, n. 1, 301-303, 2016. (6765) - Fator de Impacto em 2015: 5,677
15. LÓPEZ, C. A.; SALETA, M. E.; SÁNCHEZ, R. D.; PEDREGOSA, J. C.; LAMAS, D. G.; ALONSO, J. A.; FERNÁNDEZ-DÍAS, M. T. Electronic properties in intrinsically disordered double perovskites: Sr₃MnMo₂O₉ and Ba₃MnMo₂O₉ with Mo⁵⁺ valence state. **Journal of Alloys and Compounds**, v. 661, p. 411-418, 2016. (6768) - Fator de Impacto em 2015: 3,014
16. VERISSIMO, N. C.; BRITO, C.; SANTOS, W. L. R.; CHEUNG, N.; SPINELLI, J. E.; GARCIA, AM. Interconnection of Zn content, macrosegregation, dendritic growth, nature of intermetallics and hardness in directionally solidified Mg-Zn alloys. **Journal of Alloys and Compounds**, v. 662, p. 1-10, 2016. (6770) - Fator de Impacto em 2015: 3,014
17. ONO, F. B.; TAPPERO, R.; SPARKS, D.; GUILHERME, L. R. G. Investigation of arsenic species in tailings and windblown dust from a gold mining area. **Environmental Science and Pollution Research**, v. 23, n. 1, p. 638-647, 2016. (6772) - Fator de Impacto em 2015: 2,76
18. OLIVEIRA, A. F.; PELEGATI, V. B.; CARVALHO, H. F.; CESAR, C. L.; BASTOS, R. G.; DE LA TORRE, L. G. Cultivation of yeast in diffusion-based microfluidic device. **Biochemical Engineering Journal**, v. 105, p. 288-295, 2016. (6777) - Fator de Impacto em 2015: 2,463
19. CARMINATI, S. A.; SOUZA, F. L.; NOGUEIRA, A. F. Enhancing Hematite Photoanode Activity for Water Oxidation by Incorporation of Reduced Graphene Oxide. **ChemPhysChem**, v. 17, n. 1, p. 170-177, 2016. (6780) - Fator de Impacto em 2015: 3,138
20. QUARTINO, P. J. Y.; PUSTERLA, J. M.; JOSA, V. M. G.; FIDELIO, G. D.; OLIVEIRA, R. G. CNS myelin structural modification induced in vitro by phospholipases A₂. **Biochimica et Biophysica Acta. Biomembranes**, v. 1858, p. 123-129, 2016. (6782) - Fator de Impacto em 2015: 3,687

21. GRAZIANI, N. S.; SALAZAR, M. J.; PIGNATA, M. L.; RODRIGUEZ, J. H. Assessment of the root system of *Brassica juncea* (L.) Czern. and *Bidens pilosa* L. exposed to lead polluted soils using rhizobox systems. **International Journal of Phytoremediation**, v. 18, n. 3, p. 235-244, 2016. (6783) - Fator de Impacto em 2015: 2,085
22. TRANQUILIN, J. B.; BRIDI, E. C.; AMARAL, F.L.B.; FRANÇA, F. M. G.; TURSSI, C. P.; BASTING, R.T. TiF₄ improves microtensile bond strength to dentin when using an adhesive system regardless of primer/bond application timing and method. **Colloids and Surfaces A**, v. 20, n. 1, p. 101-108, 2016. (6785) - Fator de Impacto em 2015: 2,76
23. COELHO, P. M.; REIS, D. D.; MATOS, M. J. S.; MENDES-DE- SÁ, T. G.; GONÇALVES, A. M. B.; LACERDA, R. G.; MALACHIAS, A.; MAGALHÃES-PANIAGO, R. Near-edge X-ray absorption spectroscopy signature of image potential states in multilayer epitaxial graphene. **Surface Science**, v. 644, p. 135-140, 2016. (6786) - Fator de Impacto em 2015: 1,931
24. VOLPI, V.; MONTESSO, M.; VIALI, W. R.; RIBEIRO, S. J. L.; MAGON, C. J.; SILVA, I. D. A.; DONOSO, J. P.; NALIN, M. Optical and structural properties of Mn²⁺ doped PbGeO₃-SbPO₄ glasses and glass-ceramics. **Journal of Non-Crystalline Solids**, v. 431, p. 135-139, 2016. (6788) - Fator de Impacto em 2015: 1,825
25. BARROSO- NETO, I. L.; DELATORRE, P.; TEIXEIRA, C. S.; CORREIA, J. L. A.; CAJAZEIRAS, J. B.; PEREIRA, R. I.; NASCIMENTO, K. S.; LARANJEIRA, E. P. P.; PIRES, A. F.; ASSREUY, A. M. S.; ROCHA, B. A. M.; CAVADA, B. S. Structural analysis of a *Dioclea sclerocarpa* lectin: Study on the vasorelaxant properties of *Dioclea* lectins. **International Journal of Biological Macromolecules**, v. 82, p. 464- 470, 2016. (6789) - Fator de Impacto em 2015: 3,138
26. SANTOS, J. C.; MATOS, C. R. S.; PEREIRA, G. B. S.; SANTANA, T. B. S.; SOUZA JR., H. O.; COSTA, L. P. DA; SUSSUCHI, E. M.; SOUZA, A. M. G. P.; GIMENEZ, I. F. Stable CdTe nanocrystals grown in situ in thiol-modified MCM-41 mesoporous silica: Control synthesis and electrochemical detection of Cu²⁺. **Microporous and Mesoporous Materials**, v. 22, p. 48-57, 2016. (6790) - Fator de Impacto em 2015: 3,349
27. DE CARO, L.; ALTAMURA, D.; ARCINIEGAS, M. P.; SILIQI, D.; KIM, M. R.; SIBILANO, T.; MANNA, L.; GIANNINI, C. Ptychographic Imaging of Branched Colloidal Nanocrystals Embedded in Free-Standing Thick Polystyrene Films. **Scientific Reports**, v. 6, n. 19397, 2016. (6793) - Fator de Impacto em 2015: 5,228
28. KERU, G.; NDUNGU, P. G.; MOLA, G. T.; NOGUEIRA, A. F.; NYAMORI, N. O. Organic Solar Cells with Boron-or Nitrogen-Doped Carbon Nanotubes in the P3HT: PCBM Photoactive Layer. **Journal of Nanomaterials**, v. 2016, p. 5923402, 2016. (6794) - Fator de Impacto em 2015: 1,758
29. HERNÁNDEZ- MONTELONGO, J.; NASCIMENTO, V. F.; MURILLO, D. M.; TAKETA, T. B.; SAHOO, P. K.; SOUZA, A. A.; BEPPU, M. M.; COTTA, M. A. Nanofilms of hyaluronan/chitosan assembled layer-by-layer: An antibacterial surface for *Xylella fastidiosa*. **Carbohydrate Polymers**, v. 136, p. 1-11, 2016. (6795) - Fator de Impacto em 2015: 4,219
30. GRIGOROV, K. G.; CHIAPPIM, W.; TESTONI, G. E.; LIMA, J. S. B.; MEDEIROS, H. S.; PESSOA, R. S.; VIEIRA, L.; MACIEL, H. S. Effect of Process Temperature and Reaction Cycle Number on Atomic Layer Deposition of TiO₂ Thin Films Using TiCl₄ and H₂O Precursors: Correlation Between Material Properties and Process

Environment. **Brazilian Journal of Physics**, v. 46, n. 1, p. 56-69, 2016. (6796) - Fator de Impacto em 2015: 1,042

31. ETTLER, V.; KVAPIL, J.; SEBEK, O.; JOHAN, Z.; MIHALJEVIC, M.; RATIÉ, G.; GARNEIER, J.; QUANTIN, C. Leaching behaviour of slag and fly ash from laterite nickel ore smelting (Niquelandia, Brazil). **Applied Geochemistry**, v. 64, p. 118-127, 2016. (6797) - Fator de Impacto em 2015: 2,468
32. BERNARDI, M. I. B.; SILVA, L. F.; LOPES, O. F.; CATTO, A. C.; AVANSI JR., W.; LI, M. S.; RIBEIRO, C.; LONGO, E. Hierarchical growth of ZnO nanorods over SnO₂ seed layer: insights into electronic properties from photocatalytic activity. **RSC Advances**, v. 6, n. 3, p. 2112-2118, 2016. (6799) - Fator de Impacto em 2015: 3,289
33. MORAES, T. S.; RABELO NETO, R. C.; RIBEIRO, M. C.; MATTOS, L. V.; KOURTELESIS, M.; LADAS, S.; VERYKIOS, X.; NORONHA, F. B. Ethanol conversion at low temperature over CeO₂-Supported Ni-based catalysts. Effect of Pt addition to Ni catalyst. **Applied Catalysis B**, v. 181, p. 754-768, 2016. (6800) - Fator de Impacto em 2015: 8,327
34. VALLE, L. A. R.; RODRIGUES, S. L.; RAMOS, S. J.; PEREIRA, H. S.; AMARAL, D. C.; SIQUEIRA, J. O.; GUILHERME, L. R. G. Beneficial use of a by-product from the phosphate fertilizer industry in tropical soils: effects on soil properties and maize and soybean growth. **Journal of Cleaner Production**, v. 112, n. 1, p. 113-120, 2016. (6802) - Fator de Impacto em 2015: 4,959
35. SOUZA, J. S.; CARVALHO JR., W.; SOUZA, F. L.; PONCE-DE-LEON, C.; BAVYKIN, D. V.; ALVES, W. A. Multihierarchical electrodes based on titanate nanotubes and zinc oxide nanorods for photoelectrochemical water splitting. **Journal of Materials Chemistry A**, v. 4, n. 3, p. 944-952, 2016. (6803) - Fator de Impacto em 2015: 8,262
36. MATSUYAMA, B. Y.; KRASTEVA, P. V.; BARAQUET, C.; HARWOOD, C. S.; SONDERMANN, H.; NAVARRO, M. V. A. S. Mechanistic insights into c-di-GMP-dependent control of the biofilm regulator FleQ from *Pseudomonas aeruginosa*. **Proceedings of the National Academy of Sciences USA**, v.113, n. 2, p. E209-E218, 2016. (6806) - Fator de Impacto em 2015: 9,423
37. SOUZA, S. M. DE; FROTA, H. O.; TRICHÊS, D. M.; GHOSH, A.; CHAUDHURI, P.; GUSMÃO, M. S. DOS S.; PEREIRA, A. F. F. F.; SIQUEIRA, M. C.; MACHADO, K. D.; LIMA, J. C. Pressure-induced polymorphism in nanostructured SnSe. **Journal of Applied Crystallography**, v. 49, n. 1, p. 213-221, 2016. (6815) - Fator de Impacto em 2015: 2,57
38. PERULLINI, M.; LEVINSON, N.; JOBBÁGY, M.; BILMES, S. A. Microstructure and transport properties of biocompatible silica hydrogels. **Journal of Sol-Gel Science and Technology**, v. 77, n. 2, p. 437-445, 2016. (6820) - Fator de Impacto em 2015: 1,473
39. CORAL, D. F.; ZÉLIS, P. M.; MARCIELLO, M.; MORALES, M. DEL P.; CRAIEVICH, A. F.; SÁNCHEZ, F. H.; VAN RAAP, M. B. F. Effect of Nanoclustering and Dipolar Interactions in Heat Generation for Magnetic Hyperthermia. **Langmuir**, v. 32, n. 5, p.1201-1213, 2016. (6827) - Fator de Impacto em 2015: 3,993
40. COLETTA, R. D.; MARCOS, F. C. F.; NOGUEIRA, F. G. E.; BERNARDI, M. I. B.; MICHALOWICZ, A.; GONÇALVES, R. V.; ASSAF, E. M.; MASTELARO, V. R. In situ study of copper reduction in SrTi_{1-x}Cu_xO₃ nanoparticles. **Physical Chemistry**

Chemical Physics (PCCP), v. 18, n. 3, p. 2070-2079, 2016. (6832) - Fator de Impacto em 2015: 4,449

41. DUARTE, R. N.; FARIA, J. D.; BRITO, C.; CHEUNG, N.; VERISSIMO, N. C.; GARCIA, AR. Length scale of the dendritic microstructure affecting tensile properties of Al-(Ag)-(Cu) alloys. **International Journal of Modern Physics B**, v. 30, n. 3, p. 1550261, 2016. (6833) - Fator de Impacto em 2015: 0,85
42. NOVAIS, S. M. V.; MACEDO, Z. S. Local atomic arrangement and scintillation properties of Eu- and Ce-doped NaYF₂O₇. **Journal of Solid State Chemistry**, v. 233, p. 103-107, 2016. (6834) - Fator de Impacto em 2015: 2,265
43. SOUZA, S. D.; PEREIRA, I. M.; RODRIGUES, A. P. H.; OLIVEIRA, L. C. A.; BOAVENTURA, T. P.; SOUZA, A. R.; ORÉFICE, R. L.; PATRICIO, P. S. O. Nanostructured oxyhydroxide niobium (NbO₂OH) as UV radiation protector for polypropylene. **RSC Advances**, v. 6, n. 6, p. 5040-5048, 2016. (6838) - Fator de Impacto em 2015: 3,289
44. SOSA, M. DEL C.; SALAZAR, M. J.; ZYGADLO, J. A.; WANNAZ, E. D. Effects of Pb in *Tagetes minuta* L. (Asteraceae) leaves and its relationship with volatile compounds. **Industrial Crops and Products**, v. 82, p. 37-43, 2016. (6842) - Fator de Impacto em 2015: 3,449
45. FREITAS, I. C.; GALLO, J. M. R.; BUENO, J. M. C.; MARQUES, C. M. P. The Effect of Ag in the Cu/ZrO₂ Performance for the Ethanol Conversion. **Topics in Catalysis**, v. 59, n. 2-4, p. 357-365, 2016. (6844) - Fator de Impacto em 2015: 2,355
46. DANTAS, S. C.; RESENDE, K. A.; ÁVILA- NETO, C. N.; NORONHA, F. B.; BUENO, J. M. C.; HORI, C. E. Nickel supported catalysts for hydrogen production by reforming of ethanol as addressed by in situ temperature and spatial resolved XANES analysis. **International Journal of Hydrogen Energy**, v. 41, n. 5, p. 3399-3413, 2016. (6846) - Fator de Impacto em 2015: 3,205
47. ARBOLEDA, D. M.; SANTILLÁN, J. M. J.; HERRERA, L. J. M.; MURACA, D.; SCHINCA, D. C.; SCAFFARDI, L. B. Size-dependent complex dielectric function of Ni, Mo, W, Pb, Zn and Na nanoparticles. Application to sizing. **Journal of Physics D**, v. 49, n. 7, p. 075302, 2016. (6848) - Fator de Impacto em 2015: 2,772
48. MICHELON, M.; MANTOVANI, R. A.; SINIGAGLIA-COIMBRA, R.; DE LA TORRE, L. G.; CUNHA, R. L. Structural characterization of beta-carotene-incorporated nanovesicles produced with non-purified phospholipids. **Food Research International**, v. 79, p. 95-105, 2016. (6850) - Fator de Impacto em 2015: 3,182
49. FERREIRA, G. A.; LOH, W. Structural Parameters of Lamellar Phases Formed by the Self-Assembly of Dialkyldimethylammonium Bromides in Aqueous Solution. **Journal of Brazilian Chemical Society**, v. 27, n. 2, p. 3992-401, 2016. (6851) - Fator de Impacto em 2015: 1,096
50. DE LIMA, L. H.; BARRETO, L.; LANDERS, R.; SIERVO, A. DE Surface structure determination of black phosphorus using photoelectron diffraction. **Physical Review B**, v. 93, n. 3, p. 035448, 2016. (6853) - Fator de Impacto em 2015: 3,718
51. OLIVEIRA, L. K. DE; MOLINA, E. F.; MOURA, A. L. A.; FARIA, E. H.; CIUFFI, K. J. Synthesis, Characterization, and Environmental Applications of Hybrid Materials

Based on Humic Acid Obtained by the Sol Gel Route. **ACS Applied Materials & Interfaces**, v. 8, n. 2, p.1478-1485, 2016. (6854) - Fator de Impacto em 2015: 7,145

52. SAMPAIO, D. V.; SOUZA, N. R. S.; SANTOS, J. C. A.; SILVA, D. C.; FONSECA, E. J. S.; KUCERA, C.; FAUGAS, B.; BALLATO, J.; SILVA, R. S. Translucent and persistent luminescent SrAl₂O₄:Eu²⁺ Dy³⁺ ceramics. **Ceramics International**, v. 42, n. 3, p. 4306-4312, 2016. (6855) - Fator de Impacto em 2015: 2,758
53. BAKAR, S. A.; RIBEIRO, C. An insight toward the photocatalytic activity of S doped 1-D TiO₂ nanorods prepared via novel route: As promising platform for environmental leap. **Journal of Molecular Catalysis A**, v. 412, p. 78-92, 2016. (6858) - Fator de Impacto em 2015: 3,958
54. CANELLAS, C. G. L.; CARVALHO, S. M. F.; LEITÃO, R. G.; ANJOS, M. J. DOS; LOPES, R. T. Multielement analysis in serum of healthy population of the metropolitan region of Rio de Janeiro in Brazil by SRTXRF. **X-Ray Spectrometry**, v. 45, p. 14-18, 2016. (6866) - Fator de Impacto em 2015: 1,173
55. CASSINELLI, W. H.; MARTINS, L.; MAGNANI, M.; PULCINELLI, S. H.; BRIOIS, V.; SANTILLI, C. V. Time-resolved XAS/MS/Raman monitoring of mutual copper self-reduction and ethanol dehydrogenation reactions. **RSC Advances**, v. 6, n. 25, p. 20453-20457, 2016. (6868) - Fator de Impacto em 2015: 3,289
56. PERCEBOM, A. M.; GINER-CASARES, J. J.; CLAES, N.; BALS, S.; LOH, W.; LIZMARZÁN, L. M. Janus gold nanoparticles obtained via spontaneous binary polymer shell segregation. **Chemical Communications**, v. 52, n. 23, p. 4278-4281, 2016. (6869) - Fator de Impacto em 2015: 6,567
57. DESTRO, P.; COLOMBO, M.; PRATO, M.; BRESCIA, R.; MANNA, L.; ZANCHET, D. Au_{1-x}Cu_x colloidal nanoparticles synthesized via a one-pot approach: understanding the temperature effect on the Au: Cu ratio. **RSC Advances**, v. 6, p. 22213-22221, 2016. (6871) - Fator de Impacto em 2015: 3,289
58. BALDIN, E. K. K.; KUNST, S. R.; BELTRAMI, L. V. R.; LEMOS, T. M.; QUEVEDO, M. C.; BASTOS, A. C.; FERREIRA, M. G. S.; SANTOS, P. R. R.; SARMENTO, V. H. V.; MALFATTI, C. F. Ammonium molybdate added in hybrid films applied on tinplate: Effect of the concentration in the corrosion inhibition action. **Thin Solid Films**, v. 600, p. 146-156, 2016. (6875) - Fator de Impacto em 2015: 1,761
59. YOSHIKAWA, D. S.; TERADA, M.; ASSIS, S. L. DE; COSTA, I.; PADILHA, A. F. Correlation between microstructure and corrosion behavior of two Al-Fe-Si alloys. **Materials and corrosion**, v. 67, n. 3, p. 286-296, 2016. (6878) - Fator de Impacto em 2015: 1,45
60. CAMILO, F. F.; OLIVEIRA, R. DA S.; BIZETO, M. A. Evaluation of the influence of sulfur-based functional groups on the embedding of silver nanoparticles into the pores of MCM-41. **Journal of Solid State Chemistry**, v. 235, p. 125-131, 2016. (6879) - Fator de Impacto em 2015: 2,265
61. ALBUQUERQUE, L. J. C.; ANNES, K.; MILAZZOTTO, M. P.; MATTEI, B.; RISKE, K. A.; JÄGER, E.; PÁNEK, J.; KAPUSTA, P.; MURARO, P. I. R.; FREITAS, A. G. O. DE; SCHMIDT, V.; GIACOMELLI, C.; BONVENT, J.-J.; GIACOMELLI, F. C. Efficient Condensation of DNA into Environmentally Responsive Polyplexes Produced from Block Cationomers Carrying Amine or Diamine Groups. **Langmuir**, v. 32, n. 2, p. 577-586, 2016. (6881) - Fator de Impacto em 2015: 3,993

62. AMURIN, L. G.; CARASTAN, D. J.; DEMARQUETTE, N. R. Morphological evolution of block copolymer nanocomposites submitted to extensional flows. **Journal of Rheology**, v. 60, n. 1, p. 175-189, 2016. (6882) - Fator de Impacto em 2015: 2,916
63. BAJALES, N.; ÁVLIA, M.; GALVÁN, V.; BERCOFF, P. G. Multi-characterization of electron-induced defects in highly oriented pyrolytic graphite. **Current Applied Physics**, v. 16, n. 3, p. 421-427, 2016. (6884) - Fator de Impacto em 2015: 2,144
64. SOUSA, C. P.; KOGIKOSKI JR., S.; LIBERATO, M. S.; ANDRADE-FILHO, T.; PRIETO, T.; FERREIRA, F. F.; ROCHA, A. R.; GUHA, S.; ALVES, W. A. Multifunctional biosensors based on peptide-polyelectrolyte conjugates. **Physical Chemistry Chemical Physics (PCCP)**, v. 18, n. 4, p. 3223-3233, 2016. (6885) - Fator de Impacto em 2015: 4,449
65. MORAIS, A.; LONGO, C.; ARAUJO, J. R.; BARROSO, M.; DURRANT, J. R.; NOGUEIRA, A. F. Nanocrystalline anatase TiO₂/reduced graphene oxide composite films as photoanodes for photoelectrochemical water splitting studies: the role of reduced graphene oxide. **Physical Chemistry Chemical Physics (PCCP)**, v. 18, n. 4, p. 2608-2616, 2016. (6888) - Fator de Impacto em 2015: 4,449
66. OVIEDO, M. J.; CONTRERAS, O.; ROSENSTEIN, Y.; VAZQUEZ-DUHALT, R.; MACEDO, Z. S.; CARBAJAL-ARIZAGA, G. G.; HIRATA, G. A. New Bismuth Germanate Oxide Nanoparticle Material for Biolabel Applications in Medicine. **Journal of Nanomaterials**, v. 2016, p. 9782625, 2016. (6889) - Fator de Impacto em 2015: 1,758
67. AGUIAR, K. M. F.; FERREIRA NETO, E. P.; BLUNK, S.; SCHNEIDER, J. F.; PICON, C. A.; LEPIENSKI, C. M.; RISCHKA, K.; RODRIGUES-FILHO, U. P Hybrid urethanesil coatings for inorganic surfaces produced by isocyanate-free and sol-gel routes: synthesis and characterization. **RSC Advances**, v. 6, n. 23, p. 19160-19172, 2016. (6891) - Fator de Impacto em 2015: 3,289
68. LIBERATO, M. S.; KOGIKOSKI JR., S.; SILVA, E. R.; ARAUJO, D. R.; GUHA, S.; ALVES, W. A. Polycaprolactone fibers with self-assembled peptide micro/nanotubes: a practical route towards enhanced mechanical strength and drug delivery applications. **Journal of Materials Chemistry B**, v. 4, n. 8, p. 1405-1413, 2016. (6893) - Fator de Impacto em 2015: 4,872
69. GALLO, G.; GILLES, A.; RANGEL, G.; ZELANIS, A.; MORI, M. A.; CAMPOS, C. B.; WURTELE, M. Structural basis for dimer formation of the CRISPR-associated protein Csm2 of *Thermotoga maritima*. **FEBS Journal**, v. 283, n. 4, p. 694-703, 2016. (6895) - Fator de Impacto em 2015: 4,237
70. BACANI, R.; MARTINS, T. S.; FANTINI, M. C. A.; LAMAS, D. G. Structural studies of mesoporous ZrO₂-CeO₂ and ZrO₂-CeO₂/SiO₂ mixed oxides for catalytical applications. **Journal of Alloys and Compounds**, v. 671, p. 396-402, 2016. (6896) - Fator de Impacto em 2015: 3,014
71. BAKAR, S. A.; BYZYNSKI, G.; RIBEIRO, C. Synergistic effect on the photocatalytic activity of N-doped TiO₂ nanorods synthesised by novel route with exposed (110) facet. **Journal of Alloys and Compounds**, v. 666, p. 38-49, 2016. (6899) - Fator de Impacto em 2015: 3,014
72. HOTZA, D.; CAMARGO, M. T. T.; JACQUES, Q.; CALIMAN, L. B.; MIAGAVA, J.; CASTRO, R. H. R.; GOUVÊA, D. Synthesis of Ca-doped spinel by Ultrasonic Spray

- Pyrolysis. **Materials Letters**, v. 171, p. 232-235, 2016. (6901) - Fator de Impacto em 2015: 2,437
73. FABIAN, F. A.; PEDRA, P. P.; MOURA, K. O.; DUQUE, J. G. S.; MENESES, C. T. Reversal magnetization dependence with the Cr and Fe oxidation states in $YFe_{1-x}Cr_xO_3$ ($0 \leq x \leq 1$) perovskites. **Journal of Magnetism and Magnetic Materials**, v. 408, p. 94-98, 2016. (6902) - Fator de Impacto em 2015: 2,357
74. FERREIRA, F. A. G.; AMARAL, T.; YSNAGA, O. A. E.; PEREIRA-DA-SILVA, M. A.; LOPES, J. H.; LEWICKI, J. P.; WORSLEY, M. A.; SCHNEIDER, J. F.; TREMILIOSI-FILHO, G.; RODRIGUES-FILHO, U. P Structure-property relationship of new polyimide-organically modified silicate-phosphotungstic acid hybrid material system. **Journal of Materials Science**, v. 51, n. 10, p. 4815-4824, 2016. (6903) - Fator de Impacto em 2015: 2,302
75. ALTOÉ, M. A. S.; MICHELS, L.; SANTOS, E. C. DOS; DROPPA JR., R.; GRASSI, G.; RIBEIRO, L.; KNUDSEN, K. D.; BORDALLO, H. N.; FOSSUM, J. O.; DA SILVA, G. J. Continuous water adsorption states promoted by Ni^{2+} confined in a synthetic smectite. **Applied Clay Science**, v. 123, p. 83-91, 2016. (6905) - Fator de Impacto em 2015: 2,586
76. GONZALEZ, E. D.; NIEMEYER, T. C.; AFONSO, C. R. M.; NASCENTE, P. Ti-Nb thin films deposited by magnetron sputtering on stainless steel. **Journal of Vacuum Science & Technol A**, v. 34, n. 2, p. 021511, 2016. (6911) - Fator de Impacto em 2015: 1,724
77. FECHER, G. H.; RAUSCH, E.; BALKE, B.; WEIDENKAFF, A.; FELSER, C. Half-Heusler materials as model systems for phase-separated thermoelectrics. **Physica Status Solidi A**, v. 213, n. 3, p. 716-731, 2016. (6913) - Fator de Impacto em 2015: 1,648
78. DAL BÓ, A. G.; MICHELETTO, Y. M. S.; GIACOMELLI, F. C.; LOPEZ, G.; SARTORI, M. J. R.; RAFIQUE, J.; SABA, S.; SILVEIRA, L. M.; MENDES, J.; FRIZON, T. E. A. Synthesis of new monodendrons, gallic acid derivatives, self- assembled in a columnar phase. **Liquid Crystals**, v. 43, n. 3, p. 292-304, 2016. (6915) - Fator de Impacto em 2015: 2,244
79. GODOI, D. R. M.; VILLULLAS, H. M.; ZHU, F.-C.; JIANG, Y.-X.; SUN, S.-G.; GUO, J.; SUN, L.; CHEN, R. A comparative investigation of metal-support interactions on the catalytic activity of Pt nanoparticles for ethanol oxidation in alkaline medium. **Journal of Power Sources**, v. 311, p. 81-90, 2016. (6918) - Fator de Impacto em 2015: 6,333
80. LOPES, O. F.; CARVALHO, K. T. G.; NOGUEIRA, A. E.; AVANSI JR., W.; RIBEIRO, C. Controlled synthesis of $BiVO_4$ photocatalysts: Evidence of the role of heterojunctions in their catalytic performance driven by visible-light. **Applied Catalysis B**, v. 188, p. 87-97, 2016. (6919) - Fator de Impacto em 2015: 8,327
81. PEREZ TABORDA, J. A.; ROMERO, J. J.; ABAD, B.; MUÑOZ-ROJO, M.; MELLO, A.; BRIONES, F. Low thermal conductivity and improved thermoelectric performance of nanocrystalline silicon germanium films by sputtering. **Nanotechnology**, v. 27, n. 17, p. 175401, 2016. (6920) - Fator de Impacto em 2015: 3,573
82. MATOS, B. R.; DRESCH, M. A.; SANTIAGO, E. I.; MORAES, L. P. R.; CARASTAN, D. J.; SCHOENMAKER, J.; VELASCO-DAVALOS, I. A.; RUEDIGER, A.; TAVARES, A. C.; FONSECA, F. C. Nafion membranes annealed at high temperature and controlled

- humidity: structure, conductivity, and fuel cell performance. **Electrochimica Acta**, v. 196, p.110-117, 2016. (6921) - Fator de Impacto em 2015: 4,803
83. SOUSA, A. A.; HASSAN, S. A.; KNITTEL, L. L.; BALBO, A.; ARONOVA, M. A.; BROWN, P. H.; SCHUCK, P.; LEAPMAN, R. D. Biointeractions of ultrasmall glutathione-coated gold nanoparticles: effect of small size variations. **Nanoscale**, v. 8, p. 6577-6588, 2016. (6923) - Fator de Impacto em 2015: 7,76
84. LIBERATO, M. V.; SILVEIRA, R. L.; PRATES, E. T.; ARAÚJO, E. A.; PELLEGRINI, V. O. A.; CAMILO, C. M.; KADOWAKI, M. A. S.; OLIVEIRA NETO, M.; POPOV, A.; SKAF, M. S.; POLIKARPOV, I. Molecular characterization of a family 5 glycoside hydrolase suggests an induced-fit enzymatic mechanism. **Scientific Reports**, v. 6, p. 23473, 2016. (6928) - Fator de Impacto em 2015: 5,228
85. MONTEIRO, A. A.; MONTEIRO, M. R.; PEREIRA, R. N.; DINIZ, R.; COSTA, A. R.; MALCATA, F. X.; TEIXEIRA, J. A.; TEIXEIRA, A. V.; OLIVEIRA, E. B. DE; COIMBRA, J. S. DOS R.; VICENTE, A. A.; RAMOS, O. L. Design of bio-based supramolecular structures through self-assembly of alpha-lactalbumin and lysozyme. **Food Hydrocolloids**, v. 58, p. 60-74, 2016. (6930) - Fator de Impacto em 2015: 3,858
86. GIAMPAOLI, P.; WANNAZ, E. D.; TAVARES, A. R. Suitability of *Tillandsia usneoides* and *Aechmea fasciata* for biomonitoring toxic elements under tropical seasonal climate. **Chemosphere**, v. 149, p. 14-23, 2016. (6933) - Fator de Impacto em 2015: 3,698
87. CAMARGO, M. N. L.; SANTHIAGO, M.; MARONEZE, C. M.; SILVA, C. C. C.; TIMM, R. A.; KUBOTA, L.T. Tuning the electrochemical reduction of graphene oxide: structural correlations towards the electrooxidation of nicotinamide adenine dinucleotide hydride. **Electrochimica Acta**, v. 197, p. 194-199, 2016. (6934) - Fator de Impacto em 2015: 4,803
88. RUFINO, T.DO C.; FELISBERTI, M. I. Confined PEO crystallisation in immiscible PEO/PLLA blends. **RSC Advances**, v. 6, n. 37, p. 30937-309502 2016. (6938) - Fator de Impacto em 2015: 3,289
89. BETANCOURT, A. M.; COUTINHO, L. H.; BERNINI, R. B.; MOURA, C. E. V.; ROCHA, A. B.; SOUZA, G. G. B. DE VUV and soft x-ray ionization of a plant volatile: Vanillin (C₈H₈O₃). **Journal of Chemical Physics**, v. 144, n. 11, p. 114305, 2016. (6939) - Fator de Impacto em 2015: 2,894
90. HAMANAKA, M. H. M. O.; DALL'AGNOL, F. F.; PIMENTEL, V. L.; MAMMANA, V. P.; TATSCH, P. J.; DEN ENGELSEN, D. Work function measurements using a field emission retarding potential technique. **Review of Scientific Instruments**, v. 87, n. 3, p. 035116, 2016. (6940) - Fator de Impacto em 2015: 1,336
91. SERGIO, C. S. A.; SANTOS, P.; BARBERO, G. F.; REZENDE, C. A.; MARTINEZ, J. Effect of ultrasound on the supercritical CO₂ extraction of bioactive compounds from dedo de moca pepper (*Capsicum baccatum* L. var. *pendulum*). **Ultrasonics Sonochemistry**, v. 31, p. 284-294, 2016. (6949) - Fator de Impacto em 2015: 4,556
92. PERISSINOTO, A. P.; AWANO, C. M.; VICENTE, F. S.; DONATTI, D. A.; MESQUITA, A.; DA SILVA, L. F.; VOLLET, D. R. Structure and diffuse-boundary in hydrophobic and sodium dodecyl sulfate-modified silica aerogels. **Microporous and Mesoporous Materials**, v. 223, p. 196-202, 2016. (6951) - Fator de Impacto em 2015: 3,349

93. BASBUS, J. F.; ARCE, V. B.; PRADO, F.; SUESCUN, L.; CANEIRO, A.; MOGNI, L. V. A High Temperature Study on the Structure, Linear Expansion, Thermodynamic Stability and Electrical Properties of the BaCe_{0.8}Pr_{0.2}O_{3-δ} Perovskite. **Journal of the Electrochemical Society**, v. 163, n. 6, p. F516-F522, 2016. (6953) - Fator de Impacto em 2015: 3,014
94. BRAGA, F. V.; ESCOBAR, D. P.; OLIVEIRA, N. J. L.; ANDRADE, M. S. Hot deformation behavior of a ferritic stainless steel stabilized with Nb during hot rolling simulation at different temperature ranges. **Journal of Materials Research**, v. 31, n. 5, p. 635-645, 2016. (6955) - Fator de Impacto em 2015: 1,579
95. PUIG, J.; ZUCCHI, I. A.; CEOLÍN, M. R.; SCHROEDER, W. F.; WILLIAMS, R. J. J. Evolution of morphologies of a PE-b-PEO block copolymer in an epoxy solvent induced by polymerization followed by crystallization-driven self-assembly of PE blocks during cooling. **RSC Advances**, v. 6, n. 41, p. 34903-34912, 2016. (6956) - Fator de Impacto em 2015: 3,289
96. SOUSA, M. E.; CARREA, A.; ZÉLIS, P. M.; MURACA, D.; MYKHAYLYK, O.; SOSA, Y. E.; GOYA, R. G.; SÁNCHEZ, F. H.; DEWEY, R. A.; VAN RAAP, M. B. F. Stress-Induced Gene Expression Sensing Intracellular Heating Triggered by Magnetic Hyperthermia. **Journal of Physical Chemistry C**, v. 120, n. 13, p. 7339-7348, 2016. (6958) - Fator de Impacto em 2015: 4,509
97. MONFREDINI, T.; FANTUZZI, F.; NASCIMENTO, M. A. C.; WOLFF, W.; BOECHAT-ROBERTY, H. M. Single and double photoionization and photodissociation of Toluene by soft x-rays in a circumstellar environment. **Astrophysical Journal**, v. 821, n. 1, p. 1-11, 2016. (6959) - Fator de Impacto em 2015: 5,909
98. SILVA, L. P. S.; AGUIAR, A. C.; REZENDE, C. A.; BARBERO, G. F.; MARTINEZ, J. Encapsulation of pepper oleoresin by supercritical fluid extraction of emulsions. **The Journal of Supercritical Fluids**, v. 112, p. 37-43, 2016. (6961) - Fator de Impacto em 2015: 2,579
99. PANCOTTI, A.; SIERVO, A. DE; NASCENTE, P. A. P.; LANDERS, R. Surface structure characterization of ultra-thin films of Au deposited on Pd(111). **Surface Science**, v. 648, p. 250-255, 2016. (7003) - Fator de Impacto em 2015: 1,931
100. DE MORAIS, W. A.; SILVA, G. T. M.; NUNES, J. S.; WANDERLEY NETO, A. DE O.; PEREIRA, M. R. Interpolyelectrolyte complex formation: From lyophilic to lyophobic colloids. **Colloids and Surfaces A**, v. 498, p.112-120, 2016. (7059) - Fator de Impacto em 2015: 2,76
101. OCA-ÁVALOS, J. M. M.; HUCK-IRIART, C.; CANDAL, R. J.; HERRERA, M. L. Sodium Caseinate/Sunflower Oil Emulsion-Based Gels for Structuring Food. **Food and Bioprocess Technology**, v. 9, n. 6, p. 981-992, 2016. (7061) - Fator de Impacto em 2015: 2,574
102. HERNÁNDEZ-MONTELONGO, J.; LUCCHESI, E. G.; GONZALEZ, I.; MACEDO, W. A. A.; NASCIMENTO, V. F.; MORAES, A. M.; BEPPU, M. M.; COTTA, M. A. Hyaluronan/chitosan nanofilms assembled layer-by-layer and their antibacterial effect: A study using Staphylococcus aureus and Pseudomonas aeruginosa. **Colloids and Surfaces B**, v. 141, p. 499-506, 2016. (7082) - Fator de Impacto em 2015: 3,902
103. ARRUDA, M. S.; MEDINA, A.; SOUSA, J. N.; MENDES, L. A. V.; MARINHO, R. R. T.; PRUDENTE, F. V. Communication: Protonation process of formic acid from the

- ionization and fragmentation of dimers induced by synchrotron radiation in the valence region. **Journal of Chemical Physics**, v. 144, n. 14, p. 141101, 2016. (7088) - Fator de Impacto em 2015: 2,894
104. ESCOBAR, C. C.; LANSARIN, M. A.; SANTOS, J. H. Z. DOS Synthesis of molecularly imprinted photocatalysts containing low TiO₂ loading: Evaluation for the degradation of pharmaceuticals. **Journal of Hazardous Materials**, v. 306, p. 359-366, 2016. (7089) - Fator de Impacto em 2015: 4,836
 105. GENTIL, R.; VILLULLAS, H. M. Oxygen reduction activity and methanol tolerance of carbon-supported PtV nanoparticles and the effects of heat treatment at low temperatures. **Journal of Solid State Electrochemistry**, v. 20, n. 4, p.1119-1129, 2016. (7090) - Fator de Impacto em 2015: 2,327
 106. GONZÁLEZ-HENRÍQUEZ, C. M.; PIZARRO- GUERRA, G.; CÓRDOVA-ALARCÓN, E. N.; SARABIA-VALLEJOS, M. A. Artificial biomembranes stabilized over spin coated hydrogel scaffolds. Crosslinking agent nature induces wrinkled or flat surfaces on the hydrogel. **Chemistry and Physics of Lipids**, v. 196, p. 13-23, 2016. (7092) - Fator de Impacto em 2015: 2,901
 107. CARVALHO, B. DA C.; CORBI, F. C. A.; SIGOLI, F. A.; MAZALI, I. O. Precursor dissolution temperature as a size-controller in Fe₃O₄ submicrospheres syntheses and their effect in the catalytic degradation of Rhodamine B. **RSC Advances**, v. 6, n. 45, p. 38617-38623, 2016. (7094) - Fator de Impacto em 2015: 3,289
 108. MOTTIN, M.; AYRES, E.; ORÉFICE, R. L.; CÂMARA, J. J. D. What Changes in Poly (3-Hydroxybutyrate) (PHB) When Processed as Electrospun Nanofibers or Thermo-Compression Molded Film? **Materials Research**, v. 19, n. 1, p. 57-66, 2016. (7095) - Fator de Impacto em 2015: 0
 109. PICCO, A.; YAMEEN, B.; KNOLL, W.; CEOLÍN, M. R.; AZZARONI, O. Temperature-driven self-assembly of self-limiting uniform supraparticles from non-uniform unimolecular micelles. **Journal of Colloid and Interface Science**, v. 471, p. 71-75, 2016. (7097) - Fator de Impacto em 2015: 3,782
 110. ANDRINI, L. R.; GAUNA, M. R.; CONCONI, M. S.; SUAREZ, G.; REQUEJO, F. G.; AGLIETTI, E. F. Extended and local structural description of a kaolinitic clay, its fired ceramics and intermediates: An XRD and XANES analysis. **Applied Clay Science**, v. 124, p. 39-45, 2016. (7098) - Fator de Impacto em 2015: 2,586
 111. ALMEIDA, A. C.; OSTERNE, V. J. S.; SANTIAGO, M. Q.; PINTO-JR., V. R.; SILVA FILHO, J. C.; LOSSIO, C. F.; NASCIMENTO, F. L. F.; ALMEIDA, R. P. H.; TEIXEIRA, C. S.; LEAL, R. B.; DELATORRE, P.; ROCHA, B. A. M.; ASSREUY, A. M. S.; NASCIMENTO, K. S.; CAVADA, B. S. Structural analysis of *Centrobium tomentosum* seed lectin with inflammatory activity. **Archives of Biochemistry and Biophysics**, v. 596, p. 73-83, 2016. (7099) - Fator de Impacto em 2015: 2,807
 112. SALAZAR, M. J.; RODRIGUEZ, J. H.; VERGARA CID, C.; PIGNATA, M. L. Auxin effects on Pb phytoextraction from polluted soils by *Tegetes minuta* L. and *Bidens pilosa* L.: Extractive power of their root exudates. **Journal of Hazardous Materials**, v. 311, p. 63-69, 2016. (7102) - Fator de Impacto em 2015: 4,836
 113. SILVA, L. F.; LOPES, O. F.; MENDONÇA, V. R.; CARVALHO, K. T. G.; LONGO, E.; RIBEIRO, C.; MASTELARO, V. R. An Understanding of the Photocatalytic Properties

- and Pollutant Degradation Mechanism of SrTiO₃ Nanoparticles. **Photochemistry and Photobiology**, v. 92, n. 3, p. 371-378, 2016. (7159) - Fator de Impacto em 2015: 2,008
114. OSHIRO JR., J. A.; MORTARI, G. R.; FREITAS, R. M.; MARCANTONIO JR., E.; LOPES, L.; SPOLIDORIO, L. C.; MARCANTONIO, R. A.; CHIAVACCI, L. A. Assessment of biocompatibility of ureasil-polyether hybrid membranes for future use in implantodontology. **International Journal of Polymeric Materials and Polymeric Biomaterials**, v. 65, n. 13, p. 647-652, 2016. (7160) - Fator de Impacto em 2015: 1,667
 115. REZENDE, M. V. DOS S.; SANTOS, D. J.; JACKSON, R. A.; VALERIO, M. E. G.; MACEDO, Z. S. Atomistic simulation and XAS investigation of Mn induced defects in Bi₁₂TiO₂₀. **Journal of Solid State Chemistry**, v. 238, p. 210-216, 2016. (7162) - Fator de Impacto em 2015: 2,265
 116. GHIVELDER, L.; ESLAVA, G. R. G.; FREITAS, R. S.; LEVYA, G.; PARISI, F. Avalanche-like metamagnetic transition in (LaNd)CaMnO manganites. **Journal of Alloys and Compounds**, v. 680, p. 494-499, 2016. (7163) - Fator de Impacto em 2015: 3,014
 117. COUTRIM, L. T.; BITTAR, E. M.; STAVALE, F.; GARCIA, F.; BAGGIO-SAITOVICH, E.; ABBATE, M.; MOSSANEK, R. J. O.; MARTINS, H. P.; TOBIA, D.; PAGLIUSO, P. G.; BUFAIÇAL, L.F. S. Compensation temperatures and exchange bias in La_{1.5}Ca_{0.5}Co₂O₆. **Physical Review B**, v. 97, n. 12, p. 174406, 2016. (7165) - Fator de Impacto em 2015: 3,718
 118. CORREA, C. M.; BIZETO, M. A.; CAMILO, F. F. Direct synthesis of silver nanoparticles in ionic liquid. **Journal of Nanoparticle Research**, v. 18, n. 5, p. 132-142, 2016. (7166) - Fator de Impacto em 2015: 2,101
 119. BETANCOURT, A. M.; BAVA, Y.B.; ERBEN, M. F.; CAVASSO-FILHO, R. L.; TONG, S. R.; GE, M.; VÉDOVA, C. O. D.; ROMANO, R. M. Electronic properties and photofragmentation mechanisms of pyrosulfuryl chloride, ClSO₂OSO₂Cl. **Journal of Photochemistry and Photobiology A**, v. 324, p. 184-191, 2016. (7168) - Fator de Impacto em 2015: 2,477
 120. SILVA, W. L.; LANSARIN, M. A.; SANTOS, J. H. Z. DOS Industrial and agroindustrial wastes: an echotechnological approach to the production of supported photocatalysts. **Water Science & Technology**, v. 73, n. 1, p. 26-38, 2016. (7169) - Fator de Impacto em 2015: 1,064
 121. BLANCO, A.; SALAZAR, M. J.; CID, C. V.; PEREYRA, C.; CAVAGLIERI, L. R.; BECERRA, A. G.; PIGNATA, M. L.; RODRIGUEZ, J. H. Multidisciplinary study of chemical and biological factors related to Pb accumulation in sorghum crops grown in contaminated soils and their toxicological implications. **Journal of Geochemical Exploration**, v. 166, p. 18-26, 2016. (7170) - Fator de Impacto em 2015: 2,147
 122. BAKAR, S. A.; RIBEIRO, C. Rapid and morphology controlled synthesis of anionic S-doped TiO₂ photocatalysts for the visible-light-driven photodegradation of organic pollutants. **RSC Advances**, v.6, n. 46, p. 36516-36527, 2016. (7171) - Fator de Impacto em 2015: 3,289
 123. ABU BAKAR, S.; RIBEIRO, C. Low temperature synthesis of N-doped TiO₂ with rice-like morphology through peroxo assisted hydrothermal route: Materials characterization and photocatalytic properties. **Applied Surface Science**, v. 377, p. 121-133, 2016. (7216) - Fator de Impacto em 2015: 3,15

124. BATISTA, F. A. H.; SERAPHIM, T. V.; SANTOS, C. A.; GONZAGA, M. R.; BARBOSA, L. R. S.; RAMOS, C. H. I.; BORGES, J. C. Low sequence identity but high structural and functional conservation: The case of Hsp70/Hsp90 organizing protein (Hop/Sti1) of *Leishmania braziliensis*. **Archives of Biochemistry and Biophysics**, v. 600, p. 12-22, 2016. (7217) - Fator de Impacto em 2015: 2,807
125. MARTINS, A. J.; CERQUEIRA, M. A.; FASOLIN, L. H.; CUNHA, R. L.; VICENTE, A. A. Beeswax organogels: Influence of gelator concentration and oil type in the gelation process. **Food Research International**, v. 84, p. 170-179, 2016. (7221) - Fator de Impacto em 2015: 3,182
126. BELMONTE, G. K.; CHARLES, G.; STRUMIA, M. C.; WEIBEL, D. E. Permanent hydrophilic modification of polypropylene and poly(vinyl alcohol) films by vacuum ultraviolet radiation. **Applied Surface Science**, v. 382, p. 93-100, 2016. (7222) - Fator de Impacto em 2015: 3,15
127. SOUZA, J. S.; PINHEIRO, M. V. B.; KRAMBROCK, K.; ALVES, W. A. Dye Degradation Mechanisms Using Nitrogen Doped and Copper(II) Phthalocyanine Tetracarboxylate Sensitized Titanate and TiO₂ Nanotubes. **Journal of Physical Chemistry C**, v. 120, n. 21, p. 11561-11571, 2016. (7224) - Fator de Impacto em 2015: 4,509
128. LANZA, J. S.; FERNANDES, F. R.; CORREA JR., J. D.; VILELA, J. M. C.; PANIAGO, R.M.; FERREIRA, L. A. M.; ANDRADE, M. C.; DEMICHELII, C.; MELO, M. N.; FRÉZARD, F. Polarity-sensitive nanocarrier for oral delivery of Sb(V) and treatment of cutaneous leishmaniasis. **International Journal of Nanomedicine**, v. 11, p. 2305-2318, 2016. (7226) - Fator de Impacto em 2015: 4,32
129. ANJANEYULU, C.; COSTA, L. O. O.; RIBEIRO, M. C.; RABELO NETO, R. C.; MATTOS, L. V.; VENUGOPAL, A.; NORONHA, F. B. Effect of Zn addition on the performance of Ni/Al₂O₃ catalyst for steam reforming of ethanol. **Applied Catalysis A**, v. 519, p. 85-98, 2016. (7228) - Fator de Impacto em 2015: 4,012
130. PRIETO, M. J.; CARBONIO, E. A.; LANDERS, R.; SIERVO, A. DE Promotion Effect of Platinum on Gold's Reactivity: A High-Resolution Photoelectron Spectroscopy Study. **Journal of Physical Chemistry C**, v. 120, n. 19, p. 10227-10236, 2016. (7230) - Fator de Impacto em 2015: 4,509
131. COPPOLA, P.; SILVA, F. G.; GOMIDE, G.; PAULA, F. L. O.; CAMPOS, A. F. C.; PERZYNSKI, R.; KERN, C.; DEPEYROT, J.; AQUINO, R. Hydrothermal synthesis of mixed zinc-cobalt ferrite nanoparticles: structural and magnetic properties. **Journal of Nanoparticle Research**, v. 18, n. 5, p. 138-153, 2016. (7233) - Fator de Impacto em 2015: 2,101
132. CALIARI, F. R.; CANDIOTO, K. C. G.; COUTO, A. A.; NUNES, C. A.; REIS, D. A. P. Effect of Double Aging Heat Treatment on the Short-Term Creep Behavior of the Inconel 718. **Journal of Materials Engineering and Performance**, v. 25, n. 6, p. 2307-2317, 2016. (7234) - Fator de Impacto em 2015: 1,094
133. VALES, S.; BRITO, P.; PINEDA, F. A. G.; OCHOA BECERRA, E. A.; DROPPA JR., R.; GARCIA, J.; MORALES, M.; ALVAREZ, F.; PINTO, H. Influence of substrate pre-treatments by Xe⁺ ion bombardment and plasma nitriding on the behavior of TiN coatings deposited by plasma reactive sputtering on 100Cr6 steel. **Materials Chemistry and Physics**, v. 177, p. 156-163, 2016. (7235) - Fator de Impacto em 2015: 2,101

134. BÜRGI, J. M.; GARCÍA MOLLEJA, J.; BOLMARO, R. E.; PICCOLI, M.; BEMPORAD, E.; CRAIEVICH, A. F.; FEUGEAS, J. N. (10(1)over-bar1) preferential orientation of polycrystalline AlN grown on SiO₂/Si wafers by reactive sputter magnetron technique. **European Physical Journal-Applied Physics**, v. 74, n. 1, p. 10301, 2016. (7239) - Fator de Impacto em 2015: 0,667
135. KOWALSKA, J. K.; HAHN, A. W.; ALBERTS, A.; SCHIEWER, C. E.; BJORNSSON, R.; LIMA, F. A.; MEYER, F.; DEBEER, S. X-ray Absorption and Emission Spectroscopic Studies of [L₂Fe₂S₂](n) Model Complexes: Implications for the Experimental Evaluation of Redox States in Iron-Sulfur Clusters. **Inorganic Chemistry**, v. 55, n. 9, p. 4485-4497, 2016. (7240) - Fator de Impacto em 2015: 4,82
136. RUBIO, W. M.; MACIAS, M. A.; SANDOVAL, M. V.; MARTINEZ, N. G.; VÁZQUEZ-CUADRIELLO, S.; SUESCUN, L.; ROUSSEL, P.; SWIERCZEK, K.; GAUTHIER, G. H. Synthesis and preliminary study of La₄BaCu₅O₁₃+ (delta) and La_{6.4}Sr_{1.6}Cu₈O₂₀ (+/-) (delta) ordered perovskites as SOFC/PCFC electrode materials. **Solid State Ionics**, v. 288, p. 68-75, 2016. (7242) - Fator de Impacto em 2015: 2,38
137. KNITTEL, L. L.; SCHUCK, P.; ACKSERSON, C. J.; SOUSA, A. A. Zwitterionic glutathione monoethyl ester as a new capping ligand for ultrasmall gold nanoparticles. **RSC Advances**, v. 6, n. 52, p. 46350-46355, 2016. (7246) - Fator de Impacto em 2015: 3,289
138. WURZLER, G.; RABELO NETO, R. C.; MATTOS, L. V.; FRAGA, M. A.; NORONHA, F. B. Steam reforming of ethanol for hydrogen production over MgO-supported Ni-based catalysts. **Applied Catalysis A**, v. 518, p. 115-128, 2016. (7248) - Fator de Impacto em 2015: 4,012
139. SENA, G.; NOGUEIRA, L. P.; BRAZ, D.; ALMEIDA, A. P.; GONZALEZ, M. S.; AZAMBUJA, P.; COLAÇO, M. V.; BARROSO, R. C. Ecdysis period of *Rhodnius prolixus* head investigated using phase contrast synchrotron microtomography. **Physica Medica-European Journal of Medical Physics**, v. 32, n. 6, p. 812-817, 2016. (7249) - Fator de Impacto em 2015: 1,763
140. KWON, S. G.; CHATTOPADHYAY, S.; KOO, B.; CLARO, P. C. DOS S.; SHIBATA, T.; REQUEJO, F. G.; GIOVANETTI, L. J.; LIU, Y.; JOHNSON, C.; PRAKAPENKA, V.; LEE, B.; SHEVCHENKO, E. V. Oxidation Induced Doping of Nanoparticles Revealed by in Situ X-ray Absorption Studies. **Nano Letters**, v. 16, n. 6, p. 3738-3747, 2016. (7250) - Fator de Impacto em 2015: 13,779
141. PAULI, M.; ZSCHIESCHANG, U.; KLAUK, H.; BARCELOS, I. D.; MALACHIAS, A. Tailoring the Dielectric Layer Structure for Enhanced Carrier Mobility in Organic Transistors: The Use of Hybrid Inorganic/Organic Multilayer Dielectrics. **Advanced Electronic Materials**, v. 16, n. 5, p. 1500402, 2016. (7274) - Fator de Impacto em 2015: 0
142. MATOS, C. R. S.; CANDIDO, L. P. M.; SOUZA JR., H. O.; COSTA, L. P. DA; SUSSUCHI, E. M.; GIMENEZ, I. F. Study of the aqueous synthesis, optical and electrochemical characterization of alloyed Zn_xCd_{1-x}Te nanocrystals. **Materials Chemistry and Physics**, v. 178, p. 104-111, 2016. (7275) - Fator de Impacto em 2015: 2,101
143. MONTEIRO, L. O. F.; LOPES, S. C. DE A.; BARROS, A. L. B.; MAGALHÃES-PANIAGO, R.; MALACHIAS, A.; OLIVEIRA, M. C.; LEITE, E. A. Phase behavior of dioleophosphatidylethanolamine molecules in the presence of components of pH-

- sensitive liposomes and paclitaxel. **Colloids and Surfaces B**, v. 144, p. 276-2836, 2016. (7277) - Fator de Impacto em 2015: 3,902
144. MIZRAHI, M.; GILARDONI, R. S.; PEINETTI, A. S.; REQUEJO, F. G.; GONZÁLEZ, G. A.; BATTAGLINI, F. Numerical Simulation of the Diffusion Processes in Nanoelectrode Arrays Using an Axial Neighbor Symmetry Approximation. **Analytical Chemistry**, v. 88, n. 11, p. 5752-5759, 2016. (7279) - Fator de Impacto em 2015: 5,886
145. MACHADO, C. P. G.; SARTORETTO, S. C.; ALVES, A. T. N. N.; LIMA, I. B. C.; ROSSI, A. M.; GRANJEIRO, J. M.; CALASANS-MAIA, M. D. Histomorphometric evaluation of strontium-containing nanostructured hydroxyapatite as bone substitute in sheep. **Brazilian Oral Research**, v. 30, n. 1, p. 1-11, 2016. (7281) - Fator de Impacto em 2015: 0,859
146. MACHADO, K. D.; SIQUEIRA, M. C.; SERBENA, J. P. M.; HUMMELGENT, I. A.; STOLF, S. F.; AZEVEDO, C. G. G. DE; SILVA, J. H. D. DA Electronic and optical properties of amorphous GaSe thin films. **Journal of Materials Science-Materials in Electronics**, v. 27, n. 27, p. 7379-7383, 2016. (7283) - Fator de Impacto em 2015: 1,798
147. SALAZAR, M. J.; CID, C. V.; RODRIGUEZ, J. H.; BLANCO, A.; PIGNATA, M. L. Effects of co-cropping *Bidens pilosa* (L.) and *Tagetes minuta* (L.) on bioaccumulation of Pb in *Lactuca sativa* (L.) growing in polluted agricultural soils. **International Journal of Phytoremediation**, v. 18, n. 9, p. 908-917, 2016. (7284) - Fator de Impacto em 2015: 2,085
148. BONTEMPO, L.; SANTOS FILHO, S. G.; KASSAB, L. R. P. Conduction and reversible memory phenomena in Au-nanoparticles-incorporated TeO₂-ZnO films. **Thin Solid Films**, v. 611, p. 21-26, 2016. (7285) - Fator de Impacto em 2015: 1,761
149. BREGUEZ, G. S.; NEVES, L. X.; SILVA, K. T.S.; FREITAS, L. M. A. DE; FARIA, G. O.; ISOLDI, M. C.; CASTRO-BORGES, W.; ANDRADE, M. H. G. Exposure of cultured fibroblasts to the peptide PR-11 for the identification of induced proteome alterations and discovery of novel potential ligands. **Biochimica et Biophysica Acta. Proteins and Proteomics**, v. 1864, n. 12, p. 1775-1786, 2016. (7297) - Fator de Impacto em 2015: 3,016
150. MOURA, K. O.; OLIVEIRA, L. A. S.; ROSA, P. F. S.; JESUS, C. B. R.; SALETA, M. E.; GRANADO, E.; BÉRON, F.; PAGLIUSO, P. G.; PIROTA, K. R. Dimensionality tuning of the electronic structure in Fe₃Ga₄ magnetic materials. **Scientific Reports**, v.6, p. 28364, 2016. (7332) - Fator de Impacto em 2015: 5,228
151. CURCIO, A. L.; BERNARDI, M. I. B.; MESQUITA, A. Local structure and photoluminescence properties of nanostructured Zn_{1-x}Mn_xS material. **Physica Status Solidi C**, v. 12, n. 12, p. 1367-1371, 2015. (7334) - Fator de Impacto em 2015: 0
152. DA SILVA, L. F.; CATTO, A. C.; AVANSI JR., W.; CAVALCANTE, L. S.; MASTELARO, V. R.; ANDRÉS, J.; AGUIR, K.; LONGO, E. Acetone gas sensor based on alpha-Ag₂WO₄ nanorods obtained via a microwave-assisted hydrothermal route. **Journal of Alloys and Compounds**, v. 683, p. 186-190, 2016. (7346) - Fator de Impacto em 2015: 3,014
153. MATHER, G. C.; HERAS-JUARISTI, G.; RITTER, C.; FUENTES, R. O.; CHINELATTO, A. L.; PÉREZ-COLL, D.; AMADOR, U. Phase Transitions, Chemical Expansion, and Deuteron Sites in the BaZr_{0.7}Ce_{0.2}Y_{0.1}O_{3-delta} Proton Conductor. **Chemistry of Materials**, v. 28, n. 12, p. 4292-4299, 2016. (7353) - Fator de Impacto em 2015: 9,407

154. LOPES, G.; FERREIRA, P. A. A.; PEREIRA, F. G.; CURI, N.; RANGEL, W. M.; GUILHERME, L. R. G. Beneficial use of industrial by-products for phytoremediation of an arsenic-rich soil from a gold mining area. **International Journal of Phytoremediation**, v. 18, n. 8, p. 777-784, 2016. (7356) - Fator de Impacto em 2015: 2,085
155. SONEGO, J. M.; SANTAGAPITA, P. R.; PERULLINI, M.; JOBBÁGY, M. Ca(II) and Ce(III) homogeneous alginate hydrogels from the parent alginic acid precursor: a structural study. **Dalton Transactions**, v. 45, n. 24, p. 10050-10057, 2016. (7357) - Fator de Impacto em 2015: 4,177
156. SIQUEIRA JR., J. R.; GABRIEL, R. C.; GASPAROTTO, L. H. S. Layer-by-layer assembly of poly(vinylpyrrolidone)-embedded gold nanoparticles with carbon nanotubes for glycerol electro-oxidation. **Journal of Materials Science**, v. 51, n.18, p. 8323-8330, 2016. (7359) - Fator de Impacto em 2015: 2,302
157. SUZANA, A. F.; FERREIRA, E. A.; BENEDETTI, A. V.; CARVALHO, H. W. P.; SANTILLI, C. V.; PULCINELLI, S. H. Corrosion protection of chromium-coated steel by hybrid sol-gel coatings. **Surface and Coatings Technology**, v. 299, p. 71-80, 2016. (7362) - Fator de Impacto em 2015: 2,139
158. OESTREICHER, V.; PERULLINI, M.; JOBBÁGY, M. Physicochemical aspects of epoxide driven nano-ZrO₂ hydrogel formation: milder kinetics for better properties. **Dalton Transactions**, v. 45, n. 24, p. 9920-9924, 2016. (7365) - Fator de Impacto em 2015: 4,177
159. MESQUITA, A.; MICHALOWICZ, A.; MOSCOVICI, J.; PIZANI, P. S.; MASTELARO, V. R. Relationship between ferroelectric properties and local structure of Pb_{1-x}BaxZr_{0.40}Ti_{0.60}O₃ ceramic materials studied by X-ray absorption and Raman spectroscopies. **Journal of Solid State Chemistry**, v. 240, p. 16-22, 2016. (7367) - Fator de Impacto em 2015: 2,265
160. BRAGA, A. H.; SANTOS, J. B. O.; MARQUES, C. M. P.; BUENO, J. M. C. Steam reforming of acetone over Ni- and Co-based catalysts: Effect of the composition of reactants and catalysts on reaction pathways. **Applied Catalysis B**, v. 195, p. 16-28, 2016. (7368) - Fator de Impacto em 2015: 8,327
161. MARINHO, A. L. A.; RABELO NETO, R. C.; NORONHA, F. B.; MATTOS, L. V. Steam reforming of ethanol over Ni-based catalysts obtained from LaNiO₃ and LaNiO₃/CeSiO₂ perovskite-type oxides for the production of hydrogen. **Applied Catalysis A**, v. 520, p. 53-64, 2016. (7371) - Fator de Impacto em 2015: 4,012
162. BARROS, A. C.; TAKEDA, A. A. S.; DREYER, T. R.; VELAZQUEZ- CAMPOY, A.; KOBE, B.; FONTES, M. R. M. Structural and Calorimetric Studies Demonstrate that Xeroderma Pigmentosum Type G (XPG) Can Be Imported to the Nucleus by a Classical Nuclear Import Pathway via a Monopartite NLS Sequence. **Journal of Molecular Biology**, v. 428, n. 10, p. 2120-2131, 2016. (7372) - Fator de Impacto em 2015: 4,517
163. ANDRINI, L. R.; ANGELOMÉ, P. C.; SOLER-ILLIA, G. J. A. A.; REQUEJO, F. G. Understanding the Zr and Si interdispersion in Zr_{1-x}Si_xO₂ mesoporous thin films by using FTIR and XANES spectroscopy. **Dalton Transactions**, v. 45, n. 24, p. 9977-9987, 2016. (7374) - Fator de Impacto em 2015: 4,177
164. SALAZAR, M. J.; RODRIGUEZ, J. H.; CID, C. V.; BERNARDELLI, C. E.; DONATI, E. R.; PIGNATA, M. L. Soil variables that determine lead accumulation in *Bidens pilosa* L.

- and *Tagetes minuta* L. growing in polluted soils. **Geoderma**, v. 279, p. 97-108, 2016. (7377) - Fator de Impacto em 2015: 2,855
165. FUENTES, R. O.; ACUÑA, L. M.; ALBORNOZ, C. A.; LEYVA, A. G. ; SOUSA, N.; FIGUEIREDO, F. M. Structural, physical and chemical properties of nanostructured nickel-substituted ceria oxides under reducing and oxidizing conditions. **RSC Advances**, v. 6, n. 69, p. 64861, 2016. (7378) - Fator de Impacto em 2015: 3,289
166. SILVA, W. L.; LANSARIN, M. A.; SANTOS, J. H. Z. DOS; ROCHA, Z. N.; PEPE, I. M. Electrochemical and Catalytic Studies of a Supported Photocatalyst Produced from Petrochemical Residue in the Photocatalytic Degradation of Dexamethasone and Guaifenesin Drugs. **Water Air Soil Pollut**, v. 227, n. 7, p. 242, 2016. (7386) - Fator de Impacto em 2015: 1,551
167. SALVADORI, M. C.; ANDO, R. A.; MURACA, D.; KNOBEL, M.; NASCIMENTO, C. A. O.; CORRÊA, B. Magnetic nanoparticles of Ni/NiO nanostructured in film form synthesized by dead organic matrix of yeast. **RSC Advances**, v. 6, n. 65, p. 60683-60696, 2016. (7387) - Fator de Impacto em 2015: 3,289
168. ABU BAKAR, S.; RIBEIRO, C. A comparative run for visible-light-driven photocatalytic activity of anionic and cationic S-doped TiO₂ photocatalysts: A case study of possible sulfur doping through chemical protocol. **Journal of Molecular Catalysis A**, v. 421, p. 1-15, 2016. (7389) - Fator de Impacto em 2015: 3,958
169. PASSOS, A. R.; PULCINELLI, S. H.; BRIOIS, V.; SANTILLI, C. V. High surface area hierarchical porous Al₂O₃ prepared by the integration of sol-gel transition and phase separation. **RSC Advances**, v. 6, n. 62, p. S7217-S7226, 2016. (7390) - Fator de Impacto em 2015: 3,289
170. FERREIRA, F. A. S.; BATTIROLA, L. C.; LEWICKI, J. P.; WORSLEY, M. A.; PEREIRA-DASILVA, M. A.; AMARAL, T.; LEPIENSKI, C. M.; RODRIGUES-FILHO, U. P Influence of thermal treatment time on structural and physical properties of polyimide films at beginning of carbonization. **Polymer Degradation and Stability**, v. 129, p. 399-407, 2016. (7391) - Fator de Impacto em 2015: 3,12
171. ARRUDA, M. S.; MEDINA, A.; SOUSA, J. N.; MENDES, L. A. V.; MARINHO, R. R. T.; PRUDENTE, F. V. Ionization and Fragmentation of DCOOD Induced by Synchrotron Radiation at the Oxygen 1s Edge: The Role of Dimer Formation. **Journal of Physical Chemistry A**, v. 120, n. 27, p. 5325-5336, 2016. (7394) - Fator de Impacto em 2015: 2,883
172. GONÇALVES, K. M.; JUNIOR, I. I.; PAPADIMITRIOU, V.; ZOUMPANIOTI, M.; LEAL, I. C. R.; SOUZA, R. O. M. A.; CORDEIRO, Y.; XENAKIS, A. Nanoencapsulated Lecitase Ultra and *Thermomyces lanuginosus* Lipase, a Comparative Structural Study. **Langmuir**, v. 32, n. 26, p. 6746-6756, 2016. (7397) - Fator de Impacto em 2015: 3,993
173. BRAGA, F. V.; ESCOBAR, D. P.; REIS, T. J. A.; OLIVEIRA, N. J. L.; ANDRADE, M. S. Recrystallization of niobium stabilized ferritic stainless steel during hot rolling simulation by torsion tests. **Journal of Materials Research and Technology**, v. 5, n. 1, p. 92-99, 2016. (7399) - Fator de Impacto em 2015: 0
174. STEWART, N. A.; MOLINA, G. F.; ISSA, J. P. M.; YATES, N. A.; SOSOVICKA, M.; VIEIRA, A. R.; LINE, S. R. P.; MONTGOMERY, J.; GERLACH, R. F. The identification of peptides by nanoLC-MS/MS from human surface tooth enamel following a simple acid

- etch extraction. **RSC Advances**, v. 6, n. 66, p. 61673-61679, 2016. (7401) - Fator de Impacto em 2015: 3,289
175. FITARONI, L. B.; LIMA, J. A. DE; CRUZ, S. A.; WALDMAN, W. R. Effect of compatibilizer and Irganox MD 1024 on the thermo-oxidative stability of PP/PP-g-MA/OMMT nanocomposites. **Polymer Testing**, v. 53, p. 165-173, 2016. (7415) - Fator de Impacto em 2015: 2,35
176. SAHOO, P. K.; JANISSEN, R.; MONTEIRO, M. P.; CAVALLI, A.; MURILLO, D. M.; MERFA, M. V.; CESAR, C. L.; CARVALHO, H. F.; SOUZA, A. A.; BAKKERS, E. P. A. M.; COTTA, M. A. Nanowire Arrays as Cell Force Sensors To Investigate Adhesion-Enhanced Holdfast of Single Cell Bacteria and Biofilm Stability. **Nano Letters**, v. 16, n. 7, p. 4656-4664, 2016. (7416) - Fator de Impacto em 2015: 13,779
177. LI, H.; ARCINIEGAS, M. P.; DI STASIO, F.; ALTAMURA, D.; DE TRIZIO, L.; PRATO, M.; SCARPELLINI, A.; MOREELS, I.; KRAHNE, R.; MANNA, L. Self-Assembled Dense Colloidal Cu₂Te Nanodisk Networks in P3HT Thin Films with Enhanced Photocurrent. **Advanced Functional Materials**, v. 26, n. 25, p. 4535-4542, 2016. (7417) - Fator de Impacto em 2015: 11,382
178. RAUSCH, E.; CASTEGNARO, M. V.; BERNARDI, F.; ALVES, M. C. M.; MORAIS, J. DE; BALKE, B. Short and long range order of Half-Heusler phases in (Ti,Zr,Hf)CoSb thermoelectric compounds. **Acta Materialia**, v. 115, p. 308-315, 2016. (7418) - Fator de Impacto em 2015: 5,058
179. YONEDA, J. S.; SCANAVACHI, G.; SEBINELLI, H. G.; BARBOSA, L. R. S.; CIANCAGLINI, P.; ITRI, R. Multimeric species in equilibrium in detergent-solubilized Na,K-ATPase. **International Journal of Biological Macromolecules**, v. 89, p. 238-245, 2016. (7442) - Fator de Impacto em 2015: 3,138
180. ROJAS AYALA, CH.; PASSAMANI, E. C.; SOUSA, M. A.; LITTERST, F. J.; BAGGIO-SAITOVICH, E. The role of Fe-doping on structural and magnetic properties of Fe nanoclusters in thick Yb films. **Journal of Magnetism and Magnetic Materials**, v. 417, p. 175-181, 2016. (7471) - Fator de Impacto em 2015: 2,357
181. ROSSETO, F. R.; MANZINE, L. R.; OLIVEIRA NETO, M.; POLIKARPOV, I. Biophysical and biochemical studies of a major endoglucanase secreted by *Xanthomonas campestris* pv. *campestris*. **Enzyme and Microbial Technology**, v. 91, p. 1-7, 2016. (7477) - Fator de Impacto em 2015: 2,624
182. COSTA E SILVA, D. L.; KASSAB, L. R. P.; MARTINELLI, J. R.; SANTOS, A. D.; RIBEIRO, S. J. L.; SANTOS, M. V. Characterization of Thin Carbon Films Produced by the Magnetron Sputtering Technique. **Materials Research-Ibero-American Journal of Materials**, v. 19, n. 3, p. 669-672, 2016. (7479) - Fator de Impacto em 2015: 0,788
183. RIBEIRO, H. B.; VILLEGAS, C. E. P.; BAHAMON, D. A.; MURACA, D.; CASTRO NETO, A. H.; SOUZA, E. A. T.; ROCHA, A. R.; PIMENTA, M. A.; MATOS, C. J. S. Edge phonons in black phosphorus. **Nature Communications**, v. 7, p. 12191, 2016. (7483) - Fator de Impacto em 2015: 11,329
184. CARVALHO, A. L. M. DE; SILVA, J. A.; LIRA, A. A. M.; CONCEIÇÃO, T. M.F.; NUNES, R. S.; ALBUQUERQUE, R. L. C. DE; SARMENTO, V. H. V.; LEAL, L. B.; SANTANA, D. P. Evaluation of Microemulsion and Lamellar Liquid Crystalline Systems for Transdermal Zidovudine Delivery. **Journal of Pharmaceutical Sciences**, v. 105, n. 7, p. 2188-2193, 2016. (7485) - Fator de Impacto em 2015: 2,641

185. IWAMOTO, W. A.; ARRUDA, E. P. Leeches of the genus *Helobdella* (Clitellata: Hirudinida) from Sao Paulo, Brazil with descriptions of two new species using micro-computed tomography and a new record of *Barbronia weberi* (Blanchard 1897). **Zootaxa**, v. 4144, n. 3, p. 411-129, 2016. (7486) - Fator de Impacto em 2015: 0,994
186. RICHENA, M.; REZENDE, C. A. Morphological degradation of human hair cuticle due to simulated sunlight irradiation and washing. **Journal of Photochemistry and Photobiology B**, v. 161, p. 430-440, 2016Jun. (7488) - Fator de Impacto em 2015: 3,035
187. MARSOLA, J. C. A.; BATEZELLI, A.; MONTEFELTRO, F. C.; GRELLET-TINNER, G.; LANGER, M. C. Palaeoenvironmental characterization of a crocodylian nesting site from the Late Cretaceous of Brazil and the evolution of crocodyliform nesting strategies. **Palaeogeography, Palaeoclimatology, Palaeoecology**, v. 457, p. 221-232, 2016. (7489) - Fator de Impacto em 2015: 2,525
188. RAMOS, S. J.; DINALI, G. S.; CARVALHO, T. S DE; CHAVES, L. C.; SIQUEIRA, J. O.; GUILHERME, L. R. G. Rare earth elements in raw materials and products of the phosphate fertilizer industry in South America: Content, signature, and crystalline phases. **Journal of Geochemical Exploration**, v. 168, p. 177-186, 2016. (7492) - Fator de Impacto em 2015: 2,147
189. NUNES, K. M.; TEIXEIRA, C. C. C.; KAMINSKI, R. C. K.; SARMENTO, V. H. V.; COUTO, R. O.; PULCINELLI, S. H.; FREITAS, O. The Monoglyceride Content Affects the Self-Assembly Behavior, Rheological Properties, Syringeability, and Mucoadhesion of In Situ-Gelling Liquid Crystalline Phase. **Journal of Pharmaceutical Sciences**, v. 105, n. 8, p. 2355-2364, 2016. (7493) - Fator de Impacto em 2015: 2,641
190. ANDRADE, A. B.; REZENDE, M. V. DOS S.; MONTES, P. J. R.; MACEDO, Z. S.; VALERIO, M. E. G. Mechanism of X-ray excited optical luminescence (XEOL) in europium doped BaAl₂O₄ phosphor. **Physical Chemistry Chemical Physics (PCCP)**, v. 18, n. 26, p. 17646-17654, 2016. (7495) - Fator de Impacto em 2015: 4,449
191. BORGES, B. G. A. L.; MARCHIORI, C. F. N.; GLASSER, M.; GARCÍA-BASABE, Y.; MOURA, C. E. V.; ROCHA, A. B.; ROMAN, L. S.; CHASSÉ, T.; CASU, M. B.; ROCCO, M. L. M. Electronic and structural properties in thermally annealed PSiF-DBT: PC71BM blends for organic photovoltaics. **Thin Solid Films**, v. 615, p. 165-170, 2016. (7497) - Fator de Impacto em 2015: 1,761
192. SIQUEIRA, M. C.; MACHADO, K. D.; MAIA, R. N. A.; ARAUJO, R. M. T.; SERBENA, J. P. M.; HUMMELGENT, I. A.; STOLF, S. F. EXAFS investigations on amorphous GaSe₉ thin films. **Journal of Non-Crystalline Solids**, v. 447, p. 233-237, 2016. (7498) - Fator de Impacto em 2015: 1,825
193. FREITAS, V. F.; DIAS, G. S.; CATELLANI, I. B.; COTICA, L. F.; SANTOS, I. A.; YOKAICHIYA, F. Highly resistive fast-sintered BiFeO₃ ceramics. **Integrated Ferroelectrics**, v. 174, n. 1, p. 43-49, 2016. (7499) - Fator de Impacto em 2015: 0,375
194. LIMA, J. C.; FERREIRA, A. S.; BIASI, R. S. DE Modeling the amorphous structure of mechanically alloyed amorphous Ni₃₀Nb₇₀ using anomalous wide-angle X-ray scattering and reverse Monte Carlo simulations. **Journal of Non-Crystalline Solids**, v. 447, p. 21-28, 2016. (7500) - Fator de Impacto em 2015: 1,825

195. MATOS, C. R. S.; SOUZA JR., H. O.; CANDIDO, L. P. M.; COSTA, L. P. DA; SANTOS, F. A.; ALENCAR, M. A. R. C.; ABEGAO, L. M. G.; RODRIGUES JR., J. J.; SUSSUCHI, E. M.; GIMENEZ, I. F. Spectroscopic and electrochemical study of CdTe nanocrystals capped with thiol mixtures. **Materials Research Express**, v. 3, n. 6, p. 065008, 2016. (7503) - Fator de Impacto em 2015: 0,968
196. TARUTANI, N.; TOKUDOME, Y.; JOBBÁGY, M.; VIVA, F. A.; SOLER-ILLIA, G. J. A. A.; TAKAHASHI, M. Single-Nanometer-Sized Low-Valence Metal Hydroxide Crystals: Synthesis via Epoxide-Mediated Alkalinization and Assembly toward Functional Mesoporous Materials. **Chemistry of Materials**, v. 28, n. 16, p. 5606-5610, 2016. (7504) - Fator de Impacto em 2015: 9,407
197. HUSEYINOVA, S.; BLANCO, J.; REQUEJO, F. G.; RAMALLO-LÓPEZ, J. M.; BLANCO, M. C.; BUCETA, D.; LÓPEZ-QUINTELA, M. A. Synthesis of Highly Stable Surfactant-free Cu-5 Clusters in Water. **Journal of Physical Chemistry C**, v. 12, n. 29, p. 15902-15908, 2016. (7505) - Fator de Impacto em 2015: 4,509
198. FRIZZO, C. P.; BENDER, C. R.; GINDRI, I. M. DE; VILLETTI, M. A.; MACHADO, G.; BIANCHI, O.; MARTINS, M. A. P. Elucidating Anion Effect on Nanostructural Organization of Dicationic Imidazolium-Based Ionic Liquids 15/0/. **Journal of Physical Chemistry C**, v. 120, n. 26, p. 14402-14409, 2016. (7509) - Fator de Impacto em 2015: 4,509
199. GUIMARÃES, S. L.; COITINHO, J. B.; COSTA, D. M. A.; ARAUJO, S. S.; WHITTMAN, C. P.; NAGEM, R. A. P. Crystal Structures of Apo and Liganded 4-Oxalocrotonate Decarboxylase Uncover a Structural Basis for the Metal-Assisted Decarboxylation of a Vinylogous beta-Keto Acid. **Biochemistry**, v. 55, n. 18, p. 2632-2645, 2016. (7511) - Fator de Impacto em 2015: 2,876
200. MENDOZA ZÉLIS, P.; PASQUEVICH, G. A.; SALCEDO RODRÍGUEZ, K. L.; SÁNCHEZ, F. H.; RODRÍGUEZ TORRES, C. E. Surface magnetic contribution in zinc ferrite thin films studied by element- and site-specific XMCD hysteresis-loops. **Journal of Magnetism and Magnetic Materials**, v. 419, p. 98-104, 2016. (7514) - Fator de Impacto em 2015: 2,357
201. ESLAVA, G. R. G.; PARISI, F.; BERNARDO, P. L.; QUINTERO, M.; LEYVA, A. G.; COHEN, L. F.; GHIVELDER, L. Coupled magnetic and elastic properties in LaPr(CaSr)MnO manganites. **Physics Letters A**, v. 380, n. 38, p. 3107-3110, 2016. (7516) - Fator de Impacto em 2015: 1,677
202. CAMPOS, A. F. P.; FERREIRA, A. R. O.; CARDOSO, D. Synthesis and properties of hybrid silicas containing cetyltrialkylammonium surfactants. **Química Nova**, v. 39, n. 3, p. 279-285, 2016. (7517) - Fator de Impacto em 2015: 0,617
203. BOTERO, E. R.; DE AZEVEDO, D. H. M.; EIRAS, J. A.; MILTON, F. P.; GARCIA, DU. A structural evidence of polar clusters in PLZT relaxor ceramics. **Integrated Ferroelectrics**, v. 174, n. 1, p. 50-55, 2016. (7531) - Fator de Impacto em 2015: 0,375
204. MELO JR., M. A.; MORAIS, A.; NOGUEIRA, A. F. Boosting the solar-light-driven methanol production through CO₂ photoreduction by loading Cu₂O on TiO₂-pillared K₂Ti₄O₉. **Microporous and Mesoporous Materials**, v. 234, p.1-11, 2016. (7536) - Fator de Impacto em 2015: 3,349
205. DELMONICO, L.; BRAVO, M.; SILVESTRE, R. T.; ORNELLAS, M. H. F.; AZEVEDO, C. M.; ALVES, GI. Proteomic profile of saliva and plasma from women with palpable

- breast lesions. **Oncology Letters**, v. 12, n.3, p. 2145-2152, 2016. (7539) - Fator de Impacto em 2015: 1,482
206. BORGES, K. A.; SANTOS, L. M.; PANIAGO, R.M.; BARBOSA NETO, N. M.; SCHNEIDER, J.; BAHNEMANN, D. W.; PATROCINIO, A. O. T.; MACHADO, A. E. H. Characterization of a highly efficient N-doped TiO₂ photocatalyst prepared via factorial design. **New Journal of Chemistry**, v. 40. p. 7846-7855, 2016. (7545) - Fator de Impacto em 2015: 3,277
207. ANJOS, M. M. DOS; VAZ, W. F.; CUSTÓDIO, J. M. F.; SILVEIRA, R. G.; CASTRO, A. N.; CAMPOS, C. E. M.; OLIVEIRA, G. R. DE; VALVERDE, C.; BASEIA, B.; NAPOLITANO, H. B. Synthesis, characterization, and third-order nonlinear optical properties of a new neolignane analogue. **RSC Advances**, v. 6, n. 82, p. 79215-79227, 2016. (7546) - Fator de Impacto em 2015: 3,289
208. ALBUQUERQUE, B. L.; DENICOURT-NOWICKI, A.; MÉRIADÉC, C.; DOMINGOS, J. B.; ROUCOUX, A. Water soluble polymer-surfactant complexes-stabilized Pd(0) nanocatalysts: Characterization and structure-activity relationships in biphasic hydrogenation of alkenes and alpha,beta-unsaturated ketones. **Journal of Catalysis**, v. 340, p. 144-153, 2016. (7556) - Fator de Impacto em 2015: 7,354
209. MEIRA, D. M.; RIBEIRO, R. U.; MATHON, O.; PASCARELLI, S.; BUENO, J. M. C.; ZANCHET, D. Complex interplay of structural and surface properties of ceria on platinum supported catalyst under water gas shift reaction. **Applied Catalysis B**, v. 197, p. 73-85, 2016. (7557) - Fator de Impacto em 2015: 8,327
210. ZHU, Z.; REZENDE, C. A.; SIMISTER, R.; MCQUEEN- MASON, S. J.; MACQUARRIE, D. J.; POLIKARPOV, I.; GOMEZ, L. D. Efficient sugar production from sugarcane bagasse by microwave assisted acid and alkali pretreatment. **Biomass and Bioenergy**, v. 93, p. 269-278, 2016. (7560) - Fator de Impacto em 2015: 3,249
211. REES, J. A.; HUGENBRUCH, S.; POLLOCK, C. J.; WANDZILAK, A.; MAGANAS, D.; WURSTER, N. I. C.; LIMA, F. A.; KOWALSKA, J. K.; FINKELSTEIN, K. D.; DEBEER, S. Experimental and theoretical correlations between vanadium K-edge X-ray absorption and K emission spectra. **Journal of Biological Inorganic Chemistry**, v. 21, n. 5-6, p. 793-805, 2016. (7561) - Fator de Impacto em 2015: 2,495
212. MACHADO, A. T.P.; SILVA, M.; IULEK, J. Expression, purification, enzymatic characterization and crystallization of glyceraldehyde-3-phosphate dehydrogenase from *Naegleria gruberi*, the first one from phylum Percolozoa. **Protein Expression and Purification**, v. 125, p. 125-130, 2016. (7563) - Fator de Impacto em 2015: 1,407
213. KHAN, L. U.; MURACA, D.; BRITO, H. F.; MOSCOSO- LONDOÑO, O.; FELINTO, M. C. F. C.; PIROTA, K. R.; TEOTÔNIO, E. E. S.; MALTA, O. L. Optical and magnetic nanocomposites containing Fe₃O₄@SiO₂ grafted with Eu³⁺ and Tb³⁺ complexes. **Journal of Alloys and Compounds**, v. 686, p. 453-466, 2016. (7564) - Fator de Impacto em 2015: 3,014
214. ALCANTARA, K. F.; ROCHA, A. B.; GOMES, A. H. A.; WOLFF, W.; SIGAUD, L.; SANTOS, A. C. F. Kinetic energy release of the singly and doubly charged methylene chloride molecule: the role of fast dissociation. **Journal of Physical Chemistry A**, v. 120, p. 6728-6737, 2016. (7569) - Fator de Impacto em 2015: 2,883
215. PEDROSO, C. C. S.; CARVALHO, J. M.; RODRIGUES, L. C. V.; HÖLSÄ, J.; BRITO, H. F. Rapid and energy-saving microwave-assisted solid-state synthesis of Pr³⁺-, Eu³⁺-,

- or Tb³⁺-doped Lu₂O₃ persistent luminescence materials. **ACS Applied Materials & Interfaces**, v. 8, n. 30, p. 19593-19604, 2016. (7570) - Fator de Impacto em 2015: 7,145
216. SANTANA, HA. S.; TORTOLA, D. S.; REIS, E. M.; SILVA JR., J. L.; TARANTO, O. P. Transesterification reaction of sunflower oil and ethanol for biodiesel synthesis in microchannel reactor: Experimental and simulation studies. **Chemical Engineering Journal**, v. 302, p. 752-762, 2016. (7571) - Fator de Impacto em 2015: 5,31
217. MAESTER, T.C.-V.; PEREIRA, M. R.; SIERRA, E. G. M.; BALAN, A.; LEMOS, E. G. M. Characterization of EST3: a metagenome-derived esterase with suitable properties for biotechnological applications. **Applied Microbiology and Biotechnology**, v. 100, n. 13, p. 5815-5827, 2016. (7572) - Fator de Impacto em 2015: 3,376
218. AKHLAGHI, S. P.; RIBEIRO, I. R.; BOYD, B. J.; LOH, W. Impact of preparation method and variables on the internal structure, morphology, and presence of liposomes in phytantriol-pluronic (R) F127 cubosomes. **Colloids and Surfaces B**, v. 145, p. 845-853, 2016. (7573) - Fator de Impacto em 2015: 3,902
219. BUFAIÇAL, L.F. S.; COUTRIM, L. T.; SANTOS, T. O.; TERASHITA, H.; JESUS, C. B. R.; PAGLIUSO, P. G.; BITTAR, E. M. Physical properties of Sr₂FelrO₆ and Sr_{1.2}La_{0.8}FelrO₆ double perovskites obtained by a new synthesis route. **Materials Chemistry and Physics**, v. 182, p. 459-465, 2016. (7574) - Fator de Impacto em 2015: 2,101
220. CIRINO, L. M. D.; VERGNE, D. M. C.; SANTANA, P. F.; ALMEIDA, EN.; COSTA, L. P. DA; ALBUQUERQUE-JR., R. L. C.; LIMA-VERDE, I. B.; PADILHA, F. F.; CARDOSO, J. C. Decreased inflammatory response in rat bladder after intravesical administration of capsaicin-loaded liposomes. **Anais da Academia Brasileira de Ciências**, v. 88, n. 3, p.1539-1547, 2016. (7577) - Fator de Impacto em 2015: 0,717
221. ORLANDO, M. T. D.; CAVICHINI, A. S.; DEPIANTI, J. B.; PASSAMAI JR., J. L.; ROCHA, J. R.; SALVADOR, J. F.; ORLANDO, C. G. P. Effects of yttrium doping in ordered double Perovskite Sr₂CrReO₆. **Journal of Alloys and Compounds**, v. 687, p. 463-469, 2016. (7580) - Fator de Impacto em 2015: 3,014
222. 252 LESSA, J. H. L.; ARAUJO, A. M.; SILVA, G. N. T.; GUILHERME, L. R. G.; LOPES, G. Adsorption-desorption reactions of selenium (VI) in tropical cultivated and uncultivated soils under Cerrado biome. **Chemosphere**, v. 164, p. 271-277, 2016. (7599) - Fator de Impacto em 2015: 3,698
223. ACUÑA, L. M.; MUÑOZ, F. F.; FUENTES, R. O. Correlation between structural, chemical, and electrochemical properties of La_{0.6}Sr_{0.4}CoO_{3-d} nanopowders for application in intermediate temperature solid oxide fuel cells. **Journal of Physical Chemistry C**, v. 120, n. 36, p.20387-20399, 2016. (7601) - Fator de Impacto em 2015: 4,509
224. ARAÚJO, J. A.; CARDOSO, D. Hybrid silica with bimodal mesopore system: Synthesis and catalytic evaluation. **Journal of Molecular Catalysis A**, v. 422, p. 51-58, 2016. (7604) - Fator de Impacto em 2015: 3,958
225. BARRERA, E. C. G.; LIVOTTO, P. R.; SANTOS, J. H. Z. DOS Hybrid silica bearing different organosilanes produced by the modified Stober method. **Powder Technology**, v. 301, p. 486-492, 2016. (7605) - Fator de Impacto em 2015: 2,759

226. ZANPHORLIN, L. M.; LIMA, T. B.; WONG, M. J.; BALBUENA, T. S.; MINETTI, C. A. S. A.; REMETA, D. P.; YOUNG, J. C.; BARBOSA, L. R. S.; GOZZO, F. C.; RAMOS, C. H. I. Heat shock protein 90 kDa (Hsp90) has a second functional interaction site with the mitochondrial import receptor Tom70. **Journal of Biological Chemistry**, v. 291, n. 36, p. 18620-18631, 2016. (7608) - Fator de Impacto em 2015: 4,258
227. OLIVEIRA, G. V.; SILVA, W. L.; OLIVEIRA, E. R.; LANSARIN, M. A.; SANTOS, J. H. Z. DOS foundry sands as supports for heterogeneous photocatalysts. **Water Air Soil Pollut**, v. 227, p. 373-384, 2016. (7613) - Fator de Impacto em 2015: 1,551
228. ELÍAS, V. R.; FERRERO, G. O.; OLIVEIRA, R. G.; EIMER, G. A. Improved stability in SBA-15 mesoporous materials as catalysts for photo-degradation processes. **Microporous and Mesoporous Materials**, v. 236, p. 218-227, 2016. (7615) - Fator de Impacto em 2015: 3,349
229. CERVANTES, F. J.; RODRIGUEZ-LOPEZ, J. L.; PEÑA-MARTÍNEZ, M.; ASCACIO-VALDES, J. A.; AGUILAR, C. N.; BAHENA, D. Enhanced reduction of p-Nitrophenol by a methanogenic consortium promoted by metallic nanoparticles. **Water Air Soil Pollut**, v. 227, n. 10, p. 368, 2016. (7616) - Fator de Impacto em 2015: 1,551
230. CATTO, A. C.; SILVA, L. F.; BERNARDI, M. I. B.; BERNARDINI, S.; AGUIR, K.; LONGO, E.; MASTELARO, V. R. Local Structure and surface properties of CoxZn1-xO thin films for ozone gas sensing. **ACS Applied Materials & Interfaces**, v. 8, n. 39, p.26066-26072, 2016. (7618) - Fator de Impacto em 2015: 7,145
231. COITINHO, J. B.; PEREIRA, M. S.; COSTA, D. M. A.; GUIMARÃES, S. L.; ARAUJO, S. S.; HENGGE, A. C.; BRANDÃO, T. A. S.; NAGEM, R. A. P. structural and kinetic properties of the aldehyde dehydrogenase NahF, a broad substrate specificity enzyme for aldehyde oxidation. **Biochemistry**, v. 55, n. 38, p. 5453-5463, 2016. (7619) - Fator de Impacto em 2015: 2,876
232. VALERIO, M. E. G. Structural and optical study of CaF₂ nanoparticles produced by a microwave-assisted hydrothermal method. **Physica B - Condensed Matter**, v. 501, p. 106-112, 2016. (7621) - Fator de Impacto em 2015: 1,352
233. OTT, T. R.; RAMALLO-LÓPEZ, J. M.; GIOVANETTI, L. J.; REQUEJO, F. G.; ZONES, S. I.; IGLESIA, E. Synthesis of stable monodisperse AuPd, AuPt, and PdPt bimetallic clusters encapsulated within LTA-zeolites. **Journal of Catalysis**, v. 342, p. 125-137, 2016. (7622) - Fator de Impacto em 2015: 7,354
234. SANTOS, MA. C.; MICHELETTO, Y. M. S.; SILVEIRA, N. P. DA; PINTO, L. S.; GIACOMELLI, F. C.; LIMA, V. R.; FRIZON, T. E. A.; DAL BÓ, A. G. Self-assembled carbohydrate-based vesicles for lectin targeting. **Colloids and Surfaces B**, v. 148, p. 12-18, 2016. (7623) - Fator de Impacto em 2015: 3,902
235. POLETTO, F. S.; LIMA, F. S.; LUNDBERG, D.; NYLANDER, T.; LOH, W. Tailoring the internal structure of liquid crystalline nanoparticles responsive to fungal lipases: A potential platform for sustained drug release. **Colloids and Surfaces B**, v. 147, p. 210-216, 2016. (7624) - Fator de Impacto em 2015: 3,902
236. INDA, M. E.; OLIVEIRA, R. G.; MENDONZA, D. DE; CYBULSKI, L. E. The single transmembrane segment of minimal sensor desk senses temperature via a membrane-thickness caliper. **Journal of Bacteriology**, v. 198, n. 21, p. 2945-2954, 2016. (7627) - Fator de Impacto em 2015: 3,198

237. CUNHA, G. C.; PEIXOTO, J. A.; DE SOUZA, D. R.; ROMÃO, L. P. C.; MACEDO, Z. S. Recycling of chromium wastes from the tanning industry to produce ceramic nanopigments. **Green Chemistry**, v. 18, n. 9, p. 5342-5356, 2016. (7631) - Fator de Impacto em 2015: 8,506
238. WOJCIESZAK, R.; CUCCOVIA, I. M.; SILVA, M. I. N. DA; ROSSI, L. M. Selective oxidation of glucose to glucuronic acid by cesium-promoted gold nanoparticle catalyst. **Journal of Molecular Catalysis A**, v. 422, p. 35-42, 2016. (7632) - Fator de Impacto em 2015: 3,958
239. CASTAÑEDA, J. A.; NAGAMINE, G.; YASSITEPE, E.; BONATO, L. G.; VOZNYI, O.; HOOGLAND, S.; NOGUEIRA, A. F.; SARGENT, E. H.; CRUZ, C. H. B.; PADILHA, L. A. Efficient biexciton interaction in Perovskite quantum dots under weak and strong confinement. **ACS Nano**, v. 10, n. 9, p. 8603-8609, 2016. (7635) - Fator de Impacto em 2015: 13,334
240. PIRES, M. D.; NOGUEIRA, F. G. E.; TORRES, J. A.; LACERD, L. C. T.; CORREA, S.; PEREIRA, M. C.; RAMALHO, T. C. Experimental and theoretical study on the reactivity of maghemite doped with Cu²⁺ in oxidation reactions: structural and thermodynamic properties towards a Fenton catalyst. **RSC Advances**, v. 6, Pp; 80830-80839, 2016. (7637) - Fator de Impacto em 2015: 3,289
241. GADIOLI, R.; WALDMAN, W. R.; DE PAOLI, M. A. Lignin as a green primary antioxidant for polypropylene. **Journal of Applied Polymer Science**, v. 133, n. 45, p. 43558, 2016. (7639) - Fator de Impacto em 2015: 1,866
242. HIRATA, M. K.; FREITAS, J. N.; SANTOS, T. E. A.; MAMMANA, V. P.; NOGUEIRA, A. F. Assembly considerations for dye-sensitized solar modules with polymer gel electrolyte. **Industrial & Engineering Chemistry Research**, v. 55, n. 39, p. 10278-10285, 2016. (7642) - Fator de Impacto em 2015: 2,567
243. DOMINGOS, J. B.; LUZA, L.; RAMBOR, C. P.; GUAL, A.; BERNARDI, F.; GREHL, T.; BRUNER, P.; DUPONT, J. Catalytically active membranelike devices: ionic liquid hybrid organosilicas decorated with palladium nanoparticles. **ACS Catalysis**, v. 6, n. 10 p. 6478-6486, 2016. (7645) - Fator de Impacto em 2015: 9,307
244. SAKITA, A. M. P.; VALENTE, M. A. G.; DELLA NOCE, R.; FUGIVARA, C. S.; MAGNANI, M.; BENEDETTI, A. V. Low-voltage carbon films deposition by electro-exfoliation of graphite into graphene oxide. **RSC Advances**, v. 6, n. 87, p. 84194-94199, 2016. (7646) - Fator de Impacto em 2015: 3,289
245. BRAZOLIN, G. F.; CANBAY, C. K.; OZGEN, O.; OLIVEIRA, A. B.; SILVA, R. A. G. Effects of Gd addition on the thermal and microstructural behaviors of the as-cast Cu-9 % Al and Cu-9 % Al-10 % Mn alloys. **Applied Physics A**, v. 112, n. 10, 928-937, 2016. (7648) - Fator de Impacto em 2015: 1,444
246. OLIVEIRA, R. M. DE; HELOU NETO, E. S.; COSTA, E. F. String-averaging incremental subgradients for constrained convex optimization with applications to reconstruction of tomographic images. **Inverse Problems**, v. 32, n. 11, p. 115014, 2016. (7678) - Fator de Impacto em 2015: 1,651
247. GRENÓN, M. S.; ROBLEDO, J. I.; IBÁÑEZ, J. C.; SÁNCHEZ, H. J. Titanium diffusion in shinbone of rats with osseointegrated implants. **Journal of Microscopy**, v. 264, n. 2, p. 182-188, 2016. (7679) - Fator de Impacto em 2015: 2,136

248. BAKAR, S. A.; RIBEIRO, C. Prospective aspects of preferential {001} facets of N,S-Co-doped TiO₂ photocatalysts for visible-light-responsive photocatalytic activity. **RSC Advances**, v. 6, n. 92, p. 89274-89287, 2016. (7680) - Fator de Impacto em 2015: 3,289
249. RANGANATHAN, K.; MORAIS, A.; NONGWE, I.; LONGO, C.; NOGUEIRA, A. F.; COVILLE, N. J. Study of photoelectrochemical water splitting using composite films based on TiO₂ nanoparticles and nitrogen or boron doped hollow carbon spheres as photoanodes. **Journal of Molecular Catalysis A**, v. 422, n. Special, p. 165-174, 2016. (7681) - Fator de Impacto em 2015: 3,958
250. MELLO, J. C. DE; WATASHI, C. M.; SILVA, DE. C. DA; CAVALCANTI, L. P.; FRANCO, M. K. K. D.; YOKAICHIYA, F.; ARAUJO, D. R.; RODRIGUES, T. Enhancement of chlorpromazine antitumor activity by Pluronic F127/L81 nanostructured system against human multidrug resistant leukemia. **Pharmacological Research**, v. 111, p. 102-112, 2016. (7682) - Fator de Impacto em 2015: 4,816
251. RIBEIRO, G. K.; VICENTE, F. S.; BERNARDI, M. I. B.; MESQUITA, A. Short-range structure and photoluminescent properties of the CaTiO₃:Pr,La phosphor. **Journal of Alloys and Compounds**, v. 688, p. 497-503, 2016. (7684) - Fator de Impacto em 2015: 3,014
252. JOSHI, N.; SILVA, L. F.; JADHAV, H.; M'PEKO, J.C.; TORRES, B. B. M.; AGUIR, K.; MASTELARO, V. R.; OLIVEIRA JR., O. N. One-step approach for preparing ozone gas sensors based on hierarchical NiCo₂O₄ structures. **RSC Advances**, v. 6, p. 92655-92662, 2016. (7690) - Fator de Impacto em 2015: 3,289
253. TRUFFAULT, L.; RODRIGUES, D. F.; SALGADO, H. R. N.; SANTILLI, C. V.; PULCINELLI, S. H. Loaded Ce-Ag organic-inorganic hybrids and their antibacterial activity. **Colloids and Surfaces B**, v. 147, p. 151-160, 2016. (7692) - Fator de Impacto em 2015: 3,902
254. PINTO, V. H. A.; REBOUÇAS, J. S.; UCOSKI, G. M.; FARIA, E. H.; FERREIRA, B. F.; SAN GIL, R. A. S.; NAKAGAKI, S. Mn porphyrins immobilized on non-modified and chloropropyl-functionalized mesoporous silica SBA-15 as catalysts for cyclohexane oxidation. **Applied Catalysis A**, v. 526, p. 9-20, 2016. (7693) - Fator de Impacto em 2015: 4,012
255. NUÑEZ, N. E.; BIDEBERRIPE, H. P.; MIZRAHI, M.; RAMALLO-LÓPEZ, J. M.; CASELLA, M. L.; SIRI, G. J. CO selective oxidation using Co-promoted Pt/gamma-Al₂O₃ catalysts. **International Journal of Hydrogen Energy**, v. 41, n. 42, p. 19005-19013, 2016. (7713) - Fator de Impacto em 2015: 3,205
256. TOSCANI, L. M.; CRAIEVICH, A. F.; FANTINI, M. C. A.; LAMAS, D. G.; LARRONDO, S. A. Effects of the incorporation of Sc₂O₃ into CeO₂-ZrO₂ solid solution: structural characterization and in situ XANES/TPR study under H₂ atmosphere. **Journal of Physical Chemistry C**, v. 120, n. 42, p. 24165-24175, 2016. (7714) - Fator de Impacto em 2015: 4,509
257. MAGALHÃES-PANIAGO, R.; CHAGAS, T.; CUNHA, T. H. R.; MATOS, M. J. S.; REIS, D. D.; ARAUJO, K. A. S.; MALACHIAS, A.; MAZZONI, M. S. C.; FERLAUTO, A. S. Room temperature observation of the correlation between atomic and electronic structure of graphene on Cu(110). **RSC Advances**, v. 6, n. 100, p. 98001-98009, 2016. (7716) - Fator de Impacto em 2015: 3,289

258. CARVALHO, F. A. O.; ALVES, F. R.; TABAK, M. Ionic surfactants-Glossoscolex paulistus hemoglobin interactions: characterization of species in the solution. **International Journal of Biological Macromolecules**, v. 92, p. 670-681, 2016. (7717) - Fator de Impacto em 2015: 3,138
259. VENDELOVA, E.; DE LIMA, J. C.; LORENZATTO, K. R.; MONTEIRO, K. M.; MUELLER, T.; VEEPASCHIT, J.; GRIMM, C.; BREHM, K.; HRCKOVÁ, G.; LUTZ, M. B.; FERREIRA, H. B.; NONO, J. K. Proteomic analysis of excretory-secretory products of mesocestoides corti metacestodes reveals potential suppressors of dendritic cell functions. **PLoS Neglected Tropical Diseases**, v. 10, n. 10. p. e0005061, 2016. (7718) - Fator de Impacto em 2015: 3,948
260. AVANSI, W.; OLIVEIRA, C. L. P.; RIBEIRO, C.; LEITE, E. R.; MASTELARO, V. R. Study of the morphological evolution of vanadium pentoxide nanostructures under hydrothermal conditions. **CrystEngComm**, v. 18, n. 39, p. 7636-7641, 2016. (7719) - Fator de Impacto em 2015: 3,849
261. NAJAFISHIRTARI, S.; KOKUMAI, T. M.; MARRAS, S.; DESTRO, P.; PRATO, M.; SCARPELLINI, A.; BRESCIA, R.; LAK, A.; PELLEGRINO, T.; ZANCHET, D.; MANNA, L.; COLOMBO, M. Dumbbell-like Au_{0.5}Cu_{0.5}@Fe₃O₄ nanocrystals: synthesis, characterization, and catalytic activity in CO oxidation. **ACS Applied Materials & Interfaces**, v. 8, n. 42, p. 28624-28632, 2016. (7725) - Fator de Impacto em 2015: 7,145
262. FARIA, E. C.; RABELO NETO, R. C.; COLMAN, R. C.; FERREIRA, R. A. R.; HORI, C. E.; NORONHA, F. B. Steam reforming of LPG over Ni/Al₂O₃ and Ni/CeZr_{1-a}EuroexO₂/Al₂O₃ catalysts. **Catalysis Letters**, v. 146, n. 11, p. 2229-2241, 2016. (7730) - Fator de Impacto em 2015: 2,294
263. BORGES, B. G. A. L.; VEIGA, A. G.; TZOUNIS, L.; LASKARAKIS, A.; LOGOTHETIDIS, S.; ROCCO, M. L. M. Molecular orientation and ultrafast charge transfer dynamics studies on the P3HT:PCBM blend. **Journal of Physical Chemistry C**, v. 120, n. 43, p. 25078-25082, 2016. (7747) - Fator de Impacto em 2015: 4,509
264. FORNARI, C. I.; RAPPL, P. H. O.; MORELHÃO, S. L.; PEIXOTO, T. R. F.; BENTMANN, H.; REINERT, F.; ABRAMOF, E. Preservation of pristine Bi₂Te₃ thin film topological insulator surface after ex situ mechanical removal of Te capping layer. **APL Materials**, v. 4, n. 10, p. 106107, 2016. (7751) - Fator de Impacto em 2015: 4,323
265. CUCATTI, S.; DROPPA JR., R.; FIGUEROA, C. A.; KLAUS, M.; GENZEL, C.; ALVAREZ, F. Residual stress in nano-structured stainless steel (AISI 316L) prompted by Xe⁺ ion bombardment at different impinging angles. **Journal of Applied Physics**, v. 120, n. 14, p. 142306, 2016. (7758) - Fator de Impacto em 2015: 2,101
266. FERRERO, G. O.; ROJAS, H. J.; ARGARANA, C. E.; EIMER, G. A. Towards sustainable biofuel production: Design of a new biocatalyst to biodiesel synthesis from waste oil and commercial ethanol. **Journal of Cleaner Production**, v. 139, p. 495-503, 2016. (7760) - Fator de Impacto em 2015: 4,959
267. PEDRA, P. P.; SILVA, J. L.; SHARMA, S. K.; MOURA, K. O.; DUQUE, J. G. S.; MENESES, C. T. The influence of chelating agent on the structural and magnetic properties of CoFe₂O₄ nanoparticles. **Journal of Nanoscience and Nanotechnology**, v. 16, n. 5, p. 4943-4947, 2016. (7762) - Fator de Impacto em 2015: 1,338
268. HUCK-IRIART, C.; MONTES-DE-OCA-ÁVALOS, J.; HERRERA, M. L.; CANDAL, R. J.; OLIVEIRA, C. L. P.; TORRIANI, I. New insights about flocculation process in sodium

- caseinate-stabilized emulsions. **Food Research International**, v. 89, p. 338-346, 2016. (7774) - Fator de Impacto em 2015: 3,182
269. FERREIRA, L. M. B.; KUROKOWA, S. S. S.; ALONSO, J. D.; CASSIMIRO, D. L.; SOUZA, A. L. R.; FONSECA, M.; SARMENTO, V. H. V.; REGASINI, L. O.; RIBEIRO, C. A. Structural and thermal behavior of meglumine-based supra-amphiphiles in bulk and assembled in water. **Langmuir**, v. 32, n.45, p. 11878-11887, 2016. (7775) - Fator de Impacto em 2015: 3,993
270. SILVA, D. C.; FONTES, G. N.; ERTHAL, L. C. S.; LIMA, L. M. T. R. Amyloidogenesis of the amylin analogue pramlintide. **Biophysical Chemistry**, v. 219, p. 1-8, 2016. (7778) - Fator de Impacto em 2015: 2,363
271. HONNICKE, M. G.; BIANCO, L. M.; CEPPI, S.A.; CUSATIS, C.; HUANG, X.-R; CAI, Y. Q.; STUTZ, G. Construction of a quartz spherical analyzer: application to high-resolution analysis of the Ni K alpha emission spectrum. **Journal of Applied Crystallography**, v. 49, pt. 5, p. 1443-1453, 2016. (7779) - Fator de Impacto em 2015: 2,57
272. GÓMEZ-MARIN, A. M.; BOTT-NETO, J. L.; SOUZA JR., J. B.; SILVA, T. L. DA; BECK JR., W.; VARANDA, L. C.; TICIANELLI, E. A. Electrocatalytic activity of different phases of molybdenum carbide/carbon and platinum-molybdenum carbide/carbon composites toward the oxygen reduction reaction. **ChemElectroChem**, v. 3, n. 10, p.1570-1579, 2016. (7782) - Fator de Impacto em 2015: 3,506
273. OLIVEIRA, G. A. P.; MARQUES, M. A.; CRUZEIRO-SILVA, C.; CORDEIRO, Y.; SCHUABB, C.; MORAES, A. H.; WINTER, R.; FOGUEL, D.; FREITAS, M. S.; SILVA, J. L. Structural basis for the dissociation of alpha-synuclein fibrils triggered by pressure perturbation of the hydrophobic core. **Scientific Reports**, v. 6, p. 37990, 2016. (7786) - Fator de Impacto em 2015: 5,228
274. YASSITEPE, E.; YANG, Z.; VOZNYI, O.; KIM, Y.; WALTERS, G.; CASTAÑEDA, J. A.; KANJANABOOS, P.; YUAN, M.; GONG, X.; FAN, F.; PAN, J.; HOOGLAND, S.; COMIN, R.; BAKR, O. M.; PADILHA, L. A.; NOGUEIRA, A. F.; SARGENT, E. H. Amine-free synthesis of cesium lead halide Perovskite quantum dots for efficient light-emitting diodes. **Advanced Functional Materials**, v. 26, n. 47, p. 8757-8763, 2016. (7795) - Fator de Impacto em 2015: 11,382
275. TRINDADE, L. V.; DESAGIACOMO, C.; POLIZELI, M. DE L. T. M.; DAMÁSIO, A. R. DE L.; LIMA, A. M. F.; GOMES, E.; BONILLA-RODRIGUES, G. O. Biochemical characterization, thermal stability, and partial sequence of a novel exopolygalacturonase from the thermophilic fungus *Rhizomucor pusillus* A13.36 obtained by submerged cultivation. **BioMed Research International**, v. 2016, p. 8653583, 2016. (7796) - Fator de Impacto em 2015: 2,134
276. SANTOS, C. M. DOS; MARTINS, A. F. N.; COSTA, B. C.; RIBEIRO, T. S.; BRAGA, T. P.; SOARES, J. M.; SASAKI, J. M. Synthesis of FeNi alloy nanomaterials by proteic sol-gel method: crystallographic, morphological, and magnetic properties. **Journal of Nanomaterials**, v. 2016, p. 1637091, 2016. (7799) - Fator de Impacto em 2015: 1,758

2015

Artigo em Periódico Indexado

Externa

1. POSSATO, L. G.; CASSINELLI, W. H.; GARETTO, T. F.; PULCINELLI, S. H.; SANTILLI, C. V.; MARTINS, L. One-step glycerol oxidehydration to acrylic acid on multifunctional zeolite catalysts. **Applied Catalysis A**, v. 492, p. 243-251, 2015. (5994) - Fator de Impacto em 2014: 3,942
2. TANCREDI, P.; BOTASINI, S.; MOSCOSO- LONDOÑO, O.; MÉNDEZ, E.; SOCOLOVSKY, L.M. Polymer-assisted size control of water-dispersible iron oxide nanoparticles in range between 15 and 100 nm. **Colloids and Surfaces A**, v. 464, p. 46-51, 2015. (6004) - Fator de Impacto em 2014: 2,752
3. OYAFUSO, M. H.; CARVALHO, F. C.; CHIAVACCI, L. A.; GREMIÃO, M. P. D.; CHORILLI, M. Design and characterization of silicone and surfactant based systems for topical drug delivery. **Journal of Nanoscience and Nanotechnology**, v. 15, n. 1 p. 817-826, 2015. (6012) - Fator de Impacto em 2014: 1,556
4. ZANIN, H. G.; CERAGIOLI, H. J.; PETERLEVITZ, A. C.; BARANAUSKAS, V.; MARCIANO, F. R.; LOBO, A. O. Field emission properties of the graphenated carbon nanotube electrode. **Applied Surface Science**, v. 324, p. 174-178, 2015. (6016) - Fator de Impacto em 2014: 2,711
5. POLETTO, F. S.; OLIVEIRA, C. P.; WENDER, H.; REGENT, D.; DONIDA, B.; TEIXEIRA, S. R.; GUTERRES, S. S.; ROSSI- BERGMANN, B.; POHLMANN, A. R. How sorbitan monostearate can increase drug-loading capacity of lipid-core polymeric nanocapsules. **Journal of Nanoscience and Nanotechnology**, v. 15, n. 1, p. 827-837, 2015. (6017) - Fator de Impacto em 2014: 1,556
6. RESENDE, K. A.; ÁVILA- NETO, C. N.; RABELO NETO, R. C.; NORONHA, F. B.; HORI, C. E. Hydrogen production by reforming of acetic acid using La-Ni type Peroyskites partially substituted with Sm and Pr. **Catalysis Today**, v. 242, p. 71-79, 2015. (6018) - Fator de Impacto em 2014: 3,893
7. ZANIN, H. G.; MAY, P. W.; HARNIMAN, R. L.; RISBRIDGER, T.; CORAT, E. J.; FERMIN, D. J. High surface area diamond-like carbon electrodes grown on vertically aligned carbon nanotubes. **Carbon**, v. 82, p. 288-9296, 2015. (6019) - Fator de Impacto em 2014: 6,196
8. ESCOBAR, D.; OSPINA, R.; GÓMEZ, A. G.; RESTREPO PARRA, E. Microstructure, residual stress and hardness study of nanocrystalline titanium-zirconium nitride thin films. **Ceramics International**, v. 41, n. 1, p. 947-952, 2015. (6021) - Fator de Impacto em 2014: 2,605
9. MORAES, T. S.; RABELO NETO, R. C.; RIBEIRO, M. C.; MATTOS, L. V.; KOURTELESIS, M.; LADAS, S.; VERYKIOS, X.; NORONHA, F. B. The study of the performance of PtNi/CeO₂-nanocube catalysts for low temperature steam reforming of ethanol. **Catalysis Today**, v. 242, p. 35-49, 2015. (6023) - Fator de Impacto em 2014: 3,893
10. CAPPELLARI, P. S.; BUCETA, D.; MORALES, G. M.; BARBERO, C. A.; MORENO, M. S.; GIOVANETTI, L. J.; RAMALLO-LÓPEZ, J. M.; REQUEJO, F. G.; CRAIEVICH, A. F.;

- PLANES, G. A. Synthesis of ultra-small cysteine-capped gold nanoparticles by pH switching of the Au(I)-cysteine polymer. **Journal of Colloid and Interface Science**, v. 44, p. 17-24, 2015. (6031) - Fator de Impacto em 2014: 3,368
11. RIBEIRO, M. M.; TEIXEIRA, G. S.; MARQUES, M. R.; SOUZA, A. P.; LINE, S. R. P. G-quadruplex formation enhances splicing efficiency of PAX9 intron 1. **Human Genetic**, v. 134, n. 1, p. 37-44, 2015. (6032) - Fator de Impacto em 2014: 4,824
 12. OTAL, E. H.; SILEO, E. E.; AGUIRRE, M. H.; FÁBREGAS, I. O.; KIM, M. Structural characterization and EXAFS wavelet analysis of Yb doped ZnO by wet chemistry route. **Journal of Alloys and Compounds**, v. 622, p. 115-120, 2015. (6033) - Fator de Impacto em 2014: 2,999
 13. MUÑOZ, F. F.; ACUÑA, L. M.; ALBORNOZ, C. A.; LEYVA, A. G.; BAKER, R. T.; FUENTES, R. O. Redox properties of nanostructured lanthanide-doped ceria spheres prepared by microwave assisted hydrothermal homogeneous co-precipitation. **Nanoscale**, v. 7, n. 1, p. 271-281, 2015. (6034) - Fator de Impacto em 2014: 7,394
 14. BARBERO, G. F.; SANTOS, P.; AGUIAR, A. C.; REZENDE, C. A.; MARTINEZ, J. Supercritical carbon dioxide extraction of capsaicinoids from malagueta pepper (*Capsicum frutescens* L.) assisted by ultrasound. **Ultrasonics Sonochemistry**, v. 22, p. 78-88, 2015. (6035) - Fator de Impacto em 2014: 4,321
 15. SERAPHIM, T. V.; GAVA, L. M.; MOKRY, D. Z.; CAGLIARI, T. C.; BARBOSA, L. R. S.; RAMOS, C. H. I.; BORGES, J. C. The C-terminal region of the human p23 chaperone modulates its structure and function. **Archives of Biochemistry and Biophysics**, v. 565, p. 57-67, 2015. (6042) - Fator de Impacto em 2014: 3,017
 16. LIMA, T. A. R. M.; BRITO, N. S.; PEIXOTO, J. A.; VALERIO, M. E. G. The incorporation of chromium (III) into hydroxyapatite crystals. **Materials Letters**, v. 140, p. 187-191, 2015. (6043) - Fator de Impacto em 2014: 2,489
 17. ROCHA, B. A. M.; BARROSO-NETO, I.L.; TEIXEIRA, C. S.; PIRES, A. F.; SOUZA, L. A. G.; NASCIMENTO, K. S.; SAMPAIO, A. H.; DELATORRE, P.; ASSREUY, A. M. S.; CAVADA, B. S. CRLI induces vascular smooth muscle relaxation and suggests a dual mechanism of eNOS activation by legume lectins via muscarinic receptors and shear stress. **Archives of Biochemistry and Biophysics**, v. 565, p. 32-39, 2015. (6046) - Fator de Impacto em 2014: 3,017
 18. SILVA, K. T.S.; OLIVEIRA-CASTRO, R. A.; RODRIGUES, V. C.; LIMA, W. G.; RODRIGUES, C. V.; CASTRO-BORGES, W.; ANDRADE, M. H. G. DBT- and DBTO2-induced dysplasia and their associated proteomic alterations in the small intestines of wistar rats. **Journal of Proteome Research**, v. 14, n. 1, p. 386-396, 2015. (6047) - Fator de Impacto em 2014: 4,245
 19. CUCATTI, S.; OCHOA BECERRA, E. A.; MORALES, M.; DROPPA JR., R.; GARCIA, J.; PINTO, H. C.; ZAGONEL, L. F.; WISNIVESKY, D.; FIGUEROA, C. A.; ALVAREZ, F. Effect of bombarding steel with Xe⁺ ions on the surface nanostructure and on pulsed plasma nitriding process. **Materials Chemistry and Physics**, v. 149-150, p. 261-269, 2015. (6048) - Fator de Impacto em 2014: 2,259
 20. JACOB, J. M.; CORRADINI, P. G.; ANTOLINI, E.; SANTOS, N. A.; PEREZ, J. Electro-oxidation of ethanol on ternary Pt-Sn-Ce/C catalysts. **Applied Catalysis B**, v. 165, p. 176-184, 2015. (6049) - Fator de Impacto em 2014: 7,435

21. MICHELETTO, Y. M. S.; SILVEIRA, N. P. DA; BARBOZA, D. M.; SANTOS, M. C. DOS; LIMA, V. R.; GIACOMELLI, F. C.; MARTINEZ, J. C. V.; FRIZON, T. E. A.; DAL BÓ, A. G. Investigation of self-association between new glycosurfactant N-acetyl-beta-D-glucosaminyl-PEG-docosanate and soybean phosphatidylcholine into vesicles. **Colloids and Surfaces A**, v. 467, p. 166-172, 2015. (6050) - Fator de Impacto em 2014: 2,752
22. PICCO, A.; KNOLL, W.; CEOLÍN, M. R.; AZZARONI, O. Mesophase transformation in amphiphilic hyperbranched polymers induced by transition metal ion complexation. Creating well-defined metallo-supramolecular assemblies from "Ill-Defined" building blocks. **ACS Macro Letters**, v. 4, n. 1, p. 94-100, 2015. (6051) - Fator de Impacto em 2014: 5,764
23. REZENDE, M. V. DOS S.; VALERIO, M. E. G.; JACKSON, R. A. Study of Eu³⁺ → Eu²⁺ reduction in BaAl₂O₄:Eu prepared in different gas atmospheres. **Materials Research Bulletin**, v. 61, p. 348-351, 2015. (6052) - Fator de Impacto em 2014: 2,288
24. MANAIA, E. B.; KAMINSKI, R. C. K.; OLIVEIRA, A. G. DE; CORRÊA, M. A.; CHIAVACCI, L. A. Multifunction hexagonal liquid-crystal containing modified surface TiO₂ nanoparticles and terpinen-4-ol for controlled release. **International Journal of Nanomedicine**, v. 10, p. 811-819, 2015. (6053) - Fator de Impacto em 2014: 4,383
25. BERNARDI, M. I. B.; MESQUITA, A.; BÉRON, F.; PIROTA, K. R.; ZEVALLOS, A. O.; DORIGUETTO, A. C.; CARVALHO, H.B. The role of oxygen vacancies and their location in the magnetic properties of Ce_{1-x}Cu_xO_{2-delta} nanorods. **Physical Chemistry Chemical Physics (PCCP)**, v. 17, n. 5, p.3072-3080, 2015. (6055) - Fator de Impacto em 2014: 4,493
26. BATISTA, F. A. H.; ALMEIDA, G. S.; SERAPHIM, T. V.; SILVA, K. P.; MURTA, S. M. F.; BARBOSA, L. R. S.; BORGES, J. C. Identification of two p23 co-chaperone isoforms in Leishmania braziliensis exhibiting similar structures and Hsp90 interaction properties despite divergent stabilities. **FEBS Journal**, v. 282, n. 2, p. 388-406, 2015. (6060) - Fator de Impacto em 2014: 4,001
27. ESCOBAR, C. C.; FISCH, A. G.; SANTOS, J. H. Z. DOS Effect of a sol-gel route on the preparation of silica-based sorbent materials synthesized by molecular imprinting for the adsorption of dyes. **Industrial & Engineering Chemistry Research**, v. 54, n. 1, p. 254-262, 2015. (6061) - Fator de Impacto em 2014: 2,587
28. CORRADINI, P. G.; ANTOLINI, E.; PEREZ, J. Electro-oxidation of ethanol on ternary non-alloyed Pt-Sn-Pr/C catalysts. **Journal of Power Sources**, v. 275, p. 377-383, 2015. (6062) - Fator de Impacto em 2014: 6,217
29. MIRANDA, B. C.; CHIMENTÃO, R. J.; SZANYI, J.; BRAGA, A. H.; SANTOS, J. B. O.; GISPERT-GUIRADO, F.; LLORCA, J.; MEDINA, F. Influence of copper on nickel-based catalysts in the conversion of glycerol. **Applied Catalysis B**, v. 166, p. 166-180, 2015. (6063) - Fator de Impacto em 2014: 7,435
30. TRINCA, R. B.; FELISBERTI, M. I. Segmented polyurethanes based on poly(L-lactide), poly(ethylene glycol) and poly(trimethylene carbonate): Physico-chemical properties and morphology. **European Polymer Journal**, v. 62, p. 77-86, 2015. (6068) - Fator de Impacto em 2014: 3,005
31. FITARONI, L. B.; LIMA, J. A. DE; CRUZ, S. A.; WALDMAN, W. R. Thermal stability of polypropylene-montmorillonite clay nanocomposites: limitation of the thermogravimetric

- analysis. **Polymer Degradation and Stability**, v. 111, p. 102-108, 2015. (6074) - Fator de Impacto em 2014: 3,163
32. LOPES, E. S. N.; CONTIERI, R.J.; BUTTON, S. T.; CARAM JR., R. Femoral hip stem prosthesis made of graded elastic modulus metastable beta Ti alloy. **Materials & Design**, v. 69, p. 30-36, 2015. (6075) - Fator de Impacto em 2014: 3,501
 33. ARINS, A. W.; JURCA, H. F.; ZARPELLON, J.; FICHTNER, P. F. P.; VARALDA, J.; SCHREINER, W. H.; MOSCA, D. H. Correlation between tetragonal zinc-blende structure and magnetocrystalline anisotropy of MnGa epilayers on GaAs(111). **Journal of Magnetism and Magnetic Materials**, v. 381, p. 83- 88, 2015. (6082) - Fator de Impacto em 2014: 1,97
 34. VIANA, G. A.; MARQUES, F. C. Raman and thermal desorption spectroscopy analyses of amorphous graphite-like carbon films with incorporated xenon. **Vacuum**, v. 112, p. 17-24, 2015. (6083) - Fator de Impacto em 2014: 1,858
 35. LÓPEZ, E. O.; ROSSI, A. L.; ARCHANJO, B. S.; OSPINA, R. O.; MELLO, A.; ROSSI, A. M. Crystalline nano-coatings of fluorine-substituted hydroxyapatite produced by magnetron sputtering with high plasma confinement. **Surface and Coatings Technology**, v. 264, p. 163-174, 2015. (6084) - Fator de Impacto em 2014: 1,998
 36. CICCOTTI, L.; VALE, L. A. S.; HEWER, T. L. R.; FREIRE, R. S. Fe₃O₄@TiO₂ preparation and catalytic activity in heterogeneous photocatalytic and ozonation processes. **Catalysis Science & Technology**, v. 5, n. 2, p. 1143-1152, 2015. (6085) - Fator de Impacto em 2014: 5,426
 37. VIOLI, I. L.; ZELCER, A.; BRUNO, M. M.; LUCA, V.; SOLER-ILLIA, G. J. A. A. Gold nanoparticles supported in Zirconia-Ceria mesoporous thin films: a highly active reusable heterogeneous nanocatalyst. **ACS Applied Materials & Interfaces**, v. 7, n. 2, p. 1114-1121, 2015. (6086) - Fator de Impacto em 2014: 6,723
 38. SILVA, I. G. N.; RODRIGUES, L. C. V.; SOUZA, E. R.; KAI, J.; FELINTO, M. C. F. C.; HÖLSÄ, J.; BRITO, H. F.; MALTA, O. L. Low temperature synthesis and optical properties of the R₂O₃:Eu³⁺ nanophosphors (R³⁺: Y, Gd and Lu) using TMA complexes as precursors. **Optical Materials**, v. 40, p. 41-48, 2015. (6088) - Fator de Impacto em 2014: 1,981
 39. MASTELARO, V. R.; FAVARIM, H.R.; MESQUITA, A.; MOSCOVICI, J.; MICHALOWICZ, A.; EIRAS, J. A. Local structure and hybridization states in Ba_{0.9}Ca_{0.1}Ti_{1-x}Zr_xO₃ ceramic compounds: correlation with a normal or relaxor ferroelectric character. **Acta Materialia**, v. 84, p. 164-171, 2015. (6089) - Fator de Impacto em 2014: 4,465
 40. SIMIONI, M.; ARAUJO, T. K.; MONLLEO, I. L.; MAURER- MORELLI, C. V.; GIL-DASILVA-LOPES, V. L. Investigation of genetic factors underlying typical orofacial clefts: mutational screening and copy number variation. **Journal of Human Genetic**, v. 60, n. 1, p. 17-25, 2015. (6090) - Fator de Impacto em 2014: 2,462
 41. BAVA, Y.B.; MARTINEZ, Y. B.; BETANCOURT, A. M.; ERBEN, M. F.; CAVASSO-FILHO, R. L.; DELLA VÉDOVA, C. O.; ROMANO, R. M. Ionic fragmentation mechanisms of 2,2,2-trifluoroethanol following excitation with synchrotron radiation. **ChemPhysChem**, v. 16, n. 2, p. 322-330, 2015. (6091) - Fator de Impacto em 2014: 3,419

42. GONÇALVES, R. F.; CAVALCANTE, L. S.; NOGUEIRA, I. C.; LONGO, E.; GODINHO, M. J.; SCZANCOSKI, J. C.; MASTELARO, V. R.; PINATTI, I. M.; ROSA, I. L.V.; MARQUES, A.P.A. Rietveld refinement, cluster modelling, growth mechanism and photoluminescence properties of CaWO₄:Eu³⁺ microcrystals. **CrystEngComm**, v. 17, n. 7, p. 1654-1666, 2015. (6092) - Fator de Impacto em 2014: 4,034
43. SOUSA, C. P.; COUTINHO NETO, M. D.; LIBERATO, M. S.; KUBOTA, L.T.; ALVES, W. A. Self-assembly of peptide nanostructures onto an electrode surface for nonenzymatic oxygen sensing. **Journal of Physical Chemistry C**, v. 119, n. 2, p. 1038-1046, 2015. (6093) - Fator de Impacto em 2014: 4,772
44. CORNELSEN, P. A.; QUINTANILHA, R. C.; VIDOTTI, M.; GORIN, P. A. J.; SIMAS-TOSIN, F. F.; RIEGEL-VIDOTTI, I. C. Native and structurally modified gum arabic: Exploring the effect of the gum's microstructure in obtaining electroactive nanoparticles. **Carbohydrate Polymers**, v. 119, p. 35-43, 2015. (6095) - Fator de Impacto em 2014: 4,074
45. HARB, S. V.; SANTOS, F. C. DOS; CAETANO, B.L.; PULCINELLI, S. H.; SANTILLI, C. V.; HAMMER, P. Structural properties of cerium doped siloxane-PMMA hybrid coatings with high anticorrosive performance. **RSC Advances**, v. 5, n. 20, p. 15414-15424, 2015. (6096) - Fator de Impacto em 2014: 3,84
46. ANDRIEU-BRUNSEN, A.; MICOUREAU, S.; TAGLIAZUCCHI, M.; SZLEIFER, I; AZZARONI, O.; SOLER-ILLIA, G. J. A. A. Mesoporous hybrid thin film membranes with P-METAC@silica architectures: controlling ionic gating through the tuning of polyelectrolyte density. **Chemistry of Materials**, v. 27, n. 3, p. 808-821, 2015. (6097) - Fator de Impacto em 2014: 8,353
47. LÓPEZ, D.; ABE, I. Y.; PEREYRA, I. Temperature effect on the synthesis of carbon nanotubes and core-shell Ni nanoparticle by thermal CVD. **Diamond and Related Materials**, v. 52, p. 59-65, 2015. (6099) - Fator de Impacto em 2014: 1,919
48. LARA, L. R. S.; ZOTTIS, A. D.; ELIAS, W. C.; FAGGION JR., D.; CAMPOS, C. E. M.; ACUÑA, J. J. S.; DOMINGOS, J. B. The catalytic evaluation of in situ grown Pd nanoparticles on the surface of Fe₃O₄@dextran particles in the p-nitrophenol reduction reaction. **RSC Advances**, v. 5, n. 11, p. 8289-8296, 2015. (6100) - Fator de Impacto em 2014: 3,84
49. AVANSI JR., W.; MENDONÇA, V. R.; LOPES, O. F.; RIBEIRO, C. Vanadium pentoxide 1-D nanostructures applied to dye removal from aqueous systems by coupling adsorption and visible-light photodegradation. **RSC Advances**, v. 5, n. 16, p. 12000-12006, 2015. (6101) - Fator de Impacto em 2014: 3,84
50. CATTO, A. C.; SILVA, L. F.; RIBEIRO, C.; BERNARDINI, S.; AGUIR, K.; LONGO, E.; MASTELARO, V. R. An easy method of preparing ozone gas sensors based on ZnO nanorods. **RSC Advances**, v. 5, n. 25, p. 19528-19533, 2015. (6122) - Fator de Impacto em 2014: 3,84
51. HECK, C. A.; SANTOS, J. H. Z. DOS; WOLF, C. R. Waterborne polyurethane: the effect of the addition or in situ formation of silica on mechanical properties and adhesion. **International Journal of Adhesion & Adhesives**, v. 58, p. 13-20, 2015. (6123) - Fator de Impacto em 2014: 1,773
52. MOREIRA, L. M.; FACINCANI, A.P.; FERREIRA, C. B.; FERREIRA, R. M.; FERRO, M.I.T.; GOZZO, F. C.; OLIVEIRA, J. C. F. DE; FERRO, J. A.; SOARES, M.

- R. Chemotactic signal transduction and phosphate metabolism as adaptive strategies during citrus canker induction by *Xanthomonas citri*. **Functional & Integrative Genomics**, v. 15, n. 2, p. 197-210, 2015. (6127) - Fator de Impacto em 2014: 2,479
53. JOANNI, E.; PERESSINOTTO, J.; DOMINGUES, P. S.; SETTI, G. O.; JESUS, D. P. Fabrication of molds for PDMS microfluidic devices by laser swelling of PMMA. **RSC Advances**, v. 5, n. 32, p. 25089-25096, 2015. (6129) - Fator de Impacto em 2014: 3,84
54. MORAES, T. S.; RABELO NETO, R. C.; RIBEIRO, M. C.; MATTOS, L. V.; KOURTELESIS, M.; VERYKIOS, X.; NORONHA, F. B. Effects of ceria morphology on catalytic performance of Ni/CeO₂ catalysts for low temperature steam reforming of ethanol. **Topics in Catalysis**, v. 58, n. 4-6, p. 281-294, 2015. (6132) - Fator de Impacto em 2014: 2,365
55. MARTINEZ, Y. B.; BAVA, Y.B.; ERBEN, M. F.; CAVASSO-FILHO, R. L.; ROMANO, R. M.; DELLA VÉDOVA, C. O. Photoexcitation, photoionization, and photofragmentation of CF₃CF₂CF₂C(O)Cl using synchrotron radiation between 13 and 720 eV. **Journal of Physical Chemistry A**, v. 119, n. 10, p. 1894-1905, 2015. (6133) - Fator de Impacto em 2014: 2,693
56. GUIMARÃES, L. C.; OLIVEIRA, C. F. R. DE; MARANGONI, S.; DE OLIVEIRA, D. G. L.; MACEDO, M. L. R. Purification and characterization of a Kunitz inhibitor from *Poincianella pyramidalis* with insecticide activity against the Mediterranean flour moth. **Pesticide Biochemistry and Physiology**, v.118, p. 1-9, 2015. (6135) - Fator de Impacto em 2014: 2,014
57. DALFOVO, M. C.; GIOVANETTI, L. J.; RAMALLO-LÓPEZ, J. M.; SALVAREZZA, R. C.; REQUEJO, F. G.; IBAÑEZ, F. J. Real-time monitoring distance changes in surfactant-coated Au nanoparticle films upon volatile organic compounds (VOCs). **Journal of Physical Chemistry C**, v. 119, n. 9, p. 5098-5106, 2015. (6136) - Fator de Impacto em 2014: 4,772
58. DA SILVA, L. B. S.; SERRANO, G.; SERQUIS, A.; METZNER, V. C. V.; RODRIGUES JR., D. Study of TaB₂ and SiC additions on the properties of MgB₂ superconducting bulks. **Superconductor Science & Technology**, v. 28, n. 2, p. 025008, 2015. (6137) - Fator de Impacto em 2014: 2,325
59. ROZENFELD, J. H. K.; DUARTE, E. L.; BARBOSA, L. R. S.; LAMY, M. T. The effect of an oligonucleotide on the structure of cationic DODAB vesicles. **Physical Chemistry Chemical Physics (PCCP)**, v. 17, n. 11, p. 7498-7506, 2015. (6140) - Fator de Impacto em 2014: 4,493
60. SHIROMA, L. S.; MARQUES, T. T.; JESUS, D. P. A rapid and simple capillary electrophoresis method for indirect determination of the biocide 2,2-dibromo-3-nitrilopropionamide (DBNPA) in cooling waters. **Water Science & Technology**, v. 71, n. 3. p. 434-439, 2015. (6152) - Fator de Impacto em 2014: 1,106
61. SANTILLÁN, J. M. J.; VAN RAAP, M. B. F.; ZÉLIS, P. M.; CORAL, D. F.; MURACA, D.; SCHINCA, D. C.; SCAFFARDI, L. B. Ag nanoparticles formed by femtosecond pulse laser ablation in water: self-assembled fractal structures. **Journal of Nanoparticle Research**, v. 17, n. 2, p. 86-99, 2015. (6154) - Fator de Impacto em 2014: 2,184
62. SOUZA, D. P.; OKA, G. U.; ALVAREZ-MARTINEZ, C. E.; BISSON-FILHO, A. W.; DUNGER, G.; HOBEIKA, L.; CAVALCANTE, N. S.; ALEGRIA, M. C.; BARBOSA, L. R. S.; SALINAS, R. K.; GUZZO, C. R.; FARAH, C. S. Bacterial killing via a type IV secretion

- system. **Nature Communications**, v. 6, p. 6453, 2015. (6157) - Fator de Impacto em 2014: 11,47
63. BALZER, R.; PROBST, L. F. D.; CANTARERO, A.; LIMA JR., M.M.; BERNARDI, M. I. B.; AVANSI JR., W.; ARENAL, R.; FAJARDO, H. V. Ce_{1-x}Co_xO₂ nanorods prepared by microwave-assisted hydrothermal method: novel catalysts for removal of volatile organic compounds. **Science of Advanced Materials**, v. 7, n. 7, p. 1406-1414, 2015. (6158) - Fator de Impacto em 2014: 2,598
64. TEICHMANN, A.; VARGAS, D. M.; MONTEIRO, K. M.; MENEGHETTI, B. V.; DUTRA, C. S.; PAREDES, R.; GALANTI, N.; ZAHA, A.; FERREIRA, H. B. Characterization of 14-3-3 isoforms expressed in the Echinococcus granulosus pathogenic larval stage. **Journal of Proteome Research**, v. 14, n. 4, p. 1700-1715, 2015. (6159) - Fator de Impacto em 2014: 4,245
65. NASCIMENTO, G. M. DO; PIM, W. D.; REIS, D. O.; SIMÕES, T. R. G.; PRADIE, N. A.; STUMPF, H. O. Characterization of compounds derived from copper-oxamate and imidazolium by X-ray absorption and vibrational spectroscopies. **Spectrochimica Acta A**, v. 142, p. 303-310, 2015. (6160) - Fator de Impacto em 2014: 2,353
66. MARQUES, T. T.; SHIROMA, L. S.; JESUS, D. P. Determination of tetrakis(hydroxymethyl)phosphonium sulfate in commercial formulations and cooling water by capillary electrophoresis with contactless conductivity detection. **Journal of Separation Science**, v. 38, n. 5, p. 852-857, 2015. (6161) - Fator de Impacto em 2014: 2,737
67. KELLERMANN, G.; GORGESKI, A.; CRAIEVICH, A.; MONTORO, L. A. Determination of the melting and freezing temperatures of Pb nanoparticles embedded in a PbO-B₂O₃-SnO₂ glass by using only the SAXS method. **Journal of Applied Crystallography**, v. 48, n. 2, p. 520-527, 2015. (6162) - Fator de Impacto em 2014: 3,984
68. MORAIS, A.; ALVES, J. P. C.; LIMA, F. A. S.; LIRA- CANTU, M.; NOGUEIRA, A. F. Enhanced photovoltaic performance of inverted hybrid bulk-heterojunction solar cells using TiO₂/reduced graphene oxide films as electron transport layers. **Journal of Photonics for Energy**, v. 5, p. 057408, 2015. (6167) - Fator de Impacto em 2014: 1,366
69. MOREJON- ALONSO, L.; MOTISUKE, M.; CORREA, J. R.; CARRODEGUAS, R. G.; SANTOS, L. A. In situ Synchrotron X-ray powder diffraction study of the early hydration of alpha-tricalcium phosphate/tricalcium silicate composite bone cement. **Materials Research**, v. 18, n. 1, p. 164-169, 2015. (6172) - Fator de Impacto em 2014: 0
70. NIGOGHOSSIAN, K.; SANTOS, M. V.; BARUD, H. S.; SILVA, R. R.; ROCHA, L. A.; CAIUT, J.M.A.; ASSUNÇÃO, R. M. N.; SPANHEL, L.; POULAIN, M.; MESSADDEQ, Y.; RIBEIRO, S. J. L. Orange pectin mediated growth and stability of aqueous gold and silver nanocolloids. **Applied Surface Science**, v. 341, p. 28-36, 2015. (6176) - Fator de Impacto em 2014: 2,711
71. ALEXANDRE, F.; ZAGO, V. H. S.; PANZOLDO, N. B.; PARRA, E. R.; SCHERRER, D. Z.; VENDRAME, F.; NUNES, V. S.; GOMES, E. I. L.; MARCATO, P. D.; NAKANDAKARE, E. R.; QUINTÃO, E. C. R.; FARIA, E. C. Reference values for high-density lipoprotein particle size and volume by dynamic light scattering in a Brazilian population sample and their relationships with metabolic parameters. **Clinica Chimica Acta**, v. 442, p. 63-72, 2015. (6177) - Fator de Impacto em 2014: 2,824

72. JANISSEN, R.; MURILLO, D. M.; NIZA, B.; SAHOO, P. K.; NOBREGA, M. M.; CESAR, C. L.; TEMPERINI, M. L. A.; CARVALHO, H. F.; SOUZA, A. A.; COTTA, M. A. Spatiotemporal distribution of different extracellular polymeric substances and filamentation mediate *Xylella fastidiosa* adhesion and biofilm formation. **Scientific Reports**, v. 5, p. 9856, 2015. (6178) - Fator de Impacto em 2014: 5,578
73. ALVES, W. A.; DECANDIO, C. C.; SILVA, E. R.; HAMLEY, I. W.; CASTELLETTO, V.; LIBERATO, M. S.; OLIVEIRA JR., V. X.; OLIVEIRA, C. L. P. Self-assembly of a designed alternating arginine/phenylalanine oligopeptide. **Langmuir**, v. 31, n. 15, p. 4513-4523, 2015. (6179) - Fator de Impacto em 2014: 4,457
74. SANTOS, E. B.; MADALOSI, N. V.; SIGOLI, F. A.; MAZALI, I. O. Silver nanoparticles: green synthesis, self-assembled nanostructures and their application as SERS substrates. **New Journal of Chemistry**, v.39, n. 4, p. 2839-2846, 2015. (6180) - Fator de Impacto em 2014: 3,086
75. RANGEL, T. C.; MICHELS, A. F.; HOROWITZ, F.; WEIBEL, D. E. Superomniphobic and easily repairable coatings on copper substrates based on simple immersion or spray processes. **Langmuir**, v. 31, n. 11, p. 3465-3472, 2015. (6181) - Fator de Impacto em 2014: 4,457
76. FRANCO, D. F.; SANT'ANA, A. C.; DE OLIVEIRA, L. F. C.; SILVA, M. A. P. The Sb₂O₃ redox route to obtain copper nanoparticles in glasses with plasmonic properties. **Journal of Materials Chemistry C**, v. 3, n. 15, p. 3803-3808, 2015. (6182) - Fator de Impacto em 2014: 4,696
77. MORELHÃO, S. L.; AMIRKHANYAN, Z. G.; REMÉDIOS, C. M. R. Absolute refinement of crystal structures by X-ray phase measurements. **Acta Crystallographica A**, v. 71, n. 3, p. 291-296, 2015. (6184) - Fator de Impacto em 2014: 2,325
78. BERNARDES, A.; TEXTOR, L. C.; SANTOS, J. C.; CUADRADO, N. H.; KOSTETSKY, E. Y.; ROIG, M. G.; BAVRO, V. N.; MUNIZ, J. R. C.; SHNYROV, V. L.; POLIKARPOV, I. Crystal structure analysis of peroxidase from the palm tree *Chamaerops excelsa*. **Biochimie**, v. 111, p. 58-69, 2015. (6186) - Fator de Impacto em 2014: 2,963
79. MATOS, B. R.; SANTIAGO, E. I.; REY, J. F. Q.; SCURACCHIO, C. H.; MANTOVANI, G. L.; HIRANO, L. A.; FONSECA, F. C. dc proton conductivity at low-frequency in nafion conductivity spectrum probed by time-resolved SAXS measurements and impedance spectroscopy. **Journal of Polymer Science B**, v. 53, n.11, p. 822-828, 2015. (6187) - Fator de Impacto em 2014: 3,83
80. MESQUITA, A.; RHODES, F. P.; SILVA, R. T.; NEVES, P. P.; ZEVALLOS, A. O.; ANDREETA, M. R. B.; LIMA JR., M.M.; CANTARERO, A.; SILVA, I. S.; BOSELLI, M. A.; GRATENS, X.; CHITTA, V. A.; DORIGUETTO, A. C.; FERRAZ, W. B.; SABIONI, A. C. S.; CARVALHO, H. B. Dynamics of the incorporation of Co into the wurtzite ZnO matrix and its magnetic properties. **Journal of Alloys and Compounds**, v. 637, p. 407-417, 2015. (6188) - Fator de Impacto em 2014: 2,999
81. FASSBENDER, R. U.; LILGE, T. S.; CAVA, S.; ANDRÉS, J.; SILVA, L. F.; MASTELARO, V. R.; LONGO, E.; MOREIRA, M. L. Fingerprints of short-range and long-range structure in BaZr_{1-x}Hf_xO₃ solid solutions: an experimental and theoretical study. **Physical Chemistry Chemical Physics (PCCP)**, v. 17, n. 17, p. 11341-11349, 2015. (6189) - Fator de Impacto em 2014: 4,493

82. COELHO, T.; MICHA, R.; ARIAS, S.; LICEA, Y. E.; PALACIO, L. A.; FARO JR., A. C. Influence of the Mg²⁺ or Mn²⁺ contents on the structure of NiMnAl and CoMgAl hydrotalcite materials with high aluminum contents. **Catalysis Today**, v. 250, p. 87-94, 2015. (6196) - Fator de Impacto em 2014: 3,893
83. SILVA, L. F.; MASTELARO, V. R.; CATTO, A. C.; ESCANHOELA JR., C. A.; BERNARDINI, S.; ZILIO, S. C.; LONGO, E.; AGUIR, K. Ozone and nitrogen dioxide gas sensor based on a nanostructured SrTi_{0.85}Fe_{0.15}O₃ thin film. **Journal of Alloys and Compounds**, v. 638, p. 374-379, 2015. (6200) - Fator de Impacto em 2014: 2,999
84. CORTINES, J. R.; LIMA, L. M. T. R.; MOHANA-BORGES, R.; MILLEN, T. A.; GSAPAR, L. P.; LANMAN J. K.; PREVELIGE JR., P. E.; SILVA, J. L. Structural insights into the stabilization of the human immunodeficiency virus type 1 capsid protein by the cyclophilin-binding domain and implications on the virus cycle. **Biochimica et Biophysica Acta. Proteins and Proteomics**, v. 1854, n. 5, p. 341, 348, 2015. (6202) - Fator de Impacto em 2014: 2,747
85. GARCÍA- BASABE, Y.; YAMAMOTO, N. A. D.; ROMAN, L. S.; ROCCO, M. L. M. The effect of thermal annealing on the charge transfer dynamics of a donor-acceptor copolymer and fullerene: F8T2 and F8T2: PCBM. **Physical Chemistry Chemical Physics (PCCP)**, v. 17, n. 17, p. 11244-11251, 2015. (6204) - Fator de Impacto em 2014: 4,493
86. BOITA, J.; CASTEGNARO, M. V.; ALVES, M. C. M.; MORAIS, J. DE A dispenser-reactor apparatus applied for in situ XAS monitoring of Pt nanoparticle formation. **Journal of Synchrotron Radiation**, v. 22, n. 3, p. 736-744, 2015. (6210) - Fator de Impacto em 2014: 2,794
87. PEINETTI, A. S.; CERETTI, H.; MIZRAHI, M.; GONZÁLEZ, G. A.; RAMÍREZ, S. A.; REQUEJO, F. G.; MONTSERRAT, J. M.; BATTAGLINI, F. Confined gold nanoparticles enhance the detection of small molecules in label-free impedance aptasensors. **Nanoscale**, v. 7, n. 17, p. 7763-7769, 2015. (6211) - Fator de Impacto em 2014: 7,394
88. SANTHIAGO, M.; MARONEZE, C. M.; SILVA, C. C. C.; CAMARGO, M. N. L.; KUBOTA, L.T. Electrochemical oxidation of glassy carbon provides similar electrochemical response as graphene oxide prepared by tour or hummers routes. **ChemElectroChem**, v. 2, n. 5, p. 761-767, 2015. (6213) - Fator de Impacto em 2014: 0
89. KADOWAKI, M. A. S.; CAMILO, C. M.; MUNIZ, A. B.; POLIKARPOV, I. Functional characterization and low-resolution structure of an endoglucanase Cel45A from the filamentous fungus *Neurospora crassa* OR74A: thermostable enzyme with high activity toward lichenan and β-Glucan. **Molecular Biotechnology**, v. 57, n. 6, p. 574-588, 2015. (6217) - Fator de Impacto em 2014: 1,876
90. RAMIREZ- SARMIENTO, C. A.; BAEZ, M.; ZAMORRA, R. A.; BALASUBRAMANIAN, D.; BABUL, J.; KOMIVES, E. A.; GUIXÉ, V. The folding unit of Phosphofructokinase-2 as defined by the biophysical properties of a monomeric mutant. **Biophysical Journal**, v. 108, n. 9, p. 2350-2361, 2015. (6218) - Fator de Impacto em 2014: 3,972
91. MESQUITA, A.; MICHALOWICZ, A.; MASTELARO, V. R. XANES measurements probing the local order and electronic structure of Pb_{1-x}BaxZr_{0.40}Ti_{0.60}O₃ ferroelectric materials. **Journal of Alloys and Compounds**, v. 640, p. 355-361, 2015. (6219) - Fator de Impacto em 2014: 2,999

92. OLIVEIRA, G. A. P.; SILVA, J. L. A hypothesis to reconcile the physical and chemical unfolding of proteins. **Proceedings of the National Academy of Sciences USA**, v. 112, n. 21, p. E2775-2784, 2015. (6221) - Fator de Impacto em 2014: 9,674
93. SILVEIRA, L. T.; LIBERATORE, A. M. A.; KOH, I. H. J.; BIZETO, M. A.; CAMILO, F. F. Combined bactericidal activity of silver nanoparticles and hexadecylpyridinium salicylate ionic liquid. **Journal of Nanoparticle Research**, v. 17, n. 3, p. 129-139, 2015. (6226) - Fator de Impacto em 2014: 2,184
94. MIYAMOTO, K. N.; MONTEIRO, K. M.; CAUMO, K. S.; LORENZATTO, K. R.; FERREIRA, H. B.; BRANDELLI, A. Comparative proteomic analysis of *Listeria monocytogenes* ATCC 7644 exposed to a sublethal concentration of nisin. **Journal of Proteomics**, v. 119, p. 230-237, 2015. (6227) - Fator de Impacto em 2014: 3,888
95. CASSINELLI, W. H.; MARTINS, L.; PASSOS, A. R.; PULCINELLI, S. H.; ROCHET, A.; BRIOIS, V.; SANTILLI, C. V. Correlation between structural and catalytic properties of copper supported on porous alumina for the ethanol dehydrogenation reaction. **ChemCatChem**, v. 7, n. 11, p. 1668-1677, 2015. (6271) - Fator de Impacto em 2014: 4,556
96. DE ALMEIDA, A. C.; DA SILVA, A. R. P.; NAKAMURA FILHO, A.; DE CARVALHO, M. D.; CARDOSO, A. V. Nacre compared to aragonite as a bone substitute: evaluation of bioactivity and biocompatibility. **Materials Research**, v. 18, n. 2, p. 395-403, 2015. (6272) - Fator de Impacto em 2014: 0
97. MARÇAL, L. A. B.; DE FARIA, E. H.; NASSAR, E. J.; TRUJILLANO, R.; MARTIN, N.; VICENTE, M. A.; RIVES, V.; GIL, A.; KORILI, S. A.; CIUFFI, K. J. Organically modified saponites: SAXS study of swelling and application in caffeine removal. **ACS Applied Materials & Interfaces**, v. 7, n. 20, p. 10853-10862, 2015. (6273) - Fator de Impacto em 2014: 6,723
98. SCHAFER, D.; GRANDE, P. L.; PEREIRA, L. G.; AZEVEDO, G. DE M.; HARRES, A.; SOUSA, M. A.; PELEGRINI, F.; GESHEV, J. Antiparallel interface coupling evidenced by negative rotatable anisotropy in IrMn/NiFe bilayers. **Journal of Applied Physics**, v. 117, n. 21, p. 215301, 2015. (6280) - Fator de Impacto em 2014: 2,183
99. SILVA, T. A.; ZANIN, H. G.; VICENTINI, FE. C.; CORAT, E. J.; FATIBELLO-FILHO, O. Electrochemical determination of rosuvastatin calcium in pharmaceutical and human body fluid samples using a composite of vertically aligned carbon nanotubes and graphene oxide as the electrode material. **Sensors and Actuators B**, v. 218, p. 51-59, 2015. (6281) - Fator de Impacto em 2014: 4,097
100. BALASHOV, S.; BALACHOVA, O.; BRAGA, A. V. U.; MOSHKALEV, S. A. Influence of the deposition parameters of graphene oxide nanofilms on the kinetic characteristics of the SAW humidity sensor. **Sensors and Actuators B**, v. 217, p. 88-91, 2015. (6283) - Fator de Impacto em 2014: 4,097
101. SANTOS, E. B.; SIGOLI, F. A.; MAZALI, I. O. Intercalated 4-Aminobenzenethiol between Au and Ag nanoparticles: effects of concentration and nanoparticles neighborhood on its SERS response. **Journal of Brazilian Chemical Society**, v. 26, n. 5, p. 970-977, 2015. (6284) - Fator de Impacto em 2014: 1,129
102. SETTI, G. O.; MAMIÁN-LÓPEZ, M. B.; PESSOA, P. R.; POPPI, R. J.; JOANNI, E.; JESUS, D. P. Sputtered gold-coated ITO nanowires by alternating depositions from

- Indium and ITO targets for application in surface-enhanced Raman scattering. **Applied Surface Science**, v. 347, p. 17-22, 2015. (6285) - Fator de Impacto em 2014: 2,711
103. ROCHA, B. A. M.; TEIXEIRA, C. S.; SILVA-FILHO, J. C.; NÓBREGA, R. B.; ALENCAR, D. B.; NASCIMENTO, K. S.; FREIRE, V. N.; GOTTFRIED, C. J. S.; NAGANO, C. S.; SAMPAIO, A. H.; SAKER-SAMPAIO, S.; CAVADA, B. S.; DELATORRE, P. Structural basis of ConM binding with resveratrol, an anti-inflammatory and antioxidant polyphenol. **International Journal of Biological Macromolecules**, v. 72, p. 1136-1142, 2015. (6286) - Fator de Impacto em 2014: 2,858
104. BACHEGA, J.F.R.; MALUF, F. V.; ANDI, B.; PEREIRA, H. D'M.; CARAZZOLLE, M. F.; ORVILLE, A. M.; TABAK, M.; BRANDÃO NETO, J. R.; GARRATT, R. C.; REBOREDO, E. H. The structure of the giant haemoglobin from *Glossoscolex paulistus*. **Acta Crystallographica D**, v. 71, n. 6, p. 1257-1271, 2015. (6287) - Fator de Impacto em 2014: 2,68
105. ZANCHET, D.; SANTOS, J. B. O.; DAMYANOVA, S.; GALLO, J. M. R.; BUENO, J. M. C. Toward understanding metal-catalyzed ethanol reforming. **ACS Catalysis**, v. 5, nr. 6, p. 3841-3863, 2015. (6288) - Fator de Impacto em 2014: 9,311
106. CERRUTTI, B. M.; MORAES, M. L.; PULCINELLI, S. H.; SANTILLI, C. V. Lignin as immobilization matrix for HIV p17 peptide used in immunosensing. **Biosensors & Bioelectronics**, v. 71, p. 420-426, 2015. (6312) - Fator de Impacto em 2014: 6,409
107. CARRERAS, A. C.; CANGIANO, M. DE LOS, A.; OJEDA, M. W.; RUIZ, M. DEL C. Characterization of Cu-Ni nanostructured alloys obtained by a chemical route. Influence of the complexing agent content in the starting solution. **Materials Characterization**, v. 101, p. 40-48, 2015. (6326) - Fator de Impacto em 2014: 1,845
108. SANTIAGO, A. S.; SANTOS, C. A.; MENDES, J. S.; TOLEDO, M. A. S.; BELOTI, L. L.; SOUZA, A. A.; SOUZA, A. P. Characterization of the LysR-type transcriptional regulator YcjZ-like from *Xylella fastidiosa* overexpressed in *Escherichia coli*. **Protein Expression and Purification**, v. 113, p. 72-78, 2015. (6327) - Fator de Impacto em 2014: 1,695
109. MAZZO, T. M.; LIBANORI, G. S. N.; MOREIRA, M. L.; AVANSI JR., W.; MASTELARO, V. R.; VARELA, J. A.; LONGO, E. Influence of titanium precursor on photoluminescent emission of micro-cube-shaped CaTiO₃. **Journal of Luminescence**, v. 165, p. 130-137, 2015. (6329) - Fator de Impacto em 2014: 2,719
110. SOUZA, E. E. S.; SANTOS, A. F. T. O.; GONZAGA, I. M. D.; ALVES, N. R.; COSTA, L. P. DA; SILVA, L. S. R.; EGUILUZ, K. I. B.; SALAZAR-BANDA, G. R.; CAVALCANTI, E. B. Ruthenium-tin oxides-coated graphite felt: Enhanced active area and improved efficiency for the electrochemical generation of hydrogen peroxide. **Ceramics International**, v. 41, p. 10293-10297, 2015. (6332) - Fator de Impacto em 2014: 2,605
111. VÁZQUEZ, S.; DAVYT, S.; BASBUS, J. F.; SOLDATI, A. L.; AMAYA, A.; SERQUIS, A.; FACCIO, R.; SUESCUN, L. Synthesis and characterization of La_{0.6}Sr_{0.4}Fe_{0.8}Cu_{0.2}O_{3-Δ} oxide as cathode for Intermediate temperature solid oxide fuel cells. **Journal of Solid State Chemistry**, v. 228, p. 208-213, 2015. (6333) - Fator de Impacto em 2014: 2,133
112. SANTIAGO-GONZÁLEZ, B.; VÁZQUEZ-VÁZQUEZ, C.; BLANCO-VARELA, M. C.; MARTINHO, J. M. G.; RAMALLO-LÓPEZ, J. M.; REQUEJO, F. G.; LÓPEZ-QUINTELA, M. A. Synthesis of water-soluble gold clusters in nanosomes displaying robust

- photoluminescence with very large Stokes shift. **Journal of Colloid and Interface Science**, v. 455, p. 154-162, 2015. (6334) - Fator de Impacto em 2014: 3,368
113. CAMILO, M. E.; SILVA, E. O.; KASSAB, L. R. P.; GARCIA, J. A. M.; ARAUJO, C. B. White light generation controlled by changing the concentration of silver nanoparticles hosted by Ho³⁺/Tm³⁺/Yb³⁺ doped GeO₂-PbO glasses. **Journal of Alloys and Compounds**, v. 644, p. 155-158, 2015. (6335) - Fator de Impacto em 2014: 2,999
114. FORTES-DIAS, C. L.; ORTOLANI, P. L.; FERNANDES, C. A. H.; LOBO, K. R.; MELO, L. A. DE; BORGES, M. H.; PAZIN, W. M.; OLIVEIRA NETO, M.; FERNANDEZ, R. M.; FONTES, M. R. M. Insights on the structure of native CNF, an endogenous phospholipase A(2) inhibitor from *Crotalus durissus terrificus*, the South American rattlesnake. **Biochimica et Biophysica Acta. Proteins and Proteomics**, v. 1844, p. 1569-1579, 2015. (6336) - Fator de Impacto em 2014: 2,747
115. SOARES, J. C.; SHIMIZU, F. M.; SOARES, A. C.; CASELI, L.; FERREIRA, J.; OLIVEIRA JR., O. N. Supramolecular control in nanostructured film architectures for detecting breast cancer. **ACS Applied Materials & Interfaces**, v. 7, n. 22, p. 1183-11841, 2015. (6339) - Fator de Impacto em 2014: 6,723
116. GARCEZ, E. O.; ALDRIDGE, L. P.; RAVEN, M.; GATES, W. P.; COLLINS, F.; FRANCO, M.; YOKAICHIYA, F. Synchrotron powder diffraction study of cements pastes. **Journal of the Australian Ceramic Society**, v. 51, n. 2, p. 47-53, 2015. (6345) - Fator de Impacto em 2014: 0,658
117. ARBOLEDA, D. M.; SANTILLÁN, J. M. J.; HERRERA, L. J. M.; VAN RAAP, M. B. F.; ZÉLIS, P. M.; MURACA, D.; SCHINCA, D. C.; SCAFFARDI, L. B. Synthesis of Ni nanoparticles by femtosecond laser ablation in liquids: structure and sizing. **Journal of Physical Chemistry C**, v. 199, n. 23, p. 13184-13193, 2015. (6347) - Fator de Impacto em 2014: 4,772
118. HUNT, S. T.; KOKUMAI, T. M.; ZANCHET, D.; ROMÁN-LESHKOV, Y. Alloying tungsten carbide nanoparticles with tantalum: impact on electrochemical oxidation resistance and hydrogen evolution activity. **Journal of Physical Chemistry C**, v. 119, n. 24, p. 13691-13699, 2015. (6348) - Fator de Impacto em 2014: 4,772
119. LOIOLA, L. M. D.; DUEK, E. A. R.; FELISBERTI, M. I. Amphiphilic multiblock copolymers of PLLA, PEO and PPO blocks: synthesis, properties and cell affinity. **European Polymer Journal**, v. 68, p.618-629, 2015. (6349) - Fator de Impacto em 2014: 3,005
120. RODRIGUES, E. M.; GASPAR, R.D.L.; MAZALI, I. O.; SIGOLI, F. A. Polydimethylsiloxane composites containing core-only lanthanide-doped oleylamine-stabilized LaF₃ nanoparticles with high emission lifetimes. **Journal of Materials Chemistry C**, v. 3, n. 24, p. 6376-6388, 2015. (6350) - Fator de Impacto em 2014: 4,696
121. SILVA, R. A. G.; PAGANOTTI, A.; SANTOS, C. M. A.; ADORNO, A. T.; CARVALHO, T. M. Precipitation hardening in the Cu-11 wt.%Al-10 wt.%Mn alloy with Ag addition. **Journal of Alloys and Compounds**, v. 643, p. S178-S181, 2015. (6351) - Fator de Impacto em 2014: 2,999
122. SARMENTO, V. H. V.; OBARA, P. A.; RIBEIRO, S. J. L.; NALIN, M.; MOLINA, C. PWA-diureasils organic-inorganic hybrids. Photochromism and effect of the organic chain length. **Optical Materials**, v. 46, p. 64-69, 2015. (6352) - Fator de Impacto em 2014: 1,981

123. PICKLER, A.; ALESSIO, R.; MOTA, C. L.; MANTUANO, A.; NOGUEIRA, L. P.; SALATA, C.; ALMEIDA, A. P.; SENA, G.; BRAZ, D.; ALMEIDA, C. E. V.; BARROSO, R. C. Quantitative analysis in femur of Wistar rats after chemotherapy treatment for breast cancer using synchrotron X-ray microfluorescence and microtomography. **X-Ray Spectrometry**, v. 44, n. 4, p. 305-310, 2015. (6353) - Fator de Impacto em 2014: 1,348
124. BOLZAN, M. S.; ORLANDO, M. T. D.; PASSOS, C. A. C. Critical current model for polycrystalline compounds with an intrinsic solid solution of two mixed superconductor phases. **Journal of Superconductivity and Novel Magnetism**, v. 28, n. 7, p. 1875-1880, 2015. (6356) - Fator de Impacto em 2014: 0,909
125. LEITÃO, R.; SANTOS, C. A.; PALUMBO JR., A.; SOUZA, P.; CANELLAS, C. G. L.; ANJOS, M. J. DOS; NASCIUTTI, L. E.; LOPES, R. T. Study of response to zinc in human prostate spheroids using x-ray microfluorescence. **IEEE Transactions on Instrumentation and Measurements**, v. 64, n. 8, p. 2121-2126, 2015. (6357) - Fator de Impacto em 2014: 1,79
126. BUCETA, D.; BUSTO, N.; BARONE, G.; LEAL, J. M.; DOMÍNGUEZ, F.; GIOVANETTI, L. J.; REQUEJO, F. G.; GARCIA, B.; LÓPEZ-QUINTELA, A. Ag-2 and Ag-3 clusters: synthesis, characterization, and interaction with DNA. **Angewandte Chemie International Edition**, v. 54, n. 26, p. 7612-7616, 2015. (6359) - Fator de Impacto em 2014: 11,26
127. HERRERA, M. L.; RODRIGUEZ-BATILLER, M. J.; RINCÓN-CARDONA, J. A.; AGUDELO-LAVERDE, L. M.; MARTINI, S.; CANDAL, R. J. effect of cooling rate and temperature cycles on polymorphic behavior of sunflower oil stearins for applications as trans-fat alternatives in foods. **Food and Bioprocess Technology**, v. 8, n. 8, p. 1779-1790, 2015. (6361) - Fator de Impacto em 2014: 2,691
128. ARAÚJO, J. A.; ARAUJO, G. M.; SOUZA, R. M.; TSCHIPTSCHIN, A. P. Effect of periodicity on hardness and scratch resistance of CrN/NbN nanoscale multilayer coating deposited by cathodic arc technique. **Wear**, v. 330-331, p. 469-477, 2015. (6363) - Fator de Impacto em 2014: 1,913
129. SILVA, W. L.; LANSARIN, M. A.; LIVOTTO, P. R.; DOS SANTOS, J. H. Z. Photocatalytic degradation of drugs by supported titania-based catalysts produced from petrochemical plant residue. **Powder Technology**, v. 279, p. 166-172, 2015. (6368) - Fator de Impacto em 2014: 2,349
130. BUCETA, D.; REQUEJO, F. G.; GIOVANETTI, L. J.; LÓPEZ-QUINTELA, M. A. Photostability of gold nanoparticles with different shapes: the role of Ag clusters. **Nanoscale**, v. 7, p. 11273-11279, 2015. (6369) - Fator de Impacto em 2014: 7,394
131. MOURA, A. L. A.; OLIVEIRA, L. K. DE; CIUFFI, K. J.; MOLINA, E. F. Influence of the hydrophilic/hydrophobic nature of polyetheramines on the interaction between amine-alcohol-silicate hybrids and anionic dyes for effective water cleaning. **Journal of Materials Chemistry A**, v. 3, p. 16020-16032, 2015. (6372) - Fator de Impacto em 2014: 7,443
132. FERREIRA, S. G.; CONCEIÇÃO, V. S.; GOUVEIA, N. S.; SANTOS, G. S.; SANTOS, R. L. C.; LIRA, A. A. M.; CAVALCANTI, S. C. H.; SARMENTO, V. H. V.; NUNES, R. S. An environmentally safe larvicide against *Aedes aegypti* based on in situ gelling nanostructured surfactant systems containing an essential oil. **Journal of Colloid and Interface Science**, v. 456, p. 190-196, 2015. (6373) - Fator de Impacto em 2014: 3,368

133. BASBUS, J. F.; CANEIRO, A.; SUESCUN, L.; LAMAS, D. G.; MOGNI, L. Anomalous X-ray diffraction study of Pr-substituted BaCeO₃ (-) (Δ). **Acta Crystallographica B**, v. 71, pt.4, p. 455-462, 2015. (6374) - Fator de Impacto em 2014: 2,184
134. COSTA, J. A. S.; GARCIA, A. C. F. S.; SANTOS, D. O.; SARMENTO, V. H. V.; MESQUITA, M. E.; ROMÃO, L. P. C. Applications of inorganic-organic mesoporous materials constructed by self-assembly processes for removal of benzo[k]fluoranthene and benzo[b]fluoranthene. **Journal of Sol-Gel Science and Technology**, v. 75, n. 3, p. 495-507, 2015. (6375) - Fator de Impacto em 2014: 1,532
135. FONSECA, E. M. B.; TRIVELLA, D. B. B.; SCORSATO, V.; DIAS, M. P.; BAZZO, N. L.; MANDAPATI, K. R.; OLIVEIRA, F. L.; FERREIRA-HALDER, C. V.; PILLI, R. A.; MIRANDA, P. C. M. L.; APARICIO, R. Crystal structures of the apo form and a complex of human LMW-PTP with a phosphonic acid provide new evidence of a secondary site potentially related to the anchorage of natural substrates. **Bioorganic & Medicinal Chemistry**, v. 23, n. 15, p. 4462-4471, 2015. (6376) - Fator de Impacto em 2014: 2,793
136. HURTADO- NOREÑA, C.; DANÓN, C. A.; LUPPO, M. I.; BRUZZONI, P. Evolution of minor phases in a 9PctCr steel: effect of tempering temperature and relation with hydrogen trapping. **Metallurgical and Materials Transactions A**, v. 46, n. 9, p. 3972-3988, 2015. (6380) - Fator de Impacto em 2014: 1,73
137. CORTEZ, M.L.; CEOLÍN, M. R.; AZZARONI, O.; BATTAGLINI, F. Formation of redox-active self-assembled polyelectrolyte-surfactant complexes integrating glucose oxidase on electrodes: Influence of the self-assembly solvent on the signal generation. **Bioelectrochemistry**, v. 105, p. 117-122, 2015. (6381) - Fator de Impacto em 2014: 4,172
138. ROCHA, L. A.; FREIRIA, J.C.; CAIUT, J.M.A.; RIBEIRO, S. J. L.; MESSADDEQ, S. H.; VERELST, M.; DEXPERT-GHYS, J. Luminescence properties of Eu-complex formations into ordered mesoporous silica particles obtained by the spray pyrolysis process. **Nanotechnology**, v. 26, n. 33, p. 335604, 2015. (6382) - Fator de Impacto em 2014: 3,821
139. BETANCOURT, A. M.; BAVA, Y.B.; MARTINEZ, Y. B.; ERBEN, M. F.; CAVASSO-FILHO, R. L.; DELLA VÉDOVA, C. O.; ROMANO, R. M. Photofragmentation mechanisms of chlorosulfonyl isocyanate, ClSO₂NCO, excited with synchrotron radiation between 12 and 550 eV. **Journal of Physical Chemistry A**, v. 119, n. 29, p. 8021-8030, 2015. (6383) - Fator de Impacto em 2014: 2,693
140. OLIVEIRA, D. S.; TIZEI, L. H. G.; LI, A.; VASCONCELOS, T. A.; SENNA, C. A.; ARCHANJO, B. S.; UGARTE, D. M.; COTTA, M. A. Interaction between lamellar twinning and catalyst dynamics in spontaneous core-shell InGaP nanowires. **Nanoscale**, v. 7, n. 29, p. 12722-12727, 2015. (6384) - Fator de Impacto em 2014: 7,394
141. BERNINI, R. B.; COUTINHO, L. H.; NUNEZ, C. V.; CASTILHO, R. B.; SOUZA, G. G. B. DE Ionic fragmentation of the isoprene molecule in the VUV energy range (12 to 310 eV). **Journal of Electron Spectroscopy and Related Phenomena**, v. 119, n. 31, p. 107-111, 2015. (6385) - Fator de Impacto em 2014: 1,436
142. FRIZON, T. E. A.; MICHELETTO, Y. M. S.; WESTRUP, J. L.; WAKABAYASHI, P. S. S.; SERAFIM, F. R.; DAMIANI, A. P.; LONGARETTI, L. M.; ANDRADE, V. M.; GIACOMELLI, F. C.; FORT, S.; DAL BÓ, A. G. New glycosylated conjugate copolymer N-acetyl-beta-D-glucosaminyl-pluronic: synthesis, self-assembly and biological

- assays. **Colloids and Surfaces B**, v. 133, p. 323-330, 2015. (6391) - Fator de Impacto em 2014: 4,152
143. ACUÑA, L. M.; MUÑOZ, F. F.; ALBORNOZ, C. A.; LEYVA, A. G.; BAKER, R. T.; FUENTES, R. O. Nanostructured terbium-doped ceria spheres: effect of dopants on their physical and chemical properties under reducing and oxidizing conditions. **Journal of Materials Chemistry A**, v. 3, n. 31, p. 16120-16131, 2015. (6392) - Fator de Impacto em 2014: 7,443
144. GERONÉS, M.; PIRANI, L. S. R.; ERBEN, M. F.; ROMANO, R. M.; CAVASSO-FILHO, R. L.; TONG, S. R.; GE, M.; DELLA VÉDOVA, C. O. Photoelectron spectroscopy and ionic fragmentation of OSeCl₂ and its analogue OSCI₂ under VUV irradiation. **Journal of Physical Chemistry A**, v. 119, p. 8000-8009, 2015. (6394) - Fator de Impacto em 2014: 2,693
145. SILVEIRA, A. B.; LARANJEIRA, A. B. A.; RODRIGUES, G. O. L.; LEAL, P. C.; CARDOSO, B. A.; BARATA, J. T.; YUNES, R. A.; ZANCHIN, N. I. T.; BRANDALISE, S. R.; YUNES, J. A. PI3K inhibition synergizes with glucocorticoids but antagonizes with methotrexate in T-cell acute lymphoblastic leukemia. **Oncotarget**, v. 6, n. 15, p. 13105-13118, 2015. (6396) - Fator de Impacto em 2014: 6,359
146. DORES-SILVA, P. R.; BELOTI, L. L.; MINARI, K.; SILVA, S. M. O.; BARBOSA, L. R. S.; BORGES, J. C. Structural and functional studies of Hsp70-escort protein-Hep1-of *Leishmania braziliensis*. **International Journal of Biological Macromolecules**, v. 79, p. 903-912, 2015. (6398) - Fator de Impacto em 2014: 2,858
147. ZIMICZ, M. G.; PRADO, F. D.; SOLDATI, A. L.; LAMAS, D. G.; LARRONDO, S. A. XPD and XANES studies of Ce_{0.9}Zr_{0.1}O₂ nanocatalysts under redox and catalytic CH₄ oxidation conditions. **Journal of Physical Chemistry C**, v. 119, n. 33, p. 19210-19217, 2015. (6399) - Fator de Impacto em 2014: 4,772
148. FATAYER, S.; VEIGA, R. G. A.; PRIETO, M. J.; PERIM, E.; LANDERS, R.; MIWA, R. H.; SIERVO, A. DE Self-assembly of NiTPP on Cu(111): a transition from disordered 1D wires to 2D chiral domains. **Physical Chemistry Chemical Physics (PCCP)**, v. 17, n. 28, p. 18344-18352, 2015. (6400) - Fator de Impacto em 2014: 4,493
149. CHAGAS, G. R.; SATYANARAYANA, V. S. V.; KESSLER, F.; BELMONTE, G. K.; GONSALVES, K. E.; WEIBEL, D. E. Selective fragmentation of radiation-sensitive novel polymeric resist materials by inner-shell irradiation. **ACS Applied Materials & Interfaces**, v. 7, n. 30, p. 16348-16356, 2015. (6405) - Fator de Impacto em 2014: 6,723
150. ARAUJO, S. S.; NEVES, C. M. L.; GUIMARÃES, S. L.; WHITTMAN, C. P.; JOHNSON JR., W. H.; APARICIO, R.; NAGEM, R. A. P. Structural and kinetic characterization of recombinant 2-hydroxymuconate semialdehyde dehydrogenase from *Pseudomonas putida* G7. **Archives of Biochemistry and Biophysics**, v. 579, p. 8-17, 2015. (6408) - Fator de Impacto em 2014: 3,017
151. FERNANDES, C. A. H.; CARDOSO, F. F.; CAVALCANTE, W. L. G.; SOARES, A. M.; DAL PAI, M.; GALLACCI, M.; FONTES, M. R. M. Structural basis for the inhibition of a phospholipase A(2)-like toxin by caffeic and aristolochic acids. **PloS One**, v. 10, n. 7, p. e0133370, 2015. (6409) - Fator de Impacto em 2014: 3,234
152. LATGE, C.; CABRAL, K. M. S.; OLIVEIRA, G. A. P.; RAYMUNDO, D. P.; FREITAS, J. A.; JOHANSON, L.; ROMÃO, L. F.; PALHANO, F. L.; HERRMANN, T.; ALMEIDA, M. S.; FOGUEL, D. The solution structure and dynamics of full-length human cerebral

- dopamine neurotrophic factor and its neuroprotective role against alpha-synuclein oligomers. **Journal of Biological Chemistry**, v. 290, n. 33, p. 20527-20540, 2015. (6411) - Fator de Impacto em 2014: 4,573
153. SILVA, R. A. G.; PAGANOTTI, A.; ADORNO, A. T.; SANTOS, C. M. A.; CARVALHO, T. M. Characteristics of the Cu-18.84 at.%Al-10.28 at.%Mn-1.57 at.%Ag alloy after slow cooling from high temperatures. **Journal of Thermal Analysis and Calorimetry**, v. 121, n. 3, p. 1233-1238, 2015. (6417) - Fator de Impacto em 2014: 2,042
154. SANTOS, J. C.; BERNARDES, A.; GIAMPIETRO, L.; AMMAZZALORSO, A.; DE FILIPPIS, B.; AMORE, R.; POLIKARPOV, I. Different binding and recognition modes of GL479, a dual agonist of peroxisome proliferator-activated receptor α/γ . **Journal of Structural Biology**, v. 191, n. 3, p. 332-340, 2015. (6422) - Fator de Impacto em 2014: 3,231
155. GONZÁLEZ-HENRÍQUEZ, C. M.; SARABIA-VALLEJOS, M. A. Electrospinning deposition of hydrogel fibers used as scaffold for biomembranes. Thermal stability of DPPC corroborated by ellipsometry. **Chemistry and Physics of Lipids**, v. 190, p. 51-60, 2015. (6427) - Fator de Impacto em 2014: 2,422
156. ROMEIRO, F. C.; MARINHO, J. Z.; LEMOS, S. C. S.; MOURA, A. P.; FREIRE, P. G.; SILVA, L. F.; LONGO, E.; MUNOZ, R. A. A.; LIMA, R. C. Rapid synthesis of Co, Ni co-doped ZnO nanoparticles: optical and electrochemical properties. **Journal of Solid State Chemistry**, v. 230, p. 343-349, 2015. (6448) - Fator de Impacto em 2014: 2,133
157. ALCANTARA, K. F.; GOMES, A. H. A.; WOLFF, W.; SIGAUD, L.; SANTOS, A. C. F. strong electronic selectivity in the shallow core excitation of the CH₂Cl₂ molecule. **Journal of Physical Chemistry A**, v. 119, n. 33, p. 8822-8831, 2015. (6452) - Fator de Impacto em 2014: 2,693
158. TORRE, L. M.; AURELIO, G.; GRANADO, E.; SÁNCHEZ, R. D. Structural study of Ni-substituted YBaCo_{4-x}Ni_xO₇ frustrated cobaltites. **Journal of Solid State Chemistry**, v. 230, p. 34-41, 2015. (6454) - Fator de Impacto em 2014: 2,133
159. TRINCA, R. B.; FELISBERTI, M. I. Effect of diisocyanates and chain extenders on the physicochemical properties and morphology of multicomponent segmented polyurethanes based on poly(L-lactide), poly(ethylene glycol) and poly(trimethylene carbonate). **Polymer International**, v. 64, n. 10, p. 1326-1335, 2015. (6493) - Fator de Impacto em 2014: 2,409
160. BILOVOL, V.; MARTÍNEZ-GARCÍA, R. Phase transformation of strontium hexagonal ferrite. **Journal of Physics and Chemistry of Solids**, v. 86, p. 131-137, 2015. (6494) - Fator de Impacto em 2014: 1,853
161. BORTOLOTTI, F.; GARCIA, A. C.; ANGELO, A. C. D. Electronic effect in intermetallic electrocatalysts with low susceptibility to CO poisoning during hydrogen oxidation. **International Journal of Hydrogen Energy**, v. 40, n. 34, p. 10816-10824, 2015. (6506) - Fator de Impacto em 2014: 3,313
162. LARRUDE, D. G.; GARCÍA- BASABE, Y.; FREIRE JR., F. L.; ROCCO, M. L. M. Electronic structure and ultrafast charge transfer dynamics of phosphorous doped graphene layers on a copper substrate: a combined spectroscopic study. **RSC Advances**, v. 5, n. 91, p. 74189-74197, 2015. (6507) - Fator de Impacto em 2014: 3,84

163. ALMEIDA, D. B.; THOMAZ, A. A.; CARVALHO, H. F.; CESAR, C. L. One- and two-photon photoluminescence excitation spectra of CdTe quantum dots in a cryogenic confocal microscopy platform. **Optics Express**, v. 23, n. 15, p. 19715-19727, 2015. (6508) - Fator de Impacto em 2014: 3,488
164. KALISZ, M.; CASSARO, R. A. A.; NOVAK, M. A.; ANDRUH, M.; AMORIM, H. S.; VAZ, M. G. F. A two-dimensional Cu-II-Mn-II heterometallic coordination polymer: structure determination using synchrotron X-ray powder diffraction and magnetic properties. **CrystEngComm**, v. 17, n. 38, p. 7423-7429, 2015. (6509) - Fator de Impacto em 2014: 4,034
165. AIROLDI, C.; ARCE, V. B.; GARGARELLO, R. M.; ORTEGA, F.; ROMANAMO, V.; MIZRAHI, M.; RAMALLO-LÓPEZ, J. M.; COBOS, C. J.; BERNADELLI, C.; DONATI, E. R.; MÁRTIRE, D. O. EXAFS and DFT study of the cadmium and lead adsorption on modified silica nanoparticles. **Spectrochimica Acta A**, v. 151, p. 156-163, 2015. (6511) - Fator de Impacto em 2014: 2,353
166. CEZAR, A. B.; GRAFF, I. L.; VARALDA, J.; SCHREINER, W. H.; MOSCA, D. H. Local order and the dependence of magnetization on Co content in V₂O₅ layered films. **Journal of Applied Physics**, v. 118, n. 10, p. 103903, 2015. (6512) - Fator de Impacto em 2014: 2,183
167. LÓPEZ, E. O.; MELLO, A.; FARINA, M.; ROSSI, A. M.; ROSSI, A. L. Nanoscale analysis of calcium phosphate films obtained by RF magnetron sputtering during the initial stages of deposition. **Surface and Coatings Technology**, v. 279, p. 16-24, 2015. (6513) - Fator de Impacto em 2014: 1,998
168. FREITAS, E. T. F.; MONTORO, L. A.; GASPARON, M.; CIMINELLI, V. S. T. Natural attenuation of arsenic in the environment by immobilization in nanostructured hematite. **Chemosphere**, v. 138, p. 340-347, 2015. (6514) - Fator de Impacto em 2014: 3,34
169. GOMES, A. H. A.; OLIVEIRA, R. R.; ROCHA, A. B.; WOLFF, W.; ALCANTARA, K. F.; SIGAUD, G. M.; SANTOS, A. C. F. Strong selectivity in symmetry forbidden vibronic transitions in deep core ionic photofragmentation of the SF₆ molecule. **International Journal of Mass Spectrometry**, v. 388, p. 9-16, 2015. (6516) - Fator de Impacto em 2014: 1,972
170. SCZANCOSKI, J. C.; AVANSI JR., W.; COSTA, M. G. S.; LI, M. S.; MASTELARO, V. R.; SANTOS, R. S.; LONGO, E.; CAVALCANTE, L. S. Effect of different strontium precursors on the growth process and optical properties of SrWO₄ microcrystals. **Journal of Materials Science**, v. 50, n. 24, p. 8089-8103, 2015. (6518) - Fator de Impacto em 2014: 2,371
171. GONZÁLEZ, C. M.; PIZARRO- GUERRA, G.; DROGUETT, F.; SARABIA, M. Artificial biomembrane based on DPPC- Investigation into phase transition and thermal behavior through ellipsometric techniques. **Biochimica et Biophysica Acta. Biomembranes**, v. 1848, n. 10, p. 2295-2307, 2015. (6522) - Fator de Impacto em 2014: 3,836
172. GONZÁLEZ-HENRÍQUEZ, C. M.; PIZARRO- GUERRA, G.; SARABIA-VALLEJOS, M. A.; TERRAZA, C. Thin and ordered hydrogel films deposited through electrospinning technique; a simple and efficient support for organic bilayers. **Biochimica et Biophysica Acta. Biomembranes**, v. 1848, n. 10, p. 2126-2137, 2015. (6523) - Fator de Impacto em 2014: 3,836

173. PICKLER, A.; MOTA, C. L.; MANTUANO, A.; SALATA, C.; NOGUEIRA, L. P.; ALMEIDA, A. P.; ALESSIO, R.; SENA, G.; BRAZ, D.; ALMEIDA, C. E. V.; BARROSO, R. C. X-ray microfluorescence as a tool to analyze elemental changes in femur head induced by chemotherapy drugs for the treatment of breast cancer. **Radiation Physics and Chemistry**, v. 116, p. 257-261, 2015. (6537) - Fator de Impacto em 2014: 1,38
174. VESTGARDEN, J. I.; COLAUTO, F.; DE ANDRADE, A. M. H.; OLIVEIRA, A. A. M.; ORTIZ, W. A.; JOHANSEN, T. H. Cascade dynamics of thermomagnetic avalanches in superconducting films with holes. **Physical Review B**, v. 92, n. 14, p. 144510, 2015. (6550) - Fator de Impacto em 2014: 3,736
175. SANTOS, C. A.; JANISSEN, R.; TOLEDO, M. A. S.; BELOTI, L. L.; AZZONI, A. R.; COTTA, M. A.; SOUZA, A. P. Characterization of the TolB-Pal trans-envelope complex from *Xylella fastidiosa* reveals a dynamic and coordinated protein expression profile during the biofilm development process. **Biochimica et Biophysica Acta. Proteins and Proteomics**, v. 1854, n. 10, p. 1372-1381, 2015. (6552) - Fator de Impacto em 2014: 2,747
176. ARRUDA, M. S.; MEDINA, A.; SOUSA, J. N.; MENDES, L. A. V.; MARINHO, R. R. T.; PRUDENTE, F. V. Ionization and fragmentation of formamide induced by synchrotron radiation in the valence region via photoelectron photoion coincidence measurements and density functional theory calculations. **Journal of Physical Chemistry A**, v. 119, n. 41, p. 10300-10308, 2015. (6554) - Fator de Impacto em 2014: 2,693
177. PENNAFIRME, S.; LIMA, I.; BITENCOURT, J. A.; CRAPEZ, M. A. C.; LOPES, R. T. Microbial biofilm study by synchrotron X-ray microscopy. **Radiation Physics and Chemistry**, v. 116, p. 116-119, 2015. (6556) - Fator de Impacto em 2014: 1,38
178. MARTINS, P. F.; TICIANELLI, E. A. Electrocatalytic activity and stability of platinum nanoparticles supported on carbon-molybdenum oxides for the oxygen reduction reaction. **ChemElectroChem**, v. 2, n. 9, p. 1298-1306, 2015. (6557) - Fator de Impacto em 2014: 0
179. SILVA, E. R.; WALTER, M. N. M.; REZA, M.; CASTELLETTO, V.; RUOKOLAINEN, J.; CONNOR, C. J.; ALVES, W. A.; HAMLEY, I. W. Self-assembled arginine-capped peptide bolaamphiphile nanosheets for cell culture and controlled wettability surfaces. **Biomacromolecules**, v. 16, n. 10, p. 3180- 3190, 2015. (6560) - Fator de Impacto em 2014: 5,75
180. BORDONI, A. V.; LOMBARDO, M. V.; REGAZZONI, A. E.; SOLER-ILLIA, G. J. A. A.; WOLOSIIUK, A. Simple thiol-ene click chemistry modification of SBA-15 silica pores with carboxylic acids. **Journal of Colloid and Interface Science**, v. 450, p. 316-324, 2015. (6561) - Fator de Impacto em 2014: 3,368
181. SALVADOR, G. H. M.; DREYER, T. R.; CAVALCANTE, W. L. G.; MATIOLI, F. F.; SANTOS, J. I.; VELAZQUEZ- CAMPOY, A.; GALLACCI, M.; FONTES, M. R. M. Structural and functional evidence for membrane docking and disruption sites on phospholipase A(2)-like proteins revealed by complexation with the inhibitor suramin. **Acta Crystallographica D**, v. 71, n. 10, p. 2066-2078, 2015. (6562) - Fator de Impacto em 2014: 2,68
182. GONZALES-CASTILLO, J. R.; RODRIGUEZ, E.; JIMENEZ-VILLAR, E.; RODRIGUEZ, D.; SALOMON- GARCIA, I.; DE SÁ, G. F.; GARCIA- FERNADEZ, T.; ALMEIDA, D. B.; CESAR, C. L.; JOHNES, R.; IBARRA, J. C. Synthesis of Ag@silica nanoparticles by

- assisted laser ablation. **Nanoscale**, v. 10, p. 399-407, 2015. (6563) - Fator de Impacto em 2014: 7,394
183. BARRALES, F. M.; REZENDE, C. A.; MARTINEZ, J. Supercritical CO₂ extraction of passion fruit (*Passiflora edulis* sp.) seed oil assisted by ultrasound. **The Journal of Supercritical Fluids**, v. 104, p. 183-192, 2015. (6585) - Fator de Impacto em 2014: 2,371
184. GONÇALVES, G. R.; SCHETTINO JR., M. A.; MORIGAKI, M. K.; NUNES, E.; CUNHA, A. G.; EMMERICH, F. G.; PASSAMANI, E. C.; BAGGIO-SAITOVICH, E.; FREITAS, J. C. C. Synthesis of nanostructured iron oxides dispersed in carbon materials and in situ XRD study of the changes caused by thermal treatment. **Journal of Nanoparticle Research**, v. 17, n. 7, p. 1-11, 2015. (6590) - Fator de Impacto em 2014: 2,184
185. VÁZQUEZ, S.; BASBUS, J. F.; SOLDATI, A. L.; NAPOLITANO, F.; SERQUIS, A.; SUESCUN, L. Effect of the symmetric cell preparation temperature on the activity of Ba_{0.5}Sr_{0.5}Fe_{0.8}Cu_{0.2}O_{3-Δ} as cathode for intermediate temperature solid oxide fuel cells. **Journal of Power Sources**, v. 274, p. 318-323, 2015. (6607) - Fator de Impacto em 2014: 6,217
186. CALLIGARIS, G. A.; FRANCO, M. K. K. D.; ALDRIDGE, L. P.; RODRIGUES, M. S.; BERALDO, A. L.; YOKAICHIYA, F.; TURRILLAS, X.; CARDOSO, L. P. Assessing the pozzolanic activity of cements with added sugar cane straw ash by synchrotron X-ray diffraction and Rietveld analysis. **Construction and Building Materials**, v. 98, p. 44-50, 2015. (6608) - Fator de Impacto em 2014: 2,296
187. VASCONCELLOS, A. DE; LAURENTI, J. B.; MILLER, A. H.; SILVA, D. A. DA; MORAES, F. R. DE; ARANDA, D. A. G.; NERY, J. G. Potential new biocatalysts for biofuel production: The fungal lipases of *Thermomyces lanuginosus* and *Rhizomucor miehei* immobilized on zeolitic supports ion exchanged with transition metals. **Microporous and Mesoporous Materials**, v. 214, p. 166-180, 2015. (6609) - Fator de Impacto em 2014: 3,453
188. GONÇALVES, L. P.; FERREIRA NETO, E. P.; ULLAH, S.; SOUZA, L. V.; YSNAGA, O. A. E.; SANTOS, M. V.; RIBEIRO, S. J. L.; RODRIGUES-FILHO, U. P. Enhanced photochromic response of ormosil-phosphotungstate nanocomposite coatings doped with TiO₂ nanoparticles. **Journal of Sol-Gel Science and Technology**, v. 76, n. 2, p. 386-394, 2015. (6613) - Fator de Impacto em 2014: 1,532
189. CABRAL, K. M. S.; RAYMUNDO, D. P.; SILVA, V. S.; SAMPAIO, L. A. G.; JOHANSON, L.; HILL, L. F.; ALMEIDA, F. C. L.; CORDEIRO, Y.; ALMEIDA, M. S. Biophysical studies on BEX3, the p75(NTR)-associated cell death executor, reveal a high-order oligomer with partially folded regions. **PloS One**, v. 10, n. 9, p. e0137916, 2015. (6622) - Fator de Impacto em 2014: 3,234
190. PILLING, S.; BERGANTINI, A. the effect of broadband soft x-rays in SO₂-containing ices: implications on the photochemistry of ices toward young stellar objects. **Astrophysical Journal**, v. 811, n. 11, p. 151, 2015. (6639) - Fator de Impacto em 2014: 5,993
191. DELMONICO, L.; AREIAS, V. R.; PINTO, R. C.; MATOS, C. DA S.; ROSA, M. F. F.; DE AZEVEDO, C. M.; ALVES, G. Protein identification from dried nipple aspirate fluid on Guthrie cards using mass spectrometry. **Molecular Medicine Reports**, v. 12, n. 1, p. 159-164, 2015. (6645) - Fator de Impacto em 2014: 1,554

192. REIS, R. A. G.; LORENZATO JR., E.; SILVA, V. C.; NONATO, M. C. Recombinant production, crystallization and crystal structure determination of dihydroorotate dehydrogenase from *Leishmania (Viannia) braziliensis*. **Acta Crystallographica F**, v. 71, pt. 5, p. 547-552, 2015. (6647) - Fator de Impacto em 2014: 0,524
193. DUMAS, A.; MIZRAHI, M.; REQUEJO, F. G. Local and extended-order evolution of synthetic talc during hydrothermal synthesis: extended X-ray absorption fine structure, X-ray diffraction, and fourier transform infrared spectroscopy studies. **Crystal Growth & Design**, v. 15, n. 11, p. 5451-5463, 2015. (6666) - Fator de Impacto em 2014: 4,891
194. MORAES, A. C. M. DE; LIMA, B. A.; FARIA, A. F.; BROCCHI, M.; ALVES, O. L. Graphene oxide-silver nanocomposite as a promising biocidal agent against methicillin-resistant *Staphylococcus aureus*. **International Journal of Nanomedicine**, v. 10, p. 6847-6861, 2015. (6668) - Fator de Impacto em 2014: 4,383
195. KLOSTER, G. A.; MURACA, D.; MEIORIN, C.; PIROTA, K. R.; MARCOVICH, N. E.; MOSIEWICKI, M. A. Magnetic characterization of chitosan-magnetite nanocomposite films. **European Polymer Journal**, v. 72, p. 201-211, 2015. (6670) - Fator de Impacto em 2014: 3,005
196. VERISSIMO, N. C.; GEILICH, B. M.; OLIVEIRA, H. G.; CARAM JR., R.; WEBSTER, T. J. Reducing *Staphylococcus aureus* growth on Ti alloy nanostructured surfaces through the addition of Sn. **Journal of Biomedical Materials Research A**, v. 103, n. 12, p. 3757-3763, 2015. (6674) - Fator de Impacto em 2014: 3,369
197. CASTRO, R. C.; BENITES, V. M.; TEIXEIRA, P. C.; ANJOS, M. J. DOS; OLIVEIRA, L. F. DE. Phosphorus migration analysis using synchrotron radiation in soil treated with brazilian granular fertilizers. **Applied Radiation and Isotopes**, v. 105, p. 233- 237, 2015. (6675) - Fator de Impacto em 2014: 1,231
198. KOHLRAUSCH, E. C.; ZAPATA, M. J. M.; GONÇALVES, R. V.; KHAN, S.; VAZ, M. DE O.; DUPONT, J.; TEIXEIRA, S. R. Polymorphic phase study on nitrogen-doped TiO₂ nanoparticles: effect on oxygen site occupancy, dye sensitized solar cells efficiency and hydrogen production. **RSC Advances**, v. 5, n. 123, p. 101276-101286, 2015. (6678) - Fator de Impacto em 2014: 3,84
199. MERJI, A. C.; SUGAHARA, T.; MARTINS, G. V.; SILVA SOBRINHO, A. S.; REIS, D. A. P.; GONÇALVES, P. A. R.; MASSI, M. Use of Cr inter layer to promote the adhesion of SiC films deposited on Ti-6Al-4V by HiPIMS. **Materials Research**, v. 18, n. 5, p. 904-907, 2015. (6680) - Fator de Impacto em 2014: 0
200. ESCOBAR, C. C.; DALLEGRAVE, A.; LASARIN, M. A.; SANTOS, J. H. Z. DOS. The sol-gel route effect on the preparation of molecularly imprinted silica-based materials for selective and competitive photocatalysis. **Colloids and Surfaces A**, v. 486, p. 96-105, 2015. (6682) - Fator de Impacto em 2014: 2,752
201. SILVA, A. M.; MOCELLIN, A.; MONTI, S.; LI, C.; MARINHO, R. R. T.; MEDINA, A.; AGREN, H.; CARRAVETTA, V.; NAVES DE BRITO, A. Surface-altered protonation studied by photoelectron spectroscopy and reactive dynamics simulations. **Journal of Physical Chemistry Letters**, v. 6, n. 5, p. 807-811, 2015. (6683) - Fator de Impacto em 2014: 7,458
202. LÓPEZ, M.L.; CEPPI, S.A.; ASAR, M. L.; BÜRGESESSER, R. E.; ÁVILA, E. E. Rainwater analysis by synchrotron radiation-total reflection X-ray fluorescence. **Spectrochimica Acta B**, v. 113, p. 100-105, 2015. (6685) - Fator de Impacto em 2014: 3,176

203. SOARES, A. C.; SOARES, J. C.; SHIMIZU, F. M.; MELENDEZ, M. E.; CARVALHO, A. L.; OLIVEIRA JR., O. N. Controlled film architectures to detect a biomarker for pancreatic cancer using impedance spectroscopy. **ACS Applied Materials & Interfaces**, v. 7, n. 46, p. 25930-25937, 2015. (6721) - Fator de Impacto em 2014: 6,723
204. PASQUALETI, A. M.; OLIVEIRA, F. E. R.; LIMA, F. H. B. Metal oxide/gold hybrid nanocomposites as electrocatalysts for alkaline air electrodes. **Journal of Brazilian Chemical Society**, v. 26, n. 11, p. 2171-2174, 2015. (6722) - Fator de Impacto em 2014: 1,129
205. MATTE, L. P.; KILIAN, A. S.; LUZA, L.; ALVES, M. C. M.; MORAIS, J. DE; BAPTISTA, D. L.; DUPONT, J.; BERNARDI, F. Influence of the CeO₂ support on the reduction properties of Cu/CeO₂ and Ni/CeO₂ nanoparticles. **Journal of Physical Chemistry C**, v. 119, n. 47, p. 26459-26470, 2015. (6723) - Fator de Impacto em 2014: 4,772
206. MELLO, M. G.; SALVADOR, C. F.; CREMASCO, A.; CARAM JR., R. The effect of Sn addition on phase stability and phase evolution during aging heat treatment in Ti-Mo alloys employed as biomaterials. **Materials Characterization**, v. 110, p. 5-13, 2015. (6734) - Fator de Impacto em 2014: 1,845
207. RICHENA, M.; REZENDE, C. A. Effect of photodamage on the outermost cuticle layer of human hair. **Journal of Photochemistry and Photobiology B**, v. 153, p. 296-304, 2015. (6744) - Fator de Impacto em 2014: 2,96
208. COSTA, D. DA S.; HUCK-IRIART, C.; KELLERMANN, G.; GIOVANETTI, L. J.; CRAIEVICH, A. F.; REQUEJO, F. G. In situ study of the endotaxial growth of hexagonal CoSi₂ nanoplatelets in Si(001). **Applied Physics Letters**, v. 107, n. 22, p. 223101, 2015. (6747) - Fator de Impacto em 2014: 3,302
209. SOUZA, P. M.; RABELO NETO, R. C.; BORGES, L. E. P.; JACOBS, G.; DAVIS, B. H.; GRAHAM, U. M.; RESASCO, D. E.; NORONHA, F. B. Effect of zirconia morphology on hydrodeoxygenation of phenol over Pd/ZrO₂. **ACS Catalysis**, v. 5, n. 12, p. 7385-7398, 2015. (6752) - Fator de Impacto em 2014: 9,311
210. ABDALA, D. B.; SILVA, I. R.; VERGÜTZ, L.; SPARKS, D. L. Long-term manure application effects on phosphorus speciation, kinetics and distribution in highly weathered agricultural soils. **Chemosphere**, v. 119, p. 504-514, 2015. (6755) - Fator de Impacto em 2014: 3,34
211. FRANCO, M. W.; FERREIRA, F. A. G.; VASCONCELOS, I. F.; BATISTA, B. L.; PUJONI, D. G. F.; MAGALHÃES, S. M. S.; BARBOSA JR., F.; BARBOSA, F. A. R. Arsenic biotransformation by cyanobacteria from mining areas: evidences from culture experiments. **Environmental Science and Pollution Research**, v. 22, n. 23, p.18607-18615, 2015. (6756) - Fator de Impacto em 2014: 2,828
212. MARTINS, M. M.; SILVA, D. S.; KASSAB, L. R. P.; RIBEIRO, S. J. L.; ARAUJO, C. B. Enhancement of optical absorption, photoluminescence and Raman transitions in Bi₂O₃-GeO₂ glasses with embedded silver nanoparticles. **Journal of Brazilian Chemical Society**, v. 26, n. 12, p. 2520-2524, 2015. (6773) - Fator de Impacto em 2014: 1,129
213. ALVES, L. M. S.; BENAION, S. S.; ROMANELLI, C. M.; DOS SANTOS, C. A. M.; DA LUZ, M. S.; DE LIMA, B. S.; OLIVEIRA, F. S.; MACHADO, A. J. S.; GUEDES, E. B.; ABBATE, M.; MOSSANEK, R. J. O. Electrical resistivity in non-stoichiometric

- MoO₂. **Brazilian Journal of Physics**, v. 45, n. 2, p. 234-237, 2015. (6808) - Fator de Impacto em 2014: 0,81
214. SANTOS, F. C. DOS; HARB, S. V.; MENU, M.-J.; TURQ, V.; PULCINELLI, S. H.; SANTILLI, C. V.; HAMMER, P. On the structure of high performance anticorrosive PMMA-siloxane-silica hybrid coatings. **RSC Advances**, v. 5, n. 129, p. 106754-106763, 2015. (6810) - Fator de Impacto em 2014: 3,84
215. GRANJA, L.; FUERTES, M. C.; MARTINEZ, E. D.; LEVY, P.; SOLER-ILLIA, G. J. A. A. Three-dimensional electrochemical lithography in mesoporous TiO₂ thin films. **Journal of Physical Chemistry C**, v. 119, n. 52, p. 28954-28960, 2015. (6812) - Fator de Impacto em 2014: 4,772
216. FERNANDES, J. D.; AOKI, P. H. B.; AROCA, R. F.; MACEDO JR., W. D.; SOUZA, A. E.; TEIXEIRA, SI. R.; BRAUNGER, M. L.; OLIVATI, C. A.; CONSTANTINO, C. J. L. Supramolecular architecture and electrical properties of a perylene derivative in physical vapor deposited films. **Materials Research**, v. 18, suppl. 2, p. 127-137, 2015. (6814) - Fator de Impacto em 2014: 0
217. HASSAN, A.; PAGANIN, V. A.; TICIANELLI, E. A. Pt modified tungsten carbide as anode electrocatalyst for hydrogen oxidation in proton exchange membrane fuel cell: CO tolerance and stability. **Applied Catalysis B**, v.165, p. 611-619, 2015. (6816) - Fator de Impacto em 2014: 7,435
218. GARCIA, F. A.; KANEKO, U. F.; GRANADO, E.; SICHELSCHEMIDT, J.; HÖLZEL, M.; DUQUE, J. G. S.; NUNES, C. A. J.; AMARAL, R. P.; FERREIRA, P. M.; LORA-SERRANO, R. Magnetic dimers and trimers in the disordered S=3/2 spin system BaTi_{1/2}Mn_{1/2}O₃. **Physical Review B**, v. 91, n. 22, p. 224416, 2015. (6818) - Fator de Impacto em 2014: 3,736
219. DAMONTE, L. C. Study of Co and Fe-doped ZnO milled nanopowders. **Powder Technology**, v. 286, p. 371-377, 2015. (6828) - Fator de Impacto em 2014: 2,349
220. DORES-SILVA, P. R.; BARBOSA, L. R. S.; RAMOS, C. H. I.; BORGES, J. C. Human mitochondrial Hsp70 (mortalin): shedding light on ATPase activity, interaction with adenosine nucleotides, solution structure and domain organization. **PLoS One**, v. 10, n. 1, p. e0117170, 2016. (6831) - Fator de Impacto em 2014: 3,234
221. LEITÃO, R. G.; SANTOS, C. A. N.; PALUMBO JR., A.; SOUZA, P. A. V. R.; CANELLAS, C. G. L.; ANJOS, M. J. DOS; NASCIUTTI, L. E.; LOPES, R. T. Study of the differential response to zinc of prostate cell spheroids using the synchrotron radiation X-ray microfluorescence technique. **X-Ray Spectrometry**, v.44, p. 204-208, 2015. (6865) - Fator de Impacto em 2014: 1,348
222. SEGATO, K.; NISTA, S. V. G.; CORDI, L.; BIZARRIA, M. T. M.; ÁVILA JR.; J. DE; KLEINNUBING, S. A.; CRUZ, D. C.; BROCCHI, M.; LONA, L. M. F.; CABALLERO, N. E. D.; MEI, L. H. I. Silver nanoparticles incorporated into nanostructured biopolymer membranes produced by electrospinning: a study of antimicrobial activity. **Brazilian Journal of Pharmaceutical Sciences**, v. 51, n. 4, p. 911-921, 2015. (7244) - Fator de Impacto em 2014: 0,264
223. FUERTES, V. C.; BLANCO, M. C.; FRANCO, D. G.; CEPPI, S.; SÁNCHEZ, R. D.; FERNÁNDEZ-DÍAS, M. T.; TIRAO, G.; CARBONIO, R. E. A new LaCo_{0.71}(1)VO_{2.99}(1)O_{2.97}(3) perovskite containing vanadium in octahedral sites: synthesis and structural

and magnetic characterization. **Dalton Transactions**, v. 44, n. 23, p. 10721-10727, 2015. (7494) - Fator de Impacto em 2014: 4,197

224. TOMAZINI JR., A.; DOLCE, L. G.; OLIVEIRA NETO, M.; POLIKARPOV, I. Xanthomonas campestris expansin-like X domain is a structurally disordered beta-sheet macromolecule capable of synergistically enhancing enzymatic efficiency of cellulose hydrolysis. **Biotechnology Letters**, v. 37, p. 2419-2426, 2015. (7515) - Fator de Impacto em 2014: 1,591

2014

Artigo em Periódico Indexado

Externa

1. KESSLER, F.; MARCONATTO, L.; RODRIGUES, R. S. B.; LANDO, G. A.; SCHRANK, A.; VAINSTEIN, M. H.; WEIBEL, D. E. Biodegradation improvement of poly(3-hydroxybutyrate) films by entomopathogenic fungi and UV-assisted surface functionalization. **Journal of Photochemistry and Photobiology B**, v. 130, p. 57-67, 2014. (3840) - Fator de Impacto em 2013: 2,803
2. HASSAN, A.; CARRERAS, A.; TRICAVELLI, J.; TICIANELLI, E. A. Effect of heat treatment on the activity and stability of carbon supported PtMo alloy electrocatalysts for hydrogen oxidation in proton exchange membrane fuel cells. **Journal of Power Sources**, v. 247, p. 712-720, 2014. (4811) - Fator de Impacto em 2013: 5,211
3. MORAES, M. L.; RODRIGUES, V. C.; SOARES, J. C.; FERREIRA, M.; DE SOUZA, N. C.; OLIVEIRA JR., O. N. Immunosensor for HIV-1 diagnostics based on immobilization of the antigenic peptide p24-3 Into liposomes. **Journal of Nanoscience and Nanotechnology**, v. 14, n. 9, p. 6638-6645, 2014. (4854) - Fator de Impacto em 2013: 1,339
4. GARCÍA- BASABE, Y.; MARCHIORI, C. F. N.; BORGES, B. G. A. L.; YAMAMOTO, N. A. D.; MACEDO, A. G.; KOEHLER, M.; ROMAN, L. S.; ROCCO, M. L. M. Electronic structure, molecular orientation, charge transfer dynamics and solar cells performance in donor/acceptor copolymers and fullerene: experimental and theoretical approaches. **Journal of Applied Physics**, v. 115, n. 13, p. 134901, 2014. (4872) - Fator de Impacto em 2013: 2,185
5. MIRANDA, B. C.; CHIMENTÃO, R. J.; SANTOS, J. B. O.; GISPERT-GUIRADO, F.; LLORCA, J.; MEDINA, F.; LÓPEZ BONILLO, F.; SUEIRAS, J. E. Conversion of glycerol over 10%Ni/gamma-Al₂O₃ catalyst. **Applied Catalysis B**, v. 147, p. 464-480, 2014. (4971) - Fator de Impacto em 2013: 6,007
6. FERNANDES, A. C.; BRIDI, E. C.; AMARAL, F.L.B.; FRANÇA, F. M. G.; FLÓRIO, F.M.; BASTING, R.T. Microtensile bond strength of silorane or methacrylate resin-based composites associated to self-etching or conventional adhesives to dentin after different storage times. **International Journal of Adhesion & Adhesives**, v. 48, p. 28-34, 2014. (5013) - Fator de Impacto em 2013: 2,216
7. MESQUITA, A.; MICHALOWICZ, A.; PIZANI, P. S.; MASTELARO, V. R. Local order of Pb_{1-x}LaxZr_{0.40}Ti_{0.60}O₃ ferroelectric ceramic materials probed by X-ray absorption and Raman spectroscopies. **Journal of Alloys and Compounds**, v. 582, p. 680-687, 2014. (5020) - Fator de Impacto em 2013: 2,726
8. FREITAS, V. F.; PROTZEK, O. A.; MONTORO, L. A.; GONÇALVES, A. M.; GARCIA, D.; EIRAS, J. A.; GUO, R.; BHALLA, A. S.; COTICA, L. F.; SANTOS, I. A. A phenomenological model for ferroelectric domain walls and its implications for BiFeO₃-PbTiO₃ multiferroic compounds. **Journal of Materials Chemistry C**, v. 2, n. 2, p. 364-372, 2014. (5087) - Fator de Impacto em 2013: 0
9. ZOLA, A. S.; RIBEIRO, R. U.; BUENO, J. M. C.; ZANCHET, D.; ARROYO, P. A. Cobalt nanoparticles prepared by three different methods. **Journal of Experimental Nanoscience**, v. 9, n. 4, p. 398-405, 2014. (5088) - Fator de Impacto em 2013: 1,043

10. SANTOS, G. O. S.; SILVA, R. S.; COSTA, L. P. DA; CELLET, T. S. P.; RUBIRA, A. F.; EGUILUZ, K. I. B.; SALAZAR-BANDA, G. R. Influence of synthesis conditions on the properties of electrochemically synthesized BaTiO₃ nanoparticles. **Ceramics International**, v. 40, n. 2, p. 3603-3609, 2014. (5089) - Fator de Impacto em 2013: 2,086
11. CEPPI, S.A.; MESQUITA, A.; POMIRO, F.; PANNUNZIO MINER, E. V.; TIRAO, G. Study of K β X-ray emission spectroscopy applied to Mn((2-x)V((1+x))O₄ (x=0 and 1/3) oxyspinel and comparison with XANES. **Journal of Physics and Chemistry of Solids**, v. 75, n. 3, p. 366-373, 2014. (5090) - Fator de Impacto em 2013: 1,594
12. COLTRO, W. K. T.; NEVES, R. S.; MOTHEO, A. J.; SILVA, J. A. F.; CARRILHO, E. Microfluidic devices with integrated dual-capacitively coupled contactless conductivity detection to monitor binding events in real time. **Sensors and Actuators B**, v. 192, p. 239-246, 2014. (5091) - Fator de Impacto em 2013: 3,84
13. LEITÃO, R. G.; PALUMBO JR., A.; SOUZA, P. A. V. R.; PEREIRA, G. R.; CANELLAS, C. G. L.; ANJOS, M. J. DOS; NASCIUTTI, L. E.; LOPES, R. T. Elemental concentration analysis in prostate tissues using total reflection X-ray fluorescence. **Radiation Physics and Chemistry**, v. 95, p. 62-64, 2014. (5092) - Fator de Impacto em 2013: 1,189
14. ANDRADE, C. B. V.; SALATA, C.; SILVA, C. M.; FERREIRA-MACHADO, S. C.; BRAZ, D.; ALMEIDA, A. P.; NOGUEIRA, L. P.; BARROSO, R. C.; DE ALMEIDA, C. E.; MANTUANO, A.; MOTA, C. L. S.; PICKLER, A. Evaluation of radiotherapy and chemotherapy effects in bone matrix using X-ray microfluorescence. **Radiation Physics and Chemistry**, v. 95, p. 274-279, 2014. (5093) - Fator de Impacto em 2013: 1,189
15. CONCEIÇÃO, A. L. C.; ANTONIASSI, M.; GERALDELLI, W.; POLETTI, M. E. Mapping transitions between healthy and pathological lesions in human breast tissues by diffraction enhanced imaging computed tomography (DEI-CT) and small angle X-ray scattering (SAXS). **Radiation Physics and Chemistry**, v. 95, p. 313-316, 2014. (5094) - Fator de Impacto em 2013: 1,189
16. SOARES, J. C. A. C. R.; CANELLAS, C. G. L.; ANJOS, M. J. DOS; LOPES, R. T. Multielemental analysis of samples from patients with dermatological pathologies using synchrotron radiation. **Radiation Physics and Chemistry**, v. 95, p. 317-319, 2014. (5095) - Fator de Impacto em 2013: 1,189
17. CANDEIAS, J. P.; OLIVEIRA, D. F.; ANJOS, M. J. DOS; LOPES, R. T. Scale analysis using X-ray microfluorescence and computed radiography. **Radiation Physics and Chemistry**, v. 95, p. 408-411, 2014. (5098) - Fator de Impacto em 2013: 1,189
18. ALCANTARA, K. F.; GOMES, A. H. A.; WOLFF, W.; SIGAUD, L.; SANTOS, A. C. F. Outer-shell double photoionization of CH₂Cl₂. **Chemical Physics**, v. 429, p. 1-4, 2014. (5099) - Fator de Impacto em 2013: 2,028
19. MARTINS, M. L.; SAEKI, M. J.; TELLING, M. T. F.; PARRA, J. P. E. L. L.; LANDSGESELL, S.; SMITH, R. I.; BORDALLO, H. N. Development and characterization of a new bio-nanocomposite (bio-NCP) for diagnosis and treatment of breast cancer. **Journal of Alloys and Compounds**, v. 584, p. 514-519, 2014. (5102) - Fator de Impacto em 2013: 2,726
20. CARRIÃO, M. S.; NETO, K. S.; BAKUZIS, A. F. Mass magnetophoretic experiment applied to the separation of biocompatible magnetic nanoparticles with potential for

- magnetohyperthermia. **Journal of Physics D**, v. 47, n. 2, p. 025003, 2014. (5104) - Fator de Impacto em 2013: 2,521
21. SERBENA, J. P. M.; MACHADO, K. D.; SIQUEIRA, M. C.; HUMMELGENT, I. A.; MOSSANEK, R. J. O.; SOUZA, G. B.; SILVA, J. H. D. DA SeP hole injection layer for devices based on organic materials. **Journal of Physics D**, v. 47, n. 1, p. 015304, 2014. (5106) - Fator de Impacto em 2013: 2,521
 22. ROCHA, M. V. J.; CARVALHO, H. W. P.; LACERDA, L. C. T.; SIMÕES, G.; SOUZA, G. G. B. DE; RAMALHO, T. C. Ionic desorption in PMMA-gamma-Fe₂O₃ hybrid materials induced by fast electrons: an experimental and theoretical investigation. **Spectrochimica Acta A**, v. 117, p. 276-283, 2014. (5108) - Fator de Impacto em 2013: 2,129
 23. AMIRKHANYAN, Z. G.; REMÉDIOS, C. M. R.; MASCARENHAS, Y. P.; MORELHÃO, S. L. Analyzing structure factor phases in pure and doped single crystals by synchrotron X-ray renninger scanning. **Journal of Applied Crystallography**, v. 47, pt. 1, p. 160-165, 2014. (5109) - Fator de Impacto em 2013: 3,95
 24. ZANIN, H. G.; SAITO, E.; CERAGIOLI, H. J.; BARANAUSKAS, V.; CORAT, E. J. Reduced graphene oxide and vertically aligned carbon nanotubes superhydrophilic films for supercapacitors devices. **Materials Research Bulletin**, v. 49, n. 487-493, 2014. (5110) - Fator de Impacto em 2013: 1,698
 25. GONÇALVES, K. M.; BARBOSA, L. R. S.; LIMA, L. M. T. R.; CORTINES, J. R.; KALUME, D. E.; LEAL, I. C. R.; MARIZ E MIRANDA, L. S.; DE SOUZA, R. O. M.; CORDEIRO, Y. Conformational dissection of *Thermomyces lanuginosus* lipase in solution. **Biophysical Chemistry**, v. 185, p. 88-97, 2014. (5111) - Fator de Impacto em 2013: 2,319
 26. LATTUADA, R. M.; PERALBA, M. C. R.; DOS SANTOS, J. H. Z.; FISCH, A. G. Peat, rice husk and rice husk carbon as low-cost adsorbents for metals from acidic aqueous solutions. **Separation Science and Technology**, v. 49, n. 1, p. 101-111, 2014. (5112) - Fator de Impacto em 2013: 1,2
 27. CARVALHO, F. A. O.; CARVALHO, J. W. P.; BIAZIN, E.; SANTIAGO, P. S.; TABAK, M. Characterization of *Rhinodrilus alatus* hemoglobin (HbRa) and its subunits: evidence for strong interaction with cationic surfactants DTAB and CTAC. **Comparative Biochemistry and Physiology B**, v. 167, n. 23-29, 2014. (5114) - Fator de Impacto em 2013: 1,904
 28. MOLINA, E. F.; PULCINELLI, S. H.; BRIOIS, V.; SANTILLI, C. V. Fine-tuning of a nanostructure, swelling, and drug delivery profile by blending ureasil-PEO and ureasil-PPO hybrids. **Polymer Chemistry**, v. 5, p. 1897-1904, 2014. (5115) - Fator de Impacto em 2013: 5,368
 29. MARDEGAN, J. R. L.; ADRIANO, C.; VESCOVI, R. F. C.; FARIA, G. A.; PAGLIUSO, P. G.; GILES, C. Magnetic structure of R₂CoGa₈ (R = Gd, Tb, and Dy): structural tuning of magnetic properties in layered Ga-based intermetallic compounds. **Physical Review B**, v. 89, n. 11, p. 115103, 2014. (5116) - Fator de Impacto em 2013: 3,664
 30. BOITA, J.; ALVES, M. C. M.; MORAIS, J. DE A reaction cell for time-resolved in situ XAS studies during wet chemical synthesis: the Cu-2(OH)(3)Cl case. **Journal of Synchrotron Radiation**, v. 21, pt. 1, p. 254-258, 2014. (5117) - Fator de Impacto em 2013: 3,022

31. GONÇALVES, R. V.; MIGOWSKI, P.; WENDER, H.; FEIL, A. F.; ZAPATA, M. J. M.; KHAN, S.; BERNARDI, F.; AZEVEDO, G. DE M.; TEIXEIRA, S. R. On the crystallization of Ta₂O₅ nanotubes: structural and local atomic properties investigated by EXAFS and XRD. **CrystEngComm**, v. 16, n. 5, p. 797-804, 2014. (5119) - Fator de Impacto em 2013: 3,858
32. CARASTAN, D. J.; AMURIN, L. G.; CRAIEVICH, A.; GONÇALVES, M. C.; DEMARQUETTE, N. R. Clay-containing block copolymer nanocomposites with aligned morphology prepared by extrusion. **Polymer International**, v. 63, n. 2, p. 184-194, 2014. (5120) - Fator de Impacto em 2013: 2,247
33. ZANETTI, S. M.; ROCHA, K. O.; RODRIGUES, J. A. J.; LONGO, E. Soft-chemical synthesis, characterization and humidity sensing behavior of WO₃/TiO₂ nanopowders. **Sensors and Actuators B**, v. 190, p. 40-47, 2014. (5121) - Fator de Impacto em 2013: 3,84
34. RODRIGUES, A.; ALVES, M. C. M.; MORAIS, J. DE Self-assembled nanocolumnar ZnO films chemically deposited on stainless steel with controlled morphology and thickness. **Materials Letters**, v. 114, p. 122-125, 2014. (5122) - Fator de Impacto em 2013: 2,269
35. BARIN, G. B.; GIMENEZ, I. F.; COSTA, L. P. DA; SOUZA FILHO, A. G.; BARRETO, L. S. Hollow carbon nanostructures obtained from hydrothermal carbonization of lignocellulosic biomass. **Journal of Materials Science**, v. 49, n. 2, p. 665-672, 2014. (5124) - Fator de Impacto em 2013: 2,305
36. REZENDE, M. V. DOS S.; MONTES, P. J. R.; SOARES, F. M.; SANTOS, C.; VALERIO, M. E. G. Influence of co-dopant in the europium reduction in SrAl₂O₄ host. **Journal of Synchrotron Radiation**, v. 21, pt. 1, n. 143-148, 2014. (5127) - Fator de Impacto em 2013: 3,022
37. BAQUÉ, L.; AURELIO, G.; LAMAS, D. G.; ARICÓ, S.; CRAIEVICH, A. F. Phase identification of Cu-In alloys with 45 and 41.25 at.% in compositions. **Journal of Phase Equilibria and Diffusion**, v. 35, n. 1, p. 2-10, 2014. (5132) - Fator de Impacto em 2013: 0,49
38. CORAL, D. F.; MENDOZA ZÉLIS, P.; DE SOUSA, M. E.; MURACA, D.; LASSALLE, V.; NICOLÁS, P.; FERREIRA, M. L.; FERNÁNDEZ VAN RAAP, M. B. Quasi-static magnetic measurements to predict specific absorption rates in magnetic fluid hyperthermia experiments. **Journal of Applied Physics**, v. 115, n. 4, p. 043907, 2014. (5133) - Fator de Impacto em 2013: 2,185
39. BARROSO-NETO, I.L.; SIMÕES, R. C.; ROCHA, B. A. M.; BEZERRA, M. J. B.; PEREIRA-JÚNIOR, F. N.; OSTERNE, V. J. S.; NASCIMENTO, K. S.; NAGANO, C. S.; DELATORRE, P.; PEREIRA, M.G.; PIRES, A. F.; SAMPAIO, A. H.; ASSREUY, A. M. S.; CAVADA, B. S. Vasorelaxant activity of *Canavalia grandiflora* seed lectin: a structural analysis. **Archives of Biochemistry and Biophysics**, v. 543, p. 31-39, 2014. (5136) - Fator de Impacto em 2013: 3,043
40. KESSLER, F.; STEFFENS, D.; LANDO, G. A.; PRANKE, P.; WEIBEL, D. E. Wettability and cell spreading enhancement in poly(sulfone) and polyurethane surfaces by UV-assisted treatment for tissue engineering purposes. **Tissue Engineering and Regenerative Medicine**, v. 11, n. 1, p. 23-31, 2014. (5137) - Fator de Impacto em 2013: 0,613

41. FAVARO, M. T. P.; TOLEDO, M. A. S.; ALVES, R. F.; SANTOS, C. A.; BELOTI, L. L.; JANISSEN, R.; DE LA TORRE, L. G.; SOUZA, A. P.; AZZONI, A. R. Development of a non-viral gene delivery vector based on the dynein light chain Rp3 and the TAT peptide. **Journal of Biotechnology**, v. 173, p. 10-18, 2014. (5139) - Fator de Impacto em 2013: 2,884
42. CARESANI, J. R. F.; LATTUADA, R. M.; RADTKE, C.; DOS SANTOS, J. H. Z. Attempts made to heterogenize MAO via encapsulation within silica through a non-hydrolytic sol-gel process. **Powder Technology**, v. 252, p. 56-64, 2014. (5140) - Fator de Impacto em 2013: 2,269
43. LUCRÉDIO, A. F.; ASSAF, J. M.; ASSAF, E. M. Reforming of a model sulfur-free biogas on Ni catalysts supported on Mg (Al)O derived from hydrotalcite precursors: effect of La and Rh addition. **Biomass and Bioenergy**, v. 60, p. 8-17, 2014. (5141) - Fator de Impacto em 2013: 3,411
44. MENDONÇA, V. R.; MOURÃO, H. A. J. L.; MALAGUTTI, A. R.; RIBEIRO, C. The role of the relative dye/photocatalyst concentration in TiO₂ assisted photodegradation process. **Photochemistry and Photobiology**, v. 90, p. 66-72, 2014. (5142) - Fator de Impacto em 2013: 2,684
45. CHIAPPIM JR., W.; AWANO, C. M.; DONATTI, D. A.; VICENTE, F. S.; VOLLET, D. R. Structure of hydrophobic ambient-pressure-dried aerogels prepared by sonohydrolysis of tetraethoxysilane with additions of N,N-dimethylformamide. **Langmuir**, v. 30, n. 4, p. 1151-1159, 2014. (5143) - Fator de Impacto em 2013: 4,384
46. COSTA, F. N.; BRAZ, D.; FERREIRA, F. F.; DA SILVA, T. F.; BARREIRO, E. J.; LIMA, L. M.; COLAÇO, M. V.; KUPLICH, L.; BARROSO, R. C. Synchrotron X-ray powder diffraction data of LASSBio-1515: a new N-acylhydrazone derivative compound. **Radiation Physics and Chemistry**, v. 95, p. 292-295, 2014. (5144) - Fator de Impacto em 2013: 1,189
47. BERNARDES, A. A.; RADTKE, C.; ALVES, M. C. M.; BAIBICH, I.M.; LUCCHESI, M.; DOS SANTOS, J. H. Z. Synthesis and characterization of SiO₂-CrO₃, SiO₂-MoO₃, and SiO₂-WO₃ mixed oxides produced using the non-hydrolytic sol-gel process. **Journal of Sol-Gel Science and Technology**, v. 69, n. 1, p. 72-84, 2014. (5149) - Fator de Impacto em 2013: 1,547
48. CASTRO, I. A.; AVANSI JR., W.; RIBEIRO, C. WO₃/TiO₂ heterostructures tailored by the oriented attachment mechanism: insights from their photocatalytic properties. **CrystEngComm**, v. 16, n. 8, p. 1514-1524, 2014. (5151) - Fator de Impacto em 2013: 3,858
49. FEITOSA, N. C.; GONÇALVES, T. D.; MESQUITA, J. J.; MENEGUCCI, J.; SANTOS, M. K. M. S.; CHAKER, J. A.; CUNHA, R. B.; MEDEIROS, A. M. M.; RUBIM, J. C.; SOUSA, M. H. Fabrication of glycine-functionalized maghemite nanoparticles for magnetic removal of copper from wastewater. **Journal of Hazardous Materials**, v. 264, p. 153-160, 2014. (5155) - Fator de Impacto em 2013: 4,331
50. ARAÚJO, B.; TORRES, L.; STEIN, M.L. L. DE; CABRAL, F. R.; HERAI, R.; OKAMOTO, O.; CAVALHEIRO, E. Decreased expression of proteins involved in energy metabolism in the hippocampal granular layer of rats submitted to the pilocarpine epilepsy model. **Neuroscience Letters**, v. 561, p. 46-51, 2014. (5156) - Fator de Impacto em 2013: 2,055

51. COSTA, J. A. S.; GARCIA, A. C. F. S.; SANTOS, D. O.; SARMENTO, V. H. V.; PORTO, A. L. M.; MESQUITA, M. E.; ROMÃO, L. P. C. A new functionalized MCM-41 mesoporous material for use in environmental applications. **Journal of Brazilian Chemical Society**, v. 25, n. 2, p. 197-207, 2014. (5157) - Fator de Impacto em 2013: 1,253
52. RODRIGUES, L. C. V.; HÖLSÄ, J.; LASTUSAARI, M.; FELINTO, M. C. F. C.; BRITO, H. F. Defect to R³⁺ energy transfer: colour tuning of persistent luminescence in CdSiO₃. **Journal of Materials Chemistry C**, v. 2, n. 9, p. 1612-1618, 2014. (5158) - Fator de Impacto em 2013: 0
53. LIMANDRI, S.; VERA, P.; FADANELLI, R. C.; NAGAMINE, L. C. C. M.; MELLO, A.; GARCIA-MOLINA, R.; BEHAR, M.; ABRIL, I. Energy deposition of H and He ion beams in hydroxyapatite films: a study with implications for ion-beam cancer therapy. **Physical Review E**, v. 89, n. 2, p. 022703, 2014. (5160) - Fator de Impacto em 2013: 2,326
54. BOITA, J.; BERNARDI, F.; CASTEGNARO, M. V.; NICOLAO, L.; ALVES, M. C. M.; MORAIS, J. DE Reversible sulfidation of Pt_{0.3}Pd_{0.7} nanoparticles investigated by in situ time-resolved XAS. **Journal of Physical Chemistry C**, v. 118, n. 10, p. 5538-5544, 2014. (5162) - Fator de Impacto em 2013: 4,835
55. SEGATO, F.; BERTO, G. L.; ARAÚJO, E. A.; MUNIZ, J. R. C.; POLIKARPOV, I. Expression, purification, crystallization and preliminary X-ray diffraction analysis of *Aspergillus terreus* endo-Beta-1,4-glucanase from glycoside hydrolase family 12. **Acta Crystallographica F**, v. 70, pt. 2, p. 267-270, 2014. (5163) - Fator de Impacto em 2013: 0,568
56. AZCARATE, J. C.; ADDATO, M. A. F.; RUBERT, A. A.; CORTHEY, G.; MORENO, G. S. K.; BENITEZ, G.; ZELAYA, E.; SALVAREZZA, R. C.; FONTICELLI, M. H. Surface chemistry of Thiomalic acid adsorption on planar gold and gold nanoparticles. **Langmuir**, v. 30, n. 7, p. 1820-1826, 2014. (5164) - Fator de Impacto em 2013: 4,384
57. MATOS, M. G.; FARIA, E. H.; ROCHA, L. A.; CALEFI, P. S.; CIUFFI, K. J.; NASSAR, E. J.; SARMENTO, V. H. V. Synthesis and photoluminescent properties of yttrium vanadate phosphor prepared by the non-hydrolytic sol-gel process. **Journal of Luminescence**, v. 147, p. 190-195, 2014. (5165) - Fator de Impacto em 2013: 2,367
58. PEROTTI, G. F.; TRONTO, J.; BIZETO, M. A.; IZUMI, C. M. S.; TEMPERINI, M. L. A.; LUGÃO, A. B.; PARRA, D. F.; CONSTANTINO, V. R. L. Biopolymer-clay nanocomposites: cassava starch and synthetic clay cast films. **Journal of Brazilian Chemical Society**, v. 25, n. 2, p. 320-330, 2014. (5166) - Fator de Impacto em 2013: 1,253
59. MOLINA, E. F.; PARREIRA, R. L. T.; DE FARIA, E. H.; DE CARVALHO, H. W. P.; CARAMORI, G. F.; COIMBRA, D. F.; NASSAR, E. J.; CIUFFI, K. J. Ureasil-poly(ethylene oxide) hybrid matrix for selective adsorption and separation of dyes from water. **Langmuir**, v. 30, n. 13, p. 3857-3868, 2014. (5181) - Fator de Impacto em 2013: 4,384
60. REZENDE, M. V. DOS S.; ANDRADE, A. B.; VALERIO, M. E. G.; MONTES, P. J. R. The effect of the host composition on the lifetime decay properties of barium/strontium aluminates compounds. **Journal of Applied Physics**, v. 115, n. 10, p. 103510, 2014. (5182) - Fator de Impacto em 2013: 2,185

61. SILVA, A. A. A.; RIBEIRO, M. C.; CRONAUER, D. C.; KROPF, A. J.; MARSHALL, C. L.; GAO, P.; JACOBS, G.; DAVIS, B. H.; NORONHA, F. B.; MATTOS, L. V. Ethanol reforming reactions over Co and Cu based catalysts obtained from LaCoCuO₃ Perovskite-type oxides. **Topics in Catalysis**, v. 57, n. 6-9, p. 637-655, 2014. (5183) - Fator de Impacto em 2013: 2,22
62. PONTES, D. S. L.; PONTES, F. M.; DA SILVA, L. F.; CHIQUITO, A. J.; PIZANI, P. S.; LONGO, E. Influence of a co-substituted A-site on structural characteristics and ferroelectricity of (Pb, Ba, Ca)TiO₃ complex Perovskites: analysis of local-, medium- and long-range order. **Journal of Sol-Gel Science and Technology**, v. 69, n. 3, p. 605-616, 2014. (5186) - Fator de Impacto em 2013: 1,547
63. GONÇALVES, R. V.; WOJCIESZAK, R.; UBERMAN, P. M.; TEIXEIRA, S. R.; ROSSI, L. M. Insights into the active surface species formed on Ta₂O₅ nanotubes in the catalytic oxidation of CO. **Physical Chemistry Chemical Physics (PCCP)**, v. 16, p. 5755-5762, 2014. (5187) - Fator de Impacto em 2013: 4,198
64. DA SILVA, L. F.; M'PEKO, J.C.; ANDRÉS, J.; BELTRÁN, A.; GRACIA, L.; BERNARDI, M. I. B.; MESQUITA, A.; ANTONELLI, E.; MOREIRA, M. L.; MASTELARO, V. R. Insight into the effects of Fe addition on the local structure and electronic properties of SrTiO₃. **Journal of Physical Chemistry C**, v. 118, n. 9, p. 4930-4940, 2014. (5188) - Fator de Impacto em 2013: 4,835
65. RODRÍGUEZ TORRES, C. E.; PASQUEVICH, G. A.; MENDOZA ZÉLIS, P.; GOLMAR, F.; HELUANI, S. P.; NAYAK, S. K.; ADEAGBO, W. A.; HERGERT, W.; HOFFMANN, M.; ERNST, A.; ESQUINAZI, P.; STEWART, S. J. Oxygen-vacancy-induced local ferromagnetism as a driving mechanism in enhancing the magnetic response of ferrites. **Physical Review B**, v. 89, n. 10, p. 104411, 2014. (5194) - Fator de Impacto em 2013: 3,664
66. RODRIGUES, L. C. V.; LASTUSAARI, M.; BRITO, H. F.; FELINTO, M. C. F. C.; CARVALHO, J. M.; HÖLSÄ, J.; MALTA, O. L. Persistent luminescence of cadmium silicates. **Physica Scripta**, v. 89, p. 044014, 2014. (5195) - Fator de Impacto em 2013: 1,296
67. GOMEZ, L. E.; SOLLIER, B. M.; MIZRAHI, M. D.; RAMALLO-LÓPEZ, J. M.; MIRÓ, E. E.; BOIX, A. V. Preferential CO oxidation on Pt-Cu/Al₂O₃ catalysts with low Pt loadings. **International Journal of Hydrogen Energy**, v. 39, n. 8, p. 3719-3729, 2014. (5196) - Fator de Impacto em 2013: 2,93
68. CORTEZ, M.L.; GONZÁLEZ, G. A.; CEOLÍN, M. R.; AZZARONI, O.; BATTAGLINI, F. Self-assembled redox polyelectrolyte-surfactant complexes: nanostructure and electron transfer characteristics of supramolecular films with built-in electroactive chemical functions. **Electrochimica Acta**, v. 118, p. 124-129, 2014. (5197) - Fator de Impacto em 2013: 4,086
69. SETTI, G. O.; SILVA, J. V. L.; OLIVEIRA, M. F.; MAIA, I. A.; JESUS, D. P.; SAVU, R.; SANTOS, T. E. A.; SOUZA, R. C. Z.; JOANNI, E. Surface methods for monitoring the densification of parts in the selective laser sintering process. **Rapid Prototyping Journal**, v. 20, n. 2, p. 157-163, 2014. (5198) - Fator de Impacto em 2013: 1,156
70. VALVERDE, J. A.; ECHAVARRÍA, A.; EON, J. G.; FARO JR., A. C.; PALACIO, L. A. V-Mg-Al catalyst from hydrotalcite for the oxidative dehydrogenation of propane. **Reaction Kinetics Mechanisms and Catalysis**, v. 111, n. 2, p. 679-696, 2014. (5199) - Fator de Impacto em 2013: 0,983

71. ESCOBAR, C. C.; SANTOS, J. H. Z. DOS Effect of the sol-gel route on the textural characteristics of silica imprinted with Rhodamine B. **Journal of Separation Science**, v. 37, n. 7, p. 868-875, 2014. (5201) - Fator de Impacto em 2013: 2,594
72. CORREA, G. G.; MORAIS, E. C.; BRAMBILLA, R.; BERNARDES, A. A.; RADTKE, C.; DEZEN, D.; JÚNIOR, A. V.; FRONZA, N.; DOS SANTOS, J. H. Z. Effects of the sol-gel route on the structural characteristics and antibacterial activity of silica-encapsulated gentamicin. **Colloids and Surfaces B**, v. 116, p. 510-517, 2014. (5202) - Fator de Impacto em 2013: 4,287
73. FORALOSSO, F. B.; FRONZA, N.; DOS SANTOS, J. H. Z.; CAPELETTI, L. B.; QUADRI, M. G. N. The use of duo-functional PVC film for conservation of minimally processed apples. **Food and Bioprocess Technology**, v. 7, n. 5, p. 1483-1495, 2014. (5203) - Fator de Impacto em 2013: 3,126
74. ELÍAS, V. R.; SABRE, E. V.; WINKLER, E. L.; ANDRINI, L. R.; REQUEJO, F. G.; CASUSCELLI, S. G.; EIMER, G. A. Influence of the hydration by the environmental humidity on the metallic speciation and the photocatalytic activity of Cr/MCM-41. **Journal of Solid State Chemistry**, v. 213, p. 229-234, 2014. (5267) - Fator de Impacto em 2013: 2,2
75. TOGNANA, S.; SILVA, L.; SALGUEIRO, W. Crystallization in PHB/DGEBA blends. **Journal of Polymer Science B**, v. 52, p. 882-886, 2014. (5298) - Fator de Impacto em 2013: 3,803
76. SUMAN, P. H.; LONGO, E.; VARELA, J. A.; ORLANDI, M. O. Controlled synthesis of layered Sn₃O₄ nanobelts by carbothermal reduction method and their gas sensor properties. **Journal of Nanoscience and Nanotechnology**, v. 14, n. 9, p. 6662-6688, 2014. (5300) - Fator de Impacto em 2013: 1,339
77. BALLESTEROS, C. A. S.; CANCINO, J.; MARANGONI, V. S.; ZUCOLOTTO, V. Nanostructured Fe₃O₄ satellite gold nanoparticles to improve biomolecular detection. **Sensors and Actuators B**, v. 198, p. 377-383, 2014. (5314) - Fator de Impacto em 2013: 3,84
78. MONTORO, L. A.; MATSUBARA, E. Y.; ROSOLEN, J. M. Lithium intercalation into single-walled carbon nanotubes network electrode: storage mechanisms and impurity effects. **Journal of Power Sources**, v. 257, p. 205-212, 2014. (5315) - Fator de Impacto em 2013: 5,211
79. PERULLINI, A. M.; FERRO, Y.; DURRIEU, C.; JOBBÁGY, M.; BILMES, S. A. Sol gel silica platforms for microalgae-based optical biosensors. **Journal of Biotechnology**, v. 179, p. 65-70, 2014. (5316) - Fator de Impacto em 2013: 2,884
80. ZENATTI, A.; QUEIRUGA REY, J. F.; LEITE, E. R.; LONGO, E.; ESCOTE, M. T. LaNiO₃ nanotubes produced using a template-assisted method. **Journal of Nanoscience and Nanotechnology**, v. 14, n. 6, p. 4431-4436, 2014. (5317) - Fator de Impacto em 2013: 1,339
81. SILVEIRA, T.; AWANO, C. M.; DONATTI, D. A.; VICENTE, F. S.; VOLLET, D. R. About the thermal stability and pore elimination in the ordered hexagonal mesoporous silica SBA-15. **Microporous and Mesoporous Materials**, v. 190, n. 227-233, 2014. (5318) - Fator de Impacto em 2013: 3,209

82. LESSEUX, G. G.; IWAMOTO, W. A.; GARCIA-FLORES, A. F.; URBANO, R. R.; RETTORI, C. Absence of exchange interaction between localized magnetic moments and conduction-electrons in diluted Er³⁺ gold-nanoparticles. **Journal of Applied Physics**, v. 115, n. 17, p. 17E128, 2014. (5319) - Fator de Impacto em 2013: 2,185
83. MOLINA, E. F.; JESUS, C. R. N.; CHIAVACCI, L. A.; PULCINELLI, S. H.; BRIOIS, V.; SANTILLI, C. V. Ureasil-polyether hybrid blend with tuneable hydrophilic/hydrophobic features based on U-PEO1900 and U-PPO400 mixtures. **Journal of Sol-Gel Science and Technology**, v. 70 n. 2, p. 317-328, 2014. (5322) - Fator de Impacto em 2013: 1,547
84. VICENTE, JL.; GOULART, J. S.; PREMAZZI, C. A.; SOBRINHO, A. G. P.; SILVA NETO, A. A.; AZEREDO, M. C. S.; DOMINGOS, J. B.; MIRANDA, F. S. H-aggregation of the amphiphilic dye TDPI: Photophysical, electrochemical, DFT and SAXS studies. **Journal of Molecular Structure**, v. 1063, p. 320-327, 2014. (5324) - Fator de Impacto em 2013: 1,599
85. DE PAULI, M.; SANTOS, P. L.; COSTA, B. B. A.; MAGALHÃES-PANIAGO, R.; CURY, L. A.; MALACHIAS, A. Understanding molecular interactions in light-emitting polymer bilayers: the role of solvents and molecular structure on the interface quality. **Applied Physics Letters**, v. 104, n. 16, p. 163301, 2014. (5325) - Fator de Impacto em 2013: 3,515
86. ALVIM, H. G. O.; GOZZO, F. C.; LIMA, T. B.; OLIVEIRA, A. L.; OLIVEIRA, H. C. B.; SILVA, F. M.; SOUZA, R. Y.; SILVA, W. A.; NETO, B. A. D. Facts, presumptions, and myths on the solvent-free and catalyst-free Biginelli reaction. What is catalysis for? **Journal of Organic Chemistry**, v. 79, n. 8, p. 3383-3397, 2014. (5326) - Fator de Impacto em 2013: 4,638
87. WOLOSIIUK, A.; TOGNALLI, N. G.; MARTINEZ, E. D.; GRANADA, M.; FUERTES, M. C.; TROIANI, H. E.; BILMES, S. A.; FAINSTEIN, A.; SOLER-ILLIA, G. J. A. Silver nanoparticle-mesoporous oxide nanocomposite thin films: a platform for spatially homogeneous SERS-active substrates with enhanced stability. **ACS Applied Materials & Interfaces**, v. 6, n. 7, p. 5263-5272, 2014. (5328) - Fator de Impacto em 2013: 5,9
88. PAULSEN, B.S.; CARDOSO, S. C.; STELLING, M.P.; CADILHE, D. V.; REHEN, S.K. Valproate reverts zinc and potassium imbalance in schizophrenia-derived reprogrammed cells. **Schizophrenia Research**, v. 154, n. 1-3, p. 30-35, 2014. (5332) - Fator de Impacto em 2013: 4,426
89. RIBEIRO, M. C.; GNANAMANI, M. K.; AZEVEDO, I. R.; RABELO NETO, R. C.; JACOBS, G.; DAVIS, B. H.; NORONHA, F. B. Fischer-Tropsch synthesis: studies on the effect of support doping with Si, Mn and Cr on the selectivity to alcohols in ceria supported cobalt catalysts. **Topics in Catalysis**, v. 57, n. 6-9, p. 550-560, 2014. (5335) - Fator de Impacto em 2013: 2,22
90. SATYANARAYANA, V. S. V.; SINGH, V.; KESSLER, F.; SCHEFFER, F. R.; WEIBEL, D. E.; GHOSH, S.; GONSALVES, K. E. Radiation-sensitive novel polymeric resist materials: iterative synthesis and their EUV fragmentation studies. **ACS Applied Materials & Interfaces**, v. 6, n. 6, p. 4223-4262, 2014. (5337) - Fator de Impacto em 2013: 5,9
91. GONÇALVES, R. V.; WOJCIESZAK, R.; UBERMAN, P. M.; EBERHARDT, D.; TEIXEIRA-NETO, E.; TEIXEIRA, S. R.; ROSSI, L. M. Catalytic abatement of CO over

- highly stable Pt supported on Ta₂O₅ nanotubes. **Catalysis Communications**, v. 48, p. 50-54, 2014. (5341) - Fator de Impacto em 2013: 3,32
92. FACINCANI, A.P.; MOREIRA, L. M.; SOARES, M. R.; FERREIRA, C. B.; FERREIRA, R. M.; FERRO, M.I.T.; FERRO, J. A.; GOZZO, F. C.; OLIVEIRA, J.C.F. Comparative proteomic analysis reveals that T3SS, Tfp, and xanthan gum are key factors in initial stages of *Citrus sinensis* infection by *Xanthomonas citri* subsp. *citri*. **Functional & Integrative Genomics**, v. 14, n. 1, p. 205-217, 2014. (5344) - Fator de Impacto em 2013: 2,691
93. BUCHNER, S.; PEREIRA, A. S.; LIMA, J. C.; BALZARETTI, N. M. X-ray study of lithium disilicate glass: high pressure densification and polyamorphism. **Journal of Non-Crystalline Solids**, v. 387, p. 112-116, 2014. (5346) - Fator de Impacto em 2013: 1,716
94. SANTOS, M. V.; DOMINGUEZ, C. T.; SCHIAVON, J. V.; BARUD, H. S.; MELO, L. S. A.; RIBEIRO, S. J. L.; GOMES, A. S. L.; ARAUJO, C. B. Random laser action from flexible biocellulose-based device. **Journal of Applied Physics**, v. 115, n. 8, p. 083108, 2014. (5347) - Fator de Impacto em 2013: 2,185
95. SILVA, T. A.; ZANIN, H. G.; VICENTINI, FE. C.; CORAT, E. J.; FATIBELLO-FILHO, O. Differential pulse adsorptive stripping voltammetric determination of nanomolar levels of atorvastatin calcium in pharmaceutical and biological samples using a vertically aligned carbon nanotube/graphene oxide electrode. **Analyst**, v. 139, n. 11, p. 2832-2841, 2014. (5348) - Fator de Impacto em 2013: 3,906
96. SOUZA-GUERRA, C.; BARROSO, R. C.; ALMEIDA, A. P.; PEIXOTO, I. T. A.; MOREIRA, S.; SOUSA, F. B.; GERLACH, R. F. Anatomical variations in primary teeth microelements with known differences in lead content by micro-Synchrotron Radiation X-Ray Fluorescence (μ -SRXRF) - A preliminary study. **Journal of Trace Elements in Medicine and Biology**, v. 28, n. 2, p. 186-193, 2014. (5351) - Fator de Impacto em 2013: 2,491
97. CASTILHO, R. B.; NUNEZ, C. V.; SANTOS, A. C. F.; COUTINHO, L. H.; LUCAS, C. A.; PILLING, S.; SILVA-MORAES, M. O.; SOUZA, C. G. B. Excitation and ionic fragmentation of the carvone molecule (C₁₀H₁₄O) around the O 1s edge. **Journal of Electron Spectroscopy and Related Phenomena**, v. 192, p. 61-68, 2014. (5354) - Fator de Impacto em 2013: 1,552
98. ZANIN, H. G.; MAY, P. W.; LOBO, A. O.; SAITO, E.; MACHADO, J. P. B.; MARTINS, G.; TRAVA-AIROLDI, V. J.; CORAT, E. J. Effect of multi-walled carbon nanotubes incorporation on the structure, optical and electrochemical properties of diamond-like carbon thin films. **Journal of the Electrochemical Society**, v. 161, n. 5, p. H290-H295, 2014. (5356) - Fator de Impacto em 2013: 2,859
99. XAVIER, A. M.; FERREIRA, F. F.; SOUZA, F. L. Morphological and structural evolution from akaganeite to hematite of nanorods monitored by ex situ synchrotron X-ray powder diffraction. **RSC Advances**, v. 4, n. 34, p. 17753-17759, 2014. (5361) - Fator de Impacto em 2013: 3,708
100. ALMEIDA JR., O. P.; TOLEDO, T. R.; ROSSI, D.; ROSSETTO, D. B.; WATANABE, T. F.; GALVÃO, F. C.; MEDEIROS, A. I.; ZANELLI, C. F.; VALENTINI, S. R. Hypusine modification of the ribosome-binding protein eIF5A, a target for new anti-inflammatory drugs: understanding the action of the inhibitor GC7 on a murine macrophage cell line. **Current Pharmaceutical Design**, v. 20, n. 2, p. 284-292, 2014. (5362) - Fator de Impacto em 2013: 3,288

101. SAKITA, A. M. P.; DELLA NOCE, R.; MAGNANI, M.; FUGIVARA, C. S.; BENEDETTI, A. V. Electrodeposition of Ni-B and Ni-Co-B alloys by using boric acid as boron source. **ECS Electrochemistry Letters**, v. 3, n. 5, p. D10-D12, 2014. (5363) - Fator de Impacto em 2013: 1,54
102. PALMA, L. M.; ALMEIDA, T. S.; LEONELLO, P. H.; ANDRADE, A. R. Ethanol electrooxidation by plurimetallc Pt-based electrocatalysts prepared by microwave assisted heating. **Journal of the Electrochemical Society**, v. 161, n. 4, p. F473-F479, 2014. (5364) - Fator de Impacto em 2013: 2,859
103. SILVA, L. F.; CATTO, A. C.; AVANSI JR., W.; CAVALCANTE, L. S.; ANDRÉS, J.; AGUIR, K.; MASTELARO, V. R.; LONGO, E. A novel ozone gas sensor based on one-dimensional (1D) alpha-Ag₂WO₄ nanostructures. **Nanoscale**, v. 6, n. 8, p. 4058- 4062, 2014. (5366) - Fator de Impacto em 2013: 6,739
104. CARVALHO, H. W. P.; SUZANA, A. F.; SANTILLI, C. V.; PULCINELLI, S. H. Structure and thermal behavior of PMMA-polysilsesquioxane organic-inorganic hybrids. **Polymer Degradation and Stability**, v. 104, p. 112-119, 2014. (5406) - Fator de Impacto em 2013: 2,633
105. PERULLINI, M.; JOBBÁGY, M.; JAPAS, M. L.; BILMES, S. A. New method for the simultaneous determination of diffusion and adsorption of dyes in silica hydrogels. **Journal of Colloid and Interface Science**, v. 425, p. 91-95, 2014. (5420) - Fator de Impacto em 2013: 3,552
106. VIEIRA, R. S.; MENEGHETTI, E.; BARONI, P.; GUIBAL, E.; DE LA CRUZ, V. M. G.; CABALLERO, A.; RODRÍGUEZ-CASTELLÓN, E. R.; BEPPU, M. M. Chromium removal on chitosan-based sorbents - an EXAFS/XANES investigation of mechanism. **Materials Chemistry and Physics**, v. 146, n. 3, p. 412-417, 2014. (5432) - Fator de Impacto em 2013: 2,129
107. ACUÑA, L. M.; FUENTES, R. O.; FANTINI, M. C. A.; LAMAS, D. G. Relation between distortions in the oxygen sublattice and the local order of Zr in nanostructured ZrO₂-CeO₂ mixed oxides. **Journal of Physical Chemistry C**, v. 118, n. 21 p. 11445-11453, 2014. (5435) - Fator de Impacto em 2013: 4,835
108. BORGHETI-CARDOSO, L. N.; DEPIERI, L. V.; DINIZ, H.; CALZZANI, R. A. J.; FANTINI, M. C. A.; IYOMASA, M. M.; VICENTINI, F. T. M. C.; BENTLEY, M. V. L. B. Self-assembling gelling formulation based on a crystalline-phase liquid as a non-viral vector for siRNA delivery. **European Journal of Pharmaceutical Sciences**, v. 58, p. 72-82, 2014. (5437) - Fator de Impacto em 2013: 3,005
109. LONGO, E.; AVANSI JR., W.; ARENAL, R.; MENDONÇA, V. R.; RIBEIRO, C. Vanadium-doped TiO₂ anatase nanostructures: the role of V in solid solution formation and its effect on the optical properties. **CrystEngComm**, v. 16, n. 23, p. 5021-5027, 2014. (5438) - Fator de Impacto em 2013: 3,858
110. BILOVOL, V.; FERRARI, S.; DEREWNICKA, D.; SACCONI, F. D. XANES and XPS study of electronic structure of Ti-enriched Nd-Fe-B ribbons. **Materials Chemistry and Physics**, v. 146, n. 3, p. 269-276, 2014. (5440) - Fator de Impacto em 2013: 2,129
111. CARVALHO, J. W. P.; CARVALHO, F. A. O.; BATISTA, T.; SANTIAGO, P. S.; TABAK, M. Cetyltrimethylammonium chloride (CTAC) effect on the thermal stability of oxy-HbGp: Dynamic light scattering (DLS) and small angle X-ray scattering (SAXS)

- studies. **Colloids and Surfaces B**, v. 118, p. 14-24, 2014. (5475) - Fator de Impacto em 2013: 4,287
112. SANTOS, E. B.; LIMA, E. C. N. L.; OLIVEIRA, C. S.; SIGOLI, F. A.; MAZALI, I. O. Fast detection of paracetamol on a gold nanoparticle-chitosan substrate by SERS. **Analytical Methods**, v. 6, p. 3564-3568, 2014. (5476) - Fator de Impacto em 2013: 1,938
113. COSTA, N. J. S.; GUERRERO, M.; COLLIERE, V.; TEIXEIRA-NETO, E.; LANDERS, R.; PHILIPPOT, K.; ROSSI, L. M. Organometallic preparation of Ni, Pd, and NiPd nanoparticles for the design of supported nanocatalysts. **ACS Catalysis**, v. 4, p. 1735-1742, 2014. (5479) - Fator de Impacto em 2013: 7,572
114. COSTA, M. A. F.; RODRIGUES, F. T. G.; CHAGAS, B. C. A.; REZENDE, C. M. F.; GÓES, A. M. DE; NAGEM, R. A. P. Preliminary crystallographic studies of a *Schistosoma mansoni* antigen (Sm21.7) dynein light-chain (DLC) domain. **Acta Crystallographica F**, v. 70, pt. 6, p. 803-807, 2014. (5480) - Fator de Impacto em 2013: 0,568
115. BEZERRA, G. A.; VIERTIMAYR, R.; MOURA, T. R.; DELATORRE, P.; ROCHA, B. A. M.; DO NASCIMENTO, G. S.; FIGUEIREDO, J. G.; BEZERRA, I. G.; TEIXEIRA, C. S.; SIMÕES, R. C.; NAGANO, C. S.; ALENCAR, N. M. N.; GRUBER, K.; CAVADA, B. S. Structural studies of an anti-inflammatory lectin from *Canavalia boliviana* seeds in complex with dimannosides. **PloS One**, v. 9, n. 5, p. e97015, 2014. (5481) - Fator de Impacto em 2013: 3,534
116. EISING, R.; ELIAS, W. C.; ALBUQUERQUE, B. L.; FORT, S.; DOMINGOS, J. B. Synthesis of silver glyconanoparticles from new sugar-based amphiphiles and their catalytic application. **Langmuir**, v. 30, p. 6011-6020, 2014. (5483) - Fator de Impacto em 2013: 4,384
117. DE LIMA, L. H.; LANDERS, R.; SIERVO, A. DE Patterning quasi-periodic Co 2D-clusters underneath graphene on SiC (0001). **Chemistry of Materials**, v. 26, p. 4172-4177, 2014. (5577) - Fator de Impacto em 2013: 8,535
118. BOITA, J.; NICOLAO, L.; ALVES, M. C. M.; MORAIS, J. DE Observing Pt nanoparticle formation at the atomic level during polyol synthesis. **Physical Chemistry Chemical Physics (PCCP)**, v. 16, p. 17640-17647, 2014. (5582) - Fator de Impacto em 2013: 4,198
119. ACHAD, M.; LÓPEZ, M.L.; CEPPI, S.; PALANCAR, G.G.; TIRAO, G.; TOSELLI, B.M. Assessment of fine and sub-micrometer aerosols at an urban environment of Argentina. **Atmospheric Environment**, v. 92, p. 522-532, 2014. (5583) - Fator de Impacto em 2013: 3,062
120. FORNARO, L.; AGUIAR, I.; BARTHABURU, M. P.; OLIVERA, A.; GALAIN, I.; MOMBRÚ, M. Crystalline nanostructures of heavy metal iodides. **Journal of Crystal Growth**, v. 401, p. 489-493, 2014. (5585) - Fator de Impacto em 2013: 1,693
121. PIRANI, L. S. R.; ERBEN, M. F.; GERONÉS, M.; ROMANO, R. M.; CAVASSO-FILHO, R. L.; MA, C.; GE, M.; DELLA VÉDOVA, C. O. Electronic properties of FC(O)SCH₂CH₃. A combined helium (I) photoelectron spectroscopy and synchrotron radiation study. **Journal of Physical Chemistry A**, v. 118, p. 5950-5960, 2014. (5586) - Fator de Impacto em 2013: 2,775

122. MICHELS, L.; RIBEIRO, L.; MUNDIM, M. S. P.; SOUSA, M. H.; DROPPA JR., R.; FOSSUM, J. O.; SILVA, G. J. DA; MUNDIM, K. C. EXAFS and XRD studies in synthetic Ni-fluorohectorite. **Applied Clay Science**, v. 96, p. 60-66, 2014. (5587) - Fator de Impacto em 2013: 2,703
123. ZANIN, H. G.; MARGRAF-FERREIRA, A.; DA SILVA, N. S.; MARCIANO, F. R.; CORAT, E. J.; LOBO, A. O. Graphene and carbon nanotube composite enabling a new prospective treatment for trichomoniasis disease. **Materials Science and Engineering C**, v. 41, p. 65-69, 2014. (5588) - Fator de Impacto em 2013: 2,736
124. DANCZUK, M.; NUNES JR., C. V.; ARAKI, K.; ANAISSI, F. J. Influence of alkaline cation on the electrochemical behavior of stabilized α -Ni(OH)(2). **Journal of Solid State Electrochemistry**, v. 18, p. 2279-2287, 2014. (5589) - Fator de Impacto em 2013: 2,234
125. DROPPA JR., R.; PINTO, H. C.; GARCIA, J.; OCHOA BECERRA, E. A.; MORALES, M.; CUCATTI, S.; ALVAREZ, F. Influence of ion-beam bombardment on the physical properties of 100Cr6 steel. **Materials Chemistry and Physics**, v. 147, n. 1-2, p. 105-112, 2014. (5590) - Fator de Impacto em 2013: 2,129
126. BACELLAR, I. O. L.; PAVANI, C.; SALES, E. M.; ITRI, R.; WAINWRIGHT, M.; BAPTISTA, M. S. Membrane damage efficiency of phenothiazinium photosensitizers. **Photochemistry and Photobiology**, v. 90, p. 801-813, 2014. (5593) - Fator de Impacto em 2013: 2,684
127. BARCELOS, I. D.; MOURA, L. G.; LACERDA, R. G.; MALACHIAS, A. Observation of strain-free rolled-up CVD graphene single layers: toward unstrained heterostructures. **Nano Letters**, v. 14, p. 3919-3924, 2014. (5595) - Fator de Impacto em 2013: 12,94
128. ROZYNEK, Z.; SILVA, S. M. DE L.; FOSSUM, J. O.; SILVA, G. J. DA; AZEVEDO, E. N. DE; MAUROY, H.; PLIVELIC, T. S. Organoclay polypropylene nanocomposites under different electric field strengths. **Applied Clay Science**, v. 96, p. 67-72, 2014. (5597) - Fator de Impacto em 2013: 2,703
129. MOSCOSO- LONDOÑO, O.; MURACA, D.; TANCREDI, P.; COSIO-CASTAÑEDA, C.; PIROTA, K. R.; SOCOLOVSKY, L.M. Physicochemical studies of complex silver-magnetite nanoheterodimers with controlled morphology. **Journal of Physical Chemistry C**, v. 118, p. 13168-13176, 2014. (5599) - Fator de Impacto em 2013: 4,835
130. LONGO, E.; LONGO, V. M.; FOGGI, C. C.; FERRER, M. M.; GOUVEIA, AM. F.; ANDRÉ, R. S.; AVANSI, W.; VERGANI, C. E.; MACHADO, A. L.; CAVALCANTE, L. S.; HERNANDES, A. C.; ANDRÉS, J. Potentiated electron transference in α -Ag₂WO₄ microcrystals with Ag nanofilaments as microbial agent. **Journal of Physical Chemistry A**, v. 118, n. 31, p. 5769-5778, 2014. (5600) - Fator de Impacto em 2013: 2,775
131. POLIKARPOV, I.; MIOTTO, L. S.; REIS, C. V.; OLIVEIRA NETO, M. SAXS studies of the endoglucanase Cel12A from *Gloeophyllum trabeum* show its monomeric structure and reveal the influence of temperature on the structural stability of the enzyme. **Materials**, v. 7, n. 7, p. 5202-5211, 2014. (5601) - Fator de Impacto em 2013: 1,879
132. ELIAS, W. C.; EISING, R.; SILVA, T. R.; ALBUQUERQUE, B. L.; MARTENDAL, E.; MEIER, L.; DOMINGOS, J. B. Screening the formation of silver nanoparticles using a new reaction kinetics multivariate analysis and assessing their catalytic activity in the

- reduction of Nitroaromatic compounds. **Journal of Physical Chemistry C**, v. 118, n. 24, p. 12962-12971, 2014. (5602) - Fator de Impacto em 2013: 4,835
133. CASTILHO, R. B.; RAMALHO, T. C.; NUNEZ, C. V.; COUTINHO, L. H.; SANTOS, A. C. F.; PILLING, S.; LAGO, A. F.; SILVA-MORAES, M. O.; SOUZA, G. G. B. DE Single and double ionization of the camphor molecule excited around the C 1s edge. **Rapid Communications in Mass Spectrometry**, v. 28, n. 15, p. 1769-1776, 2014. (5604) - Fator de Impacto em 2013: 2,642
134. SILVA, D. O.; LUZA, L.; GUAL, A.; BAPTISTA, D. L.; BERNARDI, F.; ZAPATA, M. J. M.; MORAIS, J. DE; DUPONT, J. Straightforward synthesis of bimetallic Co/Pt nanoparticles in ionic liquid: atomic rearrangement driven by reduction-sulfidation processes and Fischer-Tropsch catalysis. **Nanoscale**, v. 6, n. 15, n. 9085-9092, 2014. (5605) - Fator de Impacto em 2013: 6,739
135. MAZZO, T. M.; PINATTI, I. M.; MACARIO, L. R.; AVANSI JR., W.; MOREIRA, M. L.; ROSA, I. L.V.; MASTELARO, V. R.; VARELA, J. A. Europium-doped calcium titanate: optical and structural evaluations. **Journal of Alloys and Compounds**, v. 585, p. 154-162, 2014. (5606) - Fator de Impacto em 2013: 2,726
136. CALASANS-MAIA, M. D.; CALASANS- MAIA, J.; SANTOS, S.; MAVRAPOULOS, E.; FARINA, M.; LIMA, I.C. B.; LOPES, T.; ROSSI, A.; GRANJEIRO, J. M. Short-term in vivo evaluation of zinc-containing calcium phosphate using a normalized procedure. **Materials Science and Engineering C**, v. 41, p. 309-319, 2014. (5607) - Fator de Impacto em 2013: 2,736
137. BILOVOL, V.; SACCONI, F. D. Occupancy of 4d-states in T (T: Mo, Nb) from NEXAFS L (3,2) Spectra of Nd-Fe-B-T Alloys. **Journal of Applied Spectroscopy**, v. 81, n. 3, p. 499-502, 2014. (5612) - Fator de Impacto em 2013: 0,514
138. BILOVOL, V.; PAMPILLO, L. G.; SACCONI, F. D. Study on target-film structural correlation in thin cobalt ferrite films grown by pulsed laser deposition technique. **Thin Solid Films**, v. 562, p. 218-222, 2014. (5613) - Fator de Impacto em 2013: 1,867
139. D'AMICO, D.; FASCE, L. A.; HOPPE, C. E.; LÓPEZ-QUINTELA, M. A.; CYRAS, V. P. Superparamagnetic nanocomposites obtained by dispersion of ultrafine magnetic iron oxide nanoparticles in poly(3-hydroxybutyrate). **European Polymer Journal**, v. 55, p. 160-169, 2014. (5618) - Fator de Impacto em 2013: 3,242
140. TEIXEIRA, V. C.; MONTES, P. J. R.; VALERIO, M. E. G. Structural and optical characterizations of Ca₂Al₂SiO₇:Ce³⁺, Mn²⁺ nanoparticles produced via a hybrid route. **Optical Materials**, v. 36, n. 9, p. 1580-1590, 2014. (5620) - Fator de Impacto em 2013: 2,075
141. CARDOSO, G. W. A.; LEAL, G.; SILVA SOBRINHO, A. S.; FRAGA, M. A.; MASSI, M. Evaluation of piezoresistivity properties of sputtered ZnO thin films. **Materials Research**, v. 17, n. 3, p. 588-592, 2014. (5622) - Fator de Impacto em 2013: 0
142. SOUZA, M. I.; SILVA, E. R.; JAQUES, Y. M.; FERREIRA, F. F.; FILETI, E. E.; ALVES, W. A. The role of water and structure on the generation of reactive oxygen species in peptide/hypericin complexes. **Journal of Peptide Science**, v. 20, n. 7, p. 554-562, 2014. (5623) - Fator de Impacto em 2013: 1,862
143. REHMAN, F.; VOLPE, P. L. O.; AIROLDI, C. The applicability of ordered mesoporous SBA-15 and its hydrophobic glutaraldehyde-bridge derivative to improve ibuprofen-

- loading in releasing system. **Colloids and Surfaces B**, v. 119, p. 82-89, 2014. (5626) - Fator de Impacto em 2013: 4,287
144. NAVARRO, A. M. M.; TORRES, C. E. R.; BILOVOL, V.; CABRERA, A. F.; ERRICO, L. A.; WEISSMANN, M. Study of the relation between oxygen vacancies and ferromagnetism in Fe-doped TiO₂ nano-powders. **Journal of Applied Physics**, v. 115, p. 223908, 2014. (5628) - Fator de Impacto em 2013: 2,185
145. HEREDIA, E.; BOJORGE, C. D.; CÁNEPA, H. R.; CASANOVA, J.; CRAIEVICH, A.; KELLERMANN, G. Nanostructured ZnO thin films prepared by sol-gel spin-coating. **Applied Surface Science**, v. 317, p.19-25, 2014. (5629) - Fator de Impacto em 2013: 2,538
146. SILVA, T. A. G.; TEIXEIRA-NETO, E.; LÓPEZ, N.; ROSSI, L. M. Volcano-like behavior of Au-Pd core-shell nanoparticles in the selective oxidation of alcohols. **Scientific Reports**, v. 4, p. 5766- 5670, 2014. (5630) - Fator de Impacto em 2013: 5,078
147. CAMPOS, R. P. S.; YOSHIDA, I. V. P; SILVA, J. A. F. Surface modification of PDMS microchips with poly(ethylene glycol) derivatives for mu TAS applications. **Electrophoresis**, v. 35, n. 16, p. 2346-2352, 2014. (5634) - Fator de Impacto em 2013: 3,161
148. ROSSI, A. L.; CAMPOS, A. P. C.; BARROSO, M. M. S.; KLAUTAU, M.; ARCHANJO, B. S.; BOROJEVIC, R.; FARINA, M.; WERCKMANN, J. Long-range crystalline order in spicules from the calcareous sponge *Paraleucilla magna* (Porifera, Calcarea). **Acta Biomaterialia**, v. 10, n. 9, p. 3875-3884, 2014. (5635) - Fator de Impacto em 2013: 5,684
149. SILVA, L. R.; PEREIRA, L. M.; ALVES, J. F.; MARIN, N.; SILVA, F. S.; MORGANTI, L.; SILVA, I. D. C. G.; AFFONSO, R. A simple strategy for the purification of native recombinant full-length human RPL10 protein from inclusion bodies. **Protein Expression and Purification**, v. 101, p. 115-120, 2014. (5637) - Fator de Impacto em 2013: 1,508
150. GRILLO, R.; PEREIRA, A. E. S.; NISHISAKA, C. S.; LIMA, R.; OEHLKE, K.; GREINER, R.; FRACETO, L. F. Chitosan/tripolyphosphate nanoparticles loaded with paraquat herbicide: an environmentally safer alternative for weed control. **Journal of Hazardous Materials**, v. 278, p. 163-171, 2014. (5640) - Fator de Impacto em 2013: 4,331
151. PAULI, M.; MATOS, M. J. S.; SILES, P. F.; PRADO, M. C.; NEVES, B. R. A.; FERREIRA, S. O.; MAZZONI, M. S. C.; MALACHIAS, A. Chemical stabilization and improved thermal resilience of molecular arrangements: possible formation of a surface network of bonds by multiple pulse atomic layer deposition. **Journal of Physical Chemistry B**, v. 118, n. 32, p. 9792-9799, 2014. (5641) - Fator de Impacto em 2013: 3,377
152. MOTA, A. A. R.; GATTO, C. C.; MACHADO, G.; OLIVEIRA, H. C. B.; FASCIOTTI, M.; BIANCHI, O.; EBERLIN, M. N.; NETO, B.A.D. Structural organization and supramolecular interactions of the task-specific ionic liquid 1-Methyl-3-carboxymethylimidazolium chloride: solid, solution, and gas phase structures. **Journal of Physical Chemistry C**, v. 118, n. 31, p. 17878-17889, 2014. (5644) - Fator de Impacto em 2013: 4,835
153. LIMA, B. V.; VIDAL, R. R. L.; VILLETTI, M. A.; BALABAN, R. C. Solution properties of poly(acrylamide-co-3,5,5-trimethylhexane methacrylate) and its polyelectrolyte

- derivative. **Colloid Polymer Science**, v. 292, p. 2123-2135, 2014. (5646) - Fator de Impacto em 2013: 2,41
154. ROSA, J. L.; ROBIN, A.; NAKAZATO, R. Z.; RIBEIRO, M. B.; PIASSA, M. P.; SILVA, M. B. DA Formation of titania nanotube arrays by anodisation: DOE approach. **Surface Engineering**, v. 30, n. 2, p. 115-122, 2014. (5650) - Fator de Impacto em 2013: 1,51
155. GARCIA, A. C.; LOPES, P. P.; GOMES, J. F.; PIRES, C.; FERREIRA, E. B.; LUCENA, R. G. M.; GASPAROTTO, L. H. S.; TREMILIOSI-FILHO, G. Eco-friendly synthesis of bimetallic AuAg nanoparticles. **New Journal of Chemistry**, v. 38, n. 7, p. 2865-2873, 2014. (5652) - Fator de Impacto em 2013: 3,159
156. SIMÕES, G.; RODRIGUES, F. N.; BERNINI, R. B.; CASTRO, C. S. C. DE; SOUZA, C. G. B. A NEXAFS and mass spectrometry study of cysteine, cystine and insulin irradiated with intermediate energy (0.8 keV) electrons. **Journal of Electron Spectroscopy and Related Phenomena**, v. 193, p. 21-216, 2014. (5653) - Fator de Impacto em 2013: 1,552
157. ANDRÉS, J.; GONZALES-NAVARRETE, P.; LONGO, V. M.; AVANSI JR., W.; VOLANTI, D. P.; FERRER, M. M.; LEMOS, P. S.; LA PORTA, F. A.; HERNANDES, A. C.; LONGO, E. Structural and electronic analysis of the atomic scale nucleation of Ag on alpha-Ag₂WO₄ induced by electron irradiation. **Scientific Reports**, v. 4, nr. 5391, 2014. (5655) - Fator de Impacto em 2013: 5,078
158. MAIA, T. A.; ASSAF, E. M. Catalytic features of Ni supported on CeO₂-ZrO₂ solid solution in the steam reforming of glycerol for syngas production. **RSC Advances**, v. 4, n. 59, p. 31142-31154, 2014. (5671) - Fator de Impacto em 2013: 3,708
159. DIAS, G. S.; SILVEIRA, L. G. D.; COTICA, L. F.; SANTOS, I. A.; COELHO, A. A.; GARCIA, D.; EIRAS, J. A.; SAMPAIO, J. A. Effect of the synthesis atmosphere on the magnetic and structural properties of TbMnO₃ multiferroic polycrystals. **Scripta Materialia**, v. 89, p. 65-68, 2014. (5681) - Fator de Impacto em 2013: 2,968
160. SILVA, T. F.; LUCRÉDIO, A. F.; ASSAF, E. M.; ASSAF, J. M. Hydrogen production from oxidative reforming of methane on Ni/gamma-Al₂O₃ catalysts: Effect of support promotion with La, La-Ce and La-Zr. **Fuel Processing Technology**, v. 127, p. 97-104, 2014. (5683) - Fator de Impacto em 2013: 3,019
161. IGNACHEWSKI, F.; DE CASTRO, E. G.; ANAISSI, F. J.; FUJIWARA, S. T. Synthesis, characterization and study of the photocatalytic activity of the Ti/Fe mixed oxide. **Journal of Advanced Oxidation Technologies**, v. 17, n. 2, p. 230-238, 2014. (5684) - Fator de Impacto em 2013: 1,106
162. FERREIRA NETO, E. P.; YSNAGA, O. A. E.; RODRIGUES-FILHO, U. P Zn²⁺ doped ormosil-phosphotungstate hybrid films with enhanced photochromic response. **Journal of Sol-Gel Science and Technology**, v. 72, n. 2, p. 290-300, 2014. (5693) - Fator de Impacto em 2013: 1,547
163. KILIAN, A. S.; BERNARDI, F.; PANCOTTI, A.; LANDERS, R.; SIERVO, A. DE; MORAIS, J. DE. Atomic structure of Cr₂O₃/Ag(111) and Pd/Cr₂O₃/Ag(111) surfaces: a photoelectron diffraction investigation. **Journal of Physical Chemistry C**, v. 118, n. 35, p. 20452-20460, 2014. (5704) - Fator de Impacto em 2013: 4,835

164. LUCAS, F. L. C.; GUIDO, V.; KÄFER, K. A.; BERNARDI, H. H.; OTUBO, J. ECAE processed NiTi shape memory alloy. **Materials Research**, v.17, supl. 1, p.186-190, 2014. (5730) - Fator de Impacto em 2013: 0
165. ZANPHORLIN, L. M.; ALVES, F. R.; RAMOS, C. H. I. The effect of celastrol, a triterpene with antitumorigenic activity, on conformational and functional aspects of the human 90 kDa heat shock protein Hsp90 alpha, a chaperone implicated in the stabilization of the tumor phenotype. **Biochimica et Biophysica Acta. General Subjects**, v. 1840, n. 10, p. 3145-3152, 2014. (5731) - Fator de Impacto em 2013: 3,829
166. BASBUS, J. F.; MORENO, M.; CANEIRO, A.; MOGNI, L. V. Effect of Pr-doping on structural, electrical, thermodynamic, and mechanical properties of BaCeO₃-delta as proton conductor. **Journal of the Electrochemical Society**, v. 161, n. 10, p. F969-F976, 2014. (5732) - Fator de Impacto em 2013: 2,859
167. MUSTAFA, D.; SILVA, I. G. N.; BAJPE, S. R.; MARTENS, J. A.; KIRSCHHOCK, C. E. A.; BREYNAERT, E.; BRITO, H. F. Eu@COK-16, a host sensitized, hybrid luminescent metal-organic framework. **Dalton Transactions**, v. 43, v. 36, p.13480-13484, 2014. (5733) - Fator de Impacto em 2013: 4,097
168. COELHO FILHO, P. R. DE C.; MARCHESIN, M. S.; MORALES, A. R.; BARTOLI, J. R. Electrical percolation, morphological and dispersion properties of MWCNT/PMMA nanocomposites. **Materials Research**, v. 17, supl. 1, p.127-132, 2014. (5734) - Fator de Impacto em 2013: 0
169. TSUCHIDA, J. E.; REZENDE, C. A.; OLIVEIRA-SILVA, R.; LIMA, M. A.; D'EURYDICE, M. N.; POLIKARPOV, I.; BONAGAMBA, T. J. Nuclear magnetic resonance investigation of water accessibility in cellulose of pretreated sugarcane bagasse. **Biotechnology for Biofuels**, v. 7, p. 127, 2014. (5735) - Fator de Impacto em 2013: 6,221
170. ANDRADE, A. B.; MELLO, A.C.S.; REZENDE, M. V. DOS S.; BALDOCHI, S.L.; VALERIO, M. E. G. Optical properties of Pr-doped BaY₂F₈. **Journal of Applied Physics**, v. 116, n. 5, p. 053521, 2014. (5736) - Fator de Impacto em 2013: 2,185
171. SILVA, W. L.; LANSARIN, M. A.; STEDILE, F. C.; DOS SANTOS, J. H. Z. The potential of chemical industrial and academic wastes as a source of supported photocatalysts. **Journal of Molecular Catalysis A**, v. 393, p. 125-133, 2014. (5737) - Fator de Impacto em 2013: 3,679
172. ESCOBAR, D.; OSPINA, R. O.; GÓMEZ, A. G.; RESTREPO PARRA, E.; ARANGO, P. J. X-ray microstructural analysis of nanocrystalline TiZrN thin films by diffraction pattern modeling. **Materials Characterization**, v. 88, p. 119-126, 2014. (5739) - Fator de Impacto em 2013: 1,925
173. CASSINELLI, W. H.; DAMYANOVA, S.; PARIZOTTO, N. V.; ZANCHET, D.; BUENO, J. M. C.; MARQUES, C. M. P. Study of the properties of supported Pd catalysts for steam and autothermal reforming of methane. **Applied Catalysis A**, v. 475, p. 256-269, 2014. (5741) - Fator de Impacto em 2013: 3,674
174. DAL BÓ, A. G.; SOLDI, V.; GIACOMELLI, F. C.; TRAVELET, C.; BORSALI, R.; FORT, S. Synthesis, micellization and lectin binding of new glycosurfactants. **Carbohydrate Research**, v. 397, p. 31-36, 2014. (5742) - Fator de Impacto em 2013: 1,966
175. GRASSI, G.; MICHELS, L.; ROZYNEK, Z.; ALTOÉ, M. A. S.; SANTOS, E. C. DOS; DA FONSECA, C. L. S.; DROPPA JR., R.; GHOLAMIPOUR-SHIRAZI, A.; FOSSUM, J. O.;

- SILVA, G. J. DA. Cation exchange dynamics confined in a synthetic clay mineral. **European Physical Journal Special Topics (The)**, v. 223, n. 9, p.1883-1893, 2014. (5745) - Fator de Impacto em 2013: 1,76
176. TIBOLLA, H.; PELISSARI, F. M.; MENEGALLI, F. C. Cellulose nanofibers produced from banana peel by chemical and enzymatic treatment. **LWT-Food Science and Technology**, v. 59, n. 2, p.1311-1318, 2014. (5754) - Fator de Impacto em 2013: 2,468
177. USHIKUBO, F. Y.; BIRRIBILLI, F. S.; OLIVEIRA, D. R. B.; CUNHA, R. L. DA Y- and T-junction microfluidic devices: effect of fluids and interface properties and operating conditions. **Microfluidics and Nanofluidics**, v. 17, n. 4, p. 711-720, 2014. (5758) - Fator de Impacto em 2013: 2,665
178. SOUZA, J. S.; KRAMBROCK, K.; PINHEIRO, M. V. B.; ANDO, R. A.; GUHA, S.; ALVES, W. A. Visible-light photocatalytic activity of NH₄NO₃ ion-exchanged nitrogen-doped titanate and TiO₂ nanotubes. **Journal of Molecular Catalysis A**, v. 394, p. 48-56, 2014. (5759) - Fator de Impacto em 2013: 3,679
179. CORTEZ, M.L.; DE MATTEIS, N.; CEOLÍN, M. R.; KNOLL, W.; BATTAGLINI, F.; AZZARONI, O. Hydrophobic interactions leading to a complex interplay between bioelectrocatalytic properties and multilayer meso-organization in layer-by-layer assemblies. **Physical Chemistry Chemical Physics (PCCP)**, v.16, n. 38, p. 20844-20855, 2014. (5768) - Fator de Impacto em 2013: 4,198
180. FASOLIN, L. H.; SANTANA, R. C.; CUNHA, R. L. DA. Influence of organic acids on surfactant self-assemblies in surfactant/oil/water systems. **Colloids and Surfaces A**, v. 459, p. 290-297, 2014. (5772) - Fator de Impacto em 2013: 2,354
181. GODOI, F. C.; RABELO, R. B.; SILVA, M. A.; RODRÍGUEZ-CASTELLÓN, E. R.; GUIBAL, E.; BEPPU, M. M. Introduction of copper nanoparticles in chitosan matrix as strategy to enhance chromate adsorption. **Chemical Engineering and Processing**, v. 83, p. 43-48, 2014. (5777) - Fator de Impacto em 2013: 1,959
182. NUNES, E. DA S.; VIALI, W. R.; SILVA, S. W.; HUAMANÍ, J. A. C.; GARG, V. K.; OLIVEIRA, A. C.; MORAIS, P. C.; JAFELICCI JR., M. Characterization of tetraethylene glycol passivated iron nanoparticles. **Applied Surface Science**, v. 315, p. 337-345, 2014. (5789) - Fator de Impacto em 2013: 2,538
183. MELO JR., M. A.; PIRES, C. T. G. V. M. T.; AIROLDI, C. The influence of the leaving iodine atom on phyllosilicate syntheses and useful application in toxic metal removal with favorable energetic effects. **RSC Advances**, v. 4, n. 77, p. 41028-41038, 2014. (5798) - Fator de Impacto em 2013: 3,708
184. CORTEZ, M.L.; MARMISOLLÉ, W.; PALLAROLA, D.; PIETRASANTA, L. I.; MURGIDA, D.; CEOLÍN, M. R.; AZZARONI, O.; BATTAGLINI, F. Effect of gold nanoparticles on the structure and electrontransfer characteristics of glucose oxidase redox polyelectrolyte-surfactant complexes. **Chemistry - A European Journal**, v. 20, n. 41, p. 13366-13374, 2014. (5799) - Fator de Impacto em 2013: 5,696
185. BIANCHI, R. C.; SILVA, E. R.; DALL'ANTONIA, L. H.; FERREIRA, F. F.; ALVES, W. A. A nonenzymatic biosensor based on gold electrodes modified with peptide self-assemblies for detecting ammonia and urea oxidation. **Langmuir**, v. 30, n. 38, n. 11464-11473, 2014. (5801) - Fator de Impacto em 2013: 4,384

186. HECK, C. A.; GIACOMOLLI, D. A.; LIVOTTO, P. R.; DOS SANTOS, J. H. Z.; WOLF, C. R. Hybrid silica generated In situ in polyurethane-based composites. **Journal of Applied Polymer Science**, v.131, n. 23, p. 41157, 2014. (5805) - Fator de Impacto em 2013: 1,64
187. AIROLDI, C.; OLIVEIRA, V. V. Hydrophobic contribution to amoxicillin release associated with organofunctionalized mesoporous SBA-16 carriers. **Materials Research Bulletin**, v. 59, p. 214-222, 2014. (5806) - Fator de Impacto em 2013: 1,698
188. REÁTEGUI, J. L. P.; MACHADO, A. P. F.; BARBERO, G. F.; REZENDE, C. A.; MARTINEZ, J. Extraction of antioxidant compounds from blackberry (*Rubus* sp.) bagasse using supercritical CO₂ assisted by ultrasound. **The Journal of Supercritical Fluids**, v. 94, n. 223-233, 2014. (5811) - Fator de Impacto em 2013: 2,571
189. RINCÓN-CARDONA, J. A.; AGUDELO-LAVERDE, L. M.; MARTINI, S.; CANDAL, R. J.; HERRERA, M. L. In situ synchrotron radiation X-ray scattering study on the effect of a stearic sucrose ester on polymorphic behavior of a new sunflower oil variety. **Food Research International**, v. 64, p. 9-17, 2014. (5813) - Fator de Impacto em 2013: 3,05
190. CORRICELLI, M.; ALTAMURA, D.; CURRI, M. L.; SIBILANO, T.; SILIQI, D.; MAZZONE, A.; DEPALO, N.; FANIZZA, E.; ZANCHET, D.; GIANNINI, C.; STRICCOLI, M. GISAXS and GIWAXS study on self-assembling processes of nanoparticle based superlattices. **CrystEngComm**, v. 16, n. 9482-9492, 2014. (5814) - Fator de Impacto em 2013: 3,858
191. BERNARDO, P. L.; GHIVELDER, L.; ESLAVA, G. R. G.; AMORIM, H. S.; FELNER, I.; GARCIA, S. Monoclinic distortion and magnetic coupling in the double Perovskite Sr₂xCa_xYRuO₆. **Journal of Solid State Chemistry**, v. 220, p. 270-276, 2014. (5816) - Fator de Impacto em 2013: 2,2
192. HASSAN, A.; PAGANIN, M.; CARRERAS, A.; TICIANELLI, E. A. Molybdenum carbide-based electrocatalysts for CO tolerance in proton exchange membrane fuel cell anodes. **Electrochimica Acta**, v. 142, p. 307-316, 2014. (5817) - Fator de Impacto em 2013: 4,086
193. KILIAN, A. S.; PANCOTTI, A.; LANDERS, R.; SIERVO, A. DE; MORAIS, J. DE. Probing the surface atomic structure of Au/Cr₂O₃/Pd(111) by photoelectron diffraction. **CrystEngComm**, v.16, n.39, p.9291-9298, 2014. (5818) - Fator de Impacto em 2013: 3,858
194. BILOVOL, V.; PAMPILLO, L. G.; WOLFF, U.; SACCONI, F. D. Cobalt Ferrite films: nanopolishing and magnetic properties. **IEEE Transactions on Magnetics**, v. 50, n. 9, p. 6000305, 2014. (5819) - Fator de Impacto em 2013: 1,213
195. MIOTTO, L. S.; REZENDE, C. A.; BERNARDES, A.; SERPA, V. I.; POLIKARPOV, I. The characterization of the endoglucanase Cel12A from *Gloeophyllum trabeum* reveals an enzyme highly active on beta-glucan. **PloS One**, v. 9, n. 9, p. e108393, 2014. (5825) - Fator de Impacto em 2013: 3,534
196. SINGH, V.; SATYANARAYANA, V. S. V.; BATINA, N.; REYES, I. M.; SHARMA, S. K.; KESSLER, F.; WEIBEL, D. E.; GHOSH, S.; GONSALVES, K. E. Performance evaluation of nonchemically amplified negative tone photoresists for e-beam and EUV lithography. **Journal of Micro-Nanolithography MEMS and MOEMS**, v. 13, n. 4, p. 043002, 2014. (5840) - Fator de Impacto em 2013: 1,205

197. SILVA, R. A. G.; PAGANOTTI, A.; JABASE, L.; ADORNO, A. T.; CARVALHO, T. M.; SANTOS, C. M. A. Ag-rich precipitates formation in the Cu-11%Al-10%Mn-3%Ag alloy. **Journal of Alloys and Compounds**, v.615, p. S160-S162, 2014. (5857) - Fator de Impacto em 2013: 2,726
198. BARBELLI, M. L.; MIZRAHI, M.; POMPEO, F.; SANTORI, G. F.; NICHIO, N. N.; RAMALLO-LÓPEZ, J. M. EXAFS characterization of PtNi bimetallic catalyst applied to glycerol liquid-phase conversion. **Journal of Physical Chemistry C**, v. 118, n. 41, p. 23645-23653, 2014. (5860) - Fator de Impacto em 2013: 4,835
199. VERA, M. L.; ALTERACH, M. A.; ROSENBERGER, M.; LAMAS, D. G.; SCHVEZOV, C. E.; ARES, A. E. Characterization of TiO₂ nanofilms obtained by sol-gel and anodic oxidation. **Nanomaterials and Nanotechnology**, v. 4, n. 10, p.1-11, 2014. (5883) - Fator de Impacto em 2013: 0,949
200. OLIVEIRA, E. C.; ECHEGOYEN, Y.; NERIN, C.; CRUZ, S. A. Barrier properties to surrogates of hydrogenated carbon nano-films deposited on PET by plasma-enhanced chemical vapour deposition. **Food Additives and Contaminants A**, v. 31, n. 11, p. 1914-1927, 2014. (5902) - Fator de Impacto em 2013: 2,341
201. GARCÍA- BASABE, Y.; MARCHIORI, C. F. N.; MOURA, C. E. V.; ROCHA, A. B.; ROMAN, L. S.; ROCCO, M. L. M. Charge transfer dynamics and molecular orientation probed by core electron spectroscopies on thermal-annealed polysilafluorene derivative: experimental and theoretical approaches. **Journal of Physical Chemistry C**, v. 118, n. 41, p. 23863-23873, 2014. (5903) - Fator de Impacto em 2013: 4,835
202. THOMAZI, F.; SOUZA, M. R.; SAUL, C. K.; VIANA, G. A.; MARQUES, F. C.; SILVESTRE, R. G. M.; BREHM, M. A.; BURKARTER, E. Experimental realization of TiO₂ nanosponge/spin-coated P3HT heterojunction solar cells. **Current Nanoscience**, v.10, n. 6, p. 877-882. (5905) - Fator de Impacto em 2013: 1,422
203. SANTOS, E. B.; SIGOLI, F. A.; MAZALI, I. O. Facile synthesis of the dendritic structure of silver nanoparticles-chitosan and its application as an effective SERS substrate. **New Journal of Chemistry**, v. 38, n. 11, p. 5369-5375, 2014. (5906) - Fator de Impacto em 2013: 3,159
204. SETTI, G. O.; OLIVEIRA, M. F.; MAIA, I. A.; SILVA, J. V. L.; JOANNI, E. Functionalization of SLS parts for application as SERS substrates in chemical analysis preliminary results. **Rapid Prototyping Journal**, v. 20, n. 4, p. 280-284, 2014. (5907) - Fator de Impacto em 2013: 1,156
205. PARREIRAS, D. E.; SOARES, E. A.; ABREU, G. J. P.; BUENO, T. E. P.; FERNANDES, W. P.; CARVALHO, V. E. DE; CARARA, S. S.; CHACHAM, H.; PANIAGO, R.M. Graphene/Ni(111) surface structure probed by low-energy electron diffraction, photoelectron diffraction, and first-principles calculations. **Physical Review B**, v. 90, n. 15, p. 155454, 2014. (5909) - Fator de Impacto em 2013: 3,664
206. ALTEI, W. F.; PICCHI, D. G.; ABISSI, B. M.; GIESEL, G. M.; FLAUSINO JR., O.; REBOUD-RAVAUX, M.; VERLI, H.; CRUSCA JR., E.; SILVEIRA, E. R.; CILLI, E. M.; BOLZANI, V. S. Jatrophidin I, a cyclic peptide from Brazilian *Jatropha curcas* L.: Isolation, characterization, conformational studies and biological activity. **Phytochemistry**, v. 107, p. 91-96, 2014. (5910) - Fator de Impacto em 2013: 3,35

207. MANZOLI, A.; SHIMIZU, F. M.; MERCANTE, L. A.; PARIS, E. C.; OLIVEIRA JR., O. N.; CORRÊA, D. S.; MATTOSO, L. H. C. Layer-by-layer fabrication of AgCl-PANI hybrid nanocomposite films for electronic tongues. **Physical Chemistry Chemical Physics (PCCP)**, v. 16, n. 44, p. 24275-24281, 2014. (5911) - Fator de Impacto em 2013: 4,198
208. SOUZA, A. L.; ANGELO, P. C. S.; NOGUEIRA, P. P. O.; GONÇALVES, J. F. C.; FRANCO, A. M.; ASTOLFI-FILHO, S.; LÓPEZ-LOZANO, J. L.; ANDRADE, E. V. Method for obtaining high-resolution proteomic analysis from pericarps of guarana. **Genetics and Molecular Research**, v. 13, n. 3, p. 8014-8024, 2014. (5912) - Fator de Impacto em 2013: 0,85
209. MARTINS, M. L.; FLORENTINO, A. O.; CAVALHEIRO, A. A.; SILVA, R. I. V.; SANTOS, D. I. DOS; SAEKI, M. J. Mechanisms of phase formation along the synthesis of Mn-Zn ferrites by the polymeric precursor method. **Ceramics International**, v. 40, n. 10, p. 16023-16031, 2014. (5914) - Fator de Impacto em 2013: 2,086
210. GADIOLI, R.; MORAIS, J. A.; WALDMAN, W. R.; DE PAOLI, M.-A. The role of lignin in polypropylene composites with semi-bleached cellulose fibers: mechanical properties and its activity as antioxidant. **Polymer Degradation and Stability**, v. 108, p. 23-34, 2014. (5915) - Fator de Impacto em 2013: 2,633
211. ASENCIOS, Y. J. O.; ELIAS, K. F. M.; ASSAF, E. M. Oxidative-reforming of model biogas over NiO/Al₂O₃ catalysts: the influence of the variation of support synthesis conditions. **Applied Surface Science**, v. 317, p. 350-359, 2014. (5916) - Fator de Impacto em 2013: 2,538
212. PICCO, A.; KRASKA, M.; DIDZOLEIT, H.; APPEL, C.; SILBESTRI, G. F.; AZZARONI, O.; STÜHN, B.; CEOLÍN, M. R. On the supramacromolecular structure of core-shell amphiphilic macromolecules derived from hyperbranched polyethyleneimine. **Journal of Colloid and Interface Science**, v. 436, p. 243-250, 2014. (5918) - Fator de Impacto em 2013: 3,552
213. DINIZ, R. S.; COIMBRA, J. S. DOS R.; TEIXEIRA, A. V. N. C.; COSTA, A. R.; SANTOS, I. J. B.; BRESSAN, G. C.; RODRIGUES, A. M. DA C.; SILVA, L. H. M. Production, characterization and foamability of alpha-lactalbumin/glycomacropeptide supramolecular structures. **Food Research International**, v. 64, p. 157-165, 2014. (5919) - Fator de Impacto em 2013: 3,05
214. ANDRADE, G. R. S.; NASCIMENTO, C. C.; MATOS, C. R. S.; SUSSUCHI, E. M.; COSTA, L. P. DA; NASCIMENTO, K. S.; CAVADA, B. S.; GIMENEZ, I. F. Study of the bioconjugation of ternary alloyed ZnCdTe nanocrystals to Concanavalin A. **Journal of Photochemistry and Photobiology A**, v. 295, p. 46-52, 2014. (5920) - Fator de Impacto em 2013: 2,291
215. ESCOBAR, C. C.; DARTORA, M. H.; RADTKE, C.; BAYNE, J. M.; BUTLER, I. S.; LATTUADA, R. M.; DOS SANTOS, J. H. Z. The role of the sol-gel route on the interaction between rhodamine B and a silica matrix. **Journal of Sol-Gel Science and Technology**, v. 72, n. 2, p. 260-272, 2014. (5921) - Fator de Impacto em 2013: 1,547
216. ALMEIDA, G. C.; PILLING, S.; ANDRADE, D. P. P.; CASTRO, N. L. S.; MENDOZA, E.; BOECHAT-ROBERTY, H. M.; ROCCO, M. L. M. Photodesorption and photostability of acetone ices: relevance to solid phase astrochemistry. **Journal of Physical Chemistry C**, v. 118, n. 12, p. 6193-6200, 2014. (5925) - Fator de Impacto em 2013: 4,835

217. ZANIN, H. G.; HOLLANDA, L. M.; CERAGIOLI, H. J.; FERREIRA, M. S.; MACHADO, D.; LANCELOTTI, M.; CATHARINO, R. R.; BARANAUSKAS, V.; LOBO, A. O. Carbon nanoparticles for gene transfection in eukaryotic cell lines. **Materials Science and Engineering C**, v. 39, n. 359-370, 2014. (5926) - Fator de Impacto em 2013: 2,736
218. SANTANA, HE.; ÁVILA, C. L.; CABRERA, I.; PÁEZ, R.; FÁLCON, V.; PESSOA JR., A.; VENTOSA, N.; VECIANA, J.; ITRI, R.; BARBOSA, L. R. S. How does growth hormone releasing hexapeptide self-assemble in nanotubes? **Soft Matter**, v. 10, n. 46, p. 9260-9269, 2014. (5930) - Fator de Impacto em 2013: 4,151
219. CAMPOS, V. A. C.; PERINA, F. J.; ALVES, E.; SARTORELLI, J. C.; MOURA, A. M.; OLIVEIRA, D. F. Anadenanthera colubrina (Vell.) Brenan produces steroidal substances that are active against *Alternaria alternata* (Fr.) Keissler and that may bind to oxysterol-binding proteins. **Pest Management Science**, v. 70, n. 12, p. 1815-1822, 2014. (5931) - Fator de Impacto em 2013: 2,743
220. MARCOS, F. C. F.; LUCRÉDIO, A. F.; ASSAF, E. M. Effects of adding basic oxides of La and/or Ce to SiO₂-supported Co catalysts for ethanol steam reforming. **RSC Advances**, v. 4, n. 83, p. 43839-43849, 2014. (5935) - Fator de Impacto em 2013: 3,708
221. STRAUSS, M.; PASTORELLO, M.; SIGOLI, F. A.; SILVA, J. M. S.; MAZALI, I. O. Singular effect of crystallite size on the charge carrier generation and photocatalytic activity of nano-TiO₂. **Applied Surface Science**, v. 319, p. 151-157, 2014. (5937) - Fator de Impacto em 2013: 2,538
222. OLIVEIRA, C. L. P.; MONTEIRO, A. M.; FIGUEIREDO NETO, A. M. Structural modifications and clustering of low-density lipoproteins in solution induced by heating. **Brazilian Journal of Physics**, v. 44, n. 6, p. 753-764, 2014. (5939) - Fator de Impacto em 2013: 0,683
223. ARAUJO, K. A. S.; PAULI, M.; FERREIRA, S. O.; MALACHIAS, A.; CURY, L. A. Interface engineering to probe exciton energy transfer mechanism in conjugated polymer bilayers. **Organic Electronics**, v. 15, n. 12, p. 3501-3505, 2014. (5955) - Fator de Impacto em 2013: 3,676
224. CAUMO, K. S.; MONTEIRO, K. M.; OTT, T. R.; MASCHIO, V. J.; WAGNER, G.; FERREIRA, H. B.; ROTT, M. B. Proteomic profiling of the infective trophozoite stage of *Acanthamoeba polyphaga*. **Acta Tropica**, v. 140, p. 166-172, 2014. (5956) - Fator de Impacto em 2013: 2,519
225. SANCHEZ, D. F.; RODRIGUES, F.; LUCE, F. P.; FABRIM, Z. E.; AZEVEDO, G. DE M.; KELLERMANN, G.; BAPTISTA, D. L.; GRANDE, P. L.; FICHTNER, P. F. P. MEIS, TEM and GISAXS investigation of buried Pb nanoislands in SiO₂/Si interface. **Applied Surface Science**, v. 321, p. 80-85, 2014. (5969) - Fator de Impacto em 2013: 2,538
226. HUANCAHUIRE-VEGA, S.; PONCE-SOTO, L. A.; MARANGONI, S. PhTX-II a basic myotoxic phospholipase A(2) from porthidium hyoprora snake venom, pharmacological characterization and amino acid sequence by mass spectrometry. **Toxins**, v. 6, n. 11, p. 3077-3097, 2014. (5970) - Fator de Impacto em 2013: 2,48
227. SILVA, Y.P.; DALMORO, V.; RUIZ, Y. P. M.; CAPELETTI, L. B.; MENDONÇA, C. R.; SANTOS, J. H. Z. DOS; PIATNICKI, C.M.S. Biodiesel water in oil microemulsions: ferrocene as a hydrophobic probe for direct analysis by differential pulse voltammetry at a Pt ultramicroelectrode. **Analytical Methods**, v. 6, n. 23, p. 9212-9219, 2014. (5971) - Fator de Impacto em 2013: 1,938

228. DELUIGI, M. T.; DE GROOT, F. M. F.; LÓPEZ-DÍAZ, G.; TIRAO, G.; STUTZ, G.; DE LA VEGA, J. R. Core and valence structures in K beta X-ray emission spectra of chromium materials. **Journal of Physical Chemistry C**, v.118, n. 38, p. 22202-22210, 2014. (5972) - Fator de Impacto em 2013: 4,835
229. ANDRADE, G. R. S.; NASCIMENTO, C. C.; XAVIER, P. A.; COSTA, S. S. L.; COSTA, L. P. DA; GIMENEZ, I. F. Cu-doped CdS and ZnS nanocrystals grown onto thiolated silica-gel. **Optical Materials**, v. 37, p. 641-645, 2014. (5973) - Fator de Impacto em 2013: 2,075
230. SILVEIRA, J. V.; SAVU, R.; CANESQUI, M. A.; ALVES, O. L.; MENDES-FILHO, J.; SWART, J. W.; SOUZA FILHO, A. G.; MOSHKALEV, S. A. Improvement of electrical and thermal contacts between carbon nanotubes and metallic electrodes by laser annealing. **Journal of Nanoelectronics and Optoelectronics**, v. 9, n. 3, p. 374-380, 2014. (5974) - Fator de Impacto em 2013: 0,369
231. LIMA, D. C.; DUARTE, F. T.; MEDEIROS, V. K. S.; LIMA, D. B.; CARVALHO, P. C.; BONATTO, D.; MEDEIROS, S. R. B. The influence of iron on the proteomic profile of *Chromobacterium violaceum*. **BMC Microbiology**, v. 14, p. 267, 2014. (5975) - Fator de Impacto em 2013: 2,976
232. NASCIMENTO, A. S.; MUNIZ, J. R. C.; APARICIO, R.; GOLUBEV, A. M.; POLIKARPOV, I. Insights into the structure and function of fungal beta-mannosidases from glycoside hydrolase family 2 based on multiple crystal structures of the *Trichoderma harzianum* enzyme. **FEBS Journal**, v. 281, n. 18, p. 4165-41, 2014. (5976) - Fator de Impacto em 2013: 3,986
233. CEZAR, A. B.; GRAFF, I. L.; VARALDA, J.; SCHREINER, W. H.; MOSCA, D. H. Oxygen-vacancy-induced room-temperature magnetization in lamellar V2O5 thin films. **Journal of Applied Physics**, v. 116, n.16, p. 163904, 2014. (5977) - Fator de Impacto em 2013: 2,185
234. RISSI, N. C.; GUGLIELMI, D. A. S.; CORRÊA, M. A.; CHIAVACCI, L. A. Relationship between composition and organizational levels of nanostructured systems formed by Oleth 10 and PPG-5-Ceteth-20 for potential drug delivery. **Brazilian Journal of Pharmaceutical Sciences**, v. 50, n. 3, p. 653-661, 2014. (5978) - Fator de Impacto em 2013: 0,302
235. CARAVIERI, B. B.; OLIVEIRA, P. F. DE; FURTADO, R. A.; TAVARES, D. C.; NASSAR, E. J.; CIUFFI, K. J.; MOLINA, E. F. Solubility enhancement of ibuprofen using tri-ureasil-PPO hybrid: structural, cytotoxic, and drug release investigation. **Journal of Sol-Gel Science and Technology**, v. 72, n. 3, p. 627-636, 2014. (5979) - Fator de Impacto em 2013: 1,547
236. ELEUTERIO, F. H. S.; AMORIM, L. S.; BELICH, H.; ORLANDO, M. T. D.; PASSOS, C. A. C. Two mixed superconducting phases in (Hg, Re)-1223 ceramics. **Journal of Superconductivity and Novel Magnetism**, v. 27, n. 12, p. 2679-2684, 2014. (5980) - Fator de Impacto em 2013: 0,93
237. LAGO, A. F.; JANUARIO, R. D.; SIMON, M.; DÁVALOS, J. Z. VUV photodissociation of thiazole molecule investigated by TOF-MS and photoelectron photoion coincidence spectroscopy. **Journal of Mass Spectrometry**, v. 49, n. 11, p. 1163-1170, 2014. (5981) - Fator de Impacto em 2013: 2,709

238. SÁ, A. D. T. DE; ABRÃO OIKO, V. T.; DOMENICANTONIO, G. DE; RODRIGUES, V. New experimental setup for metallic clusters production based on hollow cylindrical magnetron sputtering. **Journal of Vacuum Science & Technology B**, v. 32, n. 6, p. 061804, 2014. (5983) - Fator de Impacto em 2013: 1,358
239. ADRIANO, C.; ROSA, P. F. S.; JESUS, C. B. R.; MARDEGAN, J. R. L.; GARITEZI, T. M.; GRANT, T.; FISK, Z.; GARCIA, D. J.; REYES, A. P.; KUHNS, P. L.; URBANO, R. R.; GILES, C.; PAGLIUSO, P. G. Physical properties and magnetic structure of the intermetallic CeCuBi₂ compound. **Physical Review B**, v. 90, n. 23, p.235120, 2014. (5984) - Fator de Impacto em 2013: 3,664
240. RIBEIRO, M. C.; RABELO NETO, R. C.; MATTOS, L. V.; JACOBS, G.; DAVIS, B. H.; NORONHA, F. B. A Relationship between the production of oxygenates from ethanol/steam mixtures and the oxygen mobility in transition metal oxide doped CeO₂ center dot SiO₂ catalysts. **Journal of Physical Chemistry C**, v. 118, n. 48, p. 28007-28016, 2014. (5989) - Fator de Impacto em 2013: 4,835
241. SOUZA, C.; WATANABE, E.; BORGHETI-CARDOSO, L. N.; FANTINI, M. C. A.; LARA, M. G. Mucoadhesive system formed by liquid crystals for buccal administration of poly(hexamethylene biguanide) hydrochloride. **Journal of Pharmaceutical Sciences**, v. 103, n. 12, p. 3914-3923, 2014. (5990) - Fator de Impacto em 2013: 3,007
242. KASSAB, L. R. P.; CAMILO, M. E.; SILVA, D. S.; ASSUMPÇÃO, T. A. A. DE; FEDORCHUK, A. I.; PLUCINSKI, K. J. Laser stimulated piezoelectricity in Er³⁺ doped GeO₂-Bi₂O₃ glasses containing silicon nanocrystals. **Optical Materials**, v. 38, p. 28-32, 2014. (5991) - Fator de Impacto em 2013: 2,075
243. CATTO, A. C.; DA SILVA, L. F.; BERNARDI, M. I. B.; LI, M. S.; LONGO, E.; LISBOA-FILHO, P. N.; NASCIMENTO, O. R.; MASTELARO, V. R. An investigation into the influence of zinc precursor on the microstructural, photoluminescence, and gas-sensing properties of ZnO nanoparticles. **Journal of Nanoparticle Research**, v. 16, p. 2760-2769, 2014. (5997) - Fator de Impacto em 2013: 2,278
244. THIRUMALAIRAJAN, S.; MASTELARO, V. R.; ESCANHOELA JR., C. A. In-Depth understanding of the relation between CuAlO₂ particle size and morphology for ozone gas sensor detection at a nanoscale level. **ACS Applied Materials & Interfaces**, v. 6, n. 23, p. 21739-21749, 2014. (5999) - Fator de Impacto em 2013: 5,9
245. CIPRIANO, T.; KNOTTS, G.; LAUDARI, A.; BIANCHI, R. C.; ALVES, W. A.; GUHA, S. Bioinspired peptide nanostructures for organic field-effect transistors. **ACS Applied Materials & Interfaces**, v. 6, n. 23, p. 21408-21415, 2014. (6002) - Fator de Impacto em 2013: 5,9
246. GALVÃO, W. S.; FREIRE, R. M.; RIBEIRO, T. S.; SALES, F. A. M.; VASCONCELOS, I. F.; COSTA, L. S.; FREIRE, V. N.; DENARDIN, J. C.; FECHINE, P. B. A. Cubic superparamagnetic nanoparticles of NiFe₂O₄ via fast microwave heating. **Journal of Nanoparticle Research**, v. 16, n. 12, p. 2803-2810, 2014. (6013) - Fator de Impacto em 2013: 2,278
247. SILVA, T. A.; ZANIN, H. G.; MAY, P. W.; CORAT, E. J.; FATIBELLO-FILHO, O. Electrochemical performance of porous diamond-like carbon electrodes for sensing hormones, neurotransmitters, and endocrine disruptors. **ACS Applied Materials & Interfaces**, v. 6, n. 23, p. 21086-21092, 2014. (6014) - Fator de Impacto em 2013: 5,9

248. LOPES, S. C. DE A.; NOVAIS, V. M.; FERREIRA, D. S.; BRAGA, F. C.; MAGALHÃES-PANIAGO, R.; MALACHIAS, A.; OLIVEIRA, M. C. Ursolic acid incorporation does not prevent the formation of a non-lamellar phase in pH-sensitive and long-circulating liposomes. **Langmuir**, v. 30, n. 50, p. 15083-15090, 2014. (6025) - Fator de Impacto em 2013: 4,384
249. OESTREICHER, V.; FÁBREGAS, I. O.; JOBBÁGY, M. One-pot epoxide-driven synthesis of $M_2Al(OH)_6Cl \cdot 1.5H_2O$ layered double hydroxides: precipitation mechanism and relative stabilities. **Journal of Physical Chemistry C**, v. 118, n. 51, p. 30274-30281, 2014. (6029) - Fator de Impacto em 2013: 4,835
250. KHAN, L. U.; BRITO, H. F.; HÖLSÄ, J.; PIROTA, K. R.; MURACA, D.; FELINTO, M. C. F. C.; TEOTÔNIO, E. E. S.; MALTA, O. L. Red-green emitting and superparamagnetic nanomarkers containing Fe_3O_4 functionalized with calixarene and rare earth complexes. **Inorganic Chemistry**, v. 53, n. 24, p. 12902-12910, 2014. (6030) - Fator de Impacto em 2013: 4,794
251. CAMPOS, M.; SOUZA, S. D.; MARTINEZ, L. G.; OLZON-DIONYSIO, M. Study of expanded austenite formed in plasma nitrided AISI 316L samples, using synchrotron radiation diffraction. **Materials Research**, v. 17, n. 5, p. 1302-1308, 2014. (6036) - Fator de Impacto em 2013: 0
252. AQUINO NETO, S.; ALMEIDA, T. S.; PALMA, L. M.; MINTEER, S. D.; ANDRADE, A. R. Hybrid nanocatalysts containing enzymes and metallic nanoparticles for ethanol/O₂ biofuel cell. **Journal of Power Sources**, v. 259, p. 25-32, 2014. (6038) - Fator de Impacto em 2013: 5,211
253. NETO, B.A.D.; MOTA, A. A. R.; GATTO, C. C.; MACHADO, G.; FASCIOTTI, M.; OLIVEIRA, H. C. B.; BIANCHI, O.; EBERLIN, M. N. Solid, solution and gas phase interactions of an imidazolium-based task-specific ionic liquid derived from natural kojic acid. **Journal of Brazilian Chemical Society**, v. 25, n. 12, p. 2280-2294, 2014. (6056) - Fator de Impacto em 2013: 1,253
254. PERCEBOM, A. M.; BARBOSA, L. R. S.; ITRI, R.; LOH, W. How does the ethoxylated grafting of polyelectrolytes affect the self-assembly of polyanion cationic surfactant complex salts? **Langmuir**, v. 30, n. 39, p.11493-11503, 2014. (6077) - Fator de Impacto em 2013: 4,384
255. DA SILVA, E. A.; DE OLIVEIRA, V. J. R.; BRAUNGER, M. L.; CONSTANTINO, C. J. L.; OLIVATI, C. A. Poly(3-octylthiophene)/stearic acid langmuir and langmuir-blodgett films: preparation and characterization. **Materials Research**, v. 17, n. 6, p. 1442-1448, 2014. (6080) - Fator de Impacto em 2013: 0
256. DE MORAES, M. L.; RAMALHO, D. M. DE P.; DELOGO, K. N.; MIRANDA, P. F. C.; MESQUITA, E. D. D.; DE OLIVEIRA, H. M. DE M. G.; RUFFINO NETO, A.; ANJOS, M. J. DOS; KRITSKI, A. L.; DE OLIVEIRA, M. M. Association of serum levels of iron, copper, and zinc, and inflammatory markers with bacteriological sputum conversion during tuberculosis treatment. **Biological Trace Element Research**, v. 160, p. 176-184, 2014. (6364) - Fator de Impacto em 2013: 1,608
257. NOGUEIRA, F. G. E.; ASSAF, P. G. M.; CARVALHO, H. W. P.; ASSAF, E. M. Catalytic steam reforming of acetic acid as a model compound of bio-oil. **Applied Catalysis B**, v. 160, p. 188-199, 2014. (6530) - Fator de Impacto em 2013: 6,007

258. MATOS, B. R.; SANTIAGO, E. I.; REY, J. F. Q.; FONSECA, F. C. Origin of alpha and ss relaxations of Nafion. **Physical Review E**, v. 89, n. 5, p. 052601, 2014. (6531) - Fator de Impacto em 2013: 2,326
259. ANDRADE, A. B.; VALERIO, M. E. G. Structural and optical properties of the nanopowder of the Eu³⁺ doped LiLaP₄O₁₂ produced by sol gel route. **Radiation Measurements**, v. 71, p. 55-60, 2014. (6610) - Fator de Impacto em 2013: 1,14
260. PÁDUA, R. A. P. DE; NONATO, M. C. Cloning, expression, purification, crystallization and preliminary X-ray diffraction analysis of recombinant human fumarase. **Acta Crystallographica F**, v. 70, pt. 1, p. 120-122, 2014. (6614) - Fator de Impacto em 2013: 0,568
261. ROCHA, W. R. M.; PILLING, S. Determination of optical constants n and k of thin films from absorbance data using Kramers-Kronig relationship. **Spectrochimica Acta A**, v. 123, p. 436-446, 2014. (6648) - Fator de Impacto em 2013: 2,129
262. MAZZO, T. M.; OLIVEIRA, L. M. R.; MACARIO, L. R.; AVANSI JR., W.; ANDRÉ, R. S.; ROSA, I. L.V.; VARELA, J. A.; LONGO, E. Photoluminescence properties of CaTiO₃:Eu³⁺ nanophosphor obtained by the polymeric precursor method. **Materials Chemistry and Physics**, v. 145, n. 1-2, p. 141-150, 2015. (6696) - Fator de Impacto em 2013: 2,129
263. ÁVILA, C. L.; TORRES-BUGEAU, C. M. T.; BARBOSA, L. R. S.; SALES, E. M.; OUIDJA, M. O.; SOCÍAS, S. B.; CELEJ, M. S.; RAISMAN-VOZARI, R.; PAPY-GARCIA, D.; ITRI, R.; CHEHIN, R. N. Structural characterization of heparin-induced glyceraldehyde-3-phosphate dehydrogenase protofibrils preventing alpha- synuclein oligomeric species toxicity. **Journal of Biological Chemistry**, V. 16, N. 20, P. 13838-13850, 2014. (6757) - Fator de Impacto em 2013: 4,6
264. PERULLINI, M.; DURRIEU, C.; JOBBÁGY, M.; BILMES, S. A. Rhodamine B doped silica encapsulation matrices for the protection of photosynthetic organisms. **Journal of Biotechnology**, v. 184, p. 94-99, 2014. (6819) - Fator de Impacto em 2013: 2,884
265. LABORDE, J. I.; MEYER, M.; HOYA, J.; REYES TOLOSA, M. D.; HERNANDEZ-FENOLLOSA, M. A.; DAMONTE, L. C. Mechanical milled doped Zn-based semiconductors powders for photovoltaic devices. **International Journal of Hydrogen Energy**, v. 39, p. 8697-8701, 2014. (6821) - Fator de Impacto em 2013: 2,93
266. RIBEIRO, R. R.; NISHAN, U.; VIDAL, R. O.; BARBOSA, G. O.; REIS, L. O.; CESAR, C. L.; CARVALHO, H. F. Transcription factors involved in prostate gland adaptation to androgen deprivation. **PloS One**, v. 9, n. 6, p. e97080, 2014. (7105) - Fator de Impacto em 2013: 3,534
267. PAREDES, M.; PULCINELLI, S. H.; PENICHE, C.; GONÇALVES, V.; SANTILLI, C. V. Chitosan (ureasil-PEO hybrid) blend for drug delivery. **Journal of Sol-Gel Science and Technology**, v. 72, n. 2, p. 233-238, 2014. (7510) - Fator de Impacto em 2013: 1,547

ANEXO 5 – Recomendações da Comissão de Avaliação do Contrato de Gestão

Recomendações/Sugestões da CA no Relatório Semestral 2015

Recomendação 2: Incluir no Anexo 3 – Lista de Bolsistas e Pós-Doutores, na Parte 03 do Relatório Semestral 2015 – a especificação dos Programas de Pós-Graduação aos quais os mesmos estão vinculados.

Comentário da CA na Reunião Anual de 2015: Recomendação mantida. Deverá ser atendida no Relatório Anual de 2016.

Providências: A informação solicitada pela Comissão foi incluída no Anexo 3 (Parte III) deste Relatório.

Recomendação 4: A CA recomenda que se *retomem* as ações voltadas à inovação do Centro – a política de inovação do CNPEM, para a valorização dos resultados obtidos nas atividades de pesquisa e investigação realizadas na instituição. A partir das visitas realizadas nos Laboratórios, podem-se verificar produtos resultantes de pesquisa sem um acompanhamento das possibilidades de sua exploração comercial.

Providências: a direção do CNPEM, com forte apoio do Conselho de Administração, vem buscando meios para reforçar a agenda de inovação, hoje um dos eixos de atuação institucional. As parcerias viabilizadas no âmbito do Projeto Sirius, com o apoio financeiro de Finep e Fapesp, voltadas à participação de empresas brasileiras na solução dos grandes desafios tecnológicos do projeto de construção da nova Fonte de Luz Síncrotron é um dos melhores e mais bem-sucedidos exemplos desse esforço. Cabe enfatizar que está em análise um conjunto de ações estruturadas nessa direção, envolvendo: utilização da rede de relacionamentos do CNPEM para o desenho de estratégias conjuntas com atores relevantes na formulação de políticas de inovação e políticas setoriais, como BNDES, ABDI, SEBRAE; parcerias com grandes empresas; incentivo a start ups; mecanismos de incentivo aos pesquisadores internos, entre outras. A melhor divulgação das grandes linhas de pesquisa do CNPEM e de suas competências também deverá ser um instrumento importante para fortalecer a ação institucional de apoio à inovação.

Comentário da CA na Reunião Anual de 2015: Recomendação mantida. A CA reconhece as iniciativas realizadas em 2015, mas solicita que os mecanismos e instrumentos sejam explicitados e as ações sejam ampliadas e melhor divulgadas.

Providências: No ano de 2016, o CNPEM manteve seus esforços para o fortalecimento da agenda de inovação, em que pese o ambiente econômico menos favorável. Destacam-se as iniciativas para atração de maior número de empresas às instalações dos Laboratórios Nacionais, com o objetivo de ampliar a divulgação das competências internas e do potencial de novos projetos. Com essas visitas, buscaram-se oportunidades de parcerias com novas empresas, sobretudo em setores antes pouco explorados pelo CNPEM. As estatísticas de visitas de empresas atestam o êxito dessas iniciativas. Em direção complementar, gestores de inovação e pesquisadores do CNPEM também procuraram

divulgar conhecimentos e competências do CNPEM em eventos setoriais de maior dimensão. Foram exemplos a Feira internacional *FCE Cosmetique* internacional, em maio, que contou com 14000 visitantes, e o *Nanotrade Show*, em novembro.

Em 2016 também se manteve a trajetória de crescimento, observada nos últimos anos, dos acordos de cooperação com empresas produtivas.

Outra ação importante diz respeito às parcerias estabelecidas no âmbito do Projeto Sirius, voltadas à participação de empresas brasileiras na solução dos grandes desafios tecnológicos do projeto de construção da nova Fonte de Luz Síncrotron. Essas parcerias foram intensificadas, com a divulgação do resultado da segunda chamada Fapesp/Finep.

Cabe realçar, porém, que a agenda de inovação tem horizonte de longo prazo e demandará ações continuadas do Centro para buscar oportunidades de parceria em projetos de inovação com empresas brasileiras.

Recomendação 5: Dimensão Nacional do Centro - desenvolver mecanismos e instrumentos de descentralização e ação nacional dos laboratórios junto aos institutos de pesquisa e inovação nas diversas regiões brasileiras.

Comentário da CA na Reunião Anual de 2015: Recomendação mantida. A CA reconhece as iniciativas realizadas em 2015, mas solicita que os mecanismos e instrumentos sejam explicitados e as ações sejam ampliadas e melhor divulgadas.

Providências: O CNPEM vem procurando ampliar a sua atuação além da Região Sudeste, em especial desenvolvendo esforços para atrair pesquisadores e estudantes das outras regiões brasileiras para seus cursos de capacitação e treinamento, em técnicas altamente especializadas. Eventos dessa natureza visam capacitar um público de potenciais novos usuários, além de divulgar técnicas e competências disponíveis para a comunidade científica. Considera-se que essa iniciativa poderá tornar-se, em longo prazo, importante instrumento de incentivo à descentralização regional dos beneficiários dos Laboratórios Nacionais. Em 2016, participaram dos cursos de capacitação e treinamento do Centro 56 pesquisadores e técnicos de outras regiões do País.

Vale chamar a atenção que em 2017, o quadro de indicadores do Contrato de Gestão incluirá um indicador novo para medir os esforços de capacitação de pesquisadores e estudantes residentes em regiões brasileiras além da região Sudeste.

ANEXO 6 – Recomendações de Órgãos de Controle

Em 2016, a Controladoria Geral da União realizou, para o Tribunal de Contas da União, Auditoria Anual de Contas no CNPEM, relativa ao exercício de 2015, em atendimento ao estabelecido no artigo 2º, inciso III, da Decisão Normativa TCU nº 147/2015. O foco da Auditoria foram processos e procedimentos associados à gestão do CNPEM na área de compras, recursos humanos e patrimônio. Abaixo apresentam-se os pontos levantados no Relatório da CGU e as respectivas respostas dadas pelo CNPEM.

Relatório de Auditoria/Nota de Auditoria/Nota Técnica nº 2016.01347
Recomendação: normatizar procedimentos a fim de se verificar, nas contratações realizadas pelo CNPEM, se há vínculo de parentesco entre o fornecedor a ser contratado e os dirigentes (inclusive seus parentes colaterais).
Providências a serem implementadas: em observância ao art. 30 e art. 36º do “Regulamento de Contratação de Obras, Serviços, Compras e Alienações do CNPEM” (aprovado em 05 de junho de 2014), será elaborado o documento “Declaração de Parentes” dos Diretores e feita a revisão do normativo interno P.SIN.04 - Procedimento de Seleção de Fornecedores, o qual irá prever o confronto entre o documento “Declaração de Parentes” acima mencionado e o Contrato/Estatuto Social ou ato constitutivo do fornecedor.
Prazo de Atendimento/Status: 31/03/2017

Relatório de Auditoria/Nota de Auditoria/Nota Técnica nº 2016.01347
Recomendação: estabelecer rotina, normatizada, para que a documentação apresentada pelas empresas na etapa de seleção de fornecedores seja analisada sob os aspectos análise dos endereços das empresas, quadro societário, data de constituição das empresas, formato das propostas e contratação de empresas ligadas a dirigentes da entidade, mitigando assim o risco de fraudes e/ou conluíus por parte dos fornecedores participantes das seleções promovidas pelo CNPEM.
Providências a serem implementadas: nos termos do art. 35 do “Regulamento de Contratação de Obras, Serviços, Compras e Alienações do CNPEM” (aprovado em 05 de junho de 2014), somente poderão prestar serviços e realizar obras para o CNPEM, no caso de empresas, aquelas que estiverem legalmente constituídas e regulares com suas obrigações. A verificação de tais regularidades dar-se-á antes da celebração do contrato pela Assessoria Jurídica, conforme atribuições descritas em sua Portaria de constituição. No que diz respeito à verificação de empresas ligadas a dirigentes, o risco será mitigado no momento da seleção do fornecedor, conforme mencionado no item 1.1 deste documento.
Prazo de Atendimento/Status: 31/03/2017

Relatório de Auditoria/Nota de Auditoria/Nota Técnica nº 2016.01347

Recomendação: a Auditoria Interna do CNPEM deve incluir no planejamento de seus trabalhos uma auditoria que verifique, nos contratos atuais, a ocorrência de vínculos de parentesco entre os contratados e dirigentes do CNPEM.

Providências a serem implementadas: o art. 38 do “Regulamento de Contratação de Obras, Serviços, Compras e Alienações do CNPEM” (aprovado em 05 de junho de 2014) prevê nos processos de contratação, de que trata este regulamento, a submissão aos procedimentos anuais de auditoria de controles internos para garantia das boas práticas e observância dos procedimentos internos do CNPEM. O Plano Anual de Auditoria Interna aprovado prevê a verificação, conforme norma de Auditoria Interna e Procedimento de Auditoria Interna do CNPEM.

Prazo de Atendimento/Status: Implementada.

Relatório de Auditoria/Nota de Auditoria/Nota Técnica nº 2016.01347

Recomendação: adotar procedimentos de verificação da ocorrência de registro de penalidades, em nome das contratadas com recursos oriundos do contrato.

Providências a serem implementadas: revisão do normativo interno P.SIN.03 – Procedimento de Cadastro de Fornecedor, que prevê consulta no Portal da Transparência do Governo Federal para os novos cadastros de fornecedores, e quando ocorrer a revisão dos cadastros de fornecedores existentes.

Prazo de Atendimento/Status: 31/03/2017

Relatório de Auditoria/Nota de Auditoria/Nota Técnica nº 2016.01347

Recomendação: providenciar a justificativa escrita, por parte do Diretor-Geral do CNPEM, autorizando os pagamentos antecipados estabelecidos no contrato nº 01/2014, firmado com a empresa Racional Engenharia Ltda., juntamente com as respectivas medidas acauteladoras adotadas e as garantias exigidas.

Providências a serem implementadas: elaborada a justificativa formal, aprovada pelo Diretor-Geral do CNPEM para os pagamentos antecipados, com respectivas medidas acauteladoras adotadas e garantias, estabelecidos no contrato nº 01/2014 com a empresa Racional Engenharia Ltda.

Prazo de Atendimento/Status: Implementada.

Relatório de Auditoria/Nota de Auditoria/Nota Técnica nº 2016.01347

Recomendação: a Auditoria Interna do CNPEM deve realizar auditoria no contrato nº 01/2014 com foco nos pagamentos antecipados realizados, com intuito de verificar a efetiva entrega das etapas da obra em que houve antecipação de recursos à contratada. Ademais, deve verificar e avaliar se foram adotadas medidas acauteladoras e constituídas garantias, e se essas se prestam a resguardar os recursos financeiros públicos aplicados na obra, no caso de eventual descumprimento contratual por parte da contratada.

Providências a serem implementadas: conforme disposto art. 38 do Regulamento de Compras, os processos de contratação de que trata este regulamento são submetidos a procedimentos anuais de auditoria de controles internos para garantia das boas práticas e observância dos procedimentos internos do CNPEM.

Cumpra a auditoria interna realizar tais procedimentos para o escopo definido em Plano Anual de Auditoria Interna aprovado - o qual é analisado por amostragem, conforme consta em Procedimento de Auditoria Interna do CNPEM.

Em casos como o contrato nº 01/2014, há necessidade de suporte de especialistas (engenheiros) com intuito de verificar a efetiva entrega das etapas da obra e dar conforto a alta administração e auditoria interna. Neste caso, os controles de acompanhamento da obra são analisados de forma independente pela Gerenciadora Engecorps - empresa contratada em conjunto pela construtora Racional e pelo CNPEM. Posteriormente, as medições são encaminhadas para os engenheiros do CNPEM para aceite.

Com relação às medidas acauteladoras e garantias, o CNPEM não corre qualquer risco de perder os valores adiantados à construtora. Isto porque, conforme previsão contratual, foi exigido da empresa vencedora do certame a contratação de “seguro garantia contra riscos financeiros” a favor de CNPEM, no importe de 5% do valor da obra, ou seja, valor superior aos adiantamentos devidos durante toda a execução da obra.

Prazo de Atendimento/Status: Implementada.

Relatório de Auditoria/Nota de Auditoria/Nota Técnica nº 2016.01347

Recomendação: publicar na página do CNPEM, na internet, as aquisições e/ou contratações realizadas no âmbito do Projeto Sirius, inclusive as já realizadas, a fim de dar a devida publicidade às aquisições efetuadas.

Providências a serem implementadas: constarão no site do CNPEM as aquisições e/ou contratações em andamento e realizadas no âmbito do Projeto Sirius, conforme previsto no Regulamento de Compras (Art. 10º, 22º e 26º).

Prazo de Atendimento/Status: 31/03/2017

ANEXO 7 – Informações Complementares

Tabela 1 – Pontuação da Avaliação Geral da Comissão de Avaliação do Contrato de Gestão (CACG) entre 2010 – 2015

INDICADOR	PONTUAÇÃO					
	2010	2011	2012	2013	2014	2015
Avaliação Geral da CACG	9,23	9,15	9,2	9,5	9,5	9,7

Tabela 1.1 – CNPEM: Histórico dos valores repassados pelo Contrato de Gestão, exceto projetos (em R\$)

Fonte	2010	2011	2012	2013	2014	2015	2016
MCTIC	28.340.000	70.340.000	59.333.275	53.031.350	51.667.399	27.100.000	74.360.975
Outras fontes	17.751.000	-	3.193.330	21.287.667	12.266.660	-	-
Restos a pagar do ano anterior	-	21.000.000	20.000.000	12.985.916	16.698.993	22.816.850	65.500.000
Total	46.091.000	91.340.000	82.526.605	87.304.933	80.633.052	49.916.850	139.860.975

Tabela 1.2 – Projeto Sirius: Histórico dos valores repassados pelo Contrato de Gestão (em R\$)

Fonte	2012	2013	2014	2015	2016
MCTIC	15.203.870	32.469.000	93.933.334	72.176.666	378.582.378

Tabela 1.3 – Projeto SisNano: Histórico dos valores repassados pelo Contrato de Gestão (em R\$)

Fonte	2014	2015	2016
MCTIC	11.180.000	11.346.100	14.927.638

Tabela 2 – Valores repassados pelo Contrato de Gestão em 2016 (em R\$)

Termo Aditivo	Ação	Valor	Data
13º TA	13CL	10.000.000	10/02/2016
13º TA	13CL	10.000.000	26/02/2016
13º TA	13CL	30.000.000	09/03/2016
13º TA	13CL	15.000.000	11/04/2016
13º TA	13CL	3.000.000	03/05/2016
13º TA	13CL	15.000.000	13/05/2016
13º TA	13CL	6.000.000	18/05/2016
13º TA	13CL	20.000.000	27/05/2016
13º TA	13CL	4.000.000	13/06/2016
13º TA	13CL	11.000.000	24/06/2016
13º TA	13CL	15.000.000	12/07/2016
13º TA	13CL	5.000.000	29/07/2016

13º TA	13CL	13.000.000	17/08/2016
13º TA	13CL	2.000.000	29/08/2016
13º TA	13CL	10.000.000	01/09/2016
13º TA	13CL	20.000.000	14/09/2016
13º TA	13CL	7.619.400	29/09/2016
13º TA	14XT	1.000.000	10/02/2016
13º TA	14XT	1.000.000	26/02/2016
13º TA	14XT	1.000.000	09/03/2016
13º TA	14XT	500.000	13/05/2016
13º TA	14XT	500.000	13/06/2016
13º TA	14XT	500.000	12/07/2016
13º TA	14XT	500.000	17/08/2016
13º TA	14XT	500.000	01/09/2016
13º TA	14XT	500.000	14/09/2016
13º TA	14XT	300.000	29/09/2016
13º TA	14XT	500.000	20/10/2016
13º TA	14XT	477.178	17/11/2016
13º TA	212H	9.000.000	05/01/2016
13º TA	212H	10.000.000	22/01/2016
13º TA	212H	3.000.000	10/02/2016
13º TA	212H	2.000.000	26/02/2016
13º TA	212H	2.000.000	09/03/2016
13º TA	212H	4.572.000	07/04/2016
13º TA	212H	5.000.000	11/04/2016
13º TA	212H	6.000.000	25/04/2016
13º TA	212H	3.000.000	13/05/2016
13º TA	212H	6.000.000	27/05/2016
13º TA	212H	2.000.000	13/06/2016
13º TA	212H	2.000.000	24/06/2016
13º TA	212H	1.328.000	12/07/2016
14º TA	212H	2.672.000	12/07/2016
14º TA	212H	1.000.000	29/07/2016
14º TA	212H	3.000.000	17/08/2016
14º TA	212H	1.000.000	01/09/2016
14º TA	212H	1.928.000	14/09/2016
15º TA	13CL	11.000.000	15/12/2016
15º TA	13CL	170.962.978	21/12/2016
15º TA	14XT	500.000	17/11/2016
15º TA	14XT	7.150.460	27/12/2016
15º TA	212H	1.500.000	03/10/2016
15º TA	212H	3.500.000	28/10/2016
15º TA	212H	3.500.000	17/11/2016
15º TA	212H	2.000.000	06/12/2016
15º TA	212H	11.011.006	23/12/2016
15º TA	212H	39.549.969	27/12/2016

16º TA	212H	13.300.000	27/12/2016
Total		533.370.991	

Tabela 3 – Contas bancárias (em R\$)

Banco	Agência	Conta	Saldo em 31.12.2016
Banco do Brasil	3360-x	200.305-8	12.170.689
Banco do Brasil	3360-x	200.306-6	2.193.116
Banco do Brasil	3360-x	5665-0	1.675.985
Banco do Brasil	3360-x	5671-5	265.141.122
Banco do Brasil	3360-x	5387-2	7.740.470
Banco do Brasil	3360-x	1268-8	70.564.555
Banco do Brasil	3360-x	5664-2	7.702.703
Bradesco	339-8	10815-4	13.322.603
Bradesco	339-8	10716-6	15.040.011
Banco Rendimento (Cartão Viagem)			28.186
Suprimentos de Fundos (em Espécie)			20.772
Caixa Moeda Estrangeira (em Espécie)			3.033
Total Geral			397.303.869

Tabela 4 – CNPEM: Demonstração de receitas auferidas em 2016, exceto projetos (em R\$)

Receitas	2016
Contrato de Gestão - MCTIC	83.960.975
Restos a pagar do ano anterior	55.900.000
Receita de Convênios	22.104.835
Rendimentos Financeiros – Contra de Gestão	3.631.576
Rendimentos Financeiros – Convênios	2.161.217
Receita com Prestação de Serviços	2.512.500
Outras Receitas	803.457
Total	171.074.560

Tabela 4.1 – Projeto Sirius: Demonstração de receitas auferidas em 2016 (em R\$)

Receitas	2016
Contrato de Gestão - MCTIC	378.582.378
Rendimentos Financeiros	10.658.959
Total	389.241.337

Tabela 4.2 – Projeto SisNano: Demonstração de receitas auferidas em 2016 (em R\$)

Receitas	2016
Contrato de Gestão - MCTIC	14.927.638
Rendimentos Financeiros	434.204
Total	15.361.842

Tabela 4.3– BIOTEC: Demonstração de receitas auferidas em 2016 (em R\$)

Receitas	2016
Contrato de Gestão - MCTIC	-
Rendimentos Financeiros	475.202
Total	475.202

Tabela 5 – CNPEM: Saldo financeiro do Contrato de Gestão em 2016, exceto projetos (em R\$)

	2016
Saldo financeiro em 31/12	91.641.852

Tabela 5.1– CNPEM: Saldo financeiro detalhado do Contrato de Gestão em 2016, exceto projetos (em R\$)

	2016
Reserva do Conselho de Administração	21.025.306
Recursos destinados a metas iniciadas em exercícios anteriores	70.616.546

Tabela 5.2– Projeto Sirius: Saldo financeiro do Contrato de Gestão em 2016 (em R\$)

	2016
Saldo Financeiro em 31/12	287.921.604

Tabela 5.3 – Projeto SisNano: Saldo financeiro do Contrato de Gestão em 2016 (em R\$)

	2016
Saldo Financeiro em 31/12	12.170.689

Tabela 5.4– BIOTEC: Saldo financeiro do Contrato de Gestão em 2016 (em R\$)

	2016
Saldo Financeiro em 31/12	3.869.101

Tabela 6 – Orçamento contratado nos Termos Aditivos de 2016 e orçamento executado por programa e natureza de despesa, exceto projetos (em R\$)

Programa	Orçamento contratado nos Termos Aditivos*	Orçamento executado
Operação e Manutenção	21.603.788	20.563.684
Atualização Institucional	2.616.082	1.329.039
Temático	3.556.972	112.115
Natureza de despesa		
Pessoal	56.184.133	50.787.264
Custeio e investimento	27.776.842	22.004.838
Total	83.960.975	72.792.102

(*) O orçamento contratado corresponde ao previsto nos planos de ação dos Termos Aditivos firmados em 2016.

Tabela 6.1 – Orçamento contratado nos Termos Aditivos de 2016 e orçamento executado por unidade e programa, exceto projetos (em R\$)

CNPEM	Orçamento contratado nos Termos Aditivos*	Orçamento executado
LNLS		
Operação e Manutenção	20.085.134	18.817.354
Atualização Institucional	-	58.635
Temático	-	5.289
LNBio		
Operação e Manutenção	12.775.176	11.808.026
Atualização Institucional	-	858.622
Temático	-	83.542
CTBE		
Operação e Manutenção	15.509.602	12.922.920
Atualização Institucional	-	1.577
Temático	-	6.808
LNNano		
Operação e Manutenção	8.888.882	7.391.000
Atualização Institucional	-	7.767
Temático	-	16.477
Gestão e Operação Geral		
Operação e Manutenção	20.529.127	20.411.647
Atualização Institucional	2.616.082	402.438
Temáticos	3.556.972	-
Total	83.960.975	72.792.102

Centro Nacional de Pesquisa em Energia e Materiais - CNPEM

***Demonstrações financeiras em
31 de dezembro de 2016
e relatório do auditor independente***

Relatório do auditor independente sobre as demonstrações financeiras

Aos Administradores
Centro Nacional de Pesquisa em Energia e Materiais - CNPEM

Opinião

Examinamos as demonstrações financeiras do Centro Nacional de Pesquisa em Energia e Materiais - CNPEM ("Instituição"), que compreendem o balanço patrimonial em 31 de dezembro de 2016 e as respectivas demonstrações do resultado, das mutações do patrimônio líquido e dos fluxos de caixa para o exercício findo nessa data, bem como as correspondentes notas explicativas, incluindo o resumo das principais políticas contábeis.

Em nossa opinião, as demonstrações financeiras acima referidas apresentam adequadamente, em todos os aspectos relevantes, a posição patrimonial e financeira do Centro Nacional de Pesquisa em Energia e Materiais - CNPEM em 31 de dezembro de 2016, o desempenho de suas operações e os seus fluxos de caixa para o exercício findo nessa data, de acordo com as práticas contábeis adotadas no Brasil e institutos sem finalidade de lucro.

Base para opinião

Nossa auditoria foi conduzida de acordo com as normas brasileiras e internacionais de auditoria. Nossas responsabilidades, em conformidade com tais normas, estão descritas na seção a seguir, intitulada "Responsabilidades do auditor pela auditoria das demonstrações financeiras". Somos independentes em relação à Instituição, de acordo com os princípios éticos relevantes previstos no Código de Ética Profissional do Contador e nas normas profissionais emitidas pelo Conselho Federal de Contabilidade, e cumprimos com as demais responsabilidades éticas conforme essas normas. Acreditamos que a evidência de auditoria obtida é suficiente e apropriada para fundamentar nossa opinião.

Incerteza relevante relacionada com a continuidade operacional

Chamamos atenção para a Nota 1 às demonstrações financeiras, a qual descreve que a Instituição possui como principal fonte de receita de suas operações o contrato com o Ministério da Ciência, Tecnologia, Inovação e Comunicação (MCTIC), com vigência até setembro de 2017. De acordo com as informações da administração da Instituição, a renovação do contrato se encontra em andamento, entretanto, até o encerramento de nossos trabalhos de auditoria, não havia a formalização de sua renovação. Essa situação indica a existência de incerteza relevante que pode levantar dúvida significativa sobre a continuidade operacional da Instituição. Nossa opinião não está ressalvada em relação a esse assunto.

Responsabilidades da administração e da governança pelas demonstrações financeiras

A administração da Instituição é responsável pela elaboração e adequada apresentação das demonstrações financeiras de acordo com as práticas contábeis adotadas no Brasil e ITG 2002 (R1) - "Institutos sem finalidade de lucro" e pelos controles internos que ela determinou como necessários para permitir a elaboração de demonstrações financeiras livres de distorção relevante, independentemente se causada por fraude ou erro.

Centro Nacional de Pesquisa em Energia e Materiais - CNPEM

Na elaboração das demonstrações financeiras, a administração é responsável pela avaliação da capacidade de a Instituição continuar operando, divulgando, quando aplicável, os assuntos relacionados com a sua continuidade operacional e o uso dessa base contábil na elaboração das demonstrações financeiras, a não ser que a administração pretenda liquidar a Instituição ou cessar suas operações, ou não tenha nenhuma alternativa realista para evitar o encerramento das operações.

Os responsáveis pela governança da Instituição são aqueles com responsabilidade pela supervisão do processo de elaboração das demonstrações financeiras.

Responsabilidades do auditor pela auditoria das demonstrações financeiras

Nossos objetivos são obter segurança razoável de que as demonstrações financeiras, tomadas em conjunto, estão livres de distorção relevante, independentemente se causada por fraude ou erro, e emitir relatório de auditoria contendo nossa opinião. Segurança razoável é um alto nível de segurança, mas não uma garantia de que a auditoria realizada de acordo com as normas brasileiras e internacionais de auditoria sempre detectam as eventuais distorções relevantes existentes. As distorções podem ser decorrentes de fraude ou erro e são consideradas relevantes quando, individualmente ou em conjunto, possam influenciar, dentro de uma perspectiva razoável, as decisões econômicas dos usuários tomadas com base nas referidas demonstrações financeiras.

Como parte de uma auditoria realizada de acordo com as normas brasileiras e internacionais de auditoria, exercemos julgamento profissional e mantemos ceticismo profissional ao longo da auditoria. Além disso:


- Identificamos e avaliamos os riscos de distorção relevante nas demonstrações financeiras, independentemente se causada por fraude ou erro, planejamos e executamos procedimentos de auditoria em resposta a tais riscos, bem como obtemos evidência de auditoria apropriada e suficiente para fundamentar nossa opinião. O risco de não detecção de distorção relevante resultante de fraude é maior do que o proveniente de erro, já que a fraude pode envolver o ato de burlar os controles internos, conluio, falsificação, omissão ou representações falsas intencionais.
- Obtemos entendimento dos controles internos relevantes para a auditoria para planejarmos procedimentos de auditoria apropriados às circunstâncias, mas não com o objetivo de expressarmos opinião sobre a eficácia dos controles internos da Instituição.
- Avaliamos a adequação das políticas contábeis utilizadas e a razoabilidade das estimativas contábeis e respectivas divulgações feitas pela administração.
- Concluimos sobre a adequação do uso, pela administração, da base contábil de continuidade operacional e, com base nas evidências de auditoria obtidas, se existe incerteza relevante em relação a eventos ou condições que possam levantar dúvida significativa em relação à capacidade de continuidade operacional da Instituição. Se concluirmos que existe incerteza relevante, devemos chamar atenção em nosso relatório de auditoria para as respectivas divulgações nas demonstrações financeiras ou incluir modificação em nossa opinião, se as divulgações forem inadequadas. Nossas conclusões estão fundamentadas nas evidências de auditoria obtidas até a data de nosso relatório. Todavia, eventos ou condições futuras podem levar a Instituição a não mais se manter em continuidade operacional.
- Avaliamos a apresentação geral, a estrutura e o conteúdo das demonstrações financeiras, inclusive as divulgações e se essas demonstrações financeiras representam as correspondentes transações e os eventos de maneira compatível com o objetivo de apresentação adequada.



Centro Nacional de Pesquisa em Energia e Materiais - CNPEM

Comunicamo-nos com os responsáveis pela governança a respeito, entre outros aspectos, do alcance planejado, da época da auditoria e das constatações significativas de auditoria, inclusive as eventuais deficiências significativas nos controles internos que identificamos durante nossos trabalhos.

Campinas, 14 de fevereiro de 2017


PricewaterhouseCoopers
Auditores Independentes
CRC 2SP000160/O-5 "F"


Valdir Augusto de Assunção
Contador CRC 1SP135319/O-9

Sumário

Balanço patrimonial.....	1 e 2
Demonstração do resultado	3
Demonstração das mutações do patrimônio líquido	4
Demonstração dos fluxos de caixa.....	5
1. Contexto operacional	6
2. Elaboração e apresentação das demonstrações financeiras.....	7
2.1 Reapresentação de saldos iniciais	7
3. Principais práticas contábeis.....	12
4. Caixa e equivalentes de caixa e aplicações financeiras	19
5. Convênios/projetos e subvenções a receber.....	21
6. Outros Ativos	22
7. Imobilizado e intangível.....	23
8. Fornecedores.....	27
9. Salários, férias e encargos a pagar.....	27
10. Recursos de convênios/projetos e subvenções	28
11. Provisão para contingências.....	35
12. Patrimônio Líquido.....	37
13. Custos, despesas restritas e sem restrição	37
14. Plano de previdência privada	39
15. Instrumentos financeiros.....	39
16. Cobertura de seguros (não auditado)	40
17. Avais, fianças e garantias.....	40

CENTRO NACIONAL DE PESQUISA EM ENERGIA E MATERIAIS - CNPEM
Balço patrimonial

31 de dezembro

(Valores expressos em milhares de reais)

Ativo

Circulante	Nota	31/12/2016	31/12/2015 (Nota 2.1 Reapresentado)	01/01/2015 (Nota 2.1 Reapresentado)
Caixa e equivalentes de caixa - sem restrição	4	67.796	4.623	3.932
Caixa e equivalentes de caixa - com restrição	4	3	21.237	27.332
Aplicações financeiras - sem restrição	4	27.074	22.397	46.361
Aplicações financeiras - com restrição	4	328.216	66.208	78.371
Convênios/projetos e subvenções a receber	5	-	259.797	61.340
Contas a receber		155	1.154	502
Estoques		424	383	372
Adiantamento a fornecedor		54	869	640
Impostos a recuperar		-	177	17
Outros ativos	6	1.438	3.991	4.506
Total do ativo circulante		425.160	380.836	223.373
Não circulante				
Realizável em longo prazo				
Depósitos judiciais	11	1.316	7.286	6.378
Imobilizado				
Imobilizado - Sem restrição	7	137.185	142.371	139.203
Imobilizado - Com restrição	7	302.905	155.583	57.717
Intangível				
Intangível - Sem restrição	7	2.410	2.553	2.515
Intangível - Com restrição	7	436	748	391
		444.252	308.541	206.204
Total do ativo		869.412	689.377	429.577

As notas explicativas da administração são parte integrante das demonstrações financeiras.

CENTRO NACIONAL DE PESQUISA EM ENERGIA E MATERIAIS - CNPEM
Balanço patrimonial

31 de dezembro de 2016

(Valores expressos em milhares de reais)

Passivo e patrimônio líquido

Circulante	Nota	31/12/2016	31/12/2015 (Nota 2.1 Reapresentado)	01/01/2015 (Nota 2.1 Reapresentado)
Fornecedores	8	3.019	5.686	683
Salários, férias e encargos a pagar	9	10.286	9.424	5.624
Recursos de convênios/projetos e subvenções	10	352.380	302.499	186.815
Outras obrigações		1.951	3.205	2.325
Total do passivo circulante		367.636	320.814	195.447
Não circulante				
Outras obrigações		1.677	-	328
Provisão para contingências	11	173	14.107	12.334
Recursos de convênios/projetos e subvenções	10	312.328	169.380	37.308
		314.178	183.487	49.970
Total do passivo		681.814	504.301	245.417
Patrimônio líquido				
Patrimônio social	12	187.598	185.076	184.160
Total do passivo e do patrimônio líquido		869.412	689.377	429.577

As notas explicativas são parte integrante das demonstrações financeiras.

CENTRO NACIONAL DE PESQUISA EM ENERGIA E MATERIAIS - CNPEM
Demonstração do resultado

Exercícios findos em 31 de dezembro de 2016 e 2015

(Valores expressos em milhares de reais)

	Nota	2016	2015 (Nota 2.1 Reapresentado)
Receitas operacionais com desenvolvimento tecnológico			
Com restrição			
Reconhecimento subvenções Federais - Projeto Sirius	10.2	25.823	18.990
Reconhecimento subvenções Federais - Projeto Biotec	10.2	1.992	550
Reconhecimento subvenções Federais - Projeto Sisnano	10.2	537	47
Reconhecimento receitas sobre depreciação de projetos	10.2	5.897	3.980
		34.249	23.567
Sem restrição			
Subvenções federais	10.2	83.961	83.000
Serviços prestados		1.470	2.245
Atividades administrativas		442	503
Rendimentos financeiros		5.746	4.982
		91.619	90.730
Resultados de convênios			
Gastos incorridos	10.1	(14.632)	(24.846)
Realização de receita de convênios		14.632	24.846
		-	-
Custos das atividades de desenvolvimento tecnológico			
Salários, encargos e despesas relacionadas	13	(58.871)	(57.612)
Depreciação e amortização	13	(15.319)	(14.279)
Serviços de terceiros	13	(12.558)	(10.595)
Material de consumo e outros	13	(6.518)	(5.268)
		(93.266)	(87.754)
Superávit bruto		32.602	26.543
Despesas operacionais			
Administrativas			
Salários, encargos e despesas relacionadas	13	(14.015)	(14.456)
Depreciação e amortização	13	(1.579)	(1.351)
Serviços de terceiros	13	(9.420)	(8.967)
Material de consumo	13	(1.147)	(981)
Viagens	13	(293)	(349)
		(26.454)	(26.104)
Despesas financeiras e tributárias			
Impostos e taxas	13	(2.896)	(1.217)
Resultado de variação cambial, líquida	13	(1.129)	227
Outros resultados operacionais, líquidos		399	1.467
Superávit do exercício		2.522	916

As notas explicativas são parte integrante das demonstrações financeiras.

CENTRO NACIONAL DE PESQUISA EM ENERGIA E MATERIAIS - CNPEM
Demonstração das mutações do patrimônio líquido

Exercícios findos em 31 de dezembro de 2016 e 2015

(Valores expressos em milhares de reais)

	Nota	Patrimônio Social	Total do Patrimônio líquido
Saldo de abertura em 1º de janeiro de 2015	2.1	165.158	165.158
Ajustes de anos anteriores		19.002	19.002
Saldo em 1º de janeiro de 2015 (reapresentado)	12	184.160	184.160
Superávit do exercício		916	916
Saldos em 31 de dezembro de 2015 (reapresentado)	12	185.076	185.076
Superávit do exercício		2.522	2.522
Saldos em 31 de dezembro de 2016	12	187.598	187.598

As notas explicativas são parte integrante das demonstrações financeiras.

CENTRO NACIONAL DE PESQUISA EM ENERGIA E MATERIAIS - CNPEM
Demonstração dos fluxos de caixa

Exercícios findos em 31 de dezembro de 2016 e 2015

(Valores expressos em milhares de reais)

	Nota	2016	2015 (Nota 2.1)
Fluxos de caixa das atividades operacionais			
Superávit do exercício		2.522	916
Ajustes para conciliar o déficit ao caixa gerado pelas atividades operacionais:			
Rendimento sobre aplicações financeiras		(3.307)	(3.240)
Variações monetárias, líquidas	13	(2)	227
Variações monetárias de Projeto, líquidas	13	1.131	140
Custo de bens do ativo imobilizado baixados		577	219
Provisões para Contingências	11	(1.753)	1.773
Depreciações e amortizações	7	16.895	15.630
Outros ajustes que não afetem o caixa pelas atividade operacionais		(1.355)	-
		14.708	15.665
Variações nos ativos e passivos operacionais:			
Convênios/projetos e subvenções a receber	10	259.797	(198.457)
Contas a receber		999	(652)
Estoques		(41)	(11)
Impostos a recuperar		177	(160)
Adiantamentos a fornecedores		814	-
Outros ativos		2.553	515
Depósitos judiciais	11	5.970	(908)
Fornecedores		(3.795)	5.003
Salários, férias e encargos a pagar	9	861	3.800
Recursos de convênios/projetos e subvenções	10	193.093	247.755
Contingências trabalhistas	11	(12.182)	-
Outras obrigações		260	553
		448.507	57.438
Fluxo de caixa líquidos, gerado pelas atividades Operacionais:			
		463.214	73.103
Fluxo de caixa das atividades de investimentos			
Adições ao imobilizado e intangível	7	(157.897)	(117.874)
Aplicações financeiras	4	(263.378)	39.367
Fluxo de caixa líquidos, gerado pelas atividades de Investimento		(421.275)	(78.507)
Aumento (redução) de caixa e equivalentes de caixa			
		41.939	(5.404)
Demonstração da variação de caixa e equivalentes de caixa:			
No início do exercício	4	25.860	31.264
No fim do exercício	4	67.799	25.860
		41.939	(5.404)

As notas explicativas da administração são parte integrante das demonstrações financeiras.

CENTRO NACIONAL DE PESQUISA EM ENERGIA E MATERIAIS - CNPEM

Notas explicativas às demonstrações financeiras

31 de dezembro de 2016 e 2015

(Valores expressos em milhares de reais)

1. Contexto operacional

O Centro Nacional de Pesquisa em Energia e Materiais – CNPEM (“CNPEM”, “Instituição”) – é uma Organização Social. A denominação passou a ser utilizada em 2012, em substituição à Associação Brasileira de Tecnologia de Luz Síncrotron (“ABTLus”), pessoa jurídica de Direito Privado sem fins lucrativos, qualificada como Organização Social pelo Decreto nº 2.405, de 26 de novembro de 1997. O CNPEM tem por missão promover e contribuir para o desenvolvimento científico e tecnológico do País, por meio de seus Laboratórios Nacionais, que articulará, provendo-os das condições necessárias para a consecução de suas respectivas missões e o alcance de seus objetivos estratégicos, afins com os da Instituição.

O CNPEM atua em cumprimento ao Contrato de Gestão estabelecido com o Ministério da Ciência, Tecnologia, Inovações e Comunicações (“MCTIC”), visando o desenvolvimento de ciência, tecnologia e inovação em quatro Laboratórios Nacionais, a saber: o Laboratório Nacional de Luz Síncrotron (“LNLS”); o Laboratório Nacional de Biociências (“LNBio”); o Laboratório Nacional de Ciência e Tecnologia do Bioetanol (“CTBE”) e o Laboratório Nacional de Nanotecnologia (“LNNano”).

O mencionado Contrato de Gestão MCTIC/CNPEM suporta o custeio das atividades desenvolvidas nos quatro Laboratórios Nacionais. Os resultados esperados constituem metas pactuadas anualmente, denominados Indicadores de Desempenho Técnico, aplicáveis a todos os Laboratórios Nacionais. Esses resultados são avaliados semestralmente por uma Comissão de Acompanhamento e Avaliação, integrada por representantes qualificados na Lei no. 9.637 de 15 de maio de 1998.

Cabe registrar que o CNPEM é presentemente responsável por um novo projeto de engenharia científica, a cargo da equipe técnico-científica do LNLS: a construção de uma nova Fonte de Luz Síncrotron (“SIRIUS”), de quarta geração, para o qual o MCTIC tem aportado recursos financeiros com destinação específica.

O Contrato de Gestão atual do CNPEM junto ao MCTIC foi firmado em setembro de 2010 contemplando o período de 2010 a 2016 e pactuado um orçamento total de R\$478.446 com desembolsos financeiros anuais, tendo o seu prazo de vigência prorrogado até setembro de 2017 por meio do 15º. Termo Aditivo

Durante o exercício de 2016, foram firmados o 14º, 15º e 16º Termos Aditivos, pactuando R\$9.600, R\$ 250.674 e R\$ 13.300, respectivamente.

A emissão do parecer acerca dos resultados obtidos em 2016 pelo CNPEM, a ser emitido pela Comissão de Acompanhamento e Avaliação do Contrato de Gestão – CAACG, está prevista para março de 2017.

CENTRO NACIONAL DE PESQUISA EM ENERGIA E MATERIAIS - CNPEM

Notas explicativas às demonstrações financeiras

31 de dezembro de 2016 e 2015

(Valores expressos em milhares de reais)

Em 2016, o CNPEM iniciou a discussão sobre a renovação do Contrato de Gestão com o MCTIC, para mais 5 anos, para o prosseguimento dos projetos em andamento, bem como manter suas atividades. O CNPEM possui a expectativa de que o novo contrato seja formalizado no decorrer do exercício de 2017.

A emissão dessas demonstrações financeiras foi autorizada pelo Diretor Geral, em 13 de fevereiro de 2017.

2. Elaboração e apresentação das demonstrações financeiras

As demonstrações financeiras foram elaboradas e estão sendo apresentadas de acordo com as práticas contábeis adotadas no Brasil, incluindo as disposições da Resolução do Conselho Federal de Contabilidade nº 1.409/12, que aprovou a Interpretação Técnica ITG 2002 – Institutos sem Finalidade de Lucros.

As práticas contábeis adotadas no Brasil compreendem aquelas incluídas na legislação societária brasileira e os pronunciamentos, as orientações e as interpretações técnicas emitidas pelo Comitê de Pronunciamentos Contábeis (CPC) e aprovados pelo Conselho Federal de Contabilidade (CFC), e evidenciam todas as informações relevantes próprias das demonstrações financeiras, e somente elas, as quais estão consistentes com as utilizadas pela administração na sua gestão.

A preparação de demonstrações financeiras em conformidade com as referidas normas requer o uso de certas estimativas contábeis críticas e também o exercício de julgamento por parte da administração da Instituição no processo de aplicação das práticas contábeis. As áreas que requerem maior nível de julgamento e possuem maior complexidade, bem como aquelas cujas premissas e estimativas são significativas para as demonstrações financeiras, estão divulgadas na nota explicativa 3.4.

2.1 Reapresentação de saldos iniciais

Em 2016, a Instituição avaliou a sua prática de reconhecimento de receitas do Contrato de Gestão com o MCTIC, que até o exercício de 2015 era reconhecida pelo regime de caixa e, por entender que a melhor prática do reconhecimento da receita seria pela competência dos contratos, definiu a partir do exercício de 2016 a mudança da prática contábil, com a reapresentação destes efeitos a partir do balanço inicial de 1º de janeiro de 2015. Desta forma, estamos representando estas demonstrações para efeitos comparativos.

CENTRO NACIONAL DE PESQUISA EM ENERGIA E MATERIAIS - CNPEM

Notas explicativas às demonstrações financeiras

31 de dezembro de 2016 e 2015

(Valores expressos em milhares de reais)

Ademais, a Instituição alterou também a apresentação dos Convênios, que até o exercício de 2015 eram reconhecidos apenas em contas patrimoniais, sem afetar o resultado. Desta forma, a partir do exercício de 2016, a Instituição alterou a forma do reconhecimento, sendo eles registrados no resultado por competência, conforme requerido pela ITG 2002. Estes efeitos nas demonstrações financeiras de 2015 também estão sendo reapresentados. Os valores em 2015 são R\$ 24.846 de despesas e sua receita também é de R\$ 24.846, portanto, não afetando o superávit do exercício.

Os ajustes estão reapresentados conforme a seguir:

a) Ajustes relacionados a períodos anteriores com impacto nos saldos de 1º de janeiro de 2015:

- A Instituição ajustou seus saldos de Recursos de convênios/projetos e subvenções circulante e não circulantes no balanço patrimonial em R\$ 1.185 referente aos saldos de Sirius, Sisnano, Biotec e Contrato de Gestão. Os saldos foram ajustados na data base de 1º de janeiro de 2015 e a abertura destes ajustes está apresentada abaixo:

Descrição	Grupo	Ajuste
Reconhecimento de subvenções federais - Projeto Sirius	Patrimônio Social	(1.642)
Reconhecimento de subvenções federais - Projeto Biotec	Patrimônio Social	1.358
Reconhecimento de subvenções federais - Projeto Sisnano	Patrimônio Social	878
Reconhecimento de subvenções federais - Contrato de gestão	Patrimônio Social	<u>591</u>
	Total	<u>1.185</u>

- Adicionalmente, havia sido reconhecido no exercício de 2015 em função da antiga prática contábil de reconhecimento pelo regime de caixa, a receita de subvenções governamentais oriundas do Contrato de Gestão no valor de R\$ 17.817 que se refere aos termos aditivos de anos anteriores. Desta forma, a Instituição ajustou seu resultado de 2015, reduzindo a receita reconhecida

CENTRO NACIONAL DE PESQUISA EM ENERGIA E MATERIAIS - CNPEM

Notas explicativas às demonstrações financeiras

31 de dezembro de 2016 e 2015

(Valores expressos em milhares de reais)

nesse montante. Por se tratar de saldo de anos anteriores, o efeito do referido ajuste já se encontrava incorporado ao patrimônio líquido da Instituição.

Desta forma, a Instituição ajustou o saldo inicial em R\$19.002, conforme demonstrado na Demonstração das Mutações do Patrimônio Líquido ("DMPL") das demonstrações financeiras.

Seguem os ajustes realizados:

Passivo

Circulante	1º/01/2015	Ajustes	1º/01/2015 (Nota 2.1 - Reapresentado)
	Original		
Recursos de convênios/projetos e subvenções	205.817	(19.002)	186.815
Total do passivo circulante	213.169	(19.002)	195.447

b) Ajustes relacionados ao exercício findo em 31 de janeiro de 2015:

- Em 31 de dezembro de 2015, foram ajustados R\$ 55.900 na conta Recursos de convênios/projetos e subvenções circulante em contrapartida do resultado do exercício, referente a receitas não apropriadas em 2015 em decorrência da antiga prática contábil, ou seja, valores que pela competência já eram devidos de reconhecimento da receita, porém ainda não haviam sido recebidos.
- Desta forma, o efeito total no resultado do exercício de 2015 foi de R\$38.083, sendo: 1) apropriação de receita no valor de R\$ 55.900 e 2) estorno de R\$ 17.817 conforme mencionado anteriormente no item a) acima.
- Os efeitos no balanço patrimonial foram redução do passivo circulante da conta de recursos de convênio/subvenção governamental no valor de R\$73.499, composto por: 1) apropriação da receita de R\$ 55.900 mencionado acima, 2) ajuste de R\$ 1.185 também mencionado no item a) acima e 3) uma reclassificação de R\$ 16.413 para o não circulante referente a receita diferida de depreciação de ativos de projetos.

CENTRO NACIONAL DE PESQUISA EM ENERGIA E MATERIAIS - CNPEM

Notas explicativas às demonstrações financeiras

31 de dezembro de 2016 e 2015

(Valores expressos em milhares de reais)

Segue abaixo, os ajustes das demonstrações financeiras de 31 de dezembro de 2015:

Balanco patrimonial
Passivo e patrimônio líquido

Circulante	31/12/2015 Original	Ajustes	31/12/2015 (Nota 2.1 - Reapresentado)
Recursos de convênios/projetos e subvenções	375.997	(73.498)	302.499
Total do passivo circulante	394.312	(73.498)	320.814
Não circulante			
Recursos de convênios/projetos e subvenções LP	152.967	16.413	169.380
	167.074	16.413	183.487
Patrimônio líquido			
Patrimônio social	127.991	57.085	185.076
Total do passivo e do patrimônio líquido	689.377	-	689.377

Demonstração do resultado

	2015 Original	Ajustes	2015 (2.1 Reapresentado)
Receitas operacionais com desenvolvimento tecnológico sem restrição	44.917	38.083	83.000
Despesas de convênios	-	(24.846)	(24.846)
Realização de receita de convênios	-	(24.846)	(24.846)
Superávit (déficit) bruto	(11.539)	38.083	26.544
Superávit (déficit) do exercício, líquido	(37.167)	38.083	916

CENTRO NACIONAL DE PESQUISA EM ENERGIA E MATERIAIS - CNPEM

Notas explicativas às demonstrações financeiras

31 de dezembro de 2016 e 2015

(Valores expressos em milhares de reais)

	31/12/2015	Ajustes	31/12/2015 (Nota 2.1 - Reapresentado)
	Original		
Demonstrações de fluxos de caixa			
Superávit (déficit) do exercício	(37.167)	38.083	916
Varição nos ativos e passivos operacionais			
Recursos de Convênios/projetos e subvenções	285.839	(38.083)	247.755

Para uma melhor visualização dos ajustes realizados, abaixo segue quadro explicativo.

Descrição	Valores
Tabela de ajustes	
Ajustes sobre passivos de projetos, convênios e subvenções	1.185
Reconhecimento de Subvenção de 2014	17.817
Total de ajuste nos saldos iniciais DMPL em 1º/01/2015	19.002
Ajustes nas Demonstrações financeiras de 31/12/2015	
Reconhecimento de Receita de Subvenção de 2015	55.900
Ajustes sobre passivos de projetos, convênios e subvenções	1.185
Total de ajuste no Patrimônio Líquido em 31/12/2015	57.085
Reclassificação de circulante para não circulante 31/12/2015	16.413
Total do ajuste no passivo circulante em 31/12/2015	73.498
Ajustes no Resultado de 31/12/2015	
Reconhecimento de Receita de Subvenção de 2015	55.900
Reversão de reconhecimento de Receita de Subvenção de 2014	(17.817)
Total de ajustes no Resultado de 2015	38.083
Ajuste no reconhecimento de Convênios de 31/12/2015	
Reconhecimento de Receita de Convênios de 31/12/2015	24.846
Reconhecimento de Despesa de Convênios de 31/12/2015	(24.846)

CENTRO NACIONAL DE PESQUISA EM ENERGIA E MATERIAIS - CNPEM

Notas explicativas às demonstrações financeiras

31 de dezembro de 2016 e 2015

(Valores expressos em milhares de reais)

3. Principais práticas contábeis

3.1. Moeda funcional e de apresentação das demonstrações financeiras

As demonstrações financeiras foram preparadas e estão apresentadas em Reais (R\$), que é a moeda funcional da Instituição. A moeda funcional foi determinada em função do ambiente econômico primário de suas operações.

3.2. Moeda estrangeira

As transações em moeda estrangeira, isto é, todas aquelas que não foram realizadas na moeda funcional da Instituição, foram convertidas pela taxa de câmbio na data em que as transações foram realizadas. Ativos e passivos monetários em moeda estrangeira são convertidos para a moeda funcional da Instituição pela taxa de câmbio na data-base das demonstrações financeiras.

3.3. Instrumentos financeiros

Ativos financeiros

Classificação e Mensuração

Os ativos financeiros da Instituição estão classificados como empréstimos e recebíveis.

Ativos financeiros são reconhecidos inicialmente ao preço de transação, acrescidos, no caso de ativos não designados a valor justo por meio do resultado, dos custos de transação que sejam diretamente atribuíveis à aquisição do ativo financeiro. Os empréstimos e recebíveis são contabilizados pelo custo amortizado, usando o método da taxa efetiva de juros.

Os principais ativos financeiros da Instituição incluem caixa e equivalentes de caixa, aplicações financeiras, convênios/projetos e subvenções a receber, contas a receber e outros ativos.

CENTRO NACIONAL DE PESQUISA EM ENERGIA E MATERIAIS - CNPEM

Notas explicativas às demonstrações financeiras

31 de dezembro de 2016 e 2015

(Valores expressos em milhares de reais)

Impairment de ativos financeiros

Ativos mensurados ao custo amortizado

A Instituição avalia no final de cada período do relatório se há evidência objetiva de que o ativo financeiro ou o grupo de ativos financeiros está deteriorado. Um ativo ou grupo de ativos financeiros está deteriorado e os prejuízos de impairment são incorridos somente se há evidência objetiva de *impairment* como resultado de um ou mais eventos ocorridos após o reconhecimento inicial dos ativos (um "evento de perda") e aquele evento (ou eventos) de perda tem um impacto nos fluxos de caixa futuros estimados do ativo financeiro ou grupo de ativos financeiros que pode ser estimado de maneira confiável.

O montante da perda por *impairment* é mensurada como a diferença entre o valor contábil dos ativos e o valor presente dos fluxos de caixa futuros estimados (excluindo os prejuízos de crédito futuro que não foram incorridos) descontados à taxa de juros em vigor original dos ativos financeiros. O valor contábil do ativo é reduzido e o valor do prejuízo é reconhecido na demonstração do resultado.

Caixa e equivalente de caixa

São representadas por dinheiro em caixa, saldos em conta corrente (bancos) e investimentos temporários de curto prazo de liquidez imediata, registradas pelos valores de custo acrescidos dos rendimentos até as datas dos balanços, que não excedem os seus valores de mercado ou de realização. Normalmente, as aplicações financeiras que, na data de sua aquisição, têm prazo de vencimento igual ou menor que três meses são registrados como equivalentes de caixa.

As disponibilidades, denominadas "sem restrição", são originadas principalmente de recursos providos pelo Ministério da Ciência, Tecnologia, Inovações e Comunicações - MCTIC, destinados ao custeio das atividades da Instituição.

As disponibilidades, denominadas "com restrição", são destinadas para desenvolvimento dos Projetos SIRIUS, SisNano e BIOTEC.

Aplicações financeiras

São valores aplicados em CDB, Debêntures e Fundos de Renda Fixa, cujos vencimentos ocorreram entre janeiro de 2017 à setembro de 2020, classificadas como recebíveis e são mensuradas pelo custo amortizado por meio do resultado, possuindo liquidez imediata. Conforme requerido pelo CPC 26 – Apresentação das

CENTRO NACIONAL DE PESQUISA EM ENERGIA E MATERIAIS - CNPEM

Notas explicativas às demonstrações financeiras

31 de dezembro de 2016 e 2015

(Valores expressos em milhares de reais)

Demonstrações Contábeis, o caixa e equivalente de caixa deve ser mantido com a finalidade de atender a compromissos de caixa de curto prazo e, não, para investimentos ou outros propósitos.

Subvenções a receber

As subvenções governamentais são reconhecidas em conformidade com o CPC 07 - Subvenção e assistência governamentais aprovada pela Resolução CFC nº 1.305/10, sendo registradas como Subvenções a receber pelo acordado em contrato até o efetivo recebimento.

A subvenção governamental relacionada a projetos é reconhecida como receita ao longo do período e confrontada com as despesas que pretende compensar, obedecendo o regime de competência de exercícios.

A subvenção governamental relacionada ao contrato de gestão é reconhecida de acordo com o regime contábil de competência de exercício, feito com base nos aditivos contratuais emitidos anualmente pelo MCTIC.

Passivos financeiros

Classificação e Mensuração de passivos financeiros

A Instituição determina a classificação dos seus passivos financeiros no momento do seu reconhecimento inicial. Passivos financeiros são inicialmente reconhecidos a valor justo. Após reconhecimento inicial, os passivos financeiros são mensurados subsequentemente pelo custo amortizado, utilizando o método da taxa efetiva de juros. Ganhos e perdas são reconhecidos na demonstração do resultado (superávit/déficit) no momento da baixa dos passivos, bem como durante o processo de amortização pelo método da taxa efetiva de juros.

Um passivo financeiro é baixado quando a obrigação for revogada, cancelada ou expirar. Quando um passivo financeiro existente for substituído por outro do mesmo montante com termos substancialmente diferentes, ou os termos de um passivo existente forem significativamente alterados, essa substituição ou alteração é tratada como baixa do passivo original e reconhecimento de um novo passivo, sendo a diferença nos correspondentes valores contábeis reconhecida na demonstração do resultado.

Os passivos financeiros da Instituição incluem contas a pagar a fornecedores e outras obrigações.

CENTRO NACIONAL DE PESQUISA EM ENERGIA E MATERIAIS - CNPEM

Notas explicativas às demonstrações financeiras

31 de dezembro de 2016 e 2015

(Valores expressos em milhares de reais)

Compensação de instrumentos financeiros

Ativos e passivos financeiros são compensados e o valor líquido é apresentado no balanço patrimonial quando há um direito legal de compensar os valores reconhecidos e há a intenção de liquidá-los em uma base líquida, ou realizar o ativo e liquidar o passivo simultaneamente. O direito legal não deve ser contingente em eventos futuros e deve ser aplicável no curso normal dos negócios e no caso de inadimplência, insolvência ou falência da empresa ou da contraparte.

3.4. Estimativas contábeis

São utilizadas para a mensuração e reconhecimento de certos ativos e passivos das demonstrações financeiras da Instituição. A determinação dessas estimativas levou em consideração experiências de eventos passados e correntes, pressupostos relativos a eventos futuros e outros fatores objetivos e subjetivos. Itens significativos sujeitos a estimativas incluem:

- i) a seleção de vidas úteis do imobilizado e intangível; e
- ii) a provisão para contingências.

A liquidação das transações envolvendo essas estimativas poderá resultar em valores divergentes dos registrados nas demonstrações financeiras devido às imprecisões inerentes ao processo de sua determinação. A Instituição revisa suas estimativas e premissas pelo menos anualmente.

3.5. Demais ativos e passivos, circulantes e não circulantes*a. Imobilizado e Intangível*

É registrado ao custo de aquisição, formação, construção ou aos valores atribuídos às doações patrimoniais e deduzidos da depreciação acumulada.

O valor residual e a vida útil estimada dos bens são revisados e ajustados, se necessário, na data de encerramento do exercício.

Os ativos denominados "sem restrição", são originados principalmente de recursos providos pelo Ministério da Ciência, Tecnologia, Inovações e Comunicações - MCTIC, destinados ao custeio das atividades da Instituição.

CENTRO NACIONAL DE PESQUISA EM ENERGIA E MATERIAIS - CNPEM

Notas explicativas às demonstrações financeiras

31 de dezembro de 2016 e 2015

(Valores expressos em milhares de reais)

Os ativos denominados “com restrição”, são destinados nos investimentos em desenvolvimento dos Projetos SIRIUS, SisNano e BIOTEC e Convênios.

A depreciação e a amortização são calculadas de forma linear ao longo da vida útil do ativo, à taxas que levam em consideração a vida útil estimada dos bens, estando assim em conformidade com o CPC 27.

O parágrafo 3º do artigo 183 da Lei nº 6.404/76, modificado pela Lei nº 11.638/07 e Lei nº 11.941/09, determina que a Instituição deverá efetuar, periodicamente, análise sobre a recuperação dos valores registrados no imobilizado e no intangível, a fim de que sejam registradas as perdas de valor do capital aplicado quando houver decisão de interromper os empreendimentos ou atividades a que se destinavam ou quando comprovado que não poderão produzir resultados suficientes para recuperação desse valor (*impairment*) e revisados e ajustados os critérios utilizados para determinação da vida útil econômica estimada para cálculo da depreciação e amortização.

A Administração revisa anualmente o valor contábil líquido dos ativos com o objetivo de avaliar eventos ou mudanças nas circunstâncias econômicas, operacionais ou tecnológicas, que possam indicar deterioração ou perda de seu valor recuperável. Quando tais evidências são identificadas, ou seja, o valor contábil líquido excede o valor recuperável, é constituída provisão para deterioração ajustando o valor contábil líquido ao valor recuperável.

Os ativos são agrupados e avaliados de acordo com os fluxos de caixa gerados pelo ativo ou grupo de ativos que representem uma unidade geradora de caixa independente. Uma perda é reconhecida com base no montante pelo qual o valor contábil excede o valor provável de recuperação de um ativo ou grupo de ativos de longa duração.

b. Recursos de convênios e projetos

São recursos captados junto a agências de fomento, com destinação específica nos projetos aprovados e registrados como passivo pelo valor de contrato até a efetiva destinação dos recursos. Em seguida passam a ser mensurados com base na movimentação dos valores substancialmente relacionados a rendimentos financeiros decorrentes das aplicações dos recursos não utilizados e dos correspondentes gastos incorridos ou destinação do recurso para ativos imobilizados e intangíveis, conforme CPC 07, conforme Nota explicativa 10.

CENTRO NACIONAL DE PESQUISA EM ENERGIA E MATERIAIS - CNPEM

Notas explicativas às demonstrações financeiras

31 de dezembro de 2016 e 2015

(Valores expressos em milhares de reais)

b1. Saldos dos recursos destinados à implantação do Projeto SIRIUS, Projeto SisNano e BIOTEC

Pela natureza dos recursos (Subvenção e assistência do Governo Federal), esses valores são tratados conforme determina o CPC 07, cuja aplicação está mencionada nas Notas 3.3.

O registro inicial tem contrapartida no mesmo montante no ativo de convênios/projetos e subvenções a receber. A apropriação ao resultado do exercício ocorre nos períodos ao longo dos quais a Instituição reconhece os custos relacionados ao objeto de compensação, portanto, se destinados recursos para aquisição de imobilizado ou intangíveis, a realização da receita acompanha a vida útil dos bens adquiridos.

c. Outros benefícios a empregados

Os benefícios concedidos a empregados e administradores da Instituição incluem em adição à remuneração fixa (salários e contribuições para a seguridade social (INSS, férias e 13º salário), benefícios que são registrados no resultado do exercício com base em competência, à medida que são incorridos conforme determina o CPC 33 – Benefícios a Empregados, aprovado pela Resolução CFC nº 1.425/13.

d. Demais ativos e passivos circulantes e não circulantes

Os demais ativos e passivos circulantes e não circulantes são demonstrados pelos valores conhecidos ou calculáveis acrescidos, quando aplicável, dos correspondentes encargos, variações monetárias e/ou cambiais incorridas até a data do balanço patrimonial.

3.6. Provisão para contingências

A Instituição registra somente os processos classificados pelos assessores jurídicos como perda provável a valores atualizados (Nota 12), conforme determinação do Pronunciamento Técnico CPC 25 ou NBC T 19.7 - Provisões, Passivos Contingentes e Ativos Contingentes, aprovado pela Resolução CFC nº 1.180/09, no qual as provisões são reconhecidas, pois são baseadas em estimativas confiáveis, são obrigações presentes e indicam que haverá uma saída de recursos para liquidar as obrigações.

CENTRO NACIONAL DE PESQUISA EM ENERGIA E MATERIAIS - CNPEM

Notas explicativas às demonstrações financeiras

31 de dezembro de 2016 e 2015

(Valores expressos em milhares de reais)

3.7. Patrimônio líquido

O patrimônio líquido é representado pelos superávits e/ou diminuído pelos déficits apurados anualmente desde a sua fundação, sem correção monetária, conforme legislação em vigor.

Conforme estatuto social, a Instituição deve aplicar integralmente seus recursos na manutenção de seus objetivos, não podendo, como consequência, distribuir qualquer parcela de seu patrimônio ou de suas rendas a título de lucros ou de participação no seu superávit. Dessa forma, o superávit do exercício é integralmente incorporado ao patrimônio social.

3.8. Demonstração do Resultado

O resultado é apurado pelo regime de competência. As subvenções para custeio dos Projetos SIRIUS, SisNano e do BIOTEC vêm sendo contabilizadas no passivo, sendo que a transferência para o resultado do exercício ocorre com base nas despesas incorridas, seguindo as práticas contábeis adotadas no Brasil. Os gastos com pesquisas são reconhecidos quando incorridos.

As subvenções recebidas do Contrato de Gestão com o MCTIC para custeio dos Laboratórios Nacionais são reconhecidas de acordo com regime contábil de competência de exercícios feito com base o contrato entre as partes.

A metodologia para rateio dos gastos comuns aos Laboratórios Nacionais é definida e aprovada pela direção da Instituição e periodicamente é revisada e atualizada.

3.9. Trabalho voluntário

Para efeito de cumprimento ao ITG 2002 – Institutos sem Fins Lucrativos, a Instituição identificou e valorizou as atividades recebidas de voluntários durante o exercício de 2016 no montante de R\$124 (R\$115 em 2015). O valor justo foi estimado tendo como referência a quantidade de horas dedicadas à Instituição, multiplicado pelo custo/hora de profissionais do mercado considerando as atividades executadas semelhantes à dos voluntariados bem como seu nível de formação técnica.

3.10. Tributação

A Instituição goza de isenção do imposto de renda e contribuição social sobre o superávit, conforme determinado pela Lei 9.532/97. A Instituição tributa suas receitas

CENTRO NACIONAL DE PESQUISA EM ENERGIA E MATERIAIS - CNPEM

Notas explicativas às demonstrações financeiras

31 de dezembro de 2016 e 2015

(Valores expressos em milhares de reais)

financeiras para os seguintes impostos; PIS e COFINS, sendo 1,65% e 7,6% respectivamente.

A Instituição não tributa PIS e COFINS sobre a receita de subvenção governamental recebida, pois os recursos que são repassados para atender as obrigações do Contrato de Gestão têm natureza de repasse de recursos públicos destinados à realização de atividades e projetos, restando afastada a incidência de impostos ou contribuições, por não caracterizarem contraprestação de serviços.

4. Caixa e equivalentes de caixa e aplicações financeiras

	<u>31/12/2016</u>	<u>31/2/2015</u>	<u>01/01/2015</u>
Caixa e equivalentes de caixa - sem restrição	67.796	4.623	3.932
Caixa e equivalentes de caixa - com restrição	<u>3</u>	<u>21.237</u>	<u>27.332</u>
Caixa e equivalentes de caixa	<u>67.799</u>	<u>25.860</u>	<u>31.264</u>
Debêntures contrato gestão	6.051	3.526	30.305
Debêntures reserva do conselho	<u>21.023</u>	<u>18.871</u>	<u>16.056</u>
Aplicações financeiras – sem restrição	<u>27.074</u>	<u>22.397</u>	<u>46.361</u>
Debêntures projetos	<u>328.216</u>	<u>66.208</u>	<u>78.371</u>
Aplicações financeiras – com restrição	<u>328.216</u>	<u>66.208</u>	<u>78.371</u>
	 <u>423.089</u>	 <u>114.465</u>	 <u>155.996</u>

CENTRO NACIONAL DE PESQUISA EM ENERGIA E MATERIAIS - CNPEM

Notas explicativas às demonstrações financeiras

31 de dezembro de 2016 e 2015

(Valores expressos em milhares de reais)

4.1. Composição de Caixa e equivalentes de caixa e aplicações financeiras

	<u>31/12/2016</u>	<u>31/12/2015</u>	<u>01/01/2015</u>
Saldos Das Contas do Contrato De Gestão	395.603	92.385	134.422
Sem Restrição	91.642	23.528	47.959
Disponível moeda nacional/estrangeira	48	63	55
Bancos conta Corrente – CNPEM	4	7	21
Banco do Brasil S/A - CDB – FUNDO – CG	64.514	1.039	484
Banco do Brasil - CDB Res. Técnica	1	22	1.039
Banco do Brasil - Debêntures – CG	6.051	3.526	30.305
Banco Bradesco - Debêntures - Res. Técnica	13.322	9.659	7.764
Banco do Brasil - Debêntures – Res. Técnica	7.702	9.212	8.291
Com Restrição	303.961	68.857	86.463
Conta corrente - BB – Sirius	-	-	1
Conta corrente - Bradesco – Sirius	-	-	-
Banco do Brasil - CDB – Sirius	306	7	410
Conta corrente - BB – Biotec	-	1	2
Conta corrente - Projeto Biotec	-	-	-
Banco do Brasil - CDB - Biotec Lima	1.676	1.345	-
Conta corrente - BB – SisNano	506	-	1
Banco do Brasil - CDB – Biotec	2	170	2.140
Banco do Brasil - CDB – SisNano	7.972	437	4.623
Banco do Brasil - CDB Proj.Sirius Filial	1.548	689	915
Banco Bradesco - Debêntures - Sirius	15.040	13.412	12.309
Banco do Brasil - Debêntures - Sirius	7.434	22.517	59.625
Banco do Brasil - Debêntures - SisNano	3.693	2.876	415
Banco do Brasil - Debêntures Sirius Filial	165.498	23.695	6.022
Banco do Brasil - Debêntures Biotec	2.191	3.708	-
Banco do Brasil - Fundo Renda Fixa Sirius	98.095	-	-
Saldos das Contas de Outras Fontes De Recurso	27.486	22.080	21.574
Sem Restrição	3.229	3.492	2.333
Banco do Brasil S/A - CDB – EG	3.229	3.492	2.333
Com Restrição	24.257	18.588	19.241
Bancos Conta Corrente – Convênios	575	5	245
Aplicações Financeiras – Convênios	21.981	18.583	18.996
Banco Bradesco – Reserva Convênios	1.701	-	-
	423.089	114.465	155.996

CENTRO NACIONAL DE PESQUISA EM ENERGIA E MATERIAIS - CNPEM

Notas explicativas às demonstrações financeiras

31 de dezembro de 2016 e 2015

(Valores expressos em milhares de reais)

O caixa e equivalente de caixa estão compostos basicamente por certificados de depósitos bancários que têm prazos de vencimentos entre janeiro e setembro de 2017 e as taxas de juros variam de 96% a 98% do CDI, possuindo liquidez imediata.

As aplicações financeiras se referem a valores aplicados em debêntures e fundos de renda fixa e tratam-se de títulos emitidos por terceiros, cujos vencimentos ocorrerão entre janeiro de 2017 a novembro de 2020 e a remuneração é de 100% a 101% do CDI. As Instituições financeiras são instituições de primeira linha.

Todas as aplicações financeiras da Instituição possuem liquidez imediata, podendo ser resgatadas, dependendo simplesmente da necessidade de caixa da Instituição, motivo pelo qual estão classificadas no ativo circulante.

Em 2016, o saldo financeiro do caixa e equivalentes de caixa e aplicações financeiras foi de R\$423.089, sendo que recursos do Contrato de Gestão totalizam R\$91.642, sendo: i) R\$70.617 à recursos destinados às metas iniciadas em 2016; e ii) R\$21.025 à Reserva Técnica.

O aumento no caixa da Instituição no exercício de 2016 ocorreu devido ao recebimento integral dos recursos contratados junto ao MCTIC pelo 14º, 15º e 16º Termos Aditivos do Contrato de Gestão conforme demonstrado na Nota 5.

O montante disponível como Conta Corrente, Debêntures e Fundo Fixo, destinados ao Projeto Sirius (R\$287.921) e Sisnano (R\$12.701), demonstrado no quadro acima, destinam-se à execução da Obra da Nova Fonte de Luz Sincrotron e à aquisição de microscópios para o Laboratório de Nanotecnologia. A previsão de realização destes montantes está prevista para o primeiro semestre de 2017.

5. Convênios/projetos e subvenções a receber

	31/12/2015 (Reapresentado)	Adição de contratos e aditivos	Baixa por recebimento efetivo	31/12/2016
Contrato de gestão de operação	55.900	83.961	(139.861)	-
Projeto Sirius	196.620	181.962	(378.582)	-
Projeto SisNano	7.277	7.650	(14.927)	-
Projeto Biotec	-	-	-	-
	259.797	273.573	(533.370)	-

CENTRO NACIONAL DE PESQUISA EM ENERGIA E MATERIAIS - CNPEM

Notas explicativas às demonstrações financeiras

31 de dezembro de 2016 e 2015

(Valores expressos em milhares de reais)

	01/01/2015 Reapresentado	Adição de contratos e aditivos	Baixa por recebimento efetivo	31/12/2015
Contrato de gestão de operação	17.818	83.000	(44.918)	55.900
Projeto Sirius	28.177	240.619	(72.176)	196.620
Projeto SisNano	10.346	8.277	(11.346)	7.277
Projeto Biotec	4.999	-	(4.999)	-
	<u>61.340</u>	<u>331.896</u>	<u>(133.439)</u>	<u>259.797</u>

Os valores acima se referem aos montantes a receber de convênios/projetos e subvenções detalhados na nota explicativa 10.

6. Outros ativos

	2016	2015	01.01.2015
Adiantamentos	845	2.454	4.306
Despesas antecipadas	476	1.422	16
Outros	117	115	184
	<u>1.438</u>	<u>3.991</u>	<u>4.506</u>

O saldo de adiantamento é composto basicamente de recursos adiantados aos convênios e ao despachante aduaneiro. Como despesa antecipada temos o licenciamento do uso de software, cujo prazo é de 1 ano.

CENTRO NACIONAL DE PESQUISA EM ENERGIA E MATERIAIS - CNPEM

Notas explicativas às demonstrações financeiras

31 de dezembro de 2016 e 2015

(Valores expressos em milhares de reais)

7. Imobilizado e intangível

	Depreciação/ amortização % a.a.	Custo	Depreciação/a mortização acumulada	2016	2015
Equipamentos de pesquisa	10 a 29	131.796	(64.817)	66.979	62.176
Móveis e utensílios	10 e 15	49.230	(19.770)	29.460	29.505
Equipamentos de computação	10 a 40	8.678	(5.226)	3.452	3.032
Edifícios	4	43.224	(5.649)	37.575	38.070
Veículos	20	1.035	(357)	679	734
Bens desenvolvimento interno		-	-	-	-
Adiantamento em andamento		-	-	-	6.143
Imobilizado em andamento		859	-	859	1.258
Instalações e benfeitorias		330	-	331	-
Outros	10	4.629	(3.288)	1.341	1.453
Impairment		(3.490)	-	(3.490)	-
Imobilizado sem restrição		236.291	(99.107)	137.185	142.371
Equipamentos de pesquisa		60.406	(12.612)	47.794	31.724
Móveis e utensílios	10 e 15	3.829	(3.729)	100	2.764
Equipamentos de computação	10 a 40	2.024	(1.072)	952	581
Edifícios	4	8.534	(574)	7.960	7.900
Veículos	20	18	(18)	-	7
Adiantamento em andamento		30.912	-	30.912	11.419
Obras em andamento		200.211	-	200.211	99.212
Imobilizado em andamento		13.522	-	13.522	1.958
Instalações e benfeitorias		6.141	(95)	6.046	-
Outros		1.425	(335)	1.090	18
Impairment		(5.682)	-	(5.682)	-
Imobilizado com restrição		321.340	(18.435)	302.905	155.583
Total imobilizado		557.631	(117.542)	440.090	297.954
Software sem restrição	14	4.495	(2.137)	2.410	2.553
Software com restrição	14	1.353	(917)	436	748
Total intangível		5.848	(3.054)	2.846	3.301

CENTRO NACIONAL DE PESQUISA EM ENERGIA E MATERIAIS - CNPEM

Notas explicativas às demonstrações financeiras

31 de dezembro de 2016 e 2015

(Valores expressos em milhares de reais)

	Depreciação/a mortização % a.a.	Custo	Depreciação/a mortização acumulada		
			31/12/2015	1º/01/2015	
Equipamentos de pesquisa	10 a 29	125.888	(63.712)	62.176	65.950
Móveis e utensílios	10 e 15	48.788	(19.283)	29.505	29.262
Equipamentos de computação	10 a 40	8.483	(5.451)	3.032	3.294
Edifícios	4	42.799	(4.729)	38.070	34.939
Veículos	20	1.033	(299)	734	499
Bens desenvolvimento interno		-	-	-	1.387
Importação em andamento		6.143	-	6.143	821
Obras em andamento		-	-	-	1.983
Imobilizado em andamento		1.258	-	1.258	-
Outros	10	4.726	(3.273)	1.453	1.068
Imobilizado sem restrição		239.118	(96.747)	142.371	139.203
Equipamentos de pesquisa		34.967	(3.243)	31.724	9.153
Móveis e utensílios	10 e 15	3.457	(693)	2.764	2.682
Veículos	20	7	-	7	-
Equipamentos de computação	10 a 40	834	(253)	581	638
Edifícios	4	8.268	(368)	7.900	-
Importação em andamento		-	-	-	1.366
Adiantamento em andamento		11.419	-	11.419	19.089
Obras em andamento		99.212	-	99.212	24.107
Imobilizado em andamento		1.958	-	1.958	-
Outros		18	-	18	682
Imobilizado com restrição		160.140	(4.557)	155.583	57.717
Total imobilizado		399.258	(101.304)	297.954	196.920
Software sem restrição	14	4.465	(1.912)	2.553	2.515
Software com restrição	14	1.180	(432)	748	391
Total intangível		5.645	(2.344)	3.301	2.906

Movimentação 2016

	Movimentação					2016
	2015	Adições	Baixas	Transferência	Doações	
Equipamentos de pesquisa	160.856	13.390	(984)	-	18.938	192.200
Móveis e utensílios	52.246	329	(38)	(17)	539	53.059
Equipamentos de computação	9.316	1.270	(190)	(1)	307	10.702
Edifícios	50.736	412	-	(111)	721	51.758
Veículos	1.039	11	-	-	3	1.053
Obras em andamento	99.212	101.001	-	-	-	200.213
Imobilizado em andamento	3.217	12.422	(185)	(1.071)	-	14.383
Instalações e benfeitorias	330	343	-	128	5.670	6.471
Outros	4.745	358	(192)	1.072	71	6.054
Total do custo	381.697	129.536	(1.589)	-	26.249	535.893
Redução ao valor recuperável	-	-	-	-	(9.172)	(9.172)
Depreciação acumulada	(101.305)	(17.250)	1.012	-	-	(117.543)
Total imobilizado	280.392	112.286	(577)	-	17.077	409.178

CENTRO NACIONAL DE PESQUISA EM ENERGIA E MATERIAIS - CNPEM

Notas explicativas às demonstrações financeiras

31 de dezembro de 2016 e 2015

(Valores expressos em milhares de reais)

	2015		Compensação por adiantamento		2016	
		Adiantamentos realizados				
Adiantamento para importação	17.562	28.223	(14.874)		30.911	
	17.562	28.223	(14.874)		30.911	
Software	5.455	138	-	-	64	5.658
Marcas e Patentes	190	-	-	-	-	190
Amortização acumulada	(2.344)	(671)	14	-	-	(3.001)
Total intangível	3.301	(533)	14	-	64	2.846

Movimentação 2015

	2014	Movimentação				2015
		Adições	Baixas	Transferência	Doações	
Equipamentos de pesquisa	133.084	25.603	(789)	(207)	3.165	160.856
Móveis e utensílios	48.554	3.677	(1.530)	-	1.545	52.246
Equipamentos de computação	8.815	797	(407)	-	111	9.316
Edifícios	39.091	1.350	-	10.625	-	51.066
Veículos	728	311	-	-	-	1.039
Adiantamento a fornecedores	21.296	16.916	(20.651)	-	-	17.561
Obras em andamento	24.107	84.379	(171)	(9.103)	-	99.212
Imobilizado em andamento	3.350	1.609	(29)	(1.713)	-	3.217
Outros	4.734	162	-	(151)	-	4.745
Total do custo	283.759	134.804	(23.577)	(549)	4.821	399.258
Depreciação acumulada	(86.839)	(17.611)	3.145	-	-	(101.305)
Total imobilizado	196.920	117.193	(20.432)	(549)	4.821	297.953
Software	4.464	574	-	398	19	5.455
Marcas e Patentes – Ajustado	-	39	-	151	-	190
Amortização acumulada	(1.558)	(764)	(22)	-	-	(2.344)
Total intangível	2.906	(151)	(22)	549	19	3.301

A variação do saldo de imobilizado no exercício de 2016 está basicamente relacionada à construção do prédio da Nova Fonte de Luz Síncrotron, SIRIUS, registrada na conta Obras em Andamento, prevista para se encerrar em 2018.

CENTRO NACIONAL DE PESQUISA EM ENERGIA E MATERIAIS - CNPEM

Notas explicativas às demonstrações financeiras

31 de dezembro de 2016 e 2015

(Valores expressos em milhares de reais)

Bens recebidos em comodato

Os bens que formam o Laboratório Nacional de Luz Síncrotron (edifícios, equipamentos, etc.) foram basicamente cedidos para uso do CNPEM pelo MCTIC/CNPq, por meio do Contrato de Gestão mencionado na Nota 1 e, portanto, não estão contemplados nestas demonstrações financeiras.

As cessões dos comodatos abaixo representam o volume de recursos aplicados em bens aguardando encerramento do processo de doação por parte de agências de fomento:

	<u>2016</u>	<u>2015</u>	<u>01.01.2015</u>
Bens cedidos pelo MCT/CNPq por meio do contrato de gestão	2.360	2.362	2.421
Bens sob responsabilidade FINEP/CT Infra I	-	1.699	1.701
Bens sob responsabilidade FINEP/CT Infra III	-	1.279	1.279
Bens sob responsabilidade FINEP Mod. Interação	-		1.249
Bens sob responsabilidade FINEP Mod. Proinfra	-	789	789
Bens cedidos pela Fundação CPqD - Centro de Pesquisas e Desenvolvimento em Telecomunicações	155	155	155
Bens sob responsabilidade FINEP/Getec	-	135	135
Bens em comodato / convênios / contrato gestão	1.757	564	171
Bens sob responsabilidade FINEP/CT Infra V	-	67	67
Bens sob responsabilidade Auxílio Individual	1.931	-	-
	<u>6.203</u>	<u>7.050</u>	<u>7.967</u>

Os terrenos nos quais estão instaladas a matriz do CNPEM e sua Filial SIRIUS é de propriedade do Governo do Estado de São Paulo. O terreno da matriz foi declarado de utilidade pública pelo Processo nº 30.135, de 12 de julho de 1989, publicado no Diário Oficial do Estado de São Paulo em 13 de julho de 1989. Durante o exercício de 2010, o Governo do Estado de São Paulo emitiu o "Termo de Permissão de Uso de Próprio da Fazenda do Estado de São Paulo, na conformidade do Decreto nº 55.359, de janeiro de 2010" por tempo indeterminado. A permissão de uso do terreno da Filial foi registrada no Decreto nº 61.002 de 18 de dezembro de 2014, publicado no Diário Oficial do Estado de São Paulo, a título precário e gratuito e por prazo indeterminado.

CENTRO NACIONAL DE PESQUISA EM ENERGIA E MATERIAIS - CNPEM

Notas explicativas às demonstrações financeiras

31 de dezembro de 2016 e 2015

(Valores expressos em milhares de reais)

8. Fornecedores

	<u>31/12/2016</u>	<u>31/12/2015</u>	<u>01.01.2016</u>
Fornecedores	3.019	5.686	683
	<u>3.019</u>	<u>5.686</u>	<u>683</u>

9. Salários, férias e encargos a pagar

O valor apresentado em salários, férias e encargos a pagar é composto basicamente por provisão para férias e encargos trabalhistas.

A variação da conta em 2016 refere-se à redução do saldo de provisão para férias devido às férias coletivas de final concedidas no final do ano de 2016 e a reclassificação dos valores do passivo circulante a pagar do processo trabalhista de periculosidade, os quais estavam registrados em sua totalidade no não circulante em provisão para contingências no valor de R\$3.488.

9.1 Partes relacionadas

A remuneração mensal dos dirigentes e empregados, com recursos do Contrato de Gestão, aprovada pelo Conselho de Administração, observa como limite máximo o que dispõe o inciso XI, do art. 37 da Constituição Federal, ou seja, salário mensal não superior a R\$33.700.

O valor gasto em 2016 com a remuneração dos dirigentes em folha de pagamento foi de R\$2.044.

CENTRO NACIONAL DE PESQUISA EM MATERIAIS E ENERGIA - CNPEM

Notas explicativas às demonstrações contábeis
31 de dezembro de 2016 e 2015
(Valores expressos em milhares de reais)

10. Recursos de convênios/projetos e subvenções

10.1 Mapa de movimentação dos convênios

Abaixo, segue a movimentação de 1º de janeiro de 2015 a 31 de dezembro de 2015.

	1/01/2015	Recursos recebidos	Rendimento de aplicação financeira	Realização da receita diferida	Realização relativa a depreciação e amortização	31/12/2015
Petrobrás TMEC	247	-	8	-255		0
Convênio CTBE BNDES Jacto	2.116	-	142	-1.362		896
Convênio BNDES RHODIA	1.179	863	90	-1.777		355
Convênio CTBE BP	446	-	26	-347		125
Convênio FINEP PACMAN	892	2.248	63	-2.014		1.189
Convênio FINEP INFRAPEM	168	-	-	-12		156
Convênio BNDES LIMA	2.073	-	229	1		2.303
Convênio FINEP CONT COLOFF	13	-	14	-13		14
Convênio FINEP DTMX2	697	-	54	-132		619
Convênio DOW II	589	508	6	-1.073		30
Convênio MS SICONV LIMA	3.174	-	157	-1.345		1.986
Convênio FMC FSW CLAD	705	854	41	-1.132		468

CENTRO NACIONAL DE PESQUISA EM MATERIAIS E ENERGIA - CNPEM

Notas explicativas às demonstrações contábeis
31 de dezembro de 2016 e 2015
(Valores expressos em milhares de reais)

Convênio EMBRAPII	1.005	-	39	-541	503
Convênio FINEP ELI LILLY	209	400	27	-232	404
Convênio ENZIMAS RAMIFICADAS-BRK	-	1.044	27	-404	667
Convênio PNUD SUCRE	-	2.029	30	-1.263	796
Convênio DNDI II	249	297	23	-37	532
Convênio DOW DSM	4.011	8.215	576	-7.625	5.177
Petrobrás CO2	1.288	23	66	-1.027	350
Petrobrás FSW 4	1.004	1.178	39	-1.148	1.073
Petrobrás LABWEB 2	11	370	2	-384	-1
Petrobrás SENSORMEG	390	-	21	-292	119
Convênios BNDES MAHLE	707	75	43	-632	193
Convênios LNBio GRANT U E	28	410	14	-290	162
Outros convênios	49	1.938	43	-1.510	520
Receita diferida ativos de convênios	9.988	9.273		-897	18.364
Recursos de convênios (a)	31.238	29.725	1.780	-24.846	37.000
Recursos de projetos em Execução do Sirius	123.273	241.210	7.365	-102.416	269.432
Receita diferida ativos Sirius	41.584	83.426	-	-2.310	122.700
Recursos de projetos em Execução do SisNano	16.744	8.277	841	-15.265	10.597
Receita diferida ativos SisNano	3.663	15.359	-	-478	18.544
Recursos de projetos em Execução do BIOTEC	7.267	0	467	-3.698	3.836
Receita Diferida ativos BIOTEC	73	2.168	-	-54	2.187
Receita Diferida ativos Contrato de Gestão	185	8.232	-	-241	7.585
Recursos de projetos (b)	192.789	358.672	8.673	-122.170	434.881

CENTRO NACIONAL DE PESQUISA EM MATERIAIS E ENERGIA - CNPEM

Notas explicativas às demonstrações contábeis
31 de dezembro de 2016 e 2015
(Valores expressos em milhares de reais)

Subvenção de contratos de gestão (operação)	0	83.000	0	-83.000	0
Subvenção de contrato de gestão (c)					
Classificados no	224.123	471.397	10.355	-230.016	-3.980
<i>Passivo circulante</i>	<u>186.815</u>				<u>471.879</u>
<i>Passivo não circulante</i>	37.308				302.499
	224.123				<u>169.380</u>
					<u>471.879</u>

	2015 (2.1) representado		Recursos		Rendimento		Constituição		Gastos	
			Recebidos	de aplicação financeira	de receita diferida	incorridos	2016			
Petrobrás TMEC	-	-	-	-	-	-	-	-	-	-
Convênio Sensorbr	-	-	-	-	-1	1	-	-	-	-
Convênio CTBE BNDES Jacto	896	985	94	-563	-992	420	-	-	-	-
Convênio BNDES RHODIA	355	-	10	-31	-334	-	-	-	-	-
Convênio CTBE BP	125	-	5	-42	-88	-	-	-	-	-
Convênio FINEP PACMAN	1.189	2.179	56	-8	-1.091	2.325	-	-	-	-
Convênio FINEP INFRAPEM	156	-	7	-72	-52	39	-	-	-	-
Convênio BNDES LIMA	2.303	-	288	-12	-10	2.569	-	-	-	-
Convênio DOW II	30	-	-	-6	-24	-	-	-	-	-
Convênio MS SICONV LIMA	1.986	3.000	166	16	-61	5.107	-	-	-	-
Convênio FMC FSW CLAD	468	-	37	-21	-43	441	-	-	-	-
Convênio EMBRAPII	503	-	35	-348	-3	187	-	-	-	-

CENTRO NACIONAL DE PESQUISA EM MATERIAIS E ENERGIA - CNPEM

Notas explicativas às demonstrações contábeis
31 de dezembro de 2016 e 2015
(Valores expressos em milhares de reais)

Convênio FINEP ELI LILLY	404	450	47	-127	-151	623
Convênio ENZIMAS RAMIFICADAS-BRK	667	63	21	-217	-523	11
Convênio PNUD SUCRE	796	4.593	34	-2.845	-2.577	1
Convênio DNDI II	532	-	13	23	-568	-
Convênio DOW DSM	5.177	6.255	579	-2.049	-4.501	5.461
Petrobrás CO2	350	998	95	-157	-669	617
Petrobrás FSW 4	1.073	937	112	143	-497	1.768
Convênios BNDES MAHLE	193	700	61	-44	-480	430
Convênios LNBio GRANT U E	162	313	20	-3	-463	29
Petrobrás SAP	145	373	9	-41	-303	183
Petrobrás E-Tong	-	345	11	-35	-196	125
Finep Idcoloff	285	337	35	-376	-109	172
DNDI	-	269	9	-63	-163	52
Boticário	-	200	13	-92	-16	105
Petrobras Dutos	-	250	3	-	-	253
Embrapii Mahle	-	283	2	-	-	285
Mahle CTBE	-	567	-	-	-	567
Convênio FINEP DTMX2	619	-	17	-492	-28	116
Outros convênios	222	1105	45	-113	-691	568
Total de recursos 2016	18.636	24.202	1.824	-7.576	-14.632	22.454

CENTRO NACIONAL DE PESQUISA EM MATERIAIS E ENERGIA - CNPEM

Notas explicativas às demonstrações contábeis

31 de dezembro de 2016 e 2015

(Valores expressos em milhares de reais)

Constituição de receita diferida – Se refere a movimentações dos Convênios sendo composta basicamente por contas patrimoniais que não afetam o caixa, baixa e a realização do convênio por aquisição de imobilizado FINEP.

Gastos incorridos – Se refere a todas as despesas de convênios no período que afetam o fluxo de caixa de cada contrato, sendo este, recurso monetário efetivamente utilizado pelo convênio, o qual foi reconhecido no resultado do exercício.

10.2 Movimentação das subvenções

	Movimentação das subvenções					2016
	2015 (Nota 2.1 Reapresentado)	Recursos recebidos	Rendimento de aplicação financeira	Aquisições de imobilizado	Realização da receita	
Projeto em execução do Sirius	72.813	378.582	11.259	(121.317)	(25.823)	315.514
Projeto em execução do Sisnano	3.320	14.927	461	(5.952)	(537)	12.219
Projeto em execução do Biotec	3.836	-	349	-	(1.992)	2.193
	79.969	393.509	12.069	(127.269)	(28.352)	329.926
Subvenção do contrato de gestão (Operação)	-	83.961	-	-	(83.961)	-

As aquisições de imobilizado no valor de R\$127.269 referem-se aos ativos adquiridos no exercício de 2016, os quais são reclassificados para o não circulante, conforme demonstrado na nota 10.4, sendo posteriormente reconhecida a sua receita mediante a depreciação desses ativos.

10.3 Movimentação das subvenções governamentais

	Movimentação das subvenções a receber			2016
	2015	Adição de contratos aditivos	Recursos recebidos	
Projeto em execução do Sirius	196.619	181.963	(378.582)	-
Projeto em execução do Sisnano	7.277	7.650	(14.927)	-
Projeto em execução do Biotec	-	-	-	-
Recursos de projetos (b)	203.896	189.613	(393.509)	-

CENTRO NACIONAL DE PESQUISA EM MATERIAIS E ENERGIA - CNPEM

Notas explicativas às demonstrações contábeis
31 de dezembro de 2016 e 2015
(Valores expressos em milhares de reais)

10.4 Movimentação receita diferida

	Movimentação receita diferida 2016					2016
	2015	Ativações	Impairment	Realização da receita diferida por depreciação e amortização	Outros	
Receita Diferida ativos Sirius	122.700	121.317	-	(1.661)	119	242.475
Receita Diferida ativos Sisnano	18.544	5.952	-	(1.513)	-	22.983
Receita Diferida ativos BIOTEC	2.187	-	-	(106)	-	2.081
Receita Diferida ativos convenio	18.364	23.041	(5.692)	(1.980)	-	33.733
Receita Diferida ativo Contrato de Gestão	7.585	7.587	(3.480)	(637)	1	11.056
Outros	-	-	-	-	-	-
	169.380	157.897	(9.172)	(5.897)	120	312.328

a) Recursos de convênios

A Instituição possui diversos projetos de pesquisa vinculada às empresas, agências de fomentos e/ou bancos. Para isso, os instrumentos reguladores são firmados mediante Acordo de Cooperação ou Convênios entre as partes, com base em um plano de trabalho e um cronograma de desembolso específico ao projeto, que pode ou não haver contrapartida financeira do CNPEM, sendo que no fim do convênio é feita a prestação de contas ao parceiro.

Em 31 dezembro de 2016, os principais parceiros da Instituição são Programa das Nações Unidas para o Desenvolvimento – PNUD, Banco Nacional de Desenvolvimento - BNDES, FINEP, Ministério da Saúde, DOW DSM, EMBRAPPII, Petrobrás, entre outros.

Durante o exercício de 2016, foram recebidas doações patrimoniais dos convênios que correspondem a equipamentos para pesquisas e outros fins relacionados à atividade da Instituição, no montante de R\$17.077, conforme descrito na nota 7.

CENTRO NACIONAL DE PESQUISA EM MATERIAIS E ENERGIA - CNPEM

Notas explicativas às demonstrações contábeis
31 de dezembro de 2016 e 2015
(Valores expressos em milhares de reais)

b) Recursos de projetos

SIRIUS

Os recursos contratados estão destinados, em sua maioria, à execução do Projeto Sirius, à nova Fonte de Luz Síncrotron de quarta geração, planejada para ser uma das mais avançadas do mundo.

Os valores apresentados no quadro 10.3 acima representam a diferença entre o saldo de orçamentos pactuados em exercícios anteriores, os rendimentos financeiros e o montante orçamentário executado deste projeto, além dos recursos firmados por meio do 15º termo aditivo ao Contrato de Gestão, no montante de R\$181.963.

SisNano

Os recursos destinados a este projeto serão utilizados na aquisição de equipamentos para implantação da nova instalação do LNNano, viabilizando a realização das linhas de pesquisa previstas para o Laboratório de Referência do SisNano. Para 2016, o recurso do projeto foi firmado no 15º Termo Aditivo ao Contrato de Gestão, no montante de R\$7.650.

BIOTEC

Este projeto tem por objetivo a criação de uma infraestrutura laboratorial destinada à geração de linhagens celulares e bancos de células produtoras de proteínas recombinantes. Em 2016, não foram contratados novos recursos e o projeto apenas deu continuidade às suas atividades, de acordo com o cronograma estabelecido.

c) Subvenção de contrato de gestão

O contrato de gestão firmado entre o CNPEM e MCTIC é destinado para o custeio das atividades desenvolvidas nos Laboratórios Nacionais e seu resultado é medido anualmente, por meio de indicadores de desempenhos técnicos.

Os valores apresentados no passivo não circulante se referem a receita diferida registrada em contrapartida dos ativos imobilizado e intangível adquiridos para os respectivos projetos, os quais são depreciados/amortizados de acordo com a vida útil dos respectivos bens e direitos adquiridos.

CENTRO NACIONAL DE PESQUISA EM MATERIAIS E ENERGIA - CNPEM

Notas explicativas às demonstrações contábeis
31 de dezembro de 2016 e 2015
(Valores expressos em milhares de reais)

11. Provisão para contingências

A Instituição está envolvida em ações judiciais sobre questões fiscais e trabalhistas, decorrentes do curso normal de suas operações. A Administração, com base em informações de seus assessores jurídicos e análise das demandas judiciais pendentes, constituiu provisão em montante considerado suficiente para cobrir as perdas prováveis esperadas no desfecho das ações em curso.

	<u>2016</u>	<u>2015</u>	<u>01.01.2015</u>
Provisão para contingências Trabalhistas	173	14.107	12.334
Depósitos judiciais Trabalhistas	(124)	(6.094)	(5.319)
Tributários	(1.192)	(1.192)	(1.059)
	<u>(1.316)</u>	<u>(7.286)</u>	<u>(6.378)</u>
	<u>(1.143)</u>	<u>6.821</u>	<u>5.956</u>

Movimentações 2016

	<u>31/12/2015</u>	<u>Adições</u>	<u>Baixas</u>	<u>31/12/2016</u>
Provisão para contingências Trabalhistas	14.107		(13.934)	173
	<u>14.107</u>		<u>(13.934)</u>	<u>173</u>
Depósitos judiciais Trabalhistas	(6.094)	(180)	6.150	(124)
Tributários	(1.192)	-	-	(1.192)
	<u>(7.286)</u>	<u>(180)</u>	<u>6.150</u>	<u>(1.316)</u>

Movimentações 2015

	<u>01/01/2015</u>	<u>Adições</u>	<u>Baixas</u>	<u>31/12/2015</u>
Provisão para contingências Trabalhistas	12.334	1.773	-	14.107
	<u>12.334</u>	<u>1.773</u>	<u>-</u>	<u>14.107</u>
Depósitos judiciais Trabalhistas	(5.319)	(776)	1	(6.094)
Tributários	(1.059)	(133)	-	(1.192)
	<u>(6.378)</u>	<u>(909)</u>	<u>1</u>	<u>(7.286)</u>

CENTRO NACIONAL DE PESQUISA EM MATERIAIS E ENERGIA - CNPEM

Notas explicativas às demonstrações contábeis
31 de dezembro de 2016 e 2015
(Valores expressos em milhares de reais)

Trabalhistas

Em 2016, a Instituição realizou acordo judicial ao processo de adicional de insalubridade e periculosidade, movido pelo sindicato da categoria, e foi homologado entre as partes em 27 de abril de 2016. Com o acordo judicial a Instituição reverteu o valor de R\$13.934 da rubrica Contingências no passivo não circulante, bem como o depósito judicial no valor de R\$6.150 no ativo não circulante. A diferença na reversão da provisão no montante de R\$1.753, foi registrado no resultado do exercício. O valor residual foi parcelado em 25 meses, a partir de maio de 2016, sendo 24 parcelas de R\$ 200 e a 25ª parcela de R\$ 88, registrado na rubrica do balanço Salários, férias e encargos a pagar, por não se tratar mais de provisão de causas a serem julgadas, mas sim, já definido em juízo como obrigações com proventos e seus respectivos impostos e contribuições. O saldo em dezembro de 2016 é de R\$ 3.488.

Adicionalmente, os processos avaliados com possíveis chances de êxito se tratam de ações movidas por ex-funcionários e/ou funcionários de empresas prestadoras de serviços da Instituição pleiteando pagamentos de diferenças salariais, diferenças de horas extras acrescidas dos adicionais incidentes e reflexos, além de verbas rescisórias. Na maioria dos casos, a Instituição está incluída como responsável subsidiária pelo cumprimento de eventual condenação, por ser tomador dos serviços.

O somatório dos processos possíveis totaliza R\$2.018, enquanto que os depósitos judiciais estão corrigidos monetariamente.

Tributárias

O depósito judicial tributário encontra-se, dentre outras ações, em instância administrativa e refere-se a auto de infração e imposição de multa, lavrado em 17 de fevereiro de 2004, pela Secretaria de Estado dos Negócios da Fazenda, relativo ao ICMS incidente na importação de máquinas e equipamentos no período de janeiro de 2001 a junho de 2002.

Em atendimento ao referido dispositivo, a Instituição depositou em juízo perante a 1ª Vara da Fazenda Pública da Comarca de Campinas, em outubro de 2009, o montante de R\$672, previsto na ação com as devidas correções e, em setembro de 2012, a Instituição realizou um complemento do depósito no montante de R\$387, totalizando R\$1.059. O montante deverá ser corrigido por TR mais 0,5% ao mês, dessa forma o valor registrado de R\$1.192 em 2016 está atualizado com este índice.

CENTRO NACIONAL DE PESQUISA EM MATERIAIS E ENERGIA - CNPEM

Notas explicativas às demonstrações contábeis
31 de dezembro de 2016 e 2015
(Valores expressos em milhares de reais)

Apesar dos assessores jurídicos reconhecerem este processo com remota chance de perda, o depósito judicial se mantém até o julgamento final da causa.

12. Patrimônio líquido

A movimentação do patrimônio líquido refere-se ao superávit de cada exercício.

13. Custos, despesas restritas e sem restrição

Despesas com atividades de desenvolvimento tecnológico com restrição

	<u>2016</u>	<u>2015</u>
PROJETO SIRIUS		
Salários, encargos e despesas relacionadas	17.762	15.109
Depreciação e amortização	1.662	2.291
Realização de receita diferida ativos doados	(1.662)	(2.291)
Serviços de terceiros	1.725	1.073
Material de consumo e outros	3.248	3.370
	<u>22.735</u>	<u>19.552</u>
Impostos e taxas	1.905	(121)
Resultado Variação Cambial, líquida	1.183	(441)
	<u>3.088</u>	<u>(562)</u>
	<u>25.823</u>	<u>18.990</u>
PROJETO SISNANO		
Salários, encargos e despesas relacionadas	-	-
Depreciação e amortização	1.512	478
Realização de receita diferida ativos doados	(1.512)	(478)
Serviços de terceiros	105	(24)
Material de consumo e outros	225	52
	<u>330</u>	<u>28</u>
Impostos e taxas	64	4
Resultado Variação Cambial, líquida	143	15
	<u>207</u>	<u>19</u>
	<u>537</u>	<u>47</u>

CENTRO NACIONAL DE PESQUISA EM MATERIAIS E ENERGIA - CNPEM

Notas explicativas às demonstrações contábeis
31 de dezembro de 2016 e 2015
(Valores expressos em milhares de reais)

PROJETO BIOTEC

Salários, encargos e despesas relacionadas	1.617	382
Depreciação e amortização	106	54
Realização de receita diferida ativos doados	(106)	(54)
Serviços de terceiros	42	149
Material de consumo e outros	278	17
	<u>1.937</u>	<u>548</u>
Impostos e taxas	44	2
Resultado Variação Cambial, líquida	11	-
	<u>55</u>	<u>2</u>
	<u>1.992</u>	<u>550</u>

CONVÊNIOS

Gastos incorridos	14.632	24.846
Realização de receita diferida sobre gastos incorridos	(14.632)	(24.846)
	-	-

Despesas com atividades de desenvolvimento tecnológico sem restrição

	2016	2015
Salários, encargos e despesas relacionadas	53.507	56.577
Depreciação e amortização	13.618	12.807
Realização de receita diferida ativos doados	(2.617)	(1.157)
Serviços de terceiros	20.106	18.364
Material de consumo e outros	4.207	3.159
	<u>88.821</u>	<u>89.750</u>
Impostos e taxas	883	1.332
Resultado Variação Cambial, líquida.	(208)	198
	<u>675</u>	<u>1.530</u>
	<u>89.496</u>	<u>91.280</u>

CENTRO NACIONAL DE PESQUISA EM MATERIAIS E ENERGIA - CNPEM

Notas explicativas às demonstrações contábeis
31 de dezembro de 2016 e 2015
(Valores expressos em milhares de reais)

14. Plano de previdência privada

A Instituição disponibiliza para 100% de seus colaboradores um plano de previdência privada por contribuição definida (BrasilPrev), com o objetivo de complementação da previdência oficial. No ato da aposentadoria, o participante poderá optar pelo benefício da aposentadoria ou pelo resgate do saldo alcançado na composição do seu fundo.

O plano tem participação da Instituição e dos seus colaboradores na formação do fundo, por meio de contribuições mensais regulares e podendo o colaborador realizar aportes adicionais a qualquer tempo.

O plano prevê rentabilidade garantida do Índice Geral de Preços do Mercado (IGP-M/FGV), acrescido de 6% ao ano, e taxa de carregamento de 3% sobre o valor das contribuições mensais.

O montante das contribuições no exercício de 2016 foi de R\$2.928 (R\$2.074 em 2015).

15. Instrumentos financeiros

Os valores contábeis referentes aos instrumentos financeiros constantes no balanço patrimonial consistiam basicamente de caixa, equivalente de caixa e aplicações financeiras (conforme nota explicativa 4). A Instituição não possui empréstimos com terceiros.

Risco de crédito

O risco de crédito é administrado pela Instituição. O risco de crédito decorre de caixa e equivalentes e depósitos em instituições financeiras. Para as instituições financeiras, são aceitos somente títulos de entidades de primeira linha no mercado.

Risco de mercado

Risco cambial: O risco cambial decorrer das importações em moeda estrangeira realizadas pela Instituição, para os projetos em andamento. Durante os exercícios findos em 31 de dezembro de 2016 e 2015, a Instituição não realizou operações com derivativos.

CENTRO NACIONAL DE PESQUISA EM MATERIAIS E ENERGIA - CNPEM

Notas explicativas às demonstrações contábeis
31 de dezembro de 2016 e 2015
(Valores expressos em milhares de reais)

Risco de liquidez

A previsão de fluxo de caixa é realizada pela Instituição e monitorada pelo Departamento financeiro. Este Departamento monitora as previsões contínuas das exigências de liquidez da Instituição para assegurar que ele tenha caixa suficiente para atender às necessidades operacionais.

A Instituição investe o excesso de caixa em aplicações financeiras e debêntures, escolhendo instrumentos com vencimentos apropriados ou liquidez suficiente para fornecer margem suficiente conforme determinado pelas previsões acima mencionadas.

16. Cobertura de seguros (não auditado)

A Instituição contratou cobertura de seguros para os bens sujeitos a riscos, por montantes considerados suficientes para cobrir eventuais sinistros, considerando a natureza de sua atividade.

As premissas de riscos adotadas, dada a sua natureza, não fazem parte do escopo de uma auditoria das demonstrações financeiras e, conseqüentemente, não foram examinadas pelos nossos auditores independentes.

Em 31 de dezembro de 2016, a apólice de seguro da Instituição totaliza R\$132.062, sendo as principais coberturas contra eventos de qualquer natureza, incluindo danos materiais e de responsabilidade civil de R\$120.000.

17. Avais, fianças e garantias

A Instituição não prestou garantias durante os exercícios findos em 31 de dezembro de 2016 e 2015 e não possuía em 31 de dezembro de 2016 e 2015, quaisquer transações como interveniente garantidora.

* * *